

GM 62384

CAMPAGNE DE SONDAGES 2004, SECTEUR DES INDICES CR-1 ET CR-16-18-19 DU COMPLEXE ULTRAMAIFIQUE DE MENARIK

Documents complémentaires

Additional Files



Licence



Licence

Cette première page a été ajoutée
au document et ne fait pas partie du
rapport tel que soumis par les auteurs.

Énergie et Ressources
naturelles

Québec 

RESSOURCES MINIÈRES PRO-OR INC.

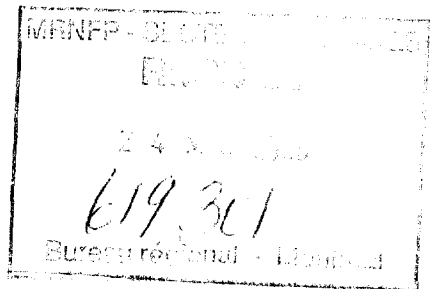
PROJET MÉNARIK

**CAMPAGNE DE SONDAGES 2004, SECTEUR DES INDICES CR-1 ET CR-16-18-19 DU COMPLEXE
ULTRAMAIFIQUE DE MÉNARIK**

HIVER 2004-2005

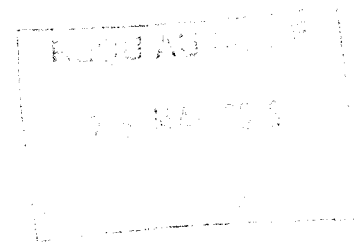
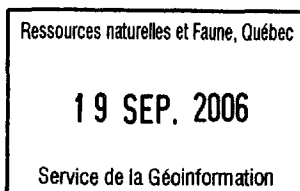
Par

M. R. LaFlèche et Mario Bergeron



en collaboration avec

Yvan Bussièrès et Yves Pelletier V.P. Exploration



GM 6 2 3 8 4

619301

RESSOURCES MINIÈRES PRO-OR INC.

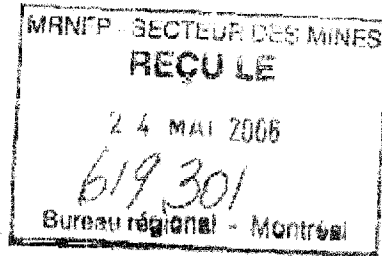
PROJET MÉNARIK

**CAMPAGNE DE SONDAGES 2004, SECTEUR DES INDICES CR-1 ET CR-16-18-19 DU COMPLEXE
ULTRAMAFIQUE DE MÉNARIK**

HIVER 2004-2005

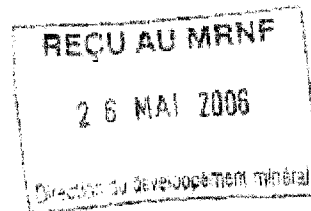
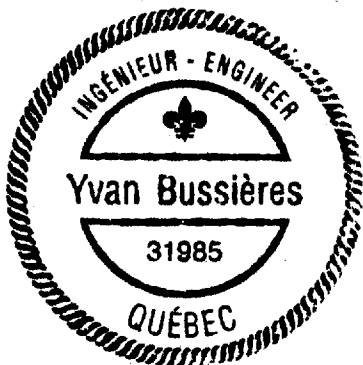
Par

M. R. LaFlèche et Mario Bergeron



en collaboration avec

Yvan Bussièrès et Yves Pelletier V.P. Exploration



Yvan Bussièrès chey

619301

RÉSUMÉ

À la fin de 2004, Ressources Minières Pro-Or a commandité l'exécution de 13 sondages carottés totalisant 3197,6 mètres sur sa propriété Ménarik localisée sur le Territoire de la Baie James (Qc). Les nouveaux sondages visaient à poursuivre l'évaluation du potentiel minéral en chromitites platinifères dans la partie nord du Complexe ultramafique de Ménarik.

Les forages ont été réalisés par le contracteur Forage Mercier de Val-d'Or et la supervision des forages par une équipe géologique indépendante dirigée par le consultant Yvan Bussièrès (ing. géologue). Le premier forage (MK-04-01) a été implanté le 11 novembre 2004 et le dernier (MK-04-13) le 15 décembre 2004.

Les treize sondages visaient des cibles situées à l'intérieur de la masse de roches ultramafiques. Ces derniers visaient l'évaluation des prolongements latéraux et verticaux des indices de chrome Cr1 et Cr16-18-19. Douze des treize sondages ont intersecté des chromitites platinifères associées aux indices Cr-1 et ou Cr-16-18-19. Les sondages, d'une longueur moyenne de 231 m, ont recoupé en tout 30 intersections significatives ($\text{Cr}_2\text{O}_3 > 6 \%$) de chromitites stratiformes rapportant une teneur moyenne de 7,62 % Cr_2O_3 sur une épaisseur moyenne de 8,9 m pour l'indice Cr-1 et de 7,59 % Cr_2O_3 sur une épaisseur moyenne de 9.4 m pour l'indice Cr-16-18-19.

Les sondages recoupant les indices Cr-16-18-19 et Cr-1 ont confirmés leurs continuités latérale tout autant que verticale. Comme observées dans les campagnes de forage antérieures (1988, 1989 et 1997), les séquences chromifères intersectées en 2004 contiennent régulièrement des quantités appréciables de palladium et de platine. Les sondages recoupant les indices Cr-1 et Cr-16-18-19 ont rapporté respectivement une teneur moyenne de 0,4 g/t (Pd+Pt) pour une épaisseur moyenne de 8.9 m et de 0,5 g/t (Pd+Pt) pour une épaisseur moyenne de 9,4 m.

En tenant compte d'un mode d'exploitation minière différend, le minage sélective des chromitites massives permettrait l'obtention d'un minerais beaucoup plus riches en ÉGP. Par exemple, 18 intersections de chromitites massives ou semi-massives associées à l'indice Cr-16-18-19 et 6

intersections associées à l'indice Cr-1 ont rapportées des teneurs supérieures à 2 g/t (Pd+Pt) sur des épaisseurs variables de 0,1 à 0,75 m.

Compte tenu de difficultés d'identification de certaines zones minéralisées en chromites rencontrées dans la campagne de forage de 1997, nous avons systématiquement mesuré la susceptibilité magnétique des carottes de forage. Ce paramètre est très efficace et particulièrement sensible à l'abondance en chromite dans les roches ultramafiques. Sur les diagraphies, les zones minéralisées en chromite et ÉGP répondent par de très faibles susceptibilités magnétiques par rapport aux hautes valeurs observées dans les péridotites.

Les forages de 2004 montrent une fermeture de la zone Cr-1 vers l'est en raison d'un contact entre le massif péridotitique et l'encaissant gabbroïque et tonalitique. Cr-1 demeure toutefois ouverte vers l'ouest ainsi qu'en profondeur (à plus de 230 m).

La zone Cr-16-18-19 (décrite comme la zone Cr16 dans ce rapport) demeure ouverte vers l'est ainsi qu'en fonction de la profondeur (à plus de 280 m).

Les résultats de campagne de 2004 combinés aux données des campagnes antérieures, confirment le fort potentiel chromifère et platinifère de la propriété Ménarik.

Table des matières

RÉSUMÉ

	page
1. INTRODUCTION	06
2. RESPONSABILITÉS TECHNIQUES	06
3. DESCRIPTION DE LA PROPRIÉTÉ MÉNARIK	08
3.1. Localisation et accès	08
3.2. Physiographie	10
4. TITRES MINIERS	11
5. TRAVAUX ANTÉRIEURS	15
5.1. Travaux antérieurs à ceux de Ressources Minières Pro-Or	15
5.2. Travaux réalisés par Pro-Or	17
5.2.1. Campagnes de forage sur Ménarik	17
5.2.1.1. Campagne de 1988	17
5.2.1.2. Campagne de 1989	18
5.2.1.3. Campagne de 1997	19
6. GÉOLOGIE RÉGIONALE	23
7. GÉOLOGIE DE LA PROPRIÉTÉ MÉNARIK	27
7.1. Complexe intrusif de Ménarik	29
7.2. Structure	29
8. MINÉRALISATIONS	31
8.1. Minéralisations liées au Complexe de Ménarik	31
9. CAMPAGNE DE SONDAGE 2004	33
9.1. Localisation des sondages	33
9.2. Transport et localisation des échantillons	34
9.3. Préparation des échantillons	36
9.4. Analyses chimiques	36
9.5. Présentation des résultats	40
9.5.1. Sondages MK-04-02 à MK-04-04	41
9.5.2. Sondages MK-04-01 et MK-04-05 à MK-04-08	42
9.5.3. Sondages MK-04-09, MK-04-10, à MK-04-13	46
9.5.4. Sondages MK-04-11 à MK-04-12	47
9.6. Section longitudinale	48
9.7. Section transversale	52
9.8. Quelques observations sur la relation Cr ₂ O ₃ vs Pt+Pd dans le Ménarik	54

10. CONCLUSIONS ET RECOMMANDATIONS	57
------------------------------------	----

11. RÉFÉRENCES BIBLIOGRAPHIQUES	59
---------------------------------	----

ANNEXES

ANNEXE I JOURNAUX DES SONDAGES

ANNEXE II RÉSULTATS ANALYTIQUES ET CERTIFICATS D'ANALY SE
(INRS-ETE)

ANNEXE III RÉSULTATS ANALYTIQUES ET CERTIFICATS D'ANALY SE
(CHIMITEC)

ANNEXE IV SECTIONS DE FORAGE

ANNEXE V LOG STRATIGRAPHIQUES ET LITHOGÉOCHIMIQUES

1- INTRODUCTION.

Ressources Minières Pro-Or inc. a financé en 2004 la réalisation de 13 sondages carottés totalisant 3197,6 mètres dans le complexe ultramafique inclut dans sa propriété Ménarik (Baie James, Qc). L'ensemble des forages était dirigé vers des cibles de chromitites platinifères (indices Cr1 et Cr16-18-19) comprises dans un ensemble de roches péridotitiques situées dans la partie nord du Complexe ultramafique de Ménarik

Les 13 sondages ont tous été dirigés sous des indices de chromite déjà connus (indices Cr1 et Cr16-18-19). Ces forages visaient l'exploration des prolongements latéraux et verticaux des indices Cr-1 et Cr-16-18-19. Ces indices ont antérieurement été forés lors des campagnes de forage de 1988, 1989 et 1997.

En plus des résultats des données recueillies lors de la campagne de sondage de novembre-décembre 2004, ce rapport comprend une compilation des anciennes données de forage de Pro-Or inc. Ces données ont été compilées numériquement, synthétisées et harmonisées afin d'apporter une constance dans la terminologie utilisée par les différents géologues ayant décrit la carotte de forage sur la propriété Ménarik.

2- RESPONSABILITÉS TECHNIQUES

La planification, la sélection des cibles, l'interprétation des données, et la supervision générale du projet ont été réalisés par une équipe constituée de Yves Pelletier (V.P. Pro-Or inc.), Yvan Bussièrès (consultant) et de Marc R. LaFlèche (INRS). M. Yvan Bussièrès, ingénieur géologue, a dirigé les travaux de terrain, décrit la carotte et choisi les zones d'échantillonnage au cours de la campagne de sondage. Il a été assisté des techniciens Jean-Francois Desmeules et Eric Gilbert qui ont notamment effectué l'échantillonnage de la carotte et mesuré la susceptibilité

magnétique des carottes de forage. Les journaux de sondage d'Yvan Bussières sont présentés à l'annexe I.

Les analyses chimiques ont été réalisées sous la supervision du Dr Omer S. Nzangou (géochimiste) et de Stéphane Prémont (chimiste et responsable des laboratoires de l'INRS-ETE). Les analyses de métaux précieux (Au, Pt et Pd) ont été réalisées sous la supervision des chimistes et techniciens de Chimitec à Val-d'Or (Qc) et Vancouver (CB).

Madame Ruth Boivin du laboratoire de géomatique et de cartographie numérique de la Commission géologique du Canada (CGC-Québec) s'est occupée de l'intégration des données spatiales. Marco Boutin, technicien de l'INRS –ETE s'est occupé de l'impression des sections et des plans.

Le forage proprement dit a été réalisé à contrat par Forage Mercier inc de Val-d'Or (Qc). L'auteur principal a effectué la saisie des résultats d'analyse et formaté les informations des journaux de sondage dans un format compatible avec le logiciel *Downhole Explorer 3.0*.

L'original des journaux de forage est conservé au bureau de Ressources minières Pro-Or inc. De multiples vérifications ont été faites pour s'assurer de l'exactitude du processus de transfert des données. Toutefois, il demeure possible que quelques erreurs mineures se soient glissées lors de l'intégration finale des données.

3. DESCRIPTION DE LA PROPRIÉTÉ MENARIK

3.1 Localisation et accès

La propriété est située à l'extrémité orientale du lac Ménarik dans le canton projeté 3114 du territoire de la municipalité de la Baie James, à l'intérieur du feuillet topographique 33F/6 (SNRC). Le village de Radisson et la centrale hydroélectrique de LG-2 se trouvent à environ 45 kilomètres au nord-ouest (figures 1 et 2). L'aéroport de Radisson-LG2 est desservi par des vols réguliers de Montréal, Québec et Val d'Or.

La route carrossable la plus proche, qui relie la centrale de LG-3 à la route pavée de Matagami-Radisson, passe à 7 km au sud, tandis que cette dernière se trouve à environ 12 km à l'ouest des claims. Un chemin utilisable par des véhicules sur chenilles a été tracé entre la propriété et ces deux routes, d'abord lors de la construction d'une ligne électrique de 740 kilovolts qui recoupe le coin sud-ouest des terrains miniers, puis lors des campagnes de sondages commanditées par Ressources minières Pro-Or inc. en 1988, 1989, 1994 et 1997.

L'été, on peut accéder à la propriété en canot motorisé en empruntant une série de voies navigables sur environ 16 km à partir de la route Matagami-Radisson. Des avions sur flotteurs peuvent aussi se poser sur le lac Ménarik mais l'hélicoptère reste le moyen le plus rapide et le plus flexible pour se rendre sur la propriété. Sur l'un des anciens sites de campement de Pro-Or inc., à l'extrémité est du lac Ménarik, on trouve maintenant un camp de chasse et pêche bien aménagé.

Localisation du projet Ménarik

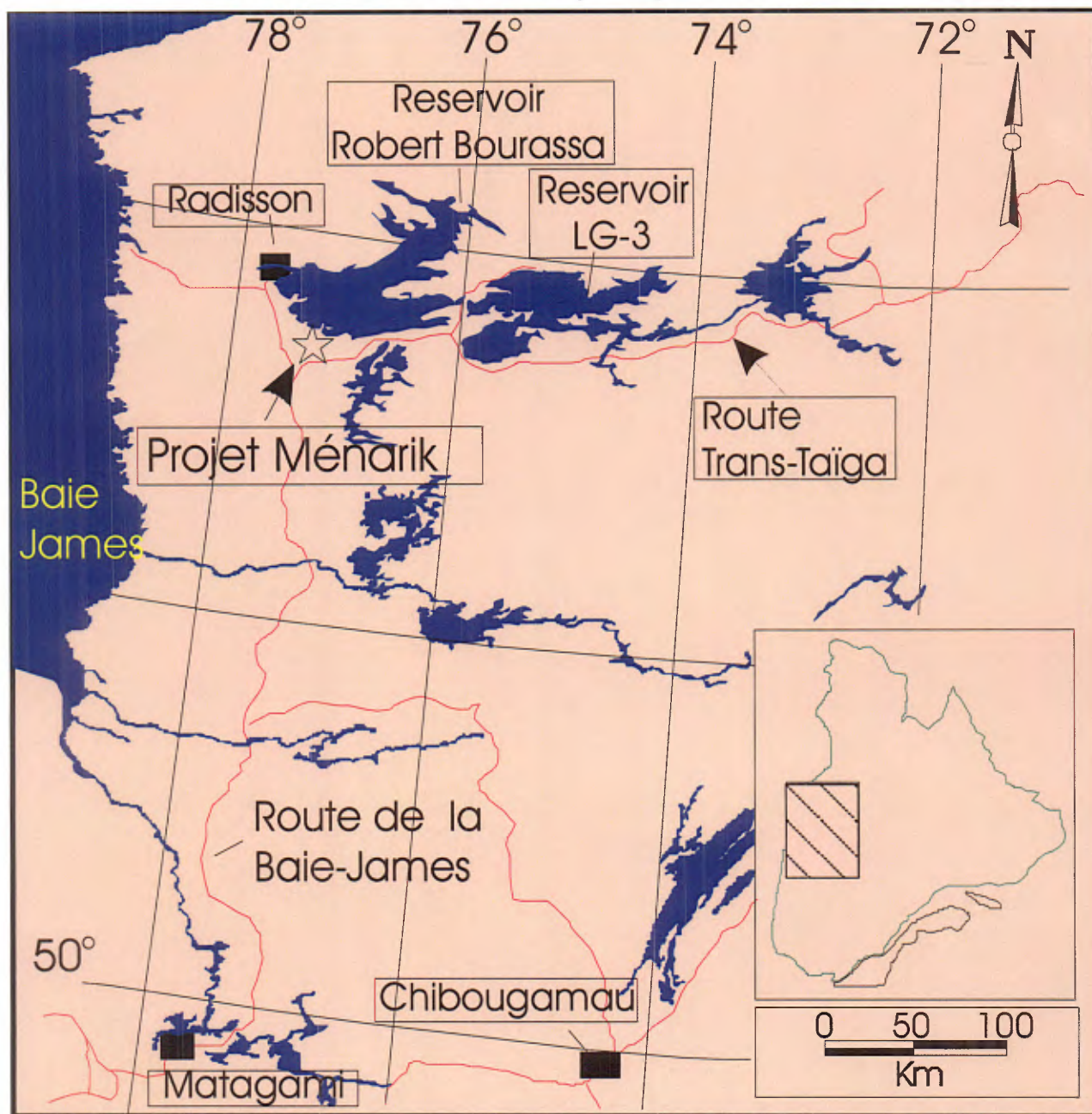


Figure 1. Localisation de la propriété Ménarik de Ressources minières Pro-Or inc., Baie-James (Qc).

3.2 PHYSIOGRAPHIE

La topographie de la région est un héritage de la dernière grande période glaciaire. Le relief du terrain est typique du nord-ouest du Québec où collines alternent avec des zones marécageuses et des lacs. Le nord de la propriété est situé sur des terrains relativement plats d'une altitude moyenne de 650 pieds. Ce plateau est couvert d'affleurements rocheux pour environ 50% de sa superficie. Plus au sud, le terrain est plus accidenté. La masse de péridotite du centre sud forme une série de buttes relativement élevées aux pentes raides et parfois abruptes. Des escarpements, pouvant atteindre 25 mètres, caractérisent les rives de certains lacs et rivières encaissés.

Les sols de la région recouvrent une moraine composée de blocs et de sable. Ces dépôts ont des épaisseurs variant de un à dix mètres. La végétation comprend des mousses, lichens et des conifères. Elle est clairsemée (type taïga) et a été partiellement détruite par des feux de forêts.

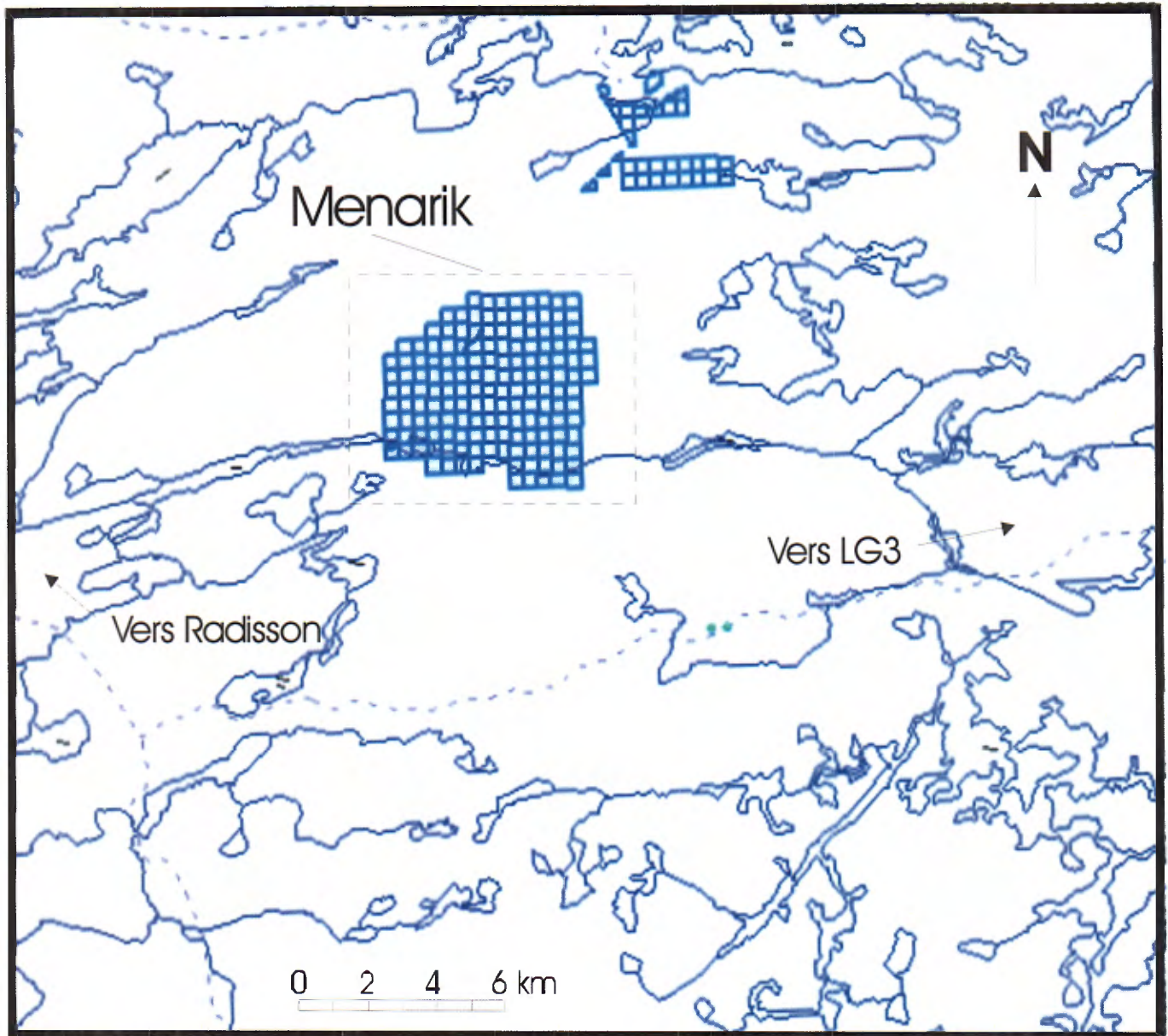
Le terrain est mal drainé au nord ce qui favorise le développement de marécages; ailleurs le drainage des eaux de surface s'effectue le long de ruisseaux ou par des écoulements superficiels, du nord vers le sud, en direction de la rivière et du lac Ménarik qui, à son tour s'écoule vers l'ouest. L'apport en eau sur la propriété est suffisant pour combler tous les besoins lors de travaux d'exploration.

4- TITRES MINIERS

La propriété Ménarik est constituée de 160 claims (tableau 1) contigus et couvrant une superficie de 2532 hectares. La localisation du bloc de claims de la propriété Ménarik est montrée à la figure 2. Leur numéro d'enregistrement et leur superficie nominale sont présentés au tableau 1.

Tous les claims sont détenus à 100 % par Ressources minières Pro-Or inc. et aucune royauté ne leur est rattachée. Ces claims sont enregistrés en bonne et due forme auprès du gouvernement du Québec (Ministère des Ressources Naturelles de la Faune et des Parcs du Québec).

Localisation des claims de la propriété Menarik de Ressources Minières Pro-Or inc.



Feuillelet SNRC 33F06

Figure 2 : Carte des claims de la propriété Ménarik de Ressources minières Pro-Or inc. (source GESTIM: MRNFPQ 2004).

**Tableau 1 : Liste des claims miniers de la propriété
Ménarik Ressources minières Pro-Or inc.**

No titre	Rang	Lot	Superficie (%)	No titre	Rang	Lot	Superficie (%)		
			(Ha)						
4619485	38	38	16	100	4412911	42	34	16	100
5176801	38	39	16	100	4412901	42	35	16	100
5176807	38	40	16	100	4618033	42	36	16	100
5176813	38	41	16	100	4619494	42	37	16	100
5176819	38	42	16	100	4619493	42	38	16	100
4412913	39	32	16	100	5176805	42	39	16	100
4412914	39	33	16	100	5176811	42	40	16	100
4412915	39	34	16	100	5176817	42	41	16	100
4412921	39	35	16	100	5176823	42	42	16	100
4619484	39	38	16	100	5176881	43	29	16	100
5176802	39	39	16	100	5176886	43	30	16	100
5176808	39	40	16	100	4618054	43	31	16	100
5176814	39	41	16	100	4412885	43	32	16	100
5176820	39	42	16	100	4412904	43	33	16	100
5176878	40	28	4	100	4412903	43	34	16	100
4619533	40	29	16	100	4412902	43	35	16	100
4619532	40	30	16	100	4618034	43	36	16	100
4618051	40	31	16	100	4619491	43	37	16	100
4412912	40	32	16	100	4619492	43	38	16	100
4412924	40	33	16	100	5176806	43	39	16	100
4412923	40	34	16	100	5176812	43	40	16	100
4412922	40	35	16	100	5176818	43	41	16	100
4618031	40	36	16	100	5176824	43	42	16	100
4619482	40	37	16	100	5176882	44	29	16	100
4619483	40	38	16	100	5176887	44	30	16	100
5176803	40	39	16	100	4618055	44	31	16	100
5176809	40	40	16	100	4412884	44	32	16	100
5176815	40	41	16	100	4412883	44	33	16	100
5176821	40	42	16	100	4412882	44	34	16	100
5176879	41	28	16	100	4412881	44	35	16	100
5176884	41	29	14,4	100	4618035	44	36	16	100
4619531	41	30	11	100	4619512	44	37	16	100
4618052	41	31	16	100	4619511	44	38	16	100
4412892	41	32	16	100	5176825	44	39	16	100
4412893	41	33	16	100	5176831	44	40	16	100
4412894	41	34	16	100	5176837	44	41	16	100
4412895	41	35	16	100	5176843	44	42	16	100
4618073	41	36	16	100	5176883	45	29	16	100
4619495	41	37	16	100	5176888	45	30	16	100
4619481	41	38	16	100	4618061	45	31	16	100
5176804	41	39	16	100	4618071	45	32	16	100
5176810	41	40	16	100	4618072	45	33	16	100
5176816	41	41	16	100	4618045	45	34	16	100
5176822	41	42	16	100	4618044	45	35	16	100
5176880	42	29	16	100	4618041	45	36	16	100
5176885	42	30	16	100	4619514	45	37	16	100
4618053	42	31	16	100	4619513	45	38	16	100
4412891	42	32	16	100	5176826	45	39	16	100
4412905	42	33	16	100	5176832	45	40	16	100

Liste des claims miniers de la propriété Ménarik (suite)

No titre Rang Lot Superficie (%) No titre Rang Lot Superficie (%)

5176838	45	41	16	100	5176855	49	38	16	100
5176844	45	42	16	100	5176830	49	39	16	100
5176653	45	43	16	100	5176836	49	40	16	100
5176877	46	29	16	100	5176842	49	41	16	100
5176889	46	30	16	100	5176848	49	42	16	100
4618062	46	31	16	100	5176859	50	35	16	100
4618063	46	32	16	100	5176858	50	36	16	100
4618064	46	33	16	100	5176854	50	37	16	100
4618065	46	34	16	100	5176853	50	38	16	100
4618043	46	35	16	100	5176852	50	39	16	100
4618042	46	36	16	100	5176851	50	40	16	100
4619521	46	37	16	100	5176850	50	41	16	100
4619515	46	38	16	100	5176849	50	42	16	100
5176827	46	39	16	100					
5176833	46	40	16	100					
5176839	46	41	16	100					
5176845	46	42	16	100					
5176652	46	43	16	100					
5176875	47	29	16	100					
5176874	47	30	16	100					
5176873	47	31	16	100					
5176872	47	32	16	100					
5176871	47	33	13,4	100					
4619505	47	34	11	100					
4619504	47	35	16	100					
4619524	47	36	16	100					
4619523	47	37	16	100					
4619522	47	38	16	100					
5176828	47	39	16	100					
5176834	47	40	16	100					
5176840	47	41	16	100					
5176846	47	42	16	100					
5176651	47	43	16	100					
5176868	48	31	16	100					
5176869	48	32	16	100					
5176870	48	33	16	100					
4619503	48	35	14	100					
4619502	48	36	16	100					
4619501	48	37	16	100					
4619525	48	38	16	100					
5176829	48	39	16	100					
5176835	48	40	16	100					
5176841	48	41	16	100					
5176847	48	42	16	100					
5176862	49	33	16	100					
5176863	49	34	16	100					
5176864	49	35	16	100					
5176857	49	36	16	100					
5176856	49	37	16	100					

5-TRAVAUX ANTÉRIEURS

5.1 Travaux antérieurs à ceux de Ressources minières Pro-Or inc.

Avant l'implication de Ressources minières Pro-or inc. sur la propriété Ménarik, les travaux d'exploration, axés sur la découverte de minéralisations chromifères et en métaux du groupe du platine (ÉGP), ont été très restreints sur la Complexe intrusif du Ménarik. Les premiers travaux réalisés par Main Exploration, vers la fin des années 50, ont permis de localiser l'intrusion ultramafique et la présence de chromitites. Afin d'alléger le contenu de ce rapport, nous présentons l'évolution chronologique des travaux dans le tableau suivant. Le lecteur peut référer au rapport de Bergeron (2001) pour plus d'informations.

LISTE CHRONOLOGIQUE DES TRAVAUX RÉALISÉS SUR OU EN PÉRIPHÉRIE DU COMPLEXE INTRUSIF DU MENARIK

- 1958: Travaux d'exploration sur la méta-péridotite (Main Exploration).
- 1958: Levés géophysiques aéroportés régionaux de type électromagnétique (E.M.) et magnétométrique (Mag) effectués par Main Exploration (Baldwin, 1959).
- 1958: Levés détaillés, travaux de décapage et réalisation d'un sondage de 32 m sur un indice de Cu (Zn-Ag-Au) dans une quartzite à fuchsite à l'extérieur de la péridotite, limite ouest du terrain, Main Exploration.
- 1972 à 1973: Levés géophysiques de type E.M., Mag et radiométrique (Rad) réalisés pour Canico.
- 1973 à 1974: Levés géochimiques de sédiments de lac (Cu, Pb, Zn, Ni, Co, As, Ag, U, Mo). Société de Développement de la Baie James (S.D.B.J.).
- . 1975 : Prospection sur l'indice de Cu Poirier-I situé dans une zone de cisaillement carbonatée, partie nord-est de l'intrusion ultramafique. (Groupe minier S.E.S ; Riley, 1975).
- 1975: Levés géophysiques de type E.M., Mag et Rad réalisés pour S.D.B.J.-Eldorado-Séru. (Wagg et Dowse, 1975).

- 1977: Levés géochimiques régionaux de sédiments de ruisseaux dans la vallée de la Grande Rivière (M.E.R. ; Cockburn, 1977).
- 1978: Découverte d'un indice de chromite sur le Complexe intrusif du Menarik. Travaux réalisés dans le cadre d'un projet d'évaluation du potentiel en nickel et amiante de différentes masses ultramafiques du Territoire de la Baie James. S.D.B.J, (Borduas, 1979). Sur les cartes de compilation de Pro-or inc., cet indice est désigné comme le # Cr-1.
- 1978-1982: Travaux d'exploration par la Société de Développement de la Baie James (S.D.B.J.).
- 1981: Reprise des travaux d'exploration sur le Complexe intrusif du Menarik. Réalisation de profils magnétiques (champ total), électromagnétiques (TBFR, et des tests géochimiques (18 éch. de sols analysés pour Au, Ag, Cu, Pb, Zn, Ni, As, Co, Cr) sur les indices découverts en 1978. Échantillonnage préliminaire de surface, ou a faible profondeur (< 60 cm), des indices (20 échantillons analysés pour *Au-Cu-Pb-Zn-Ni-Ag-Co* ou *Cr-Fe-Ni-Cu-Pt-Pd-Au*). Étude pétrographique des chromitites échantillonnées. S.D.B.J., Marchand (1982a).
- 1982: Poursuite de la campagne d'exploration. Cartographie géologique (1:5 000) d'un bloc rectangulaire de 3,84 km². Réalisation d'une grille de lignes-repères dans un carré de 500 m sur 500 m. Levés magnétique (champ total) et électromagnétique (TBFR, station NAA) sur cette grille. Levé pédogéochimique (n: 55 éch.) et de sédiments de ruisseaux (n: 66 échantillons) analysés pour: Au, Cu, Pb, Zn, Ag, Ni, Cr et Mo. S.D.B.J., Marchand, (1982b).
- Post-1982: Démantèlement de la S.D.B.J., rapport de campagne de terrain non complété, principales cartes du projet non retracées. Récupération des données géophysiques et géochimiques de la grille. Recompilation de la carte géologique (1:5 000) à l'aide des notes de terrain des géologues impliqués.
- 1988-1989: Acquisition de grands permis d'exploration voisins des terrains de Pro-or inc.. Levés géophysiques aériens électromagnétique et magnétique sur l'ensemble de la ceinture volcanique du lac Yasinski, incluant une partie du Complexe intrusif du Menarik. Localisation d'anomalies E.M., de faible conductivité, dans la péridotite du Menarik. Noranda exploration.

5.2 TRAVAUX RÉALISÉS PAR RESSOURCES MINIÈRES PRO-OR INC.

Suite à l'acquisition de la propriété Ménarik, Ressources minières Pro-Or inc. a réalisé ou commandité une multitude d'interventions sur le terrain. Ainsi, plusieurs levés géophysiques hélicoptérés et au sol ainsi que des campagnes de prospection et de cartographie géologique ont permis de localiser les principaux indices de chromitites et de sulfures platinifères dans le Complexe ultramafique de Ménarik.

Les travaux de coupe de ligne, débutés en 1986, furent suivit de travaux de géophysique au sol (Mag-VLF), de cartographies géologiques et de prospection et d'un levé pédogéochimique (entre 1987 et 1990). Ces travaux ont été suivit en 1996 d'un levé géophysique hélicoptéré de type DIGHEM-V. Le lecteur peut référer aux rapports de Bergeron (2001) et aux rapports de Pelletier (1989, 1998) pour plus d'informations.

5.2.1 Campagnes de forage sur la propriété Ménarik (secteur du Complexe intrusif de Ménarik)

Cette section décrit les travaux réalisés par Ressources minières Pro-Or inc. sur le Complexe intrusif de Ménarik et plus spécifiquement les travaux réalisés sur les indices chromifères et platinifères. Les informations et une partie du texte proviennent des rapports de Pelletier (1989; 1998) et de Bergeron (2001).

5.2.1.1 Campagne de 1988 (texte tiré de Pelletier, 1990)

Au printemps de 1988, Ressources minières Pro-Or inc. a entrepris une première campagne de sondages carottés axés sur l'exploration de cibles à potentiel aurifère situées à l'extérieur du Complexe intrusif de Ménarik (Pelletier, 1989). Vingt et un sondages totalisant 2989 mètres furent complétés. En raison de la spécificité de ce rapport, qui vise à documenter les caractéristiques des minéralisations chromifères et platinifères associées au Complexe intrusif du Menarik, les principaux résultats de cette campagne ne sont pas discutés dans ce document et le lecteur peu référer au rapport de Pelletier (1998). Toutefois, il est d'intérêt de souligner qu'un des forages (MK 88-18) fut planifié pour explorer l'extension verticale de l'indice de chromite Cr-1, situé dans la partie nord du Complexe intrusif du Menarik.

Le sondage MK 88-18, implanté sous l'indice de chrome Cr-1, se termina dans une séquence très prometteuse de lits de chromite à une profondeur verticale de 124 à 136 mètres: un intervalle de 12 mètres titra en moyenne 9,3% Cr₂O₃, incluant 5 horizons titrant entre 19% et 27% Cr₂O₃ et dont certains contenaient des teneurs appréciables de platinoïdes (jusqu'à 2,7 grammes/tonne de palladium + platine). La teneur moyenne en Pd et Pt de la section de 12,0 mètres fut respectivement de 0,6 g/t Pd+Pt. Dans les cinq horizons plus riches en chrome, le rapport Cr/Fe variait de 0,76 à 1,10. Les résultats de ce sondage concordaient assez bien avec les données recueillies en surface sur l'indice Cr-1 et peut-être Cr-16.

Notez que la plupart des autres indices de chrome connus sur la propriété sont caractérisés par des rapports Cr/Fe nettement supérieurs à ceux-ci (ex. Houlé, 2000). Ces variations, dans les rapports Cr/Fe, sont entre autre attribuables à la présence de quantités variables de serpentine, de magnétite, de chlorite et de sulfures (pentlandite, pyrrhotite) dans la matrice qui entoure les grains de chromite.

5.2.1.2 Campagne de 1989 (texte tiré de Pelletier, 1990)

L'évaluation du potentiel chromifère a été poursuivie en 1989 par l'exécution de vingt et un sondages carottés totalisant 2 547 mètres (Pelletier, 1990). Un total de 544 échantillons représentant 586,4 mètres de carottes de forage ont ensuite été analysés systématiquement pour le palladium, le platine, et l'or et sélectivement pour le chrome, le fer, le cuivre, le nickel, et, rarement, pour le zinc et le plomb. Huit groupes d'indices, comprenant 14 des 31 indices chromifères découverts jusqu'alors en surface, ont été explorés en profondeur par au moins un sondage. Quatre des groupes ont fait l'objet d'au moins trois sondages à intervalle d'environ 50 mètres le long des séquences chromifères observées ou présumées. Les sondages visaient généralement à recouper les indices principaux à environ 60 mètres sous la surface; deux indices secondaires à proximité ont également été explorés par les mêmes sondages.

Chacun des forages a effectivement traversé une ou plusieurs séquences chromifères. Cinq nouvelles séquences ont été découvertes près des indices Cr-4 et Cr-5; l'une d'elles a été rencontrée dès le début d'un sondage dirigé vers Cr-2 et Cr-5 et montré la meilleure teneur-épaisseur moyenne relevée jusqu'à présent sur la propriété, soit 16,7% d'oxyde de chrome sur une longueur de 8,70 mètres; les géologues de Ressources minières Pro-Or inc. n'ont cependant pas trouvé ses extensions dans les sondages voisins. Par contre, la série d'indices Cr-16-18-19, qui avait déjà été observée jusqu'à une profondeur de 140 mètres dans le seul forage de 1988 dirigé vers une cible de chrome, a été recoupée à nouveau en 1989 à une profondeur de 62 à 83 mètres dans les 4 sondages qui la visaient. Cette zone minéralisée est constituée de 7 horizons de chromite massive ou litée séparés par des horizons à chromite disséminée dont la teneur en chrome est beaucoup plus faible que celle des premiers. Son pendage varie de 54 à 68 degrés et son épaisseur horizontale entre 10,2 et 16,3 mètres en utilisant 5% d'oxyde de chrome comme teneur de coupure inférieure.

Les trois sondages implantés sous l'indice Cr-8 ont aussi tous recoupé son extension verticale jusqu'à une profondeur de 33 mètres; son pendage varie de 36 à 46 degrés et son épaisseur horizontale de 12,5 à 16,7 mètres

Par ailleurs, un des quatre sondages pointés sous l'extension latérale de l'indice Cr-17-20 ne l'a pas traversé, peut-être parce que le forage a été arrêté un peu trop tôt. Elle a été observée dans les trois autres sondages contigus jusqu'à une profondeur de 58 mètres sous la surface; elle y montre un pendage de 33 à 47 degrés et une épaisseur horizontale de 11,6 à 21,6 mètres.

L'indice Cr-31, qui se situe à environ 50 mètres au-dessus de l'indice précédent ou 100 mètres horizontalement, a été recoupé par deux des quatre sondages implantés sous ce dernier à une profondeur de 13 à 28 mètres; son pendage est estimé à 37 degrés.

Un des forages sous l'indice de chromite Cr-4 a été arrêté dans une section de 27,3 mètres titrant 0,2% de nickel. Une autre section de 5,2 mètres dans un forage différent titra 0,3% de nickel, incluant un intervalle de 1,0 mètre à 0,7% de nickel. La plus forte teneur de nickel rencontrée dans les forages a été de 0,8% associée à une teneur de 0,3% en cuivre sur 0,5 mètre. De fait, des sections épaisses titrant plus de 0,1% de nickel sont communes malgré le nombre relativement restreint d'analyses pour cet élément. Toutes ces intersections soulignent le potentiel élevé en nickel de cette formation.

De plus, de nombreuses sections titrant plus de 1 gramme de platinoïdes (Pd + Pt) ont été traversées par les sondages: la meilleure teneur, observée dans le sondage MK-89-19 sur 1,8 mètres, a été de 3,2 grammes de palladium et 0,3 gramme de platine.

Faute de financement, les travaux d'exploration sur le Complexe intrusif de Menarik (potentiel Cr-ÉGP) furent arrêtés entre 1990 et 1995. Toutefois, en 1994 les géologues de Ressources minières Pro-Or inc. réalisèrent une courte campagne de forage axée sur le potentiel aurifère de la partie centre est de la propriété (10 forages totalisant 1503 m).

5.2.1.3 Campagne de 1997(texte tiré de Pelletier, 1998)

En 1997, Ressources minières Pro-Or inc. a commandité l'exécution de 14 sondages carottés totalisant 2380 mètres. Les quatorze sondages visaient des cibles dans la demie sud de la zone ultramafique de la propriété Ménarik.

Deux sondages (246 mètres) ont été forés dans le voisinage d'une forte anomalie pédogéochimique de nickel et cuivre et qui avait mené à la découverte d'un affleurement de roches ultramafiques porteur d'une minéralisation de pentlandite. L'un de ces deux sondages fut dirigé sous l'affleurement nickellifère. Il traversa une section de 7,4 mètres titrant 0,6% Ni. L'autre sondage fut orienté sous la partie principale d'un pic magnétique: il recoupa une épaisse section de 17,9 mètres, dans l'ultramafite, titrant 0,6% Ni et 0,5% Cu (pentlandite-chalcopyrite), incluant une section de 3,7 mètres à 1,0% Ni et 0,4% Cu. Ces sondages confirment l'importance du potentiel en nickel-cuivre du complexe intrusif du Ménarik et rehaussent la valeur de plusieurs petits indices de surface qui y avaient été trouvés antérieurement.

La plupart des sondages visaient l'exploration des prolongements latéraux des indices Cr-8, Cr-17-20, Cr-16-18-19 et Cr-1, déjà partiellement reconnus par forage et affichant des teneurs

significatives en palladium-platine. Deux autres exploraient pour la première fois le prolongement en profondeur de deux indices de surface voisins, Cr-23 et Cr-27.

Les sondages des indices Cr-16-18-19 et Cr-1 ont confirmé leur continuité latérale tout autant que verticale et permis d'augmenter de plus d'un million de tonnes les ressources chromifères délimitées par forage sur la propriété. Ce total, correspondant à cinq séquences chromifères, atteint donc maintenant 2,6 millions de tonnes de « ressources indiquées » et 1,1 millions de tonnes de ressources inférées à une teneur combinée de 8,5% Cr₂O₃. En tenant compte des nombreux indices sur la propriété qui n'ont pas encore été explorés par sondages, Pelletier (1998) estiment que le potentiel total de ressources similaires à celles évaluées se situe raisonnablement aux environs de 30 millions de tonnes jusqu'à une profondeur de 200 mètres sous la surface. Ces sondages ont aussi montré que la séquence ultramafique se poursuivait plus à l'ouest que ce qui avait été cartographié antérieurement.

Deux des trois sondages implantés entre les indices Cr-8 et Cr-17-20 ont traversé une double séquence chromifère suggérant une continuité possible en profondeur entre ces deux indices. Des travaux supplémentaires seront cependant nécessaires avant de pouvoir y évaluer des ressources vu les discontinuités géologiques suggérées en affleurements et l'absence apparente d'horizons de chromite dans le troisième sondage au sud-ouest de Cr-8. Il faudra aussi revoir et échantillonner ces carottes de façon plus exhaustive car une vérification rapide effectuée par Yves Pelletier en juillet 1998 y a détecté un intervalle de 1 mètre titrant 5,4% Cr₂O₃ qui était passé inaperçu lors de la description originale. Par ailleurs, aucun des trois sondages visant l'extension occidentale des indices Cr-17-20 et Cr-31 n'a recoupé de séquence chromifère. La vérification sur le terrain, effectuée par Yves Pelletier, a permis d'expliquer cette absence par un virement brusque vers le sud des lits chromifères à l'ouest de la séquence Cr-17-20 déjà recoupée en sondages. De nouveaux sondages devraient donc y être implantés avec un nouvel azimut après l'exécution d'une cartographie détaillée de ces affleurements.

Dans les deux sondages sous les indices Cr-23 et Cr-27, le géologue M. Chakib Chak Bouchaib, responsable de la description et de l'échantillonnage des carottes de forage, n'avait pas non plus relevé de lits de chromite dans la carotte lors de sa description effectuée au cours de la campagne de forage. Cependant, en juillet 1998, un second échantillonnage réalisé par Yves Pelletier a montré, dans l'un de ces sondages, trois intervalles de chromitites portant des teneurs entre 4,0% et 10,8% Cr₂O₃ qui n'avaient pas été relevés. De plus, l'examen partiel de ces carottes indique que ces sondages étaient probablement sub-parallèles au pendage des horizons de chromite et qu'il faudrait utiliser un azimut inverse pour explorer ces indices.

De façon générale, les résultats subséquents à la description visuelle des carottes ont montré que le géologue a nettement sous-évalué les teneurs de chromite dans sa description des carottes de 1997 au moment du forage. Pour continuer l'évaluation des ressources il faudra donc revoir l'ensemble de ces carottes et y faire beaucoup plus d'échantillonnage. Lors des forages futurs, il faudra tenir compte de ces difficultés à reconnaître toutes les sections porteuses de minéralisation d'intérêt et échantillonner de façon plus systématique. Une solution à ce problème serait d'utiliser systématiquement une diagraphie magnétométrique dans les trous de forage. Les horizons de chromitite étant beaucoup moins magnétique que la périclase, une chute rapide du magnétisme reflète la présence d'horizons de chromitite. De la même façon, nous suggérons que des diagraphies électriques (résistivité et polarisation provoquée) pourraient être utilisées en forage pour localiser les bandes de chromitites massives qui sont naturellement plus résistives et la présence de sulfures platinifères disséminés dans les roches ultramafiques.

Trois des séquences chromifères explorées en 1997 contiennent régulièrement des quantités appréciables de palladium et platine. Ainsi, chacun des sondages qui a traversé les séquences chromifères correspondant aux indices Cr-16-18-19 (8 sondages; MK 88-18, 89-14, 89-15, 89-16, 89-17, 97-30, 97-31, 97-33), Cr-1 (4 sondages; MK 89-18, 97-31, 97-32, 97-33) et Cr-8 (3 sondages; MK 89-7, 89-8, et 89-9) a aussi recoupé au moins une section titrant plus de 1,5 grammes/tonne de palladium+platine sur 30 centimètres. La teneur la plus élevée obtenue jusqu'à maintenant a été de 3,6 g/t de (Pd+Pt) sur 43 centimètres dans la séquence Cr-1 (forage MK97-33 échantillon : 707768). Certains sondages contiennent plusieurs de ces sections enrichies: la somme de telles intersections dans un sondage de Cr-16-18-19 atteint 4,4 mètres et correspond à un produit cumulatif de 7,5 grammes-mètres/tonne. Les séquences correspondant à Cr-17-20, Cr-31, et au secteur intermédiaire entre Cr-17-20 et Cr-8, montrent aussi de telles sections enrichies mais moins systématiquement.

D'une façon générale, le rapport Pd/Pt de ces minéralisations se situe entre 3,5 et 4,5. Des études détaillées réalisées par Michel Houlé (**Houlé, 2000**) et par **LaFlèche et al. (2001)** ont montrées que les zones enrichies en ÉGP sont généralement associées à des lits particuliers de chromitite, et parfois à leurs épontes immédiates; dans ce dernier cas, elles pourraient aussi être reliées à la présence de concentrations de sulfures de nickel ou de cuivre.

L'ensemble de ces résultats indique qu'il est possible que les éléments du groupe du platine et le nickel puissent être concentrés en même temps que le chrome, valorisant d'autant ce concentré s'ils peuvent être facilement récupérés.

Entre 1998 et décembre 2000, aucun travaux d'exploration n'ont été réalisés sur le Complexe intrusif de Ménarik ainsi que sur l'ensemble de la propriété Ménarik de Ressources minières Pro-Or inc .

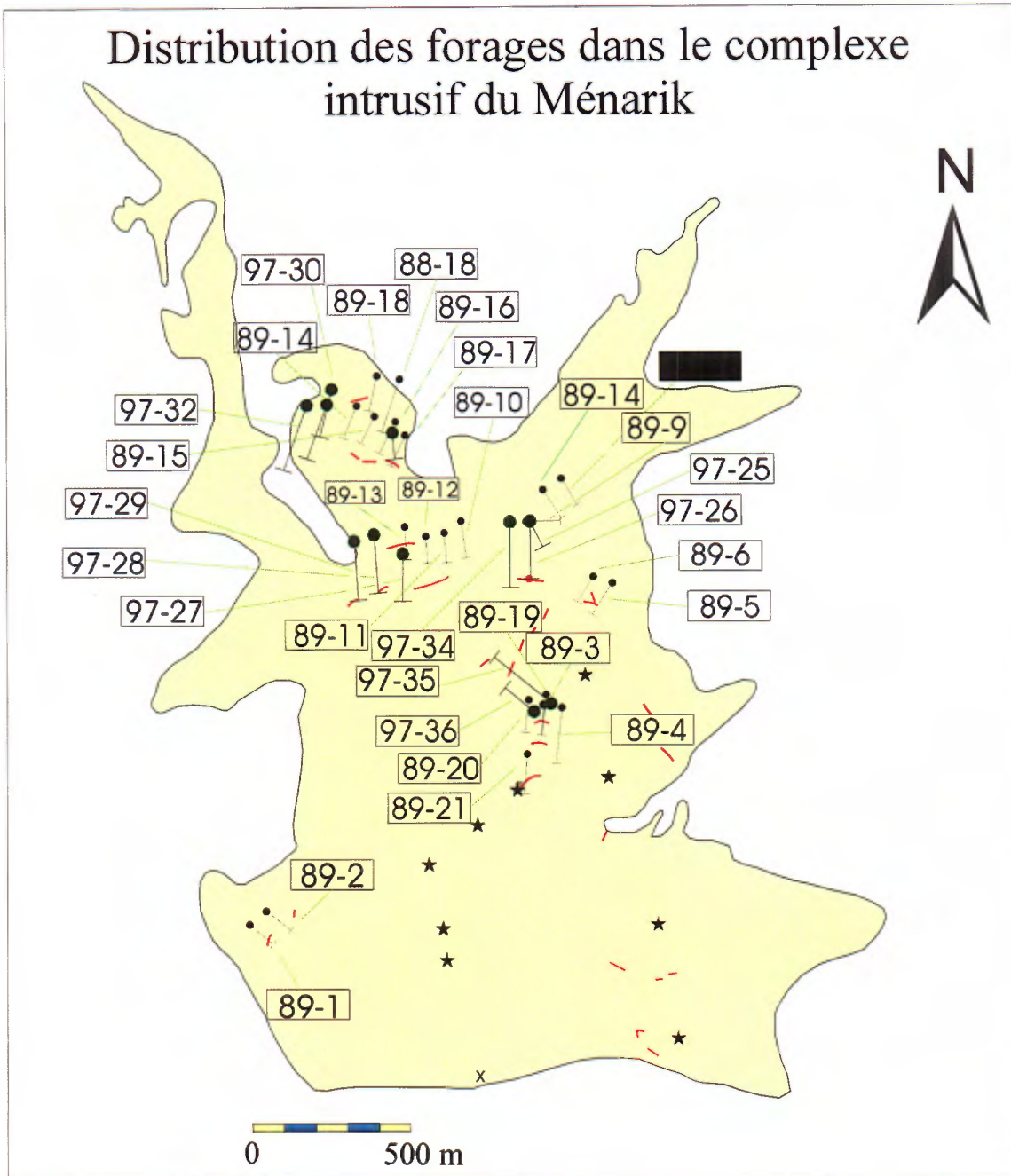


Figure 3. Carte de distribution des sondages des campagnes de forage 1988, 1989 et 1997 de Ressources minières Pro-Or inc. La limite du Complexe ultramafique est indiquée par un contour continu.

6- GÉOLOGIE RÉGIONALE

La géologie de la région du Menarik comprend trois ensembles de roches archéennes, des dykes protérozoïques ainsi qu'un bassin sédimentaire d'âge Protérozoïque. Les roches supracrustales, plutoniques et gneisso-plutoniques archéennes de la région à l'étude font partie des sous-provinces de La Grande, de Bienville et d'Opinaca de la province tectonique du Supérieur (figure 4). Dans la région étudiée, la sous-province de Bienville est constituée d'une grande intrusion monzonitique, d'un granite à hornblende, d'une tonalite et d'une monzodiorite. La limite entre les sous-provinces de Bienville et de La Grande peut être mise en évidence par la différence de signatures magnétiques (Goutier et al., 1999a). Le contact sud de la sous-province de Bienville et de la sous-province de La Grande est une zone de faille coulissante majeure à déplacement dextre tandis que le contact sud-est serait plutôt une zone de faille de chevauchement (Goutier et al., 1999) (figure 4).

La sous-province méta-sédimentaire d'Opinaca est constituée de wackes feldspathiques plissés (roches sédimentaires) passant progressivement à des paragneiss. Elle comporte également des conglomérats, des formations de fer et des arénites.

La sous-province de La Grande se compose d'un ensemble de gneiss tonalitiques, d'une séquence volcano-sédimentaire (ex. sillon volcano-sédimentaire de Yasinski) et de multiples intrusions tonalitique, granitique, gabbroïque et ultramafique.

Le sillon volcano-sédimentaire de Yasinski est grossièrement de direction nord-est sud-ouest. Dans sa partie nord-est, les unités volcaniques se trouvent en deux bandes principales qui se rejoignent près de la propriété, formant un "U" pointant vers le nord-est. La présence de roches sédimentaires, présumées plus récentes, dans le coeur de cette structure suggérerait la présence d'un synforme plongeant vers l'ouest. A l'opposé, la carte de compilation de Gauthier et al. (1997) y indique la présence de roches granitiques intrusives qui suggère la présence d'un antiforme plongeant vers l'est. Par ailleurs, le nez de cette structure est occupé par le Complexe intrusif de Ménarik (méta-péridotite et gabbros).

Dans la région, les roches les plus anciennes de la sous-province de La Grande sont constituées de gneiss tonalitiques et de tonalites du Complexe de Langelier. Des échantillons de gneiss tonalitiques ont été datés à 2811 ± 2 Ma (Mortensen et Ciesielski, 1987) tandis que les plutons tonalitiques à hornblende et à biotite ont été datés à $2788 \pm 4/-3$ Ma et 2794 ± 2 Ma (Goutier *et al.*, 1999b). Ces roches gneisso-plutoniques constituent le socle sur lequel se sont déposées les roches sédimentaires de la Formation d'Apple et les roches volcaniques du Groupe de Yasinski (Goutier *et al.*, 1999b; LaFlèche et al., 2000).

Les roches sédimentaires de la Formation d'Apple sont principalement composées d'arénites quartzitiques et de conglomérats monogéniques pyritifères et uranifères qui reposent en discordance sur les gneiss du Complexe de Langelier. Les roches volcaniques du Groupe de Yasinski sont surtout constituées de basaltes tholéiitiques. Aussi, en plus faible proportion, des roches volcaniques calco-alcalines différenciées de compositions intermédiaire et felsique ont été observées (LaFlèche et al., 2000). Une dacite de ce groupe a été datée à $2732 \pm 8/-6$ Ma (Goutier *et al.*, 1998a) et des tonalites et diorites, datées entre 2716 et 2709 Ma, sont injectées dans l'empilement volcanique (Goutier *et al.*, 1998a; 1999a).

Les roches volcaniques du Groupe de Yasinski alternent avec des formations de fer et, plus rarement, avec des séquences de grès et de conglomérats polygéniques. Le Groupe de Yasinski est surmonté régionalement par les grès et les conglomérats polygéniques des Formations archéennes de Shabudowan et d'Ekomiak.

Des masses de roches ultramafiques, ont été observées à différents endroits. La plus importante en superficie, le Complexe intrusif de Ménarik, se trouve à l'extrémité orientale du lac Menarik et constitue le pôle d'intérêt principal de Ressources minières Pro-Or inc. pour la recherche de dépôts de nickel-cuivre, chrome, et éléments du groupe du platine (ÉGP).

Dans son mémoire de maîtrise, Rivard (1985) interprète cette intrusion ultramafique comme un lopolithe. Les travaux de Houlié (2000) montrent que le Complexe intrusif possède également une composante mafique (gabbroïque) non négligeable. Cette unité, visible dans la partie NO de l'intrusion, correspondrait à la partie sommitale de l'intrusion. Nous croyons aussi possible que la

forme et l'attitude de cette intrusion reflètent plutôt la position particulière d'une intrusion tabulaire dans le nez d'un antiforme plongeant vers l'est. La mise en place de granites et de pegmatites tarditectoniques, datés à 2618 ±18/-13 Ma (Goutier *et al.*, 1999b; 2000), marque la fin du plutonisme archéen dans la région.

Les roches de la région du lac Yasinski ont été affectées par un métamorphisme régional, variant du faciès des schistes verts au centre, au faciès des amphibolites au nord et au sud en s'approchant des sous-provinces de Bienville et d'Opinaca. Les estimations géothermobarométriques, effectuées sur des échantillons provenant du lac Shpogan (33F/02 et 33F/03), suggèrent un métamorphisme amphibolitique de basse pression qui aurait vraisemblablement été occasionné par la mise en place des roches plutoniques tardives.

7. GÉOLOGIE DE LA PROPRIÉTÉ MÉNARIK

La propriété Menarik se situe dans l'extrémité NE de la ceinture volcano-sédimentaire du lac Yasinski. Plusieurs lithologies, dont le Complexe de Langelier, le Groupe de Yasinski, l'intrusion de Duncan, le pluton d'Amisach Wat et des dykes à xénolites (protérozoïques), se retrouvent à proximité du Complexe intrusif de Ménarik.

Dans le secteur du Complexe intrusif de Ménarik, les roches volcaniques sont très déformées et les structures primaires sont souvent oblitérées. Les roches volcaniques, localement grenatifères, sont métamorphisées en amphibolites foliées. Des formations de fer, des conglomérats, des wackes et des intrusions felsiques porphyriques sont intercalés dans les roches volcaniques. Les roches associées à la formation d'Ekomiak sont constituées de wackes et de conglomérats polygéniques. Le système intrusif de Duncan, qui borde le secteur N et SE du Complexe intrusif de Menarik, est constitué de tonalites et de tonalites à hornblende légèrement déformées et postérieures au Groupe de Yasinski. Les nombreuses minéralisations aurifères de la propriété Menarik (secteur Nord) sont encaissées dans cette intrusion. Le pluton d'Amisach Wat est constitué de tonalites porphyriques riches en phénocristaux de quartz et de hornblende. Ces tonalites sont post-métamorphiques (Houlé, 2000) (Figure 5).

Le Complexe intrusif de Ménarik est constitué d'une séquence ultramafique et d'une séquence mafique. La séquence ultramafique est composée de dunite, d'harzburgite à chromite, de lherzolite à chromite, de pyroxénites, d'horizons stratiformes de chromitites platinifères et de sulfures filoniens riches en ÉGP-Ni-Cu. À la surface, sa superficie est d'environ 2 * 3 km² et son épaisseur est estimée à environ 500 mètres. Il est encaissé dans la tonalite de Duncan et dans les basaltes mylonitisés du Groupe de Yasinski (Houlé, 2000). Les données magnétométriques disponibles suggèrent fortement que le Complexe intrusif de Ménarik pente légèrement vers le nord sous les tonalites. Cette configuration géométrique augmenterait considérablement la superficie de l'intrusion et conséquemment l'extension des zones minéralisées chromifères et platinifères.



Figure 5. Carte géologique simplifiée du Complexe intrusif de Ménarik (modifiée de Houlé, 2000).

7.1 Le Complexe intrusif de Ménarik (séquences ultramafique et mafique)

Les roches des séquences ultramafique et mafique du complexe intrusif occupent le centre sud de la propriété Ménarik pour y former un massif intrusif situé à la hauteur du nez du synforme du lac Yasinski. Le Complexe intrusif de Ménarik est localement en contact de faille avec les lithologies environnantes et, est recoupé dans sa partie médiane par une faille inverse est-sud-est (faille du lac Ménarik). Les roches du bloc nord du complexe sont inclinées de 40 degrés vers le nord et les roches du bloc sud montrent une inclinaison du litage magmatique d'environ 70 degrés vers le nord (Goutier et al., 1998; Houlé, 2000). Les roches de la séquence ultramafique comportent des dunites, des harzburgites, des werhlites et des chromitites et les roches de la séquence mafique sont surtout gabbroïques. Les roches ultramafiques ont subi le métamorphisme régional. Près des zones de cisaillement, la péridotite devient fréquemment talqueuse. De nombreux horizons de chromitites stratiformes y ont été observés en affleurements et en forage. Les analyses lithogéochimiques montrent que plusieurs de ces unités sont enrichies en Pd et Pt.

7.2 Structure

Deux épisodes de métamorphisme régional ont affectées les roches de la région. Sur la propriété Ménarik, le métamorphisme varie du faciès des schistes verts à celui des amphibolites. Dans le Complexe intrusif de Ménarik, le métamorphisme se manifeste par la présence de serpentine, de chlorite, de magnétite, de talc et de carbonates.

Dans la séquence ultramafique du complexe intrusif, le litage et la foliation magmatique sont facilement observables. Le litage s'exprime par une concentration élevée de chromite. En affleurement, les stratifications sont généralement assez régulières. De petites failles fragiles et tardives et le plissement peuvent expliquer certaines variations observées dans le litage magmatique du Complexe intrusif de Ménarik. Selon Houlé (2000), l'attitude moyenne du litage serait de $261^{\circ} / 57^{\circ}$.

Les roches de la zone ultramafique sont localement plissées (figure 6). Toutefois, en raison de l'homogénéité des roches du Complexe intrusif de Ménarik, ces zones plissées sont extrêmement

difficiles à observer. Les plis observés sont généralement décimétriques à métriques. Ces derniers sont surtout observés dans la partie sud du complexe intrusif. Lorsque projeté sur un stéréonet, le litage magmatique définit un grand arc de cercle dont le pôle correspondrait à un axe de plis orienté $068^{\circ} / 27^{\circ}$. Ce plis serait de type très ouvert.

Les roches du Complexe intrusif de Ménarik sont localement recoupées par des failles associées à des zones de cisaillement généralement caractérisées par la présence de talc. Ces dernières déplacent les horizons de chromitite d'un mouvement généralement dextre. Ces failles peuvent être subdivisées en 3 populations. La première et la plus importante est d'orientation ESE et semble découper le Complexe intrusif de Ménarik en deux blocs. La seconde, d'orientation ENE-NE et la dernière à une orientation N-NNO.

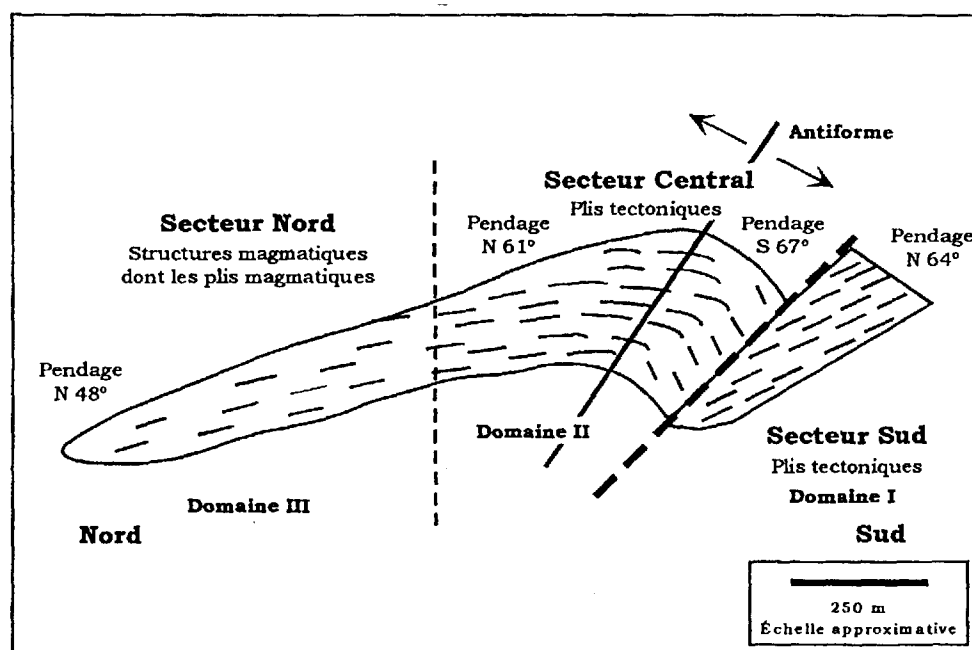


Figure 6. Coupe schématique montrant le plissement des roches du Complexe intrusif de Ménarik (tirée de Houlé, 2000).

8. MINÉRALISATIONS

Dans cette section du rapport nous présentons uniquement les caractéristiques des minéralisations de Cr, ÉGP et de sulfures de Cu-Ni associées aux roches du Complexe intrusif du Ménarik. Les nombreuses minéralisations aurifères de la partie nord de la propriété Ménarik sont décrites dans Pelletier (1998).

8.1 Minéralisations liées au Complexe intrusif de Ménarik

Sur le terrain, les indices de chromite (Cr-1 à 32) se présentent sous la forme d'horizons stratiformes cartographiables sur plusieurs dizaines de mètre (le mort terrain et la forêt étant les facteurs limitants) (figure 7). Les minéralisations chromifères se retrouvent sous la forme de péridotites à chromite, de chromitites à silicates et de chromitites massives. Les faciès sont souvent zonés avec un cœur constitué de chromitites massives bordé d'une enveloppe de chromitites à silicates puis de péridotites à chromite.

Suite aux différentes campagnes de forage (1988, 1989 et 1997), il est évident que ces indices chromifères se poursuivent également en profondeur. Cependant, notons que la profondeur verticale moyenne investiguée par les forages antérieurs n'est que de 120 (\pm 40) m et que le potentiel minéral est ouvert en profondeur et ce probablement jusqu'à la base de l'intrusion (environ 500-600 m). Toutefois, de par la nature stratiforme de la minéralisation, et par analogie à la grande continuité latérale observée dans les chromitites stratiformes associées aux intrusifs lités archéens (ex. chromitites du Bushveld et du Stillwater), il est hautement probable que les chromitites du Ménarik se poursuivent jusqu'à la base de l'intrusion.

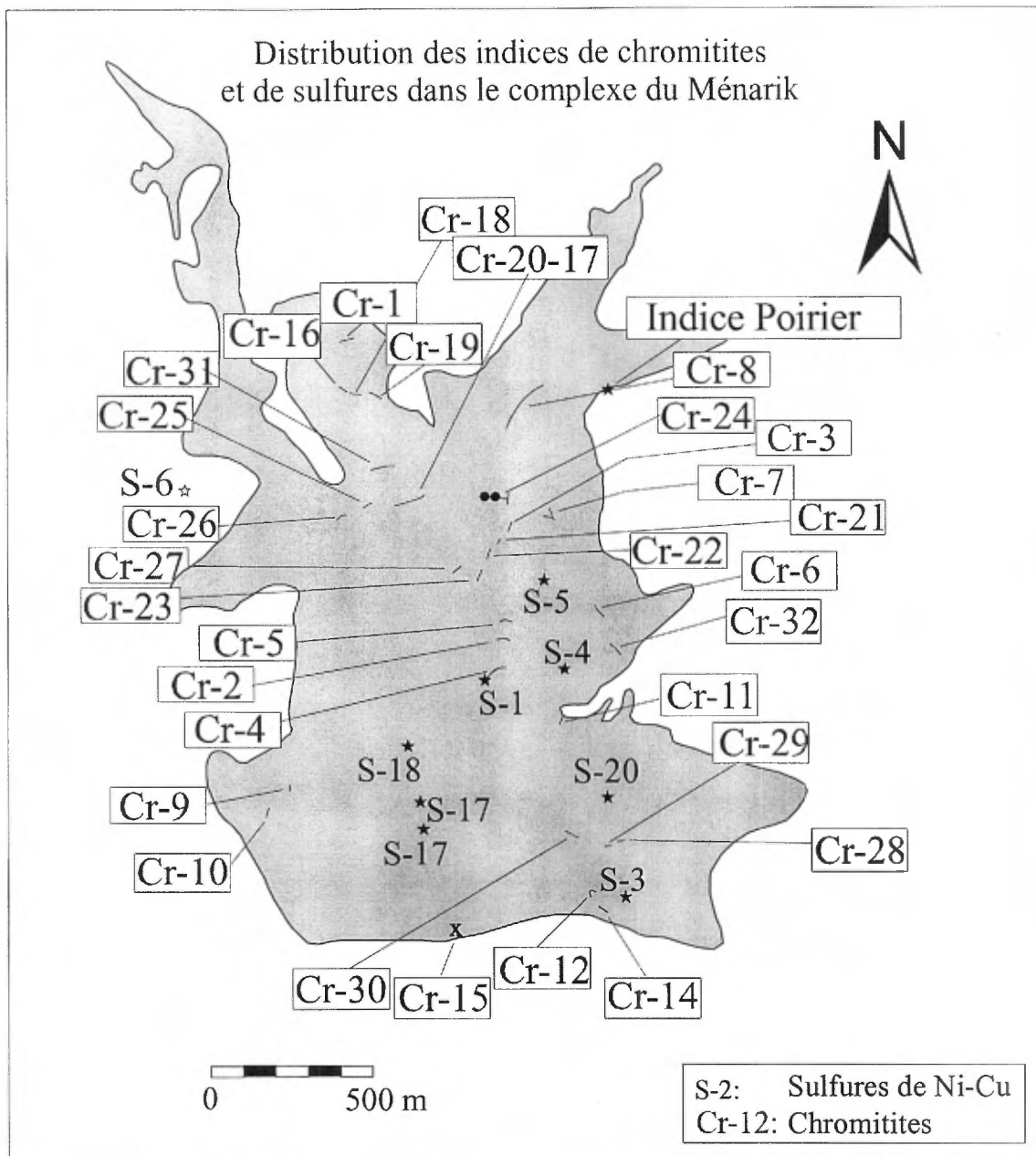


Figure 7. Distribution spatiale des indices de chromitites et de sulfures Ni-Cu-ÉGP dans le Complexe ultramafique de Ménarik.

9- CAMPAGNE DE SONDAGES 2004

Au total, la campagne de 2004 impliqua le forage de 3197.6 mètres. Les 13 sondages (MK-04-01 à MK-04-13 respectivement) suivants avaient pour objectif d'explorer les continuités latérales et ou verticales des indices de chrome Cr-1, Cr-16-18-19 déjà partiellement reconnus par les sondages de 1988-89 et de 1997 réalisés pour Ressources minières Pro-Or inc. (figures 3 et 8)

Ces indices de chromitites affleurent dans la partie Nord du Complexe intrusif de Ménarik et sont nettement plus riches en ÉGP que les indices de chromitites situés dans la partie sud de la propriété Ménarik. Toutefois, les chromitites de la partie nord du Ménarik contiennent plus de fer ce qui confère aux concentrés de chromite des rapports Cr/Fe inférieurs aux valeurs observées dans les chromitites de partie Sud de la propriété. Compte tenu de l'existence d'un nouveau procédé métallurgique permettant d'éliminer le fer (propriété de Ressources minières Pro-Or inc.) (Bergeron et LaFlèche, 2003), l'excédent de fer pourrait être facilement éliminé ce qui permettrait d'obtenir un concentré de chromite de très haute qualité métallurgique.

9.1 Localisation des sondages

Dans un premier temps, les forages ont été localisés à partir des anciennes lignes coupées les plus proches et par la suite à partir d'un levé de positionnement DGPS sub-métrique (*système DGPS RTK de Trimble*). Dans un premier temps, leurs azimuts ont été établis à la boussole puis calculés à partir des données DGPS provenant des visées avant et arrière des forages. Cette procédure étant préférable en raison de forts contrastes magnétiques reliés à la présence de roches ultramafiques riches en magnétite. La répartition géographique des sondages est représentée sur la figure 8 et dans les tableaux 2 et 3.

Dans ce rapport nous utiliserons le système de projection UTM Nad-27. Toutefois rappelons que ce système de projection n'est pratiquement plus utilisé en géodésie ou par les différentes agences gouvernementales. Ces institutions et organismes utilisent le système canadien UTM Nad-83. Afin de pouvoir rapidement projeter les données de forage dans ce système de projection

nous avons calculé les positions UTM des forages de 2004 en unités Nad-83. Ces données sont présentées dans le tableau 3.

9.2 Transport et entreposage des carottes de forage

Les carottes des forages de la campagne 2004 ont été entreposées au camp de Pro-Or inc. situé près de la rivière Ménarik. À la demande de Ressources minières Pro-Or inc., les intersections de chromitites ont été systématiquement acheminées à une carothèque du Groupe minier St-Jacques située dans la municipalité de Taschereau (Abitibi).

Sur la propriété Ménarik, les boîtes de carotte ont été transportées sur une chenillette NORWEL appartenant au contracteur en forage. Une fois en bordure de la route Trans-Taiga, les carottes de forage ont été acheminées vers Val-d'Or en utilisant un transport par camion.

Carte de localisation des sondages de 2004

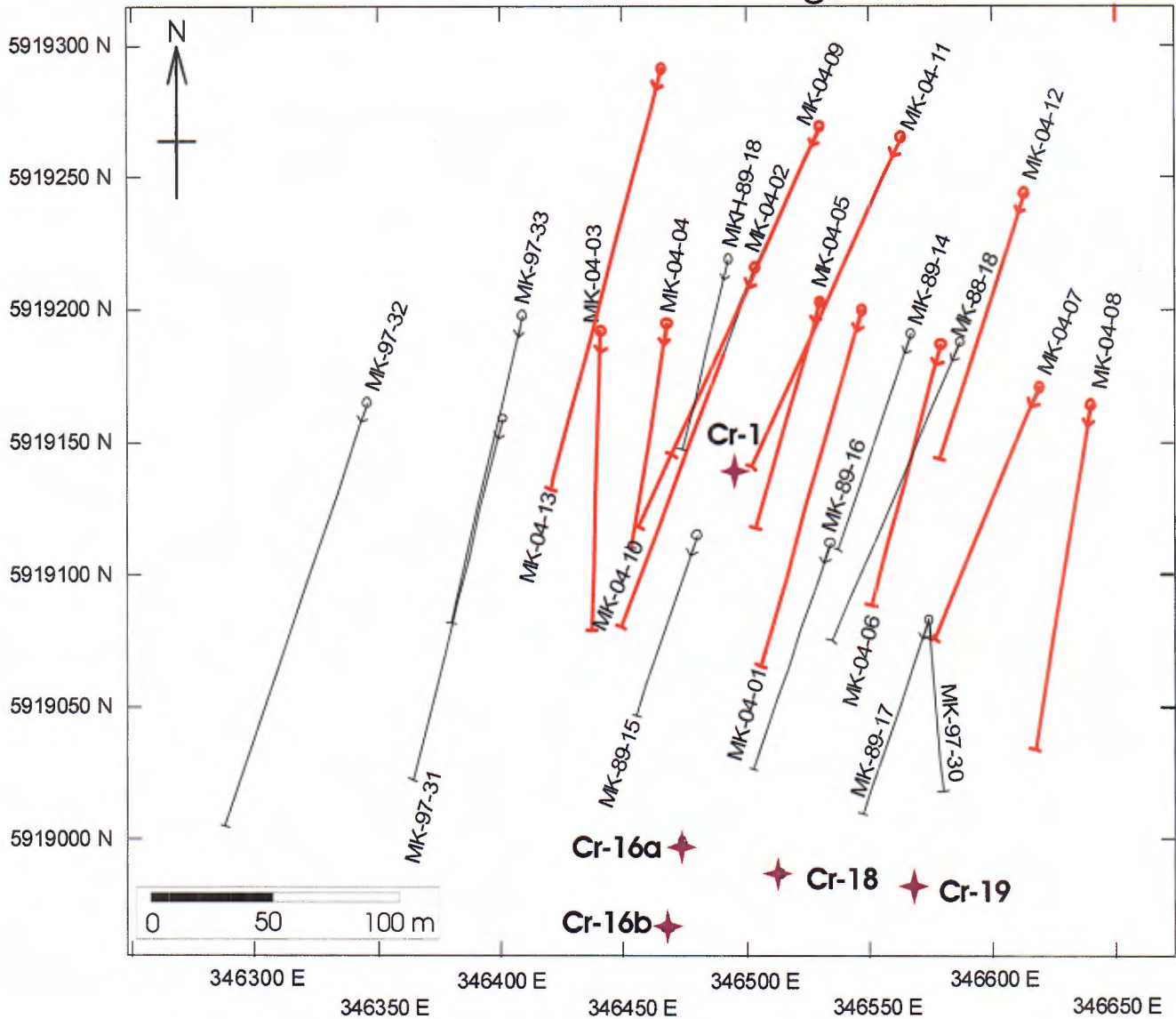


Figure 8. Carte de localisation des sondages de la campagne de 2004 (en rouge) et des anciens sondages des campagnes antérieures. Projection UTM Nad-27. Les étoiles montrent la position des indices Cr-1, Cr-16a, Cr-16b, Cr-18 et Cr-19 en affleurement.

9.3 Préparation des échantillons

Lors de la campagne de forage, les échantillons ont été prélevés en sciant longitudinalement la carotte à l'aide d'une scie à diamant. Ce travail a été réalisé dans une carothèque temporaire aménagée sur le site de Ménarik. Les échantillons ont par la suite été soigneusement ensachés dans des sacs de plastique numérotés et un identifiant cartonné a été ajouté à l'intérieur des sacs pour éviter toutes erreurs d'identification des échantillons.

Suite au transfert des échantillons à Québec, ces derniers ont été broyés, quartés et pulvérisés aux laboratoires de l'INRS-ETE à Québec. L'ensemble de l'échantillon a été concassé et seulement quelques centaines de grammes (représentatifs de l'échantillon) ont été broyés. Pour éviter toute probabilité de contamination métallique en fer et chrome, les échantillons ont été pulvérisés à l'aide d'un mortier en agathe.

9.4 Analyse chimique des échantillons

Le dosage quantitatif des éléments majeurs, incluant le Cr et le Fe, dans des échantillons riches en chromite (parfois jusqu'à 80%) est un problème analytique important car ce minéral est réfractaire et difficilement solubilisable dans des acides forts ou des fondants. Dans le cadre des projets de recherche réalisés pour Pro-Or inc., l'INRS-ETE a développé un protocole spécifiquement adapté à l'analyse des chromitites. Cette méthode assure la destruction complète de l'échantillon. Ce protocole est basé sur une fusion alcaline (mélange de méta et tétraborate de lithium) classique en prenant soin d'ajuster la prise d'échantillon pour éviter une digestion incomplète de l'échantillon (présence de résidus de chromite). Après fusion complète de l'échantillon, ce dernier est dissous dans de l'acide nitrique. Une précaution particulière est apportée pour éliminer les solutions montant une turbidité ou la présence de précipités chimiques secondaires. Le dosage final des échantillons translucides se fait par spectrométrie d'émission atomique à source plasma (ICP-AES). Compte tenue de la forte abondance du Cr et de Fe, un ICP-AES à détecteur radial est utilisé (Perkins Elmer, Optima 3000).

La préparation et le dosage pour les métaux précieux (Au, Pt, Pd) ont été réalisés par Chimitec. Les échantillons ont été envoyés au laboratoire de Val-d'Or (Qc) puis à ceux de Vancouver (CB). Les échantillons, d'un poids moyen de 25 grammes, ont été préparés par la méthode de fusion plombeuse suivit d'une coupellation et d'une digestion de la bille métallique dans *l'aqua-reggia*. Le dosage se fait par spectrométrie d'émission atomique à source plasma (ICP-AES). Lors du passage des échantillons, le contrôle de qualité implique le passage d'un blanc, d'un standard et de 2 duplicata à tous les 36 échantillons.

TABLEAU 2: COORDONNÉES, AZIMUTHS ET PLONGÉES DES SONDAGES DE 2004.**Localisation, longueur, plongée et azimuth des sondages**

Campagne de forage de décembre 2004 - Propriété Ménarik, Baie-James

Sondage	UTM-E Nad 27	UTM-N Nad 27	Élévation (m)	Longueur (m)	Plongée début (degré)	Plongée fin (degré)	Azimuth
MK-04-01	346547	5919200	172.2	200.0	-45.0	-46.5	197
MK-04-02	346504	5919216	173.6	206.0	-45.0	-45.5	202
MK-04-03	346441	5919192	172.7	183.0	-52.5	-52.0	182
MK-04-04	346468	5919195	171.7	209.5	-65.5	-66.0	190
MK-04-05	346530	5919203	172.9	215.5	-66.5	-65.0	197
MK-04-06	346579	5919187	172.9	251.3	-65.5	-67.0	196
MK-04-07	346619	5919171	174.6	254.0	-65.0	-67.0	204
MK-04-08	346640	5919164	177.0	190.7	-45.0	-46.0	190
MK-04-09	346530	5919269	182.1	329.1	-66.0	-66.5	206
MK-04-10	346530	5919269	182.1	323.4	-57.5	-58.5	206
MK-04-11	346563	5919265	178.4	260.4	-58.0	-58.0	196
MK-04-12	346613	5919244	174.1	245.4	-65.0	-64.0	199
MK-04-13	346466	5919291	183.0	329.3	-58.0	-61.5	196

TABEAU 3: COORDONNÉES UTM-NAD27 ET NAD83 DES SONDAGES DE 2004 ET DES INDICES DE SURFACE DANS LA PARTIE NORD DU COMPLEXE DE MÉNARIK.

Localisation des sondages et des principaux indices dans les systèmes UTM-Nad27 et Nad83

Sondage	UTM-E NAD83	UTM-N NAD83	altitude (m)		UTM-E NAD27	UTM-N NAD27	altitude (m)
MK-04-01	346569	5919429	172.2	MK-04-01	346547	5919200	172.2
MK-04-02	346526	5919445	173.6	MK-04-02	346504	5919216	173.6
MK-04-03	346463	5919421	172.7	MK-04-03	346441	5919192	172.7
MK-04-04	346490	5919424	171.7	MK-04-04	346468	5919195	171.7
MK-04-05	346552	5919432	172.9	MK-04-05	346530	5919203	172.9
MK-04-06	346601	5919416	172.9	MK-04-06	346579	5919187	172.9
MK-04-07	346641	5919400	174.6	MK-04-07	346619	5919171	174.6
MK-04-08	346662	5919393	177.0	MK-04-08	346640	5919164	177.0
MK-04-09	346552	5919498	182.1	MK-04-09	346530	5919269	182.1
MK-04-10	346552	5919498	182.1	MK-04-10	346530	5919269	182.1
MK-04-11	346585	5919494	178.4	MK-04-11	346563	5919265	178.4
MK-04-12	346635	5919473	174.1	MK-04-12	346613	5919244	174.1
MK-04-13	346488	5919520	183.0	MK-04-13	346466	5919291	183.0

Indice (surface)

cr-1	346517	5919368		cr-1	346495	5919139	
cr-16a	346496	5919228		cr-16a	346474	5918999	
cr-16b	346490	5919196		cr-16b	346468	5918967	
cr-16c	346492	5919197		cr-16c	346469	5918967	
Cr-18	346536	5919217		Cr-18	346514	5918987	
Cr-19	346588	5919212		Cr-19	346566	5918983	

9.5 Présentation des résultats

Les journaux de sondage, rédigés par l'ingénieur-géologue Yvan Bussi eres, sont pr esent es dans l'annexe I. Les analyses chimiques, correspondantes aux  chantillons pr elev es par ce dernier, sont pr esent es   la fin de chaque journal de sondage et dans les annexes II et III (r esultats analytiques).

La position g eographique des sondages est pr esent ee sur la figure 8 et dans les tableaux 2 et 3. Sur la figure 8, nous avons ajout e les sondages des campagnes de 1988, 1989 et 1997 couvrant le secteur des indices Cr-1 et Cr-16-18-19. Cette compilation permet de visualiser l'agencement spatial de l'ensemble des sondages.

Dans ce rapport, nous avons de plus ajout e des sections (*imprim ees en format l egal*) qui repr esentent l'essentiel des observations contenues dans les journaux de sondage (annexe IV). Ces sections repr esentent des plans verticaux passant par l'axe des sondages.   l'annexe V, nous avons ajout e une s erie de *logs* stratigraphiques montrant les caract eristiques g eologiques, les variations des abondances en Cr₂O₃, Pd et Pt et la variabilit e de la susceptibilit e magn etique observ ees dans les sondages. Les diff erents plans et sections ont  t e produits   l'aide du logiciel *Downhole Explorer 3.0* et  dit es dans le logiciel de dessin technique *Corel-Draw 10*.

Les rapports sur les donn ees analytiques de Chimitec et de l'INRS-ETE (pr esent es dans les annexes II et III) ont  t e sign es par les chimistes responsables des deux entit es administratives (chimistes membres de l'ordre des chimistes du Qu ebec).

9.5.1 Sondages MK-04-02 à MK-04-04

Ces trois sondages vérifiaient l'extension vers l'ouest des minéralisations chromifères associées aux indices Cr-1 et Cr-16. Ils ont donc été implantés pour recouper les deux zones minéralisées distantes d'approximativement 120 m (figure 8).

Comme prévu, les cibles ont été atteintes à une profondeur linéaire de 39 à 71 m (le long du trou de forage) et les échantillons prélevés sur l'indice Cr-1 ont retourné des intersections de chromitites titrant de 8 à 8,1 % Cr_2O_3 et de 0,24 à 0,54 g/t de Pt+Pd sur une épaisseur variable de 3 à 13,8 m. De la même façon, ces sondages ont intersecté l'indice Cr-16 à une profondeur linéaire de 154 à 191 m et retourné des teneurs de 5,6 à 8,6 % Cr_2O_3 et de 0,27 à 0,88 g/t de Pt+Pd sur une épaisseur de 5,61 à 10,8 m (Tableau 4).

L'amincissement de la zone Cr-1 dans le sondage MK-04-03 (*épaisseur de 3 m*) pourrait s'expliquer par deux processus. Le premier serait relié à la présence d'une zone de déformation caractérisée par une zone cisailée et localement brèchique localisée dans la partie supérieure de la zone minéralisée (entre 22 et 30 m de profondeur) (annexe 1, et log stratigraphique MK-04-03 dans l'annexe V). Cette structure tardive, avec un angle A/C de 25° , recoupe la stratification magmatique (angle A/C de 45°) avec un angle de 20° . La présence de ces discontinuités structurales, fréquemment observées en se rapprochant du contact avec les tonalites injectées de gabbro, pourrait s'expliquer par un fort contraste rhéologique entre les péridotites riches en chlorite et talc (ductiles) et les granitoïdes tardifs homogènes et structuralement compétents. Ce contraste expliquerait la concentration de corridors de déformation dans les roches ultramafiques situées en bordure des granitoïdes.

Le second processus, d'origine magmatique, impliquerait entre autre une dilution des teneurs en Cr_2O_3 par un mode d'accumulation relativement disséminé de la chromite dans le réservoir magmatique. Cette distribution pourrait expliquer les abondances en Cr_2O_3 systématiquement plus élevées dans les péridotites situées au dessus des chromitites intersectées dans le sondage MK-04-03 (Cr_2O_3 : 0,64-1,52 %) par rapport aux péridotites analysées dans le sondage MK-04-02 et montrant de plus faibles teneurs en Cr_2O_3 (Cr_2O_3 : de l'ordre de 0,3 %). Le log

stratigraphique du sondage MK-04-03 montre effectivement des abondances en Cr_2O_3 supérieures au bruit de fond généralement observé dans les autres péridotites du Complexe.

Dans le cas de la zone Cr-16 intersectée dans le sondage MK-04-04, l'amincissement apparente de la zone minéralisée est tributaire du fait que nous avons subdivisé la zone en deux bandes espacées de 4 mètres. En réalité, l'intersection de 8,6% Cr_2O_3 sur 5,7 m est immédiatement suivit d'une autre zone de chromitite titrant 5,61% Cr_2O_3 sur 5,6 m (Tableau 4).

Les sondages MK-04-02, MK-04-03 et MK-04-04 ont été implantés avec des plongées respectives de 45° , 52° et $65,5^\circ$. Les angles de recoupement des structures planaires relatif à l'axe de la carotte de forage (A/C) associés à l'indice Cr-1 (litage magmatique des chromitites) montrent des valeurs variant de 63 à 75° dans le sondage MK-04-02, de 50 à 70° dans le MK-04-03 et de 45 à 55° dans le MK-04-04. La diminution de l'angle A/C observé dans le dernier forage étant compatible avec l'accentuation de la plongée du forage. Au voisinage de l'indice Cr-16, les angles observées sont de 78° dans le sondage MK-04-2, de 50 à 70° dans le MK-04-3 et de 45 - 55° dans le MK-04-04. Notez que les angles A/C observés dans les bandes de chromitites ne sont pas strictement perpendiculaires ce qui implique une oblicité dans l'intersection des zones minéralisées.

9.5.2 Sondages MK-04-01 et MK-04-05 à MK-04-08

Ces sondages vérifiaient l'extension vers l'est des minéralisations chromifères associées aux indices de chromitite Cr-1 et Cr-16. Ils ont donc été implantés pour recouper les deux zones minéralisées (figure 8). Dans cette série de sondages, le MK-04-05 est celui implanté le plus à l'ouest tandis que les sondages subséquents sont situées de plus en plus vers l'est. Le sondage MK-04-08, implanté le plus à l'est, visait à délimiter la fin probable de la zone Cr-1 en entrant dans les roches granitiques et gabbroïques qui bordent le Complexe ultramafique.

Les sondages MK-04-01 et MK-04-05 ont recoupé les indices Cr-1 et Cr-16 tout comme les forages précédents (Tableau 4 et logs stratigraphiques de MK-04-01 et MK-04-05 dans l'annexe V). Dans ces sondages, la zone Cr-1 a retourné des intersections continues de 6,66 à 7,9% Cr_2O_3

et des teneurs en ÉGP de 0,40 à 0,54 g/t de Pt+Pd sur 4,7 à 11,3 m et des intersections continues de 5,77 à 7,26% Cr₂O₃ sur 5,9m à 14,1 m associées à la zone Cr-16 (tableau 4).

Les sondages MK-04-06 à MK-04-08 n'ont pas intersecté la zone de chromitite Cr-1 (Tableau 4 et logs stratigraphiques MK-04-06 à MK-04-08 dans l'annexe V). Dans ce secteur, l'on observe une augmentation progressive de la proportion de dykes gabbroïques en se dirigeant vers l'est. Le forage MK-04-08 a intersecté plus de 80% de gabbro ce qui souligne la fin du complexe ultramafique et conséquemment la fin des zones minéralisées en chrome et ÉGP dans ce secteur. La présence du gabbro est entre autre mise en évidence par la très faible susceptibilité magnétique observée dans le sondage (log stratigraphique MK-04-08). Cette très faible susceptibilité contraste avec la haute susceptibilité magnétique observée dans la bande de péridotite située entre les différentes masses gabbroïques. Toutefois, dans le sondage MK-04-06, l'absence de l'indice Cr-1 ne peut s'expliquer par l'injection de gabbros car le journal de sondage rapporte la présence de péridotites cumulatives dans la zone où l'on devrait intersecter Cr-1. Les hautes valeurs et l'uniformité des données de susceptibilité magnétique mesurées sur les carottes de cette zone confirment la présence de péridotites et l'absence de chromitites. La présence d'une zone cisailée, caractérisée par la présence d'une mince bande de gabbro cisailé, marque l'emplacement où l'on devrait théoriquement retrouver l'indice Cr-1 dans les sondages MK-04-06 et MK-04-7. La présence de cette zone de déformation n'est probablement pas fortuite et pourrait suggérer un déplacement probable des chromitites de l'indice Cr-1 le long d'une faille.

Même si l'indice Cr-1 n'a pas été observé dans les sondages MK-04-06 à MK-04-08, les sondages MK-04-06 et MK-04-07 ont intersecté des chromitites probablement reliées à l'indice Cr-16 (logs stratigraphiques MK-04-06 et MK-04-07 dans l'annexe V). Les échantillons prélevés dans le sondage MK-04-06 ont rapportés trois intersections de chromitites titrant de 7,3 à 8,5% Cr₂O₃ et de 0,29 à 1,18 g/t de Pt+Pd sur des épaisseurs variant de 5,5 à 20,7 m (Tableau 4). Les échantillons du sondage MK-04-07 ont rapportés une intersection de 6,54% Cr₂O₃ et de 0,17 g/t de Pt+Pd sur 10,5m (Tableau 4).

La zone de chromitite du sondage MK-04-07 est bordée vers le bas (en profondeur) par une zone intensément déformée. Ceci pourrait expliquer l'amincissement de la zone chromifère par rapport à celle observée dans le sondage MK-04-06 situé à seulement 30 mètres vers l'ouest.

Les sondages MK-O4-01, MK-O4-05, MK-04-06, MK-O4-07 et MK-O4-08 ont été implantés avec des plongées respectives de 45°, 65°, 66°, 65° et 47°. Les angles de recoupement des structures planaires associées à l'indice Cr-1 (angle du litage magmatique des chromitites par rapport à l'axe de la carotte de forage) observées sur les carottes des forages MK-04-01 et MK-04-05, montrent des valeurs moyennes de 18° dans le premier et de 45 à 50° dans le second. Pour ce qui est de l'indice Cr-16, les angles A/C observés pour le litage magmatique (bandes de chromitite) sont de 45° dans le MK-04-01, de 60° dans le MK-04-05, de 30 à 65° dans le MK-04-06 et de 35 à 75° dans le MK-04-07. Les faibles angles A/C observés localement dans les sondages MK-04-06 et MK-04-07 reflètent probablement l'effet de la déformation tardive localisée en bordure de corridors de déformation (zones schisteuses). Ces zones de déformation, montrant des angles A/C (foliation) de 25 à 30°, semblent réorienter les bandes de chromitites le long de la foliation.

Notez que les angles A/C observées dans les bandes de chromitites ne sont pas strictement perpendiculaires (90°) ce qui implique une oblicité dans l'intersection des zones minéralisées.

MEN-04-05

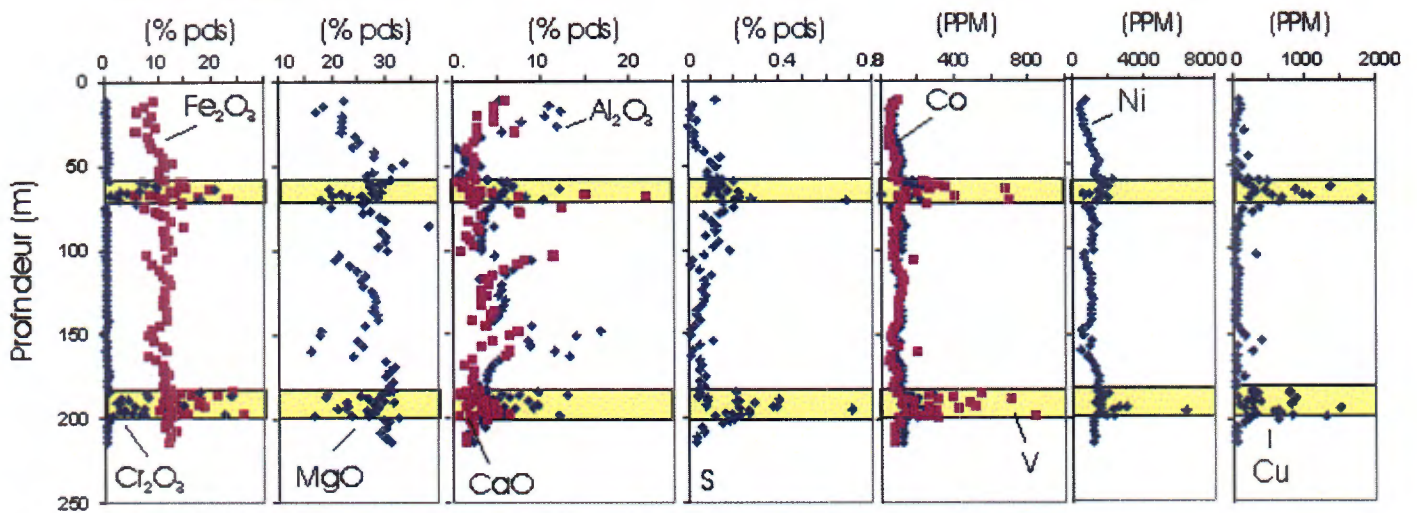


Figure 9. Variations lithogéochimiques observées en fonction de la profondeur dans le trou MK-04-05. Les bandes horizontales jaunes correspondent aux zones minéralisées Cr-1 (en haut) et Cr-16 (en bas). Notez la présence de cassures dans la courbe d'évolution magmatique. Entre les unités Cr-1 et Cr-16, l'on note la présence de roches ultramafiques plus alumineuses (probablement pyroxénitiques) qui alternent avec les roches de composition harzburgitique (péridotite). Ces variations suggèrent l'injection de plusieurs magmas ultramafiques (injections polyphasées) dans le réservoir magmatique.

Nous avons rapporté à la figure 9, les variations lithogéochimiques observées dans le sondage MK-04-05. Ce sondage, le plus systématiquement échantillonné par l'équipe de terrain, représente bien la succession stratigraphique observée en passant de l'indice Cr16 (en profondeur) à l'indice Cr-1 (vers la surface). Ce diagramme montre une stratigraphie magmatique plus complexe que celle décrite dans les journaux de sondage. Sur la base des éléments majeurs (ex. Al_2O_3 et CaO), elle met en évidence la présence et l'alternance d'unités péridotitiques riches en pyroxènes ou riches en olivine. Les variations géochimiques observées suggèrent fortement la présence d'unités pyroxénitiques (unités riches en CaO et MgO). Ces unités pourraient marquer la présence de plusieurs injections magmatiques (cycles) dans la chambre magmatique du Ménarik lors de sa formation. Entre les indices Cr-16 et Cr-1, l'on note la présence de trois unités enrichies en CaO et Al_2O_3 intercalées à des zones riches en olivine cumulative (roches riches en MgO et pauvres en CaO et Al_2O_3). La troisième bande riche en pyroxènes semble coïncider avec le début de la zone de chromitite Cr-1. Ces nouvelles observations sont intéressantes car elles suggèrent une injection multiphasée dans le réservoir magmatique lors de la formation du Complexe de Ménarik. Ces multiples injections auraient permis la formation d'autant de volumes

de magmas picritiques riches en Cr permettant de produire les différentes bandes de chromitites observées dans le Complexe.

La figure 9 montre de plus une augmentation significative des abondances en S et C et +/- Ni en se rapprochant des zones de chromitite Cr-1 et Cr-16. Ce phénomène est important car il semble coïncider avec la présence de fortes abondances en Pd et Pt dans les chromitites. Cette observation est compatible avec les observations minéragraphiques et microscopiques montrant une étroite association spatiale entre les minéraux riches en ÉGP (ex. alliages) et la présence de chalcopyrite ou de pentlandite dans les lames minces des chromitites platinifères (LaFlèche et al., 2001).

9.5.3 Sondages MK-04-09, MK-04-10 et MK-04-13

Ces sondages ont été implantés pour intersecter l'indice Cr-1 à plus grande profondeur (de 125 à 208 m) tout en documentant la zone de péridotite située entre l'indice Cr-1 et le contact avec les roches gabbroïques et tonalitiques qui bordent la partie Nord du complexe de roches ultramafiques.

Les sondages MK-04-9, 10 et 13 ont intersectés les zones minéralisées Cr-1 et Cr-16 tel que prévu. Les intersections reliées à l'indice Cr-1 ont rapportées des valeurs de 6,54 à 8,86 Cr₂O₃ sur 4 à 13 m. L'amincissement observé dans le sondage MK-04-09 résulte du mode de calcul et de représentation des intersections. En réalité, l'indice Cr-1 dans ce forage est constitué de deux zones séparées de 4 m. La première titrant 8,03% Cr₂O₃ et de 0,31 g/t de Pt+Pd sur 7,8 m et la seconde 8,86% Cr₂O₃ et de 0,31 g/t de Pt+Pd sur 4 m.

Dans ces forages, les intersections reliées à la zone Cr-16 ont rapportées des teneurs de 7,27 % à 8,91 % Cr₂O₃ sur une épaisseur variable de 3,1 à 12,9 m. Les plus faibles épaisseurs observées dans le sondage MK-04-10 résultent de la subdivision de la zone Cr-16 en trois unités de chromitites. Le premier titrant 7,49% Cr₂O₃ et 0,27 g/t de Pt+Pd sur 13 m, le second 8,91% Cr₂O₃ et 0,35 g/t de Pt+Pd sur 12,9 m et la troisième de 7,43% Cr₂O₃ et 1,45 g/t de Pt+Pd sur 3,1 m.

Les sondages MK-O4-09, MK-04-10 et MK-O4-13 ont été implantés avec des plongées respectives de 65°, 57° et 58°. Pour l'indice Cr-1, les angles de recoupement (A/C) du litage magmatique des chromitites observées sur les carottes du forage MK-04-09 varient de 60° (à 195 m) à 20° (à 206 m). L'angle A/C du litage des chromitites semble se paralléliser au plan de foliation d'une zone schisteuse située à une profondeur de 218 m et montrant un angle A/C de 25°. De la même façon, le litage magmatique semble être influencé par la présence d'une zone schisteuse dans le sondage MK-04-10. Dans ce dernier, entre 127 et 145 m, le litage magmatique montre un angle A/C variable entre 30 et 60° et diminuant entre 5 et 35° en butant sur une zone schisteuse qui montre une foliation avec un angle A/C de 20°. A l'exception d'une zone de chromitites montrant un litage avec un angle A/C de 65°, les chromitites associées à l'indice Cr-1 du sondage MK-04-13 montrent de faibles angles A/C variant de 25 à 35°. Ceci semble encore une fois démontrer l'importance de la déformation dans la variation du pendage des zones de chromitites. Dans le cas présent, le sommet de l'indice Cr-1 est bordé d'une zone cisailée de 3 m d'épaisseur (angle A/C de 30°) et la base par 4 zones de schistes à biotite ou de péridotites cisailées montrant des foliations caractérisées par des angles A/C variant de 20 à 25°.

Pour ce qui est de l'indice Cr-16, les angles A/C observés pour le litage magmatique (bandes de chromitite) varient moins que pour les chromitites associées à l'indice Cr-1. Les angles A/C du litage magmatique sont de 55 à 60° dans le MK-04-09, de 40 à 70° dans le MK-04-10 et de 50° dans le MK-04-13. Les faibles angles A/C observés dans les chromitites associées à l'indice Cr-1 reflètent vraisemblablement l'effet de la déformation tardive localisée en bordure de corridors de déformation (zones schisteuses) ou de failles cassantes.

9.5.4 Sondages MK-04-11 et MK-04-12

Ces deux sondages ont été implantés pour vérifier l'extension en profondeur de l'indice Cr-16. Ils ont été positionnés dans l'unité de roches tonalitiques et gabbroïques et donc au nord du contact avec le Complexe ultramafique. Ils ont intersectés la zone Cr-16 entre 219 et 241 m de profondeur (le long du trou). A cette profondeur, le sondage MK-04-12 a rapporté pour l'indice Cr-16 une teneur de 7,91% Cr₂O₃ et de 0,40 g/t de Pt+Pd sur une épaisseur de 11,8 m. Le sondage MK-04-11 a rapporté, pour le même indice, des teneurs de 6,54 à 8,54% Cr₂O₃ et de

0,31 à 0,34 g/t de Pt+Pd sur une épaisseur de 5,6 à 10,1 m. Notez que les deux unités de chromitites de l'indice Cr-16 dans ce sondage sont physiquement très rapprochées dans l'espace (1m) et conséquemment pourraient être réunies dans une même bande minéralisée totalisant 15,7 m d'épaisseur.

9.6 SECTION LONGITUDINALE (CR1-CR16)

Les figures 10 et 11 montrent une section longitudinale orientée N285°-N105° et passant au voisinage de l'indice Cr-1 (en surface). Cette section regroupe les informations provenant des sondages de 1988-89, 1997 et 2004 et ce dans une zone d'influence de 100m de part et autre de la trace horizontale de la section. Notez que la section longitudinale n'est pas idéale en raison de la variabilité dans les directions des forages implantés lors des différentes campagnes. La direction choisit est grossièrement perpendiculaire à la direction moyenne des forages implantés dans ce secteur.

Nous avons projeté sur la figure 10 uniquement les forages afin de pouvoir visualiser rapidement la distribution et la profondeur relative des nouveaux sondages implantés en 2004 (en rouge sur la figure). Les sondages apparaissant en pointillés ne sont pas inclus dans la zone d'influence et sont montrés à titre indicatif. Notez que les sondages de 2004 ont investigué une plus grande profondeur verticale que ceux des campagnes précédentes (1988-89 et 1997).

La figure 11 montre la distribution spatiale des principales intersections décrites dans le texte et au tableau 4. Ces intersections reflètent l'épaisseur d'intersections significatives et continues. En réalité, l'épaisseur réelle des zones de chromitites est souvent 2 ou 3 fois plus importante que les épaisseurs indiquées sur cette longitudinale. Toutefois, nous avons préféré présenter les intersections titrant plus de 6% Cr₂O₃. Ne pouvant établir avec certitude de teneurs de coupures (compte tenu de l'incertitude sur les éventuels coûts de production du gisement de chromite), nous avons fixé arbitrairement cette valeur par comparaison avec des valeurs utilisées dans d'autres exploitations chromifères dans le monde. Dans l'ensemble, notez que les intersections présentées sur la figure 11 montrent des teneurs de l'ordre de 8% Cr₂O₃.

L'alignement des intersections (rectangles rouges) peu profondes sur la figure 11 correspond à l'indice Cr-1 tandis que l'alignement d'intersections plus profondes (rectangles mauves) correspond à l'indice Cr-16. Dans l'ensemble, la longitudinale montre que la minéralisation en chromitite peut être observée jusqu'à 270m de profondeur (profondeur verticale) sous la surface. Les teneurs et épaisseurs des intersections observées en profondeur n'indiquent pas une atténuation de la minéralisation en chromitites en fonction de l'accroissement de la profondeur. Ceci est encourageant et suggère un potentiel minéral en chromite et ÉGP pouvant s'étendre à des profondeurs de l'ordre de 400 à 600m.

Section longitudinale (Cr1-N105°)

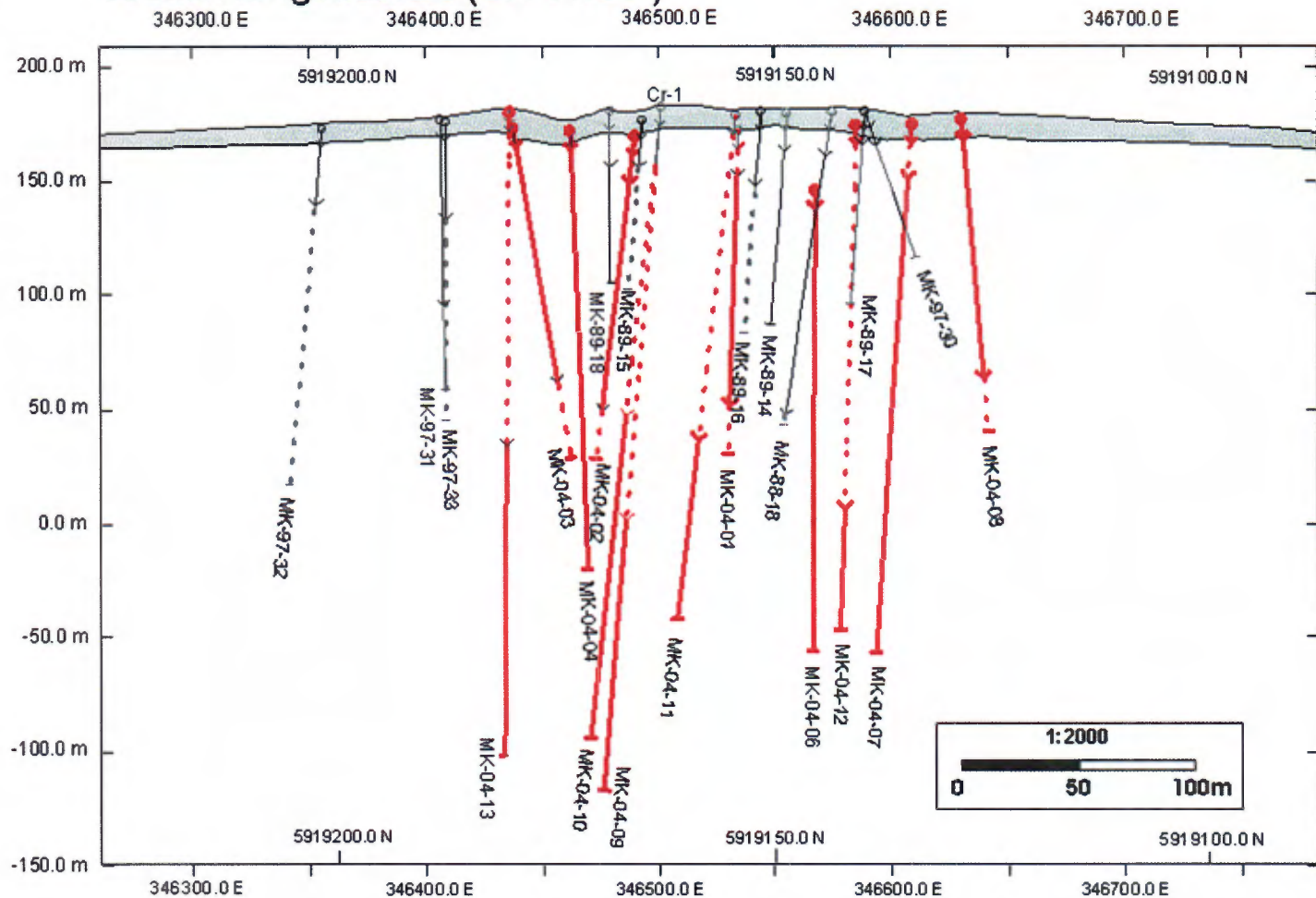


Figure 10. Section longitudinale verticale passant par l'indice de surface Cr-1 et orientée à N285°-N105°. Les forages de la campagne de 2004 sont représentés en rouge. La zone d'influence de la longitudinale est de 100m.

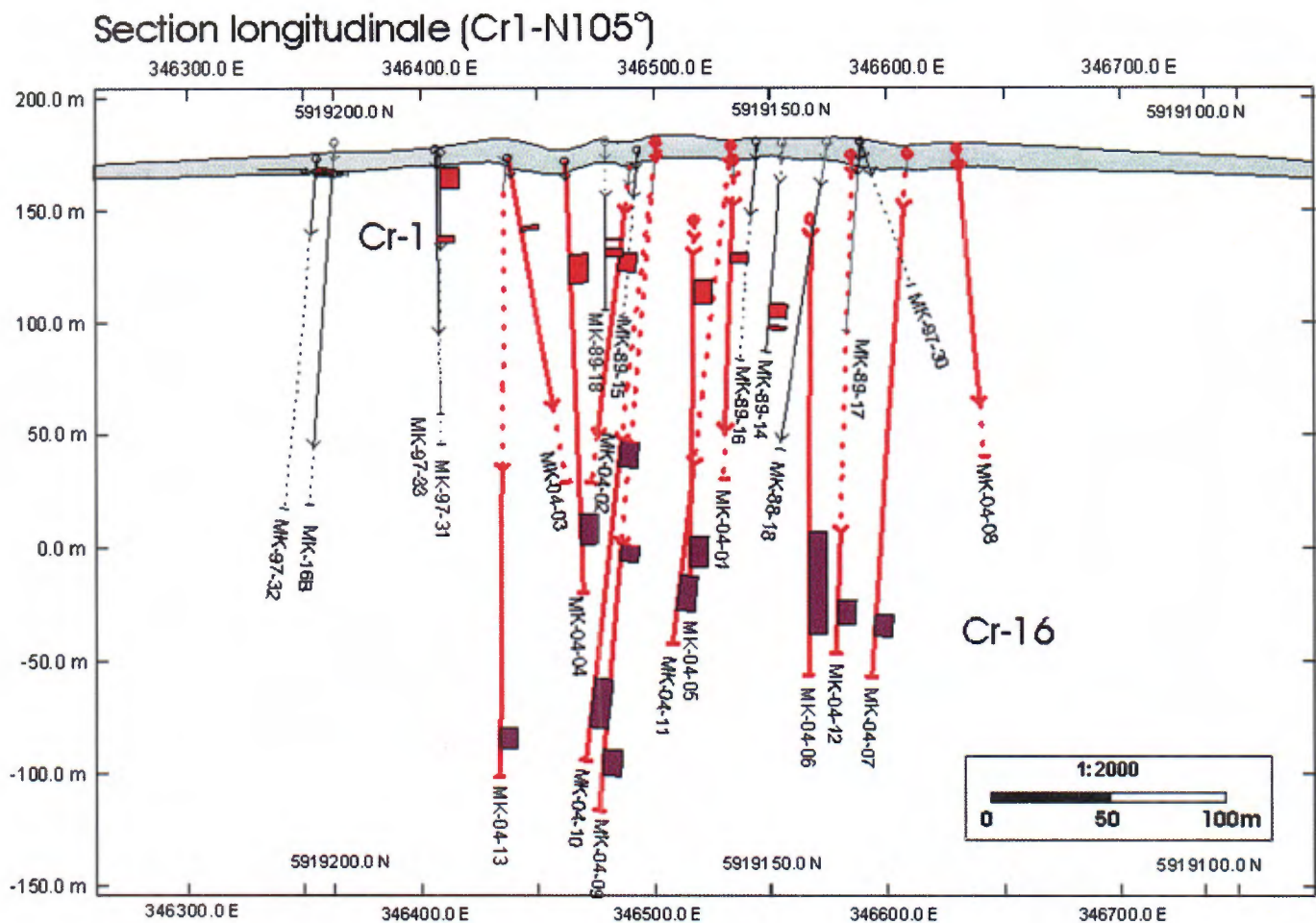


Figure 11. Section longitudinale verticale passant par l'indice de surface Cr-1 et orientée N285°-N105°. Les forages de la campagne de 2004 sont représentés en rouge. La zone d'influence de la longitudinale est d'environ 100m. Les intersections associées aux indices Cr-1 et Cr-16 sont représentées respectivement en rouge et mauve. La trace en pointillée de certains forages indique une projection à l'extérieur de la zone d'influence de la longitudinale.

9.7 SECTION TRANSVERSALE (CR1-CR16)

La section présentée sur la figure 12 présente une vue composite de la distribution des minéralisations chromifères dans la partie Nord du Complexe intrusif de Ménarik. Cette figure présente une coupe grossièrement nord-sud (en réalité N 015°) avec un observateur qui serait situé à l'Ouest de la section. Sur cette dernière, les indices de chromitites Cr-1 pendent de 43 à 62° et Cr-16 de 28 à 57° (vers le nord) et semblent affectés par une zone de faille inverse possiblement située près du contact entre les roches ultramafiques et les roches tonalitiques et gabbroïques qui marquent la limite Nord du Complexe intrusif.

La présence de structures tardives pourrait expliquer les contrastes géologiques et géométriques observés dans l'attitude des minéralisations entre les positions 5919100 et 5919200 N. Pour l'instant, nous ne possédons pas suffisamment d'informations pour préciser la nature de ces déplacements. Toutefois, les observations provenant de l'examen de la section transversale semblent compatibles avec les très nombreuses observations de changements de pendage de la stratification magmatique (variation des angles A/C) observés dans les unités de chromitites (surtout Cr-1) présentes au voisinage de schistes ou de péridotites cisailées.

Les intersections, observées en grande profondeur sur la longitudinale de la figure 12, pourraient s'expliquer par un déplacement le long d'une faille inverse. Alternativement, ces intersections pourraient être interprétées comme une évidence de la présence d'un autre indice de chromite dans le secteur. Pour l'instant, nous ne possédons pas suffisamment d'informations pour suggérer l'existence d'une nouvelle zone de chromitite située stratigraphiquement sous l'indice Cr-16.

L'utilisation de marqueurs géochimiques (terres rares, actinides et autres éléments à forts champs ioniques) permettrait de caractériser les différentes chromitites et ainsi permettre une reconstitution de l'architecture et de la stratigraphie des zones minéralisées.

Section Transversale (indices Cr-1 et Cr-16)

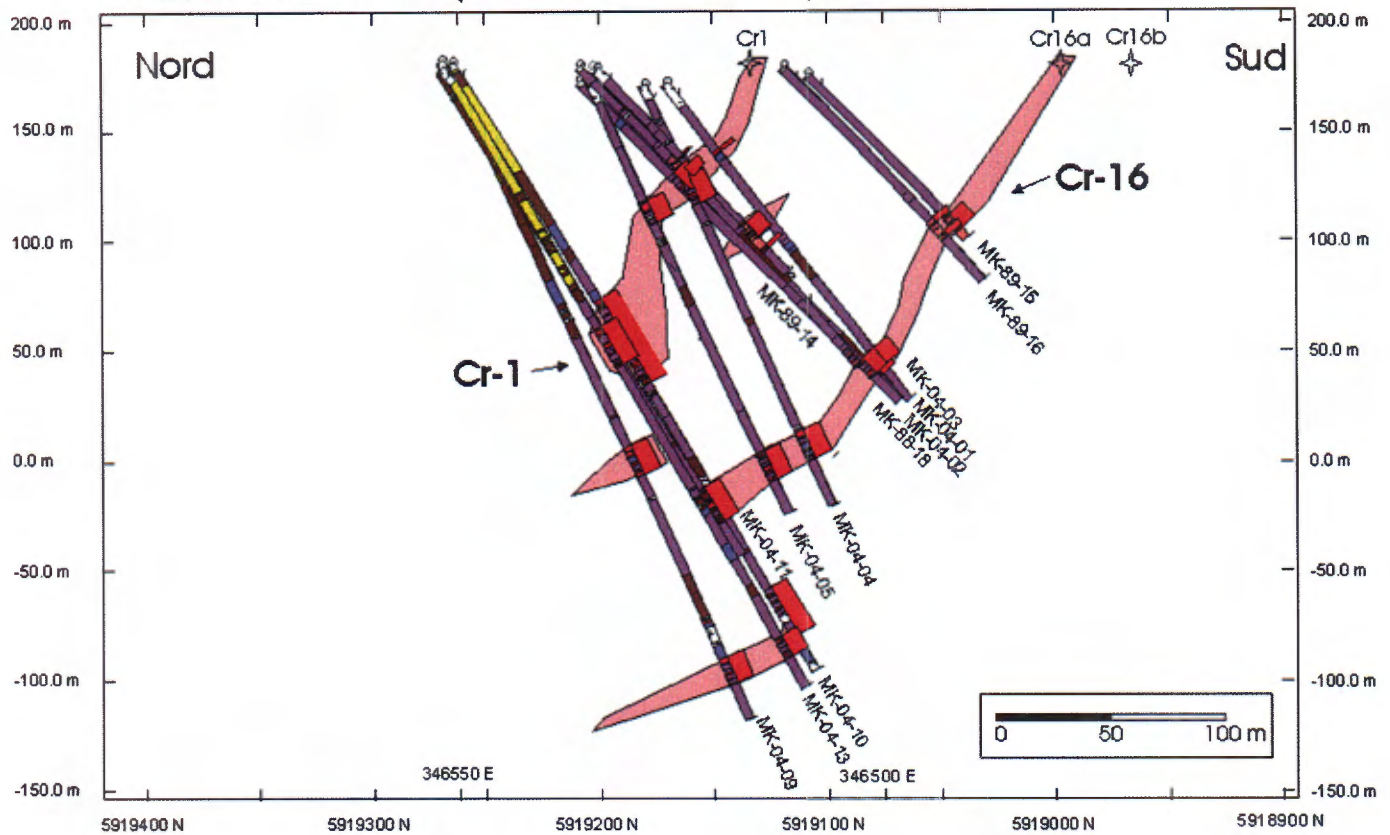


Figure 12. Section transversale orientée $NO15^{\circ}$ – $N195^{\circ}$ et passant par l'indice de surface Cr-1. Notez la présence des deux principales unités de chromitites Cr-1 et Cr-16 qui pendent vers le nord. Les étoiles près de la surface correspondent à la localisation des indices Cr-1, 16 et 16a tel qu'observée en affleurement.

9.8. Quelques observations sur la relation Cr_2O_3 vs Pt+Pd dans les chromitites du Complexe de Ménarik.

La figure 13 montre clairement la relation entre la teneur en Cr_2O_3 (% de chromite) et les abondances en ÉGP (Pt+Pd) observées dans les différentes zones minéralisées du Complexe de Ménarik. Notez l'existence de deux grandes tendances, la première montrant un faible enrichissement graduel en ÉGP en fonction des teneurs en Cr_2O_3 tandis que la seconde montre un fort enrichissement en ÉGP et ce même dans des faciès à chromite disséminée. Dans l'ensemble, les échantillons riches en ÉGP proviennent surtout de la partie Nord du Complexe intrusif de Ménarik et en particulier du secteur des indices Cr1 et Cr16-18-19.

Le diagramme Pt vs Pd de la figure 13 montre un fort couplage des deux éléments et un rapport Pd/Pt moyen de l'ordre de 4 dans les roches minéralisées du Complexe de Ménarik. Le Pt et le Pd n'ayant pas la même solubilité dans les systèmes hydrothermaux, ceci devrait nécessairement se traduire par un fractionnement du rapport Pd/Pt dans l'hypothèse où les minéralisations platinifères du Ménarik seraient dominées par des processus hydrothermaux (remobilisations tardives par des fluides). Dans le cas présent, le fractionnement et la remobilisation hydrothermale à grande échelle ne semblent pas être les mécanismes responsables de l'enrichissement en ÉGP observé dans les minéralisations platinifères de la partie Nord du Complexe de Ménarik. L'enrichissement en ÉGP, observé dans ces chromitites, pourrait impliquer des processus magmatiques complexes. Par exemple, l'observation de nombreuses unités à tendance pyroxénitique en alternance avec des péridotites riches en olivine (voir forage MK-04-05; figure 9) pourrait être un témoignage de processus magmatiques particuliers dans

l'évolution tardive du réservoir magmatique responsable de la formation du Complexe intrusif de Ménarik.

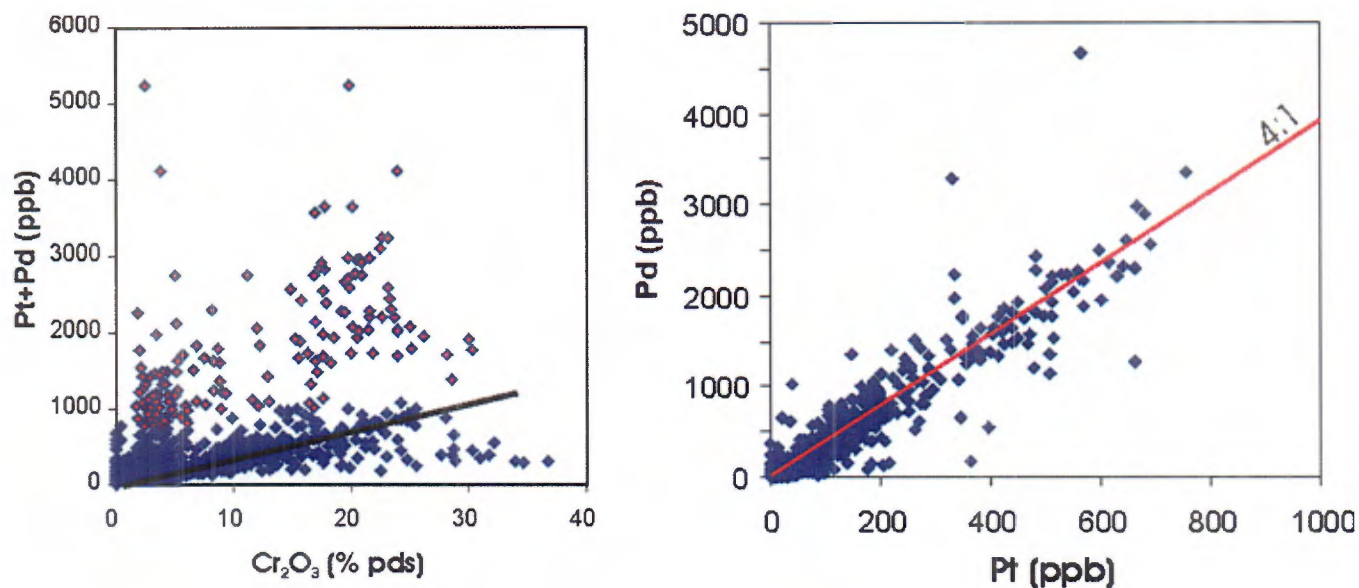


Figure 13. Diagramme Cr₂O₃ vs Pt+Pd et Pt vs Pd pour l'ensemble de la banque de données lithogéochimiques (forage). La figure de gauche montre les deux principales tendances observées dans le Complexe de Ménarik. La première est caractérisée par un faible enrichissement en Pt+Pd en fonction des abondances en Cr₂O₃ et la seconde par un fort enrichissement des teneurs en Pt+Pd en fonction des teneurs en Cr₂O₃. Notez que la majorité des échantillons enrichis en Pt+Pd provient de la partie Nord du Ménarik. La figure de droite montre la faible variation du rapport Pd/Pt observée dans les roches du Complexe de Ménarik. Ce rapport semble être une signature primaire contemporaine à la formation du réservoir magmatique.

**TABLEAU 4. PRINCIPAUX RÉSULTATS DE LA CAMPAGNE DE FORAGE DE 2004.
LES INTERSECTIONS RAPPORTÉES SONT CALCULÉES POUR DES ZONES
CONTINUES.**

-Propriété Ménarik de Ressources minières Pro-Or inc.-

Sondage	Indice	Cr ₂ O ₃ (% pds)	Au (g/t)	Pt (g/t)	Pd (g/t)	Σ Pt et Pd (g/t)	Épaisseur (m)	de (m)	à (m)
MK-04-01	Cr-1	6.66	0.005	0.035	0.084	0.12	4.7	57.35	62
	Cr-16	5.77	0.003	0.109	0.434	0.54	5.9	181.4	187.3
MK-04-02	Cr-1	8	0.008	0.115	0.42	0.54	11.2	60	71.15
	Cr-16	8.04	0.008	0.122	0.431	0.55	10.8	180.3	191
MK-04-03	Cr-1	8.04	0.002	0.051	0.184	0.24	2.9	39.1	42
	Cr-16	8.08	0.01	0.106	0.392	0.50	9.9	154.1	164
MK-04-04	Cr-1	8.06	0.015	0.108	0.377	0.49	13.8	45.5	59.25
	Cr-16	8.6	0.007	0.063	0.205	0.27	5.7	172.6	178.3
	Cr-16	5.61	0.009	0.225	0.656	0.88	5.6	182.1	187.7
MK-04-05	Cr-1	7.9	0.006	0.097	0.302	0.40	11.3	58.9	70.15
	Cr-16	7.26	0.006	0.123	0.545	0.67	14.1	184.7	198.8
MK-04-06	Cr-16	7.73	0.005	0.073	0.259	0.33	10.6	182.3	192.8
	Cr-16	7.25	0.006	0.058	0.229	0.29	20.7	196.2	216.9
	Cr-16	8.49	0.019	0.208	0.972	1.18	5.5	226	231.5
MK-04-07	Cr-16	6.54	0.002	0.043	0.128	0.17	10.5	224.2	234.7
MK-04-08		nil	nil	nil	nil	nil			
MK-04-09	Cr-1	8.03	0.003	0.073	0.236	0.31	7.8	192.6	200.4
	Cr-1	8.86	0.003	0.063	0.248	0.31	4	204.1	208.1
	Cr-16	7.27	0	0.063	0.211	0.27	3.3	279.1	282.4
	Cr-16	7.6	0.011	0.123	0.507	0.63	12.5	298.9	311.4
MK-04-10	Cr-1	6.54	0.004	0.048	0.155	0.20	9.5	125.5	135
	Cr-1	7.13	0.006	0.054	0.177	0.23	10.7	137.7	148.4
	Cr-1	7.49	0.007	0.069	0.199	0.27	13	157.9	170.9
	Cr-16	8.91	0.009	0.084	0.264	0.35	12.9	280.6	293.5
	Cr-16	7.43	0.016	0.257	1.197	1.45	3.1	302.8	306
MK-04-11	Cr-16	8.54	0.015	0.089	0.223	0.31	5.6	225	230.6
	Cr-16	6.54	0.003	0.075	0.266	0.34	10.1	230.9	241
MK-04-12	Cr-16	7.91	0.004	0.077	0.327	0.40	11.8	218.5	230.3
MK-04-13	Cr-1	8.42	0.001	0.055	0.191	0.25	5.5	140.5	146
	Cr-1	7.2	0.015	0.137	0.619	0.76	12.7	148	160.7
	Cr-16	8.45	0.009	0.144	0.32	0.46	10.6	303.6	314.2

10- CONCLUSION ET RECOMMANDATIONS

Les résultats encourageants de la campagne de 2004 viennent confirmer les résultats et observations réalisées lors des campagnes de 1988-1989 et 1997. L'étude montre entre autre une importante continuité verticale de la minéralisation confirmée par la présence de minéralisations chromifères à plus de 280m de profondeur sous la surface.

Les résultats de la campagne de 2004 confirment le contrôle magmatique et le caractère lité de la minéralisation chromifère. Toutefois, l'examen attentif de carottes de forage a montré la présence de variations de pendage du litage des chromitites suggérant un certain contrôle structural dans la distribution spatiale et la géométrie de la minéralisation. Ceci pourrait expliquer certaines discontinuités apparentes ou certains changements observés dans l'épaisseur des zones minéralisées.

Douze des treize sondages réalisés en 2004 ont intersectés des chromitites platinifères. Tel qu'initialement prévu, la majorité des sondages ont intersecté à la fois les indices Cr-1 et Cr-16. Les sondages ont recoupé en tout 30 intersections significatives ($\text{Cr}_2\text{O}_3 > 6 \%$) de chromitites stratiformes rapportant une teneur moyenne de 7,62 % Cr_2O_3 sur une épaisseur moyenne de 8,9 m pour l'indice Cr-1 et de 7,59 % Cr_2O_3 sur une épaisseur moyenne de 9.4 m pour l'indice Cr-16-18-19.

Les sondages recoupant les indices Cr-16-18-19 et Cr-1 ont confirmés leurs continuités latérale tout autant que verticale. Comme observées dans les campagnes de forage antérieures (1988, 1989 et 1997), les séquences chromifères intersectées en 2004 contiennent régulièrement des quantités appréciables de palladium et de platine. Les sondages recoupant les indices Cr-1 et Cr-16-18-19 ont rapporté respectivement une teneur moyenne de 0,4 g/t (Pd+Pt) pour une épaisseur moyenne de 8.9 m et de 0,5 g/t (Pd+Pt) pour une épaisseur moyenne de 9,4 m.

Les forages de 2004 montrent une fermeture de la zone Cr-1 vers l'est en raison de la présence d'un contact entre le massif péridotitique et l'encaissant gabbroïque et tonalitique. Cr-1 demeure toutefois ouverte vers l'ouest ainsi qu'en profondeur (à plus de 230 m). La zone Cr-16-18-19 (décrite comme la zone Cr16 dans ce rapport) demeure ouverte vers l'est ainsi qu'en fonction de la profondeur (à plus de 280 m).

Les résultats de la campagne de 2004 justifient la poursuite de l'évaluation du potentiel chromifère et platinifère du secteur des indices Cr-1 et Cr16-18-19. Une campagne de 3000 à 4000 m devrait permettre de compléter l'étude du potentiel des zones Cr-1 et Cr-16-18-19. Lors d'une prochaine campagne de forage, nous recommandons également d'amorcer de nouveaux travaux dans le secteur des indices Cr-17 et Cr-31. Ces indices renferment un très fort potentiel chromifère tout en étant situés dans la partie Nord et Centre-Nord du Complexe de Ménarik.

11. REFERENCES BIBLIOGRAPHIQUES

BALDWIN, A.B., 1959. Report project no 286-*Yasinski Lake Area, New Quebec, Main Exploration Company Ltd, Document filed in N.T.S. 33F. GM-10200.

Bergeron, 2001. Synthèse géologique et métallogénique du Complexe intrusif de Menarik, Baie James (Qc) : Potentiel minéral en chrome et en éléments du groupe du platine (ÉGP), 44 pages.

BERGERON, M., RICHER-LAFLECHE, M., 2003a. A method for increasing the chrome to iron ratio of chromites. Demande de brevet déposée chez Goudreau Gage Dubuc (agents de brevets).

BORDUAS, B., 1979. Recherche de nickel et d'amianté dans la région du lac Sakami, S.D.B.J., mars 1979, p.7 à 10.

COCKBURN, G.H., 1977. Données brutes de l'échantillonnage des sédiments de ruisseaux de la région de la Grande Rivière, annexe au DPV-455, MRNQ, DPV 456, 1977.

GAUTHIER, M., LAROCQUE, M., AND CHARTAND, F., 1997. Cadre géologique, style et répartition des minéralisations métalliques du bassin de la Grande Rivière, Territoire de la Baie James. MB 97-30, MRNQ, 65 pages.

GOUTIER, J., DOUCET, P., DION, C., BEAUSOLEIL, C., DAVID, J., PARENT, M. ET DION, D.-J., 1998a. Géologie de la région du lac Kowskatehkakmow (SNRC 33F/06). Ministère des Ressources naturelles, Québec; RG98-16, 48 pages.

GOUTIER, J., DOUCET, P., DION, C., BEAUSOLEIL, C. ET DION, D.J., 1998. Géologie de la région du lac Esprit (SNRC 33F/05), RG98-09, 39 pages

GOUTIER, J., DION, C., DAVID, J. ET DION, D.J., 1999a. Géologie de la région de la passe Chimusumini et du lac Vion (SNRC 33F/11 et 33F/12). Ministère des Ressources naturelles, Québec; RG98-17, 41 pages.

GOUTIER, J., DION, C., LAFRANCE, I., DAVID, J., PARENT, M. ET DION, D.J., 1999b. Géologie de la région des lacs Langelier et Threefold (SNRC 33F/03 et 33F/04).). Ministère des Ressources naturelles, Québec; RG98-18, 52 pages.

GOUTIER, J., DION, C., OUELLET, M.-C., DAVID, J. ET PARENT, M., 2000. Géologie de la région des lacs Guillaumat et Sakami (SNRC 33F/02 et 33F/07). Ministère des Ressources naturelles, Québec.

HOULÉ, M., 2000. Pétrologie et métallogénie du complexe de Ménarik, Baie-James, Qc, Canada. Mémoire de maîtrise (M.Sc.), Université Laval, 450 pages.

LAFLÈCHE, M.R., MOORHEAD, J. ET GOUTHIER, J., 2000. Géochimie et pétrogénèse du volcanisme tholéiitique et calco-alkalin archéen du groupe de Yasinski, sous-province de la Grande. Série des MB, MRNQ, 65 pages.

LAFLÈCHE, M.R., BERGERON, M. ET PELLETIER, Y., 2001. Report on the geology, economic geology, mineralogy and ongoing metallurgical works on the PGM-rich

chromitite mineralizations of the Archean Ménarik Igneous Complex, M.énarik Property, Baie-James, Qc, Canada. Rapport de l'INRS (Géoressources) pour la compagnie Ressources Minières Pro-Or inc. 25 mai 2001. 30 pages.

LAVOIE, C., 1987. Levés géophysiques. Propriété de ressources minières Pro-or inc; projet Ménarik, canton 3114., GEOLA, novembre 1987.

Marchand, P., 1982. Campagne d'exploration 1981. Rapport interne de la SDBJ, Société de Développement de la Baie-James.

Mortensen, J.K. et Ciesielski, A., 1987. U-Pb zircon and sphene geochronology of Archean plutonic and orthogneissic rocks of the James Bay region and Bienville Domain Quebec. In: Radiogenic Age and Isotopic Studies. Report 1, Paper 87-2, Geological Survey of Canada, 129-134.

PELLETIER, Y., 1989. Évaluation du potentiel chromifère et recommandations de travaux. Propriété du lac Ménarik, Ressources Minières Pro-or inc., janvier 1989.

PELLETIER, Y., 1990. Évaluation du potentiel chromifère de la propriété Ménarik de Pro-Or inc.. Campagne de sondages 1989. 67 pages.

PELLETIER, Y., 1998. Ressources minières Pro-Or inc. Projet Ménarik, Baie-James. Rapport de la campagne de sondage 1997.

Riley, J.C., 1975. Report on prospecting of anomalies in the Yasinski area. Rapport interne S.E.S.

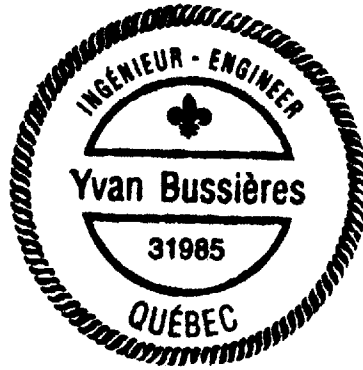
Rivard, B., 1985. Petrochemistry of layered archean magma chamber and relation to models of basalt evolution. Thèse de maîtrise Université Mc-Gill, Montréal, 73 pp.

SANSCHAGRIN, Y. AND PELLETIER, Y., 1989. Cartographie géologique et levé géochimique . Projet MÉNARIK, CANTON 3114. Campagne 1986-87, rapport interne pour Ressources Minières Pro-Or inc., 1989.

WAGG, D.M., ET DOWSE, R.K., 1975. Interpretation report on an airborne geological survey in the James Bay area, for James Bay Development Corporation, part I, 1975 EM results, Geotrex, 1975, p. 41-42.

ANNEXE I JOURNAUX DES SONDAGES

ANNEXE I JOURNAUX DES SONDAGES



Yvan Bussières ing

								prof. (m)		angle (o)					
Forage:	MK-04-01	Profond. (m):	200	UTM-N:	5919200	Cible(s):	Cr1 et Cr16	Acid	0	45					
Date:	22 Nov. 2004	Plongée:	45	UTM-E:	346547	Diamètre:	BQ	Test:	29	41.5					
Ing. Géol.:	Y. Bussièrès	Azimuth:	197	Altitude:	172.2	Contracteur:	For. Mercier		70	44					
		Mort-terrain (m):	12.23						110	45					
		Tubage présent:	non			Propriété:	Ménarik		150	46.5					
		Cimentation:	non			Compagnie:	Pro-Or inc.		200	46.5					
		Coins-biseaux	non												
		Unité de mesure	mètre												
Début de la zone descriptive															
De:	à:	Lithologie	Description	Altération		Sulfures	Couleur	Structure	A/C (o)						
0	12.23	MT	Mort terrain												
12.23	27.36	PER CUM	Périd. cumulative	Talc, 5% v.q-c-t		Tr. Py (27,15 et 27,30m)	grise								
27.36	49.95	PER CUM	Périd. cumulative	5% v.q-c-t		Tr. Py (43,2m)	grise-noire								
45.93	49.95	PER CUM	Périd. cumulative	15% v.q-c-t			grise-noire								
49.95	51	PER	Perid. talqueuse	Talc						43	contact				
51	51.64	V. Qtz-Faille	V. Qtz-faille	80% v.q-c-t-20% chlor.				faille		18	faille				
51.64	54	PER CUM		10% v.q-c-t			grise-noire								
54	58.45	PER	Perid. talqueuse	Talc, 20% v.q-c-t						18	contact				
56.85	57.35	PER CUM	Perid. cumulative												
58.45	64.53	Chromitite Cr-1	Indice Cr-1												
58.45	59.07	CHR.-MASS	100% chrom.							18	contact				
59.07	59.6	CHR.-SEMI-MASS	20-50% chrom.												
59.6	60.5	PER CUM	Périd. cumulative												
60.5	60.8	CHR.-SEMI-MASS	20% chrom.												
60.8	61.4	PER CUM	Périd. cumulative												
61.4	62	CHR.-SEMI-MASS	50% chrom.							18	contact				
62	64.53	CHR.-SEMI-MASS	20% chrom.												
64.53	65.3	PER CIS.	Périd. Cisailée	25% v.q-c-t				z. cisailée		38	contact				
65.3	67.2	GAB	Gabbro cisailé				verdâtre	z. cisailée		38	contact				
67.2	70.27	Z.biotite	Z. riche en biotite	100% biotite						20	contact				
70.27	71.2	GAB	Gabbro cisailé				verdâtre	z. cisailée							
71.2	78.6	PER CUM	Périd. cumulative	20% v.q-c-t				z. cisailée							
78.6	128	GAB	Gabbro	5% v.q-c-t			gris-vert								
128	138	PER CUM	Périd. cumulative	talc			grise-noire			37	contact				
138	153	PER CUM	Périd. cumulative				grise-noire								
153	161.1	PER CUM	Périd. cumulative	talc			grise-foncée								
161.1	179.9	GAB	Gabbro	5% v.q-c-t			gris-vert			8	contact				

Forage:		Profond. (m):		UTM-N:		Cible(s):		Acid		prof. (m)	angle (°)		
Date:	24 Nov. 2004 <th>Plongée:</th> <td>45 <th>UTM-E:</th> <td>346504 <th>Diamètre:</th> <td>BQ <th>Test:</th> <td>50</td> <td>45</td> <td colspan="2"></td> <td></td> </td></td></td>	Plongée:	45 <th>UTM-E:</th> <td>346504 <th>Diamètre:</th> <td>BQ <th>Test:</th> <td>50</td> <td>45</td> <td colspan="2"></td> <td></td> </td></td>	UTM-E:	346504 <th>Diamètre:</th> <td>BQ <th>Test:</th> <td>50</td> <td>45</td> <td colspan="2"></td> <td></td> </td>	Diamètre:	BQ <th>Test:</th> <td>50</td> <td>45</td> <td colspan="2"></td> <td></td>	Test:	50	45			
Ing. Géol.:	Y. Bussièrès	Azimuth:	202 <th>Altitude:</th> <td>173.6 <th>Contracteur:</th> <td>For. Mercier</td> <td></td> <td>100</td> <td>44</td> <td colspan="2"></td> <td></td> </td>	Altitude:	173.6 <th>Contracteur:</th> <td>For. Mercier</td> <td></td> <td>100</td> <td>44</td> <td colspan="2"></td> <td></td>	Contracteur:	For. Mercier		100	44			
		Mort-terrain (m):	2.5						206	45.5			
		Tubage présent:	oui			Propriété:	Ménarik						
		Cimentation:	non			Compagnie:	Pro-Or inc.						
		Coins-biseaux	non										
		Unité de mesure	mètre										
<i>Début de la zone descriptive</i>													
De:	à:	Lithologie	Description	Altération	Sulfures	Couleur	Structure	A/C (o)					
0	2.5	MT	Mort terrain										
2.5	25	PER CUM	Périd. cumulative	Talc, 15% v.q-j-t	3% Cp, 2% Po (5.6 à 6.8 m)	grise							
25	28.5	PER	Périd. cisailée				z. cisailée	35	contact				
28.5	59.5	PER CUM	Périd. cumulative	10% v.q-j-t		grise noire							
59.5	71.15	Chromitite Cr-1	Indice Cr-1										
59.5	59.6	CHR.-MASS	100% chrom.					63	contact				
59.6	61.5	PER CUM	Périd. cumulative	10% v.q-j-t		grise noire							
61.5	62.26	CHR.-MASS	100% chrom.					75	contact				
62.26	64.55	PER CUM	Périd. cumulative	10% v.q-j-t		grise noire							
64.55	64.69	CHR.-MASS	100% chrom.										
64.69	66.5	PER CUM	Périd. cumulative	10% v.q-j-t		grise noire							
66.5	67.7	CHR.-MASS	100% chrom.										
67.7	68.8	PER CUM	Périd. cumulative	10% v.q-j-t		grise noire							
68.8	69.4	CHR.-MASS	100% chrom.					65	contact				
69.4	70.65	PER CUM	Périd. cumulative	10% v.q-j-t		grise noire							
70.65	71.15	CHR.-MASS	100% chrom.		Tr. Cp (71.05 à 71.15m)			65	contact				
71.15	74	PER CUM	Périd. cumulative			grise noire							
74	132.5	PER CUM	Périd. cumulative			bleue noire							
132.5	142	PER CUM	Périd. cumulative	talc		grise							
142	180.25	PER CUM	Périd. cumulative			bleue noire							
180.25	189.9	Chromitite Cr-16	Indice Cr-16										
180.25	181.9	CHR.-MASS	80% Chrom.					78	contact				
181.9	182.5	CHR.-SEMI-MASS	10% Chrom.										
182.5	184.3	PER CUM	Périd. cumulative		Tr. Cp (183.1m)								
184.3	184.6	CHR.-MASS	80% Chrom.										
184.6	186.2	PER CUM	Périd. cumulative										
186.2	187.2	CHR.-SEMI-MASS	50% Chrom.										
187.2	188.3	CHR.-MASS	80% Chrom.		1% Cp		z. cisailée						

Forage: MK-04-03 (suite)			Analyses chimiques																					
ÉCHANTILLONS																								
no	de:	à:	intervalle		Cr2O3	Fe2O3	SiO2	TiO2	Al2O3	MnO	MgO	CaO	Na2O	K2O	P2O5	S	PAF	Au	Pt	Pd	Ni	Cu	Co	
			cont.	disc.														ppb	ppb	ppb	ppm	ppm	ppm	
55704	68.5	71.5																						
55705	71.5	74.5																						
55706	74.5	77.5																						
55707	77.5	80.5																						
55708	80.5	83.5																						
55709	83.5	86.5																						
55710	86.5	88.5																						
55711	88.5	90																						
55712	90	92.15			0.48	13.36	39.49	0.11	2.98	0.20	30.45	2.71	0.06	0.05	0.23	0.13	11.35	< L.D.	< L.D.	49	1170	89	163	
55713	92.15	93.5			1.76	12.20	44.88	0.12	3.14	0.19	29.37	3.28	0.05	0.05	0.23	0.11	7.39	< L.D.	12	31	1078	123	109	
55714	93.5	95			0.41	9.91	42.08	0.12	4.82	0.14	31.02	3.62	0.06	0.05	0.24	0.14	9.00	< L.D.	16	25	1418	83	112	
55715	95	97																						
55716	112	115																						
55717	115	118																						
55718	118	121																						
55719	121	124																						
55720	124	127																						
55721	127	130																						
55722	130	133																						
55723	133	136																						
55724	136	139																						
55725	139	142																						
55726	142	145																						
55727	145	148																						
55728	148	151																						
55729	151	152.5																						
55730	152.5	153.5			0.54	11.12	38.25	0.14	4.01	0.13	30.98	2.86	0.08	0.05	0.25	0.26	10.55	1	12	8	1413	176	100	
55731	153.5	154.1			1.49	10.79	38.76	0.14	4.50	0.12	31.04	3.27	0.05	0.04	0.20	0.24	10.26	7	69	140	1571	437	122	
55732	154.1	154.1			19.04	23.50	19.82	0.30	9.91	0.44	15.87	3.34	0.05	0.04	0.22	0.31	4.74	6	49	194	1955	571	280	
55733	154.1	155.1			8.39	14.44	30.69	0.17	5.87	0.16	27.21	1.65	0.04	0.05	0.23	0.15	9.31	12	95	381	1552	702	138	
55734	155.1	156			9.41	13.56	31.02	0.16	6.71	0.14	28.64	1.55	0.23	0.04	0.19	0.13	7.63	4	53	250	1408	253	163	
55735	156	156.8			17.48	17.18	22.82	0.29	10.71	0.24	19.33	3.45	0.06	0.04	0.22	0.11	6.17	2	85	270	1377	659	180	
55736	156.8	157			5.79	12.29	32.86	0.22	4.99	0.14	27.19	5.38	0.04	0.04	0.20	0.17	10.46	2	36	104	1336	960	136	
55737	157	158			3.72	12.39	35.19	0.18	4.58	0.15	28.91	3.20	0.11	0.07	0.25	0.23	10.43	1	31	75	1224	75	117	
55738	158	159			6.58	14.02	32.99	0.22	5.56	0.19	27.68	2.44	0.05	0.04	0.19	0.14	9.02	33	48	137	1365	390	148	
55739	159	159.6			4.19	11.52	34.90	0.16	5.17	0.12	28.62	3.06	0.05	0.05	0.23	0.16	10.01	7	40	79	1267	141	115	
55740	159.6	160.6			16.99	19.05	23.79	0.27	9.61	0.32	20.31	1.62	0.06	0.05	0.23	0.08	5.90	6	103	301	1497	117	183	

Forage: MK-04-04																								
ÉCHANTILLONS					Analyses chimiques																			
no	de:	à:	intervalle cont.	disc.	Cr2O3	Fe2O3	SiO2	TiO2	Al2O3	MnO	MgO	CaO	Na2O	K2O	P2O5	S	PAF	Au ppb	Pt ppb	Pd ppb	Ni ppm	Cu ppm	Co ppm	
55751	7	10																						
55752	10	13																						
55753	13	16																						
55754	16	19																						
55755	19	22																						
55756	22	25																						
55757	25	28																						
55758	28	31																						
55759	31	34																						
55760	34	37																						
55761	37	40																						
55762	40	43																						
55763	43	44																						
55764	44	45			0.59	10.49	37.64	0.15	3.76	0.14	31.03	3.83	0.05	0.05	0.23	0.15	11.87	3	9	10	1437	231	109	
55765	45	45.5			0.75	10.40	38.42	0.11	4.02	0.10	31.82	2.97	0.04	0.05	0.24	0.29	11.31	5	27	139	1599	424	114	
55766	45.5	45.6			14.01	19.83	25.73	0.25	8.60	0.38	21.43	2.11	0.05	0.04	0.21	0.16	6.46	6	160	566	2633	136	261	
55767	45.6	46.3			5.91	13.18	32.44	0.15	5.19	0.16	29.18	2.94	0.06	0.05	0.23	0.14	10.42	4	64	190	1517	290	140	
55768	46.3	47.05			7.82	15.46	31.55	0.16	5.49	0.16	29.04	0.28	0.08	0.05	0.24	0.20	9.64	4	61	176	1988	755	159	
55769	47.05	47.55			11.35	15.54	28.85	0.21	7.18	0.19	26.74	1.16	0.06	0.05	0.22	0.10	8.89	7	73	223	1708	862	160	
55770	47.55	48.45			8.77	13.92	31.52	0.16	6.20	0.14	28.53	0.86	0.04	0.05	0.24	0.17	8.96	9	70	215	1778	915	166	
55771	48.45	49.3			21.80	19.57	19.23	0.38	11.72	0.29	17.39	3.58	0.04	0.04	0.19	0.10	5.92	10	142	554	1799	812	216	
55772	49.3	49.7			6.70	12.45	33.58	0.20	5.57	0.13	27.26	3.69	0.05	0.05	0.23	0.12	9.23	19	42	102	1439	882	141	
55773	49.7	50.7			2.68	11.84	37.10	0.14	4.64	0.11	31.41	1.64	0.05	0.04	0.22	0.22	11.75	3	21	47	1222	153	102	
55774	50.7	51.7			3.73	12.01	35.12	0.15	4.74	0.14	29.36	3.38	0.06	0.05	0.23	0.16	11.60	3	51	98	1338	232	121	
55775	51.7	51.85			12.67	17.03	27.48	0.27	8.01	0.29	24.40	1.76	0.05	0.06	0.23	0.06	9.19	1	95	227	1330	387	188	
55776	51.85	52.9			1.72	11.66	37.17	0.14	4.09	0.16	29.69	4.10	0.06	0.05	0.23	0.15	11.70	7	6	23	1197	179	119	
55777	52.9	53.9			2.53	12.06	36.69	0.13	4.76	0.14	30.63	1.99	0.05	0.05	0.23	0.16	10.63	4	6	38	1295	296	115	

Forage: MK-04-05																							
ÉCHANTILLONS			Analyses chimiques																				
no	de:	à:	intervalle		Cr2O3	Fe2O3	SiO2	TiO2	Al2O3	MnO	MgO	CaO	Na2O	K2O	P2O5	S	PAF	Au	Pt	Pd	Ni	Cu	Co
			cont.	disc.																			
55851	9.6	13			0.24	9.24		0.18	5.29	0.13	22.22	5.99	0.05	0.01	0.02	0.12		< L.D.	6	6	715	80	76
55852	13	16			0.15	7.32		0.13	10.90	0.14	18.49	4.63	0.74	1.00	0.01	0.02		7	5	11	519	87	63
55853	16	19			0.08	5.91		0.10	12.18	0.13	16.91	4.55	0.54	3.04	0.00	0.01		13	13	43	413	94	50
55854	19	22			0.12	8.67		0.10	10.54	0.09	21.97	2.77	0.01	0.01	0.01	0.01		6	9	20	514	53	67
55855	22	25			0.23	8.11		0.12	7.80	0.11	22.05	4.57	0.03	0.01	0.01	0.04		8	7	14	603	37	63
55856	25	28			0.28	9.35		0.10	11.71	0.14	21.89	2.88	0.01	0.00	0.00	0.00		2	12	15	560	17	68
55857	28	31			0.23	5.82		0.08	5.53	0.13	21.80	7.09	0.03	0.01	0.00	0.03		29	11	35	679	136	61
55858	31	34			0.22	8.07		0.07	3.29	0.13	24.46	2.84	0.00	0.00	0.00	0.03		3	< L.D.	6	878	3	79
55859	34	37			0.24	8.35		0.08	2.53	0.13	25.20	2.38	0.00	0.00	0.01	0.03		2	< L.D.	7	974	18	86
55860	37	40			0.33	8.89		0.08	0.47	0.13	23.88	1.72	0.00	0.00	0.01	0.04		1	6	19	953	14	95
55861	40	43			0.55	10.41		0.12	1.21	0.15	28.10	1.40	0.00	0.00	0.01	0.07		< L.D.	9	17	1160	19	106
55862	43	46			0.46	10.75		0.13	1.47	0.16	27.94	2.43	0.00	0.00	0.01	0.14		4	33	85	1260	212	104
55863	46	49			0.52	12.43		0.18	1.38	0.19	33.49	2.52	0.00	0.00	0.01	0.10		< L.D.	8	8	1480	33	120
55864	49	52			0.32	11.10		0.17	3.14	0.14	31.34	2.41	0.00	0.00	0.01	0.12		< L.D.	8	8	1350	99	107
55865	52	55			0.30	10.28		0.13	1.21	0.14	27.69	2.35	0.00	0.00	0.01	0.09		< L.D.	< L.D.	8	1215	22	98
55866	55	57			0.26	10.02		0.13	0.57	0.14	26.53	1.96	0.00	0.00	0.01	0.09		1	0	24	1205	37	95
55867	57	58			0.50	11.23	38.90	0.14	3.81	0.14	31.22	2.55	0.01	0.01	0.03	0.13	12.15	< L.D.	13	3	1386	66	108
55868	58	58.9			0.83	10.80	38.42	0.11	3.92	0.12	31.02	2.65	0.07	0.05	0.23	0.15	12.30	< L.D.	18	105	1546	215	112
55869	58.9	59.25			7.21	14.65	32.23	0.19	6.24	0.23	26.91	1.27	0.08	0.05	0.25	0.20	8.04	9	97	316	2188	366	171
55870	59.25	59.8			6.68	14.04	33.29	0.16	5.48	0.21	29.81	0.64	0.10	0.05	0.22	0.12	10.41	0	60	122	1798	478	140
55871	59.8	60.9			7.74	14.82	32.11	0.16	5.75	0.21	28.66	1.11	0.11	0.05	0.24	0.11	9.91	5	57	136	1657	163	145
55872	60.9	62			9.58	14.84	28.70	0.19	6.56	0.20	27.17	1.26	0.30	0.08	0.24	0.15	8.84	3	70	176	1578	201	197
55873	62	63.1			9.92	15.02	30.82	0.19	6.83	0.19	27.26	1.21	0.10	0.05	0.24	0.14	8.61	4	77	224	1965	1351	160
55874	63.1	63.9			20.92	19.60	21.21	0.39	12.14	0.34	19.32	1.92	0.06	0.05	0.23	0.10	4.59	8	194	578	1676	287	211
55875	63.9	64.7			6.59	13.16	33.40	0.21	5.93	0.15	27.99	3.01	0.06	0.04	0.21	0.13	10.37	3	42	114	1544	879	123
55876	64.7	65.4			2.81	12.24	36.12	0.16	4.57	0.12	29.30	3.10	0.05	0.04	0.22	0.17	11.11	2	35	65	1522	443	130
55877	65.4	66.4			4.19	12.97	34.24	0.17	4.61	0.13	27.42	4.41	0.06	0.05	0.24	0.22	11.70	3	36	89	1417	324	133

Forage: MK-04-05 (suite)				Analyses chimiques																			
ÉCHANTILLONS				Cr2O3	Fe2O3	SiO2	TiO2	Al2O3	MnO	MgO	CaO	Na2O	K2O	P2O5	S	PAF	Au	Pt	Pd	Ni	Cu	Co	
no	de:	à:	intervalle													ppb	ppb	ppb	ppm	ppm	ppm		
			cont.	disc.																			
55878	66.4	67.3			2.43	9.47	26.17	0.25	5.35	0.13	21.81	15.01	0.04	0.05	0.23	0.13	19.16	< L.D.	19	39	927	257	94
55879	67.3	67.6			2.04	8.35	36.83	0.21	5.46	0.10	25.60	7.52	0.07	0.05	0.22	0.08	13.43	15	36	121	562	979	90
55880	67.6	67.9			1.01	5.84	18.79	0.13	3.28	0.20	20.09	21.80	0.05	0.05	0.23	0.14	28.34	23	14	23	654	1073	92
55881	67.9	68.7			10.09	17.55	28.93	0.28	8.20	0.24	23.09	1.98	0.06	0.04	0.21	0.23	8.11	6	173	738	1827	530	161
55882	68.7	69.5			2.23	10.64	38.65	0.19	4.81	0.10	28.53	2.90	0.56	0.15	0.25	0.28	9.39	5	236	585	1623	672	103
55883	69.5	70.15			17.90	23.10	20.88	0.40	10.23	0.40	17.96	1.86	0.06	0.05	0.24	0.20	6.32	19	293	1245	1992	219	214
55884	70.15	71			2.65	10.93	43.24	0.19	4.64	0.09	26.49	2.86	0.07	0.05	0.23	0.69	7.88	16	77	297	1375	1821	104
55885	71	73			5.80	14.30	38.22	0.19	6.35	0.16	25.77	2.41	0.05	0.05	0.23	0.16	9.05	11	133	517	1335	635	120
55886	73	76			0.00	7.19		0.20	4.27	0.15	19.81	12.33	0.01	0.01	0.01	0.20		9	72	254	703	371	57
55887	76	77.3			0.26	9.70		0.10	3.74	0.15	27.19	7.43	0.01	0.01	0.01	0.16		9	12	20	975	124	79
55888	77.3	79			0.25	10.34		0.15	3.48	0.15	25.78	7.57	0.01	0.01	0.01	0.14		6	19	68	942	268	85
55889	79	81			0.25	10.98		0.15	3.59	0.14	29.02	3.30	0.00	0.01	0.01	0.07		2	15	41	1045	78	106
55890	81	84			0.25	12.21		0.17	3.63	0.16	30.09	1.76	0.00	0.01	0.02	0.10		< L.D.	9	48	1130	53	114
55891	84	87			0.30	14.80		0.17	4.78	0.21	38.30	2.80	0.00	0.01	0.02	0.12		1	16	48	1360	82	139
55892	87	90			0.20	11.08		0.13	3.40	0.17	29.18	3.06	0.00	0.00	0.01	0.12		1	12	28	1065	41	110
55893	90	93			0.21	11.31		0.17	3.32	0.15	30.09	1.40	0.00	0.00	0.02	0.08		< L.D.	22	48	1125	18	112
55894	93	96			0.23	11.93		0.13	3.25	0.16	30.01	1.90	0.00	0.00	0.02	0.13		< L.D.	15	66	1095	42	112
55895	96	99			0.21	11.31		0.10	3.34	0.16	28.77	2.46	0.00	0.00	0.01	0.11		< L.D.	14	72	1095	28	108
55896	99	101.5			0.22	12.46		0.15	3.36	0.17	30.51	0.81	0.00	0.01	0.01	0.18		1	9	28	1140	38	118
55897	101.5	104.5			0.11	7.59		0.13	4.72	0.13	21.39	11.35	0.03	0.01	0.01	0.07		3	5	19	676	319	72
55898	104.5	107.5			0.18	11.45		0.80	8.95	0.19	20.56	8.03	0.01	0.01	0.10	0.02		< L.D.	< L.D.	5	653	17	88
55899	107.5	110.5			0.19	8.71		0.13	7.14	0.15	23.13	7.26	0.05	0.01	0.01	0.01		< L.D.	< L.D.	13	809	16	73
55900	110.5	113.5			0.17	10.10		0.13	6.95	0.13	24.70	5.69	0.04	0.01	0.01	0.05		< L.D.	7	22	802	69	79
55901	113.5	116.5			0.23	10.75		0.20	6.10	0.14	26.36	4.48	0.05	0.01	0.01	0.10		< L.D.	21	34	1035	65	98
55902	116.5	119.5			0.35	11.68		0.25	2.98	0.15	25.28	3.58	0.01	0.01	0.02	0.07		< L.D.	6	7	988	59	102
55903	119.5	122.5			0.30	12.34		0.20	5.52	0.14	25.78	3.96	0.01	0.01	0.01	0.08		< L.D.	5	5	972	61	96
55904	122.5	125.5			0.24	11.23		0.20	5.61	0.15	27.52	3.12	0.03	0.01	0.02	0.06		< L.D.	< L.D.	4	962	41	107
55905	125.5	128.5			0.24	11.28		0.20	5.21	0.16	28.02	3.92	0.03	0.01	0.02	0.08		1	< L.D.	3	1010	50	110
55906	128.5	131.5			0.24	11.03		0.17	5.87	0.14	28.19	3.26	0.04	0.01	0.01	0.07		< L.D.	9	2	1115	39	106
55907	131.5	134.5			0.22	10.87		0.20	5.76	0.14	28.10	3.19	0.04	0.01	0.02	0.06		< L.D.	11	5	1045	39	103
55908	134.5	137.5			0.22	11.60		0.15	5.44	0.16	27.77	4.53	0.04	0.01	0.01	0.04		< L.D.	7	10	1015	43	107
55909	137.5	140.5			0.30	11.45		0.15	5.23	0.19	28.52	4.27	0.03	0.01	0.02	0.04		< L.D.	9	27	1005	35	108
55910	140.5	143.5			0.41	11.63		0.20	4.55	0.16	28.68	2.18	0.03	0.01	0.02	0.05		< L.D.	11	16	1060	24	116
55911	143.5	146.5			0.20	9.97		0.15	8.90	0.13	26.03	3.81	0.04	0.01	0.01	0.03		< L.D.	10	20	823	45	104
55912	146.5	149.5			0.10	8.82		0.13	16.62	0.16	17.91	7.34	0.30	2.01	0.01	0.01		11	< L.D.	7	522	102	74
55913	149.5	152.5			0.08	7.84		0.12	13.96	0.15	17.66	6.30	0.36	2.14	0.01	0.01		17	9	22	538	157	67
55914	152.5	155.5			0.20	9.08		0.12	8.42	0.13	24.62	4.46	0.05	0.02	0.01	0.11		1	26	48	978	399	106

Forage: MK-04-05 (suite)			ÉCHANTILLONS																				
			Analyses chimiques																				
		intervalle		Cr2O3	Fe2O3	SiO2	TiO2	Al2O3	MnO	MgO	CaO	Na2O	K2O	P2O5	S	PAF	Au	Pt	Pd	Ni	Cu	Co	
no	de:	à:	cont.	disc.													ppb	ppb	ppb	ppm	ppm	ppm	
55915	155.5	158.5			0.31	10.80		0.22	8.80	0.13	25.78	3.37	0.03	0.01	0.02	0.05	< L.D.	17	27	951	56	98	
55916	158.5	161.5			0.11	11.45		0.53	11.43	0.23	16.12	6.37	0.07	0.48	0.05	0.02	< L.D.	< L.D.	12	402	262	78	
55917	161.5	164.5			0.27	8.09		0.10	13.20	0.16	23.96	6.00	0.05	0.39	0.01	0.01	2	6	11	788	44	77	
55918	164.5	167.5			0.25	9.68		0.08	5.14	0.14	30.18	2.15	0.01	0.01	0.01	0.05	< L.D.	5	5	1035	13	94	
55919	167.5	170.5			0.33	10.88		0.12	4.44	0.14	31.92	1.33	0.00	0.00	0.01	0.06	< L.D.	9	31	1215	51	107	
55920	170.5	173.5			0.44	11.03		0.17	4.21	0.14	30.84	2.32	0.01	0.01	0.02	0.05	< L.D.	8	53	1275	36	110	
55921	173.5	176.5			0.67	11.81		0.15	3.95	0.13	30.26	2.28	0.00	0.00	0.02	0.08	4	36	123	1535	146	120	
55922	176.5	179.5			0.31	11.35		0.15	3.87	0.13	31.42	2.13	0.00	0.00	0.02	0.05	< L.D.	< L.D.	7	1400	22	110	
55923	179.5	182.5			0.28	10.70		0.15	2.91	0.16	30.59	2.38	0.00	0.01	0.01	0.07	< L.D.	< L.D.	4	1365	15	106	
55924	182.5	183.7			0.58	12.34	38.70	0.12	3.75	0.16	31.25	2.92	0.02	0.04	0.22	0.04	11.00	< L.D.	7	23	1396	256	101
55925	183.7	184.7			0.78	11.31	38.57	0.12	3.93	0.12	30.75	2.97	0.02	0.04	0.21	0.21	10.70	10	27	49	1341	794	109
55926	184.7	184.8			17.85	24.10	23.46	0.35	9.68	0.47	19.03	1.42	0.05	0.05	0.23	0.05	5.02	4	156	449	1986	277	275
55927	184.8	185.9			7.66	14.28	33.38	0.17	5.66	0.16	29.22	0.59	0.04	0.05	0.23	0.05	9.11	3	74	176	1657	348	158
55928	185.9	186.9			12.29	16.22	29.00	0.27	7.46	0.19	25.40	1.15	0.03	0.05	0.23	0.05	8.22	0	69	217	1604	278	142
55929	186.9	187.4			23.70	21.24	18.02	0.37	13.00	0.31	18.56	0.80	0.02	0.04	0.22	0.04	5.60	3	172	631	1686	55	203
55930	187.4	188.1			8.13	13.02	31.67	0.24	6.49	0.14	26.88	2.28	0.03	0.05	0.23	0.08	9.59	6	56	127	1460	880	132
55931	188.1	188.9			2.80	11.26	34.64	0.15	4.47	0.11	28.41	3.54	0.08	0.05	0.24	0.40	11.28	1	19	38	1540	262	118
55932	188.9	189.7			4.43	12.78	34.88	0.18	5.06	0.16	29.61	1.69	0.05	0.05	0.23	0.22	9.82	5	27	85	1500	377	139
55933	189.7	190			13.33	17.69	25.56	0.29	8.41	0.31	22.73	2.67	0.08	0.04	0.21	0.09	7.97	1	104	243	1549	177	185
55934	190	190.9			2.07	11.98	37.19	0.14	4.61	0.13	31.54	1.97	0.06	0.05	0.23	0.21	11.72	2	12	30	1365	251	148
55935	190.9	191.8			2.67	10.93	34.82	0.14	4.28	0.12	28.07	4.65	0.08	0.05	0.24	0.29	11.53	4	23	50	1294	811	106
55936	191.8	192.6			14.99	17.71	26.94	0.27	9.64	0.27	23.00	1.69	0.07	0.05	0.24	0.08	6.43	6	143	383	1539	74	182
55937	192.6	193.4			5.63	14.16	35.73	0.27	5.69	0.14	28.68	1.49	0.05	0.05	0.22	0.38	8.60	13	272	1435	3020	1500	191
55938	193.4	193.9			11.18	18.52	28.86	0.35	9.05	0.25	20.93	3.71	0.07	0.05	0.23	0.37	6.59	21	350	1745	2557	137	233
55939	193.9	194.6			7.51	14.63	33.94	0.29	7.05	0.19	22.83	4.71	0.08	0.05	0.23	0.22	6.65	7	89	470	1552	268	132
55940	194.6	195.3			3.49	12.88	36.70	0.18	4.99	0.12	26.62	3.35	0.11	0.04	0.21	0.71	8.61	17	191	1015	2195	625	157
55941	195.3	196.2			2.55	10.38	40.44	0.20	4.65	0.10	27.70	5.04	0.12	0.04	0.21	0.27	8.50	7	149	864	6381	563	135
55942	196.2	197.2			3.37	12.23	36.95	0.17	4.69	0.11	27.80	3.67	0.11	0.04	0.22	0.27	9.92	5	61	414	1504	656	114
55943	197.2	197.5			6.78	14.69	30.28	0.23	5.60	0.18	23.73	6.47	0.06	0.05	0.24	0.17	12.91	7	171	937	1438	305	156
55944	197.5	198.3			5.15	12.57	33.91	0.84	5.31	0.16	26.79	4.90	0.05	0.04	0.21	0.19	10.43	7	244	1250	1728	817	135
55945	198.3	198.5			22.61	26.15	16.78	0.47	12.11	0.44	16.79	0.78	0.05	0.04	0.21	0.11	5.49	8	413	1785	2276	171	272
55946	198.5	198.8			7.50	15.57	31.85	0.30	5.86	0.19	26.77	2.48	0.07	0.05	0.25	0.23	10.27	8	382	1295	1888	1308	196
55947	198.8	200			1.22	12.68	36.64	0.13	3.90	0.13	32.50	1.87	0.30	0.05	0.22	0.20	10.88	< L.D.	38	92	1231	230	121
55948	200	201			0.62	11.48	34.77	0.12	3.14	0.14	29.79	3.89	0.47	0.13	0.24	0.20	11.45	< L.D.	20	47	1134	629	101
55949	201	202			0.54	12.11	33.99	0.10	3.49	0.14	30.73	1.89	0.42	0.10	0.23	0.18	11.33	< L.D.	6	34	1158	152	109
55950	202	203.4			0.56	11.94	37.13	0.10	3.51	0.15	30.34	2.13	0.07	0.05	0.26	0.15	11.15	< L.D.	7	48	1174	148	121
55951	203.4	206.5			0.28	11.28	0.00	0.13	3.55	0.16	30.09	2.35	0.00	0.01	0.02	0.06	0.00	< L.D.	12	53	1155	41	114

Forage:		Profond. (m):	251.3	UTM-N:	5919187	Cible(s):	Cr16	Acid	prof. (m)	angle (o)		
Date:		Plongée:	66	UTM-E:	346579	Diamètre:	BQ	Test:	0	65.5		
Ing. Géol.:		Azimuth:	196	Altitude:	172.9	Contracteur:	For. Mercier		30	66		
		Mort-terrain (m):	5.3						130	65.5		
		Tubage présent:	oui						251.3	67		
		Cimentation:	non			Propriété:	Ménarik					
		Coins-biseaux	non			Compagnie:	Pro-Or inc.					
		Unité de mesure	mètre									
<i>Début de la zone descriptive</i>												
De:	à:	Lithologie	Description	Altération	Sulfures	Couleur	Structure	A/C (o)				
0	5.3	MT	Mort terrain									
5.3	54.2	PER CUM	Périd. cumulative	10% v.q-j-t		grise noire						
54.2	55.7	GAB	Gabbro cisailé			vert		25	z. cisailée			
55.7	57.5	PER	Périd.	Talc		grise						
57.5	57.9	GAB	Gabbro			vert		20	contact			
57.9	132.4	PER CUM	Périd. cumulative	10% v.q-j-t		grise noire						
132.4	148.6	PER CUM	Périd. cumulative	Talc, 5% v.q-j-t		grise						
148.6	182.25	PER CUM	Périd. cumulative	10% v.q-j-t		grise noire						
182.25	231.5	Chromitite Cr-16	Indice Cr-16									
182.25	184.85	CHR.-SEMI-MASS	5% Chrom.					45	contact			
184.85	185.6	CHR.-MASS	100% Chrom.					55	contact			
185.6	187.9	PER CUM	Périd. cumulative	15% v.q-j-t		grise						
187.9	188.15	CHR.-MASS	100% Chrom.									
188.15	190	PER CUM	Périd. cumulative	15% v.q-j-t		grise						
190	191.5	CHR.-MASS	80% Chrom.									
191.5	192.5	PER CUM	Périd. cumulative	15% v.q-j-t		grise						
192.5	192.8	CHR.-MASS	100% Chrom.					60	contact			
192.8	196.2	PER CUM	Périd. cumulative	15% v.q-j-t		grise						
196.2	198.3	CHR.-SEMI-MASS	5% Chrom.		Tr Cp(198.1m)							
198.3	199	PER	Périd. cisailée	15% v.q-j-t		grise						
199	199.25	CHR.-SEMI-MASS	20% Chrom.									
199.25	200.1	PER	Périd. cisailée	15% v.q-j-t	Tr Cp(199.8m)	grise						
200.1	200.4	CHR.-MASS	100% Chrom.					30	contact			
200.4	203.4	PER	Périd. cisailée	15% v.q-j-t		grise						
203.4	203.6	CHR.-MASS	100% Chrom.	80 % périd. Cisailée								
203.6	204.7	PER	Périd. cisailée	15% v.q-j-t		grise						
204.7	205.3	CHR.-MASS	100% Chrom.					30	contact			

Forage: MK-04-06																							
ÉCHANTILLONS					Analyses chimiques																		
no	de:	à:	intervalle cont.	disc.	Cr2O3	Fe2O3	SiO2	TiO2	Al2O3	MnO	MgO	CaO	Na2O	K2O	P2O5	S	PAF	Au ppb	Pt ppb	Pd ppb	Ni ppm	Cu ppm	Co ppm
55955	5.3	8.3			0.21	10.04		0.20	3.17	0.13	23.21	3.85	0.05	0.01	0.02	0.27		1	22	56	1120	116	93
55956	8.3	11.3			0.28	10.75		0.23	3.91	0.15	23.79	4.07	0.05	0.01	0.02	0.10		< L.D.	< L.D.	5	900	35	89
55957	11.3	14.3			0.26	10.20		0.23	6.01	0.17	24.37	5.09	0.07	0.02	0.02	0.11		< L.D.	5	6	819	52	89
55958	14.3	17.3			0.32	10.52		0.27	5.63	0.18	24.29	5.01	0.08	0.02	0.02	0.08		< L.D.	6	7	812	37	85
55959	17.3	20.3			0.30	9.37		0.22	5.80	0.15	23.96	5.29	0.05	0.01	0.01	0.05		2	6	8	741	53	73
55960	20.3	23.3			0.39	10.68		0.28	5.36	0.18	25.37	4.03	0.05	0.01	0.02	0.08		1	8	8	831	61	89
55961	23.3	26.3			0.24	10.74		0.25	5.82	0.19	24.46	5.88	0.04	0.01	0.01	0.19		5	12	16	976	675	112
55962	26.3	29.3			0.27	10.38		0.22	4.87	0.16	23.88	4.04	0.03	0.01	0.01	0.09		2	5	8	857	94	93
55963	29.3	32.3			0.28	10.52		0.23	5.14	0.16	23.96	3.79	0.04	0.01	0.02	0.09		1	11	15	877	81	98
55964	32.3	35.3			0.21	9.70		0.17	5.29	0.17	22.38	10.13	0.03	0.01	0.02	0.08		1	10	9	689	11	75
55965	35.3	38.3			0.23	10.24		0.17	6.82	0.12	24.62	2.92	0.03	0.00	0.01	0.07		< L.D.	8	27	722	81	85
55966	38.3	41.3			0.27	10.12		0.20	5.04	0.17	25.20	5.08	0.01	0.01	0.02	0.10		< L.D.	< L.D.	10	782	29	96
55967	41.3	44.3			0.20	9.37		0.20	5.19	0.13	24.21	3.88	0.03	0.00	0.02	0.15		< L.D.	5	3	829	94	86
55968	44.3	47.3			0.13	8.44		0.15	5.80	0.16	22.71	7.11	0.03	0.01	0.00	0.15		< L.D.	< L.D.	6	720	44	71
55969	47.3	50.3			0.22	10.25		0.17	4.99	0.14	24.70	3.85	0.03	0.01	0.01	0.24		< L.D.	9	8	896	116	97
55970	50.3	53.3			0.21	9.81		0.15	5.31	0.13	24.12	4.25	0.03	0.01	0.01	0.24		< L.D.	< L.D.	2	858	73	86
55971	53.3	54.2			0.18	8.02		0.13	5.65	0.14	22.22	6.55	0.04	0.01	0.00	0.04		< L.D.	7	2	766	15	70
55972	54.2	55.7			0.05	14.80		0.95	12.32	0.22	20.97	0.64	0.00	0.00	0.07	0.03		4	7	< L.D.	248	263	100
55973	55.7	57.5			0.21	9.62		0.18	3.25	0.13	20.39	6.41	0.04	0.01	0.01	0.19		1	< L.D.	4	712	84	83
55974	57.5	57.9			0.04	11.17		0.68	9.01	0.15	22.80	1.86	0.01	0.00	0.04	0.00		< L.D.	< L.D.	< L.D.	253	5	60
55975	57.9	59.3			0.27	11.64		0.20	4.97	0.15	24.79	3.83	0.03	0.01	0.02	0.14		< L.D.	6	3	764	31	97
55976	59.3	62.3			0.33	11.80		0.18	4.95	0.16	26.20	3.67	0.01	0.01	0.02	0.14		< L.D.	10	15	835	30	101
55977	62.3	65.3			0.32	11.30		0.27	5.63	0.18	25.20	4.16	0.05	0.01	0.03	0.08		< L.D.	7	3	662	20	96
55978	65.3	68.3			0.28	11.93		0.23	5.12	0.20	26.28	5.15	0.01	0.01	0.02	0.27		< L.D.	17	29	1050	92	102
55979	68.3	71.3			0.26	12.00		0.25	6.25	0.17	27.19	3.97	0.03	0.01	0.02	0.16		< L.D.	7	7	995	34	105
55980	71.3	74.3			0.26	11.17		0.22	6.14	0.16	25.53	3.95	0.03	0.01	0.02	0.16		< L.D.	8	4	928	42	93
55981	74.3	77.3			0.30	12.38		0.32	6.76	0.17	27.19	3.92	0.04	0.01	0.03	0.17		< L.D.	6	2	1000	56	99

Forage: MK-04-06 (suite)																							
ÉCHANTILLONS					Analyses chimiques																		
no	de:	à:	intervalle		Cr2O3	Fe2O3	SiO2	TiO2	Al2O3	MnO	MgO	CaO	Na2O	K2O	P2O5	S	PAF	Au	Pt	Pd	Ni	Cu	Co
			cont.	disc.														ppb	ppb	ppb	ppm	ppm	ppm
55982	77.3	80.3			0.32	11.70		0.18	5.53	0.16	25.78	3.40	0.03	0.01	0.01	0.13		< L.D.	< L.D.	2	942	39	98
55983	80.3	83.3			0.27	11.25		0.18	5.86	0.14	25.95	3.08	0.03	0.01	0.02	0.10		< L.D.	8	3	889	33	94
55984	83.3	86.3			0.23	11.47		0.20	4.93	0.19	25.28	5.32	0.03	0.01	0.01	0.17		< L.D.	< L.D.	2	872	54	98
55985	86.3	89.3			0.21	11.01		0.22	6.14	0.14	23.79	4.71	0.07	0.01	0.02	0.15		< L.D.	< L.D.	2	801	23	90
55986	89.3	92.3			0.19	10.48		0.27	6.52	0.17	24.62	5.23	0.08	0.01	0.02	0.15		< L.D.	< L.D.	3	791	45	93
55987	92.3	95.3			0.23	11.08		0.20	4.99	0.18	25.70	4.42	0.04	0.01	0.02	0.09		< L.D.	< L.D.	4	870	91	93
55988	95.3	98.3			0.20	12.60		0.17	4.74	0.17	27.94	3.02	0.03	0.01	0.01	0.22		3	< L.D.	7	1205	347	114
55989	98.3	101.3			0.23	11.65		0.12	3.87	0.16	25.86	3.67	0.01	0.01	0.01	0.14		3	< L.D.	4	931	481	100
55990	101.3	104.3			0.21	11.97		0.13	3.93	0.16	25.62	4.18	0.03	0.01	0.01	0.29		8	18	19	1230	694	120
55991	104.3	107.3			0.23	10.81		0.12	4.76	0.14	26.03	3.57	0.03	0.01	0.01	0.13		< L.D.	< L.D.	2	1010	41	96
55992	107.3	110.3			0.22	11.10		0.13	5.38	0.14	26.45	3.18	0.03	0.01	0.01	0.09		< L.D.	< L.D.	1	1000	43	97
55993	110.3	113.3			0.21	10.58		0.13	4.57	0.14	25.20	3.39	0.03	0.01	0.01	0.11		< L.D.	8	39	1030	35	98
55994	113.3	116.3			0.21	11.05		0.15	4.89	0.15	26.61	3.05	0.01	0.01	0.01	0.08		< L.D.	7	10	1010	34	102
55995	116.3	119.3			0.20	11.10		0.15	5.16	0.15	26.20	3.01	0.01	0.01	0.01	0.09		1	7	12	932	53	100
55996	119.3	122.3			0.17	9.61		0.15	6.97	0.14	24.70	4.85	0.05	0.01	0.01	0.12		< L.D.	11	15	918	48	83
55997	122.3	125.3			0.20	9.88		0.15	5.01	0.17	25.28	4.71	0.04	0.01	0.02	0.09		< L.D.	< L.D.	5	862	28	91
55998	125.3	128.3			0.38	12.33		0.15	5.29	0.16	28.10	2.60	0.03	0.01	0.01	0.12		< L.D.	< L.D.	5	1100	87	108
55999	128.3	131.3			0.32	11.40		0.15	4.57	0.16	27.11	3.19	0.03	0.01	0.01	0.07		< L.D.	7	16	905	63	104
56000	131.3	134.3			0.14	10.32		0.13	10.86	0.18	23.88	4.50	0.03	0.01	0.01	0.01		< L.D.	11	19	739	51	93
56001	134.3	137.3			0.11	7.99		0.12	8.97	0.18	20.89	7.99	0.07	0.02	0.01	0.03		< L.D.	6	6	650	302	64
56002	137.3	140.3			0.15	8.64		0.12	8.84	0.17	21.06	7.18	0.07	0.01	0.01	0.10		2	< L.D.	12	757	1095	71
56003	140.3	143.3			0.14	8.42		0.12	12.05	0.17	20.56	5.30	0.04	0.05	0.01	0.00		6	10	4	623	11	79
56004	143.3	146.3			0.10	7.74		0.10	13.92	0.17	20.06	6.93	0.53	0.74	0.01	0.00		2	10	2	580	17	71
56005	146.3	149.3			0.12	6.95		0.08	8.86	0.10	24.12	5.97	0.04	0.01	0.01	0.00		3	82	256	756	4	78
56006	149.3	152.3			0.19	8.99		0.07	5.04	0.12	27.85	5.40	0.01	0.00	0.01	0.14		< L.D.	7	8	1060	81	95
56007	152.3	155.3			0.22	9.95		0.08	4.84	0.11	29.10	2.56	0.01	0.00	0.01	0.04		1	< L.D.	4	1065	27	93
56008	155.3	158.3			0.26	9.97		0.10	5.72	0.12	28.52	3.43	0.01	0.00	0.01	0.09		1	< L.D.	5	1170	31	104
56009	158.3	161.3			0.19	9.42		0.12	7.35	0.13	27.36	3.57	0.05	0.01	0.01	0.02		< L.D.	7	9	984	31	98
56010	161.3	164.3			0.31	10.67		0.10	4.33	0.12	28.68	1.86	0.00	0.01	0.01	0.11		< L.D.	0	14	1155	46	108
56011	164.3	167.3			0.38	11.01		0.10	4.31	0.13	29.51	1.57	0.00	0.00	0.01	0.13		< L.D.	7	8	1130	41	107
56012	167.3	170.3			0.21	9.78		0.33	8.12	0.12	26.69	4.02	0.03	0.01	0.19	0.04		< L.D.	5	9	817	44	83
56013	170.3	173.3			0.20	9.09		0.08	6.52	0.11	24.46	2.32	0.01	0.00	0.01	0.01		< L.D.	24	38	763	14	90
56014	173.3	176.3																< L.D.	< L.D.	< L.D.			
56015	176.3	179.3																< L.D.	< L.D.	< L.D.			
56016	179.3	180.3																< L.D.	< L.D.	< L.D.			
56017	180.3	181.3			0.49	11.24	38.58	0.09	3.17	0.15	30.06	3.01	0.06	0.05	0.24	0.23	12.53	< L.D.	< L.D.	6	1429	215	137
56018	181.3	182.25			0.53	11.43	36.39	0.08	3.59	0.12	30.21	3.02	0.07	0.05	0.23	0.29	12.78	< L.D.	12	23	1389	156	138

Forage: MK-04-06 (suite)																							
ÉCHANTILLONS					Analyses chimiques																		
no	de:	à:	intervalle cont.	disc.	Cr2O3	Fe2O3	SiO2	TiO2	Al2O3	MnO	MgO	CaO	Na2O	K2O	P2O5	S	PAF	Au ppb	Pt ppb	Pd ppb	Ni ppm	Cu ppm	Co ppm
56019	182.3	183.25			5.27	13.12	33.89	0.14	5.31	0.15	29.07	1.65	0.06	0.05	0.22	0.16	9.70	7	64	220	1915	683	165
56020	183.3	184.25			10.67	15.83	29.37	0.21	6.75	0.18	27.01	0.57	0.05	0.06	0.22	0.12	9.71	4	71	187	1406	320	170
56021	184.3	184.85			9.93	13.31	30.01	0.20	6.64	0.17	25.95	2.55	0.07	0.06	0.22	0.12	10.23	6	66	255	1902	713	174
56022	184.9	185.6			21.82	21.37	17.33	0.39	12.38	0.36	18.63	0.76	0.06	0.04	0.22	0.05	7.25	4	130	437	1579	380	225
56023	185.6	186.4			5.51	12.44	34.79	0.19	5.30	0.13	28.27	2.12	0.07	0.06	0.23	0.11	10.28	2	28	107	1540	255	140
56024	186.4	187.2			3.61	12.47	37.00	0.17	5.00	0.13	29.11	2.36	0.08	0.05	0.23	0.17	10.49	2	28	72	1303	724	122
56025	187.2	187.9			3.04	11.00	32.72	0.14	4.49	0.14	28.24	4.98	0.05	0.05	0.23	0.14	13.61	3	19	65	1199	505	137
56026	187.9	188.15			14.45	20.22	25.48	0.35	8.39	0.32	21.57	1.64	0.06	0.06	0.22	0.08	6.70	3	99	249	1535	45	208
56027	188.2	189			2.37	12.04	36.54	0.14	4.46	0.13	29.91	2.40	0.06	0.06	0.22	0.21	10.81	< L.D.	16	43	1280	250	145
56028	189	190			2.28	11.24	37.60	0.17	4.17	0.11	29.91	2.56	0.06	0.06	0.22	0.19	10.58	2	14	36	1333	739	133
56029	190	191.5			12.50	15.62	27.87	0.26	8.19	0.22	23.37	1.86	0.09	0.07	0.24	0.11	6.96	8	97	313	1665	555	186
56030	191.5	192.5			2.34	9.49	44.92	0.15	4.44	0.09	26.15	4.93	0.07	0.06	0.22	0.35	6.47	12	123	651	1749	760	146
56031	192.5	192.8			16.36	19.98	23.15	0.30	12.22	0.37	19.83	1.33	0.06	0.06	0.22	0.10	5.61	26	384	1350	2336	312	178
56032	192.8	193.2			3.70	12.38	34.20	0.33	11.73	0.13	25.81	2.98	0.10	0.06	0.24	0.07	8.48	1	40	204	1304	203	118
56033	193.2	194.2			0.54	8.55	45.48	0.07	5.61	0.11	24.24	7.33	0.08	0.04	0.21	0.15	5.82	2	< L.D.	20	904	204	86
56034	194.2	195.2			0.54	10.29	43.42	0.10	3.83	0.10	27.77	2.98	0.08	0.06	0.22	0.37	8.01	< L.D.	19	103	1400	247	130
56035	195.2	196.2			0.67	10.85	40.54	0.09	4.10	0.11	31.64	1.70	0.07	0.06	0.23	0.30	11.61	2	20	75	1657	177	152
56036	196.2	197.2			8.24	15.41	31.99	0.18	5.94	0.23	25.83	1.98	0.11	0.08	0.22	0.12	9.49	12	61	217	1628	217	184
56037	197.2	198.3			8.57	16.69	32.97	0.16	5.94	0.24	25.67	1.72	0.03	0.05	0.23	0.06	9.05	20	48	132	1290	909	159
56038	198.3	199			1.73	9.74	45.32	0.10	3.59	0.10	26.93	3.92	0.08	0.05	0.22	0.46	6.98	16	13	23	1824	2697	134
56039	199	199.25			5.74	13.02	40.13	0.14	4.88	0.18	24.33	4.10	0.05	0.04	0.22	0.05	6.60	4	37	106	1268	541	144
56040	199.3	200.1			1.13	8.84	47.70	0.09	3.92	0.09	26.44	5.63	0.10	0.05	0.23	0.29	6.19	8	8	27	1280	1144	95
56041	200.1	200.4			13.02	20.08	30.00	0.24	8.79	0.33	21.32	2.10	0.04	0.05	0.23	0.05	5.52	7	111	347	1425	358	182
56042	200.4	201			1.83	9.02	48.87	0.14	4.46	0.10	26.42	6.19	0.06	0.05	0.24	0.16	5.66	2	26	65	1517	407	100
56043	201	202			4.22	12.17	41.36	0.26	6.44	0.16	24.48	5.18	0.08	0.05	0.23	0.05	6.13	1	32	96	1221	336	102
56044	202	203			1.18	6.28	49.94	0.09	3.56	0.09	24.52	7.79	0.05	0.05	0.23	0.05	5.42	< L.D.	13	35	1158	121	92
56045	203	203.4			0.64	5.87	51.19	0.11	3.07	0.07	24.97	7.27	0.05	0.05	0.22	0.08	5.24	1	10	121	1193	470	101
56046	203.4	203.6			11.43	19.79	31.55	0.23	7.22	0.29	20.42	2.36	0.05	0.05	0.23	0.18	5.44	6	144	456	1783	247	217
56047	203.6	204.7			0.86	7.06	50.04	0.11	3.62	0.07	27.18	5.47	0.04	0.04	0.21	0.04	6.34	7	15	45	1337	491	85
56048	204.7	205.3			13.22	18.37	28.19	0.25	8.44	0.31	21.45	2.54	0.33	0.04	0.18	0.12	5.90	1	86	265	1400	78	185
56049	205.3	206.5			7.51	12.55	39.23	0.20	6.52	0.20	23.25	4.33	0.05	0.05	0.24	0.05	6.24	1	48	189	1101	430	110
56050	206.5	207.7			17.66	21.80	22.90	0.35	10.42	0.43	17.81	1.82	0.04	0.04	0.21	0.04	5.74	1	63	220	1313	53	172
56051	207.7	208.6			3.16	10.07	45.28	0.14	4.75	0.11	24.95	3.93	0.06	0.05	0.23	0.14	5.91	1	18	49	1142	231	90
56052	208.6	209.6			3.42	10.80	43.36	0.15	4.88	0.11	25.97	2.87	0.03	0.05	0.23	0.09	8.46	1	15	68	1347	198	106
56053	209.6	209.75			17.97	24.44	20.06	0.31	9.30	0.43	15.30	3.43	0.02	0.04	0.21	0.08	6.88	3	124	387	1135	98	212
56054	209.8	210.4			4.44	13.20	37.12	0.22	5.31	0.15	24.89	5.60	0.02	0.05	0.23	0.11	10.69	1	33	82	1241	333	104
56055	210.4	211.1			3.27	9.85	37.91	0.13	4.51	0.13	24.73	8.10	0.04	0.05	0.24	0.11	13.36	6	26	70	1064	740	95

Forage: MK-04-06 (suite)																							
ÉCHANTILLONS					Analyses chimiques																		
no	de:	à:	intervalle cont.	disc.	Cr2O3	Fe2O3	SiO2	TiO2	Al2O3	MnO	MgO	CaO	Na2O	K2O	P2O5	S	PAF	Au ppb	Pt ppb	Pd ppb	Ni ppm	Cu ppm	Co ppm
56056	211.1	211.5			15.98	20.65	27.19	0.26	9.34	0.35	19.47	1.23	0.02	0.04	0.18	0.04	6.52	< L.D.	108	354	1054	218	168
56057	211.5	212.7			15.13	19.44	27.46	0.31	9.27	0.34	21.24	1.53	0.02	0.05	0.23	0.05	6.45	1	73	220	1284	46	166
56058	212.7	212.9			10.12	17.48	30.85	0.30	6.98	0.25	23.97	2.64	0.07	0.05	0.23	0.05	7.84	2	107	382	1613	231	143
56059	212.9	213.6			3.73	12.64	37.21	0.16	5.20	0.13	27.97	2.84	0.04	0.05	0.23	0.06	9.91	5	54	360	1588	277	120
56060	213.6	214.3			2.93	11.93	37.05	0.15	4.72	0.11	28.19	3.71	0.03	0.05	0.23	0.33	10.24	16	152	866	1961	719	124
56061	214.3	215.1			18.34	21.78	20.53	0.35	10.71	0.34	17.66	3.15	0.02	0.04	0.22	0.08	6.80	23	287	1330	2277	494	202
56062	215.1	216			2.53	9.75	34.32	0.18	3.98	0.14	25.23	9.54	0.29	0.05	0.20	0.23	12.67	7	81	418	1379	415	109
56063	216	216.9			16.06	20.29	21.65	0.33	9.97	0.36	17.33	3.64	0.07	0.05	0.24	0.05	6.48	< L.D.	40	159	2043	167	177
56064	216.9	217.7			2.66	12.45	42.71	0.15	4.42	0.14	28.20	2.89	0.03	0.05	0.23	0.05	7.90	3	46	226	1215	679	93
56065	217.7	218.6			4.07	12.74	42.41	0.15	5.21	0.19	25.71	4.18	0.07	0.05	0.23	0.15	6.80	8	134	668	1712	919	135
56066	218.6	218.9			4.38	14.11	31.91	0.17	4.42	0.29	23.07	7.60	0.04	0.04	0.22	0.12	11.89	9	124	708	1290	144	110
56067	218.9	220			0.34	12.15	36.18	0.63	12.38	0.15	26.85	3.03	0.05	0.04	0.42	0.04	9.54	1	9	13	786	339	86
56068	220	221.5			0.41	12.45	46.19	0.13	4.63	0.11	29.49	0.83	0.04	0.04	0.22	0.07	8.10	< L.D.	14	46	1182	91	114
56069	221.5	223			0.39	12.66	36.79	0.12	2.91	0.19	29.39	4.24	0.02	0.04	0.22	0.04	13.00	< L.D.	5	20	1200	99	115
56070	223	224.5			0.41	11.23	36.14	0.17	2.53	0.19	26.67	6.94	0.03	0.04	0.22	0.08	13.56	< L.D.	6	23	1053	178	106
56071	224.5	225.5			0.32	12.57	39.54	0.50	8.81	0.15	25.94	5.29	0.35	0.05	0.30	0.16	7.21	< L.D.	< L.D.	5	938	169	94
56072	225.5	226			2.27	12.30	42.24	0.19	5.27	0.13	28.54	1.60	0.05	0.05	0.23	0.08	8.31	5	84	248	2407	596	104
56073	226	227.5			11.60	18.94	29.58	0.27	7.60	0.31	22.88	2.14	0.03	0.05	0.24	0.07	7.17	15	195	923	1739	831	182
56074	227.5	228.5			3.16	12.39	36.20	0.14	4.80	0.11	26.96	3.77	0.04	0.05	0.24	0.26	9.93	16	182	1005	2288	806	175
56075	228.5	229.2			17.76	20.72	22.12	0.36	11.02	0.34	19.45	1.62	0.02	0.05	0.24	0.08	6.50	10	131	541	2201	647	182
56076	229.2	230			2.96	12.72	31.98	0.18	3.82	0.15	26.70	6.10	0.02	0.04	0.22	0.33	15.09	17	153	732	3451	2212	159
56077	230	230.8			3.43	14.84	35.41	0.19	4.77	0.13	29.42	1.60	0.03	0.05	0.23	0.37	10.22	16	104	737	1869	1526	147
56078	230.8	231.5			12.28	16.49	29.09	0.30	8.53	0.27	23.10	2.97	0.33	0.05	0.23	0.30	6.60	45	532	2000	2662	757	192
56079	231.5	232.3			1.84	13.92	37.47	0.13	3.83	0.14	29.11	2.42	0.03	0.04	0.21	0.73	10.14	11	79	261	1570	6957	141
56080	232.3	233.3			0.60	13.10	39.46	0.12	3.37	0.14	29.91	2.51	0.02	0.05	0.24	0.11	10.77	4	20	131	1208	339	122
56081	233.3	236.3			0.31	12.60		0.13	3.89	0.16	30.09	1.87	0.01	0.01	0.01	0.17		< L.D.	21	63	1150	60	122
56082	236.3	239.3			0.27	11.68		0.13	3.49	0.19	28.68	3.18	0.01	0.01	0.01	0.12		2	12	27	1070	56	110
56083	239.3	242.3			0.28	12.10		0.15	3.55	0.19	30.26	2.99	0.01	0.01	0.01	0.14		1	24	31	1125	23	116
56084	242.3	245.3			0.28	12.21		0.18	3.42	0.17	29.68	1.96	0.01	0.01	0.02	0.10		1	13	44	1135	24	116
56085	245.3	248.3			0.27	11.83		0.17	3.65	0.15	28.85	1.66	0.01	0.01	0.01	0.13		2	24	45	1120	194	118
56086	248.3	251.3			0.25	11.93		0.10	3.49	0.17	29.18	3.30	0.00	0.01	0.02	0.15		3	16	32	1080	140	116

Forage:	MK-04-07	Profond. (m):	254	UTM-N:	5919171	Cible(s):	Cr16	Acid	0	65		
Date:	03 Déc. 2004	Plongée:	65	UTM-E:	346619	Diamètre:	BQ	Test:	30	65		
Ing. Géol.:	Y. Bussières	Azimuth:	204	Altitude:	174.6	Contracteur:	For. Mercier		140	65.5		
		Mort-terrain (m):	10.1						254	67		
		Tubage présent:	non			Propriété:	Ménarik					
		Cimentation:	non			Compagnie:	Pro-Or inc.					
		Coins-biseaux	non									
		Unité de mesure	mètre									
Début de la zone descriptive												
De:	à:	Lithologie	Description	Altération	Sulfures	Couleur	Structure	A/C (o)				
0	10.1	MT	Mort terrain									
10.1	28.5	SCHISTE	Schiste à chlorite			gris		15			schistosité	
28.5	107.8	PER CUM	Périd. cumulative	Talc, 10% v.q-j-t		grise						
26.7	38.2	GAB	Gabbro cisailé					15			contact	
45	46.7	GAB	Gabbro cisailé					25			contact	
82.9	84.2	GAB	Gabbro cisailé									
85.5	86.7	GAB	Gabbro cisailé					50			contact	
107.8	120	GAB	Gabbro grossier	Chlor		vert		55			contact	
120	131.6	PER CUM	Périd. cumulative	Talc		grise		40			contact	
131.6	141.4	GAB	Gabbro chloritisé	Chlor		vert		40			contact	
141.4	147.7	PER CUM	Périd. cumulative			grise	z. cisailée	15			z. cisailée	
147.7	162.7	QFP	Dyke QFP					25			contact	
162.7	180.6	PER CUM	Périd. cumulative	Talc	Py(178.9m)	grise						
180.6	196.7	QFP	Dyke QFP					50			contact	
196.7	204.6	PER	Périd.	Talc, 5% v.q-j-t		grise claire						
204.6	224.2	PER CUM	Périd. cumulative	10% v.q-j-t		grise noire						
224.2	234.7	Chromitite Cr-16	Indice Cr-16									
224.2	225.8	CHR.-SEMI-MASS	2% Chrom.									
225.8	227.1	CHR.-SEMI-MASS	5% Chrom.									
227.1	227.9	CHR.-MASS	100% Chrom.					75			contact	
227.9	228.2	CHR.-SEMI-MASS	2% Chrom.									
228.2	228.7	PER CUM	Périd. cumulative	10% v.q-j-t								
228.7	229.3	CHR.-SEMI-MASS	2% Chrom.									
229.3	231	PER CUM	Périd. cumulative	10% v.q-j-t								
231	231.25	CHR.-MASS	60% Chrom.									
231.25	234.45	PER CUM	Périd. cumulative	10% v.q-j-t								
234.45	234.7	CHR.-MASS	80% Chrom.					35			contact	

Forage: MK-04-07 (suite)			Analyses chimiques																					
ÉCHANTILLONS																								
no	de:	à:	intervalle	cont.	disc.	Cr2O3	Fe2O3	SiO2	TiO2	Al2O3	MnO	MgO	CaO	Na2O	K2O	P2O5	S	PAF	Au	Pt	Pd	Ni	Cu	Co
																			ppb	ppb	ppb	ppm	ppm	ppm
56114	125	128.2																						
56115	128	131.6																						
56116	163	165.7																						
56117	166	168.7																						
56118	169	171.7																						
56119	172	174.7																						
56120	175	177.7																						
56121	178	180.6				0.33	10.63	48.86	0.13	4.57	0.14	24.70	5.45	0.07	0.05	0.23	0.52	5.61	2	6	< L.D.	868	76	112
56122	197	200.2																						
56123	200	203.2																						
56124	203	206.2																						
56125	206	209.2																						
56126	209	212.2																						
56127	212	215.2																						
56128	215	218.2																						
56129	218	221.2																						
56130	221	222.2																						
56131	222	223.2				0.64	10.88	38.41	0.10	3.79	0.17	31.89	2.92	0.05	0.05	0.23	0.14	12.08	< L.D.	21	75	1274	152	113
56132	223	224.2				0.92	10.33	38.17	0.07	3.94	0.13	30.83	3.20	0.06	0.04	0.21	0.20	11.98	< L.D.	15	69	1498	208	120
56133	224	225.2				8.24	15.08	31.70	0.20	6.17	0.21	27.65	1.33	0.07	0.05	0.23	0.09	9.29	1	57	141	1509	126	162
56134	225	225.8				7.42	13.90	32.97	0.16	5.65	0.16	29.96	0.54	0.05	0.04	0.20	0.08	9.48	< L.D.	41	104	1390	263	144
56135	226	226.4				9.85	15.45	30.36	0.20	6.85	0.19	28.02	1.04	0.05	0.04	0.22	0.08	8.97	3	59	170	1518	234	159
56136	226	227.1				9.52	13.87	29.97	0.19	6.81	0.15	26.20	2.14	0.05	0.05	0.22	0.14	9.12	7	55	176	1475	737	162
56137	227	227.9				21.12	19.20	21.27	0.38	12.29	0.28	20.22	1.53	0.08	0.04	0.18	0.05	5.79	8	106	389	1438	115	202
56138	228	228.2				7.46	14.04	31.23	0.24	6.02	0.16	26.90	2.43	0.07	0.04	0.21	0.12	9.63	5	56	168	1403	551	160
56139	228	228.7				2.41	11.42	35.40	0.16	4.28	0.14	30.20	3.70	0.07	0.05	0.23	0.14	12.31	13	11	26	1153	209	109
56140	229	229.3				4.61	13.09	34.58	0.15	5.20	0.19	28.84	2.80	0.06	0.05	0.23	0.13	10.56	< L.D.	34	67	1304	66	149
56141	229	230.3				3.77	11.55	37.19	0.15	5.37	0.15	29.31	2.52	0.04	0.04	0.22	0.09	10.92	< L.D.	28	86	1255	47	133
56142	230	231				3.48	11.92	36.10	0.16	4.79	0.14	30.34	2.52	0.05	0.04	0.21	0.10	11.34	1	20	61	1312	48	122
56143	231	231.3				13.46	17.22	28.42	0.26	8.60	0.33	24.11	1.40	0.08	0.04	0.19	0.08	6.94	< L.D.	90	229	1199	38	174
56144	231	232				2.99	12.69	36.43	0.16	4.83	0.17	30.50	2.49	0.08	0.04	0.21	0.16	10.99	< L.D.	27	74	1348	74	145
56145	232	233				1.76	10.88	41.64	0.13	4.65	0.14	28.84	2.33	0.08	0.05	0.25	0.25	8.77	< L.D.	20	52	1277	89	118
56146	233	234				1.92	10.71	39.81	0.13	8.04	0.11	27.55	2.20	0.06	0.05	0.23	0.20	8.01	< L.D.	17	34	1075	125	119
56147	234	234.5				3.24	12.61	40.52	0.12	4.92	0.14	29.72	0.88	0.33	0.06	0.21	0.25	8.54	< L.D.	27	154	1404	68	136
56148	234	234.7				13.32	19.62	25.77	0.23	10.68	0.35	20.57	0.76	0.05	0.05	0.23	0.16	6.05	3	134	417	1552	500	178
56149	235	235.7				2.43	12.31	29.30	0.51	16.00	0.12	28.61	0.43	0.05	0.05	0.23	0.05	10.99	< L.D.	21	75	973	45	115
56150	236	236.7				4.23	12.86	27.22	0.18	15.15	0.14	26.34	0.53	0.10	0.05	0.24	0.05	10.70	< L.D.	31	69	1184	47	115

Forage: MK-04-08																								
ÉCHANTILLONS					Analyses chimiques																			
no	de:	à:	intervalle		Cr2O3	Fe2O3	SiO2	TiO2	Al2O3	MnO	MgO	CaO	Na2O	K2O	P2O5	S	PAF	Au	Pt	Pd	Ni	Cu	Co	
			cont.	disc.															ppb	ppb	ppb	ppm	ppm	ppm
56158	43.7	46.7			0.30	10.27		0.23	5.59	0.10	23.96	1.16	0.01	0.00	0.02	0.40		1	<L.D.	6	867	86	89	
56159	46.7	49.7			0.25	10.97		0.20	5.78	0.11	23.96	2.01	0.01	0.00	0.02	0.37		<L.D.	8	14	869	46	92	
56160	49.7	52.7			0.21	10.77		0.15	5.35	0.10	22.88	3.41	0.01	0.00	0.01	0.27		<L.D.	<L.D.	2	813	41	86	
56161	52.7	55.7			0.14	10.57		0.25	5.76	0.14	21.72	4.90	0.03	0.01	0.03	0.18		<L.D.	<L.D.	2	629	42	77	
56162	55.7	58.7			0.22	11.07		0.20	5.06	0.14	23.21	4.62	0.04	0.01	0.02	0.20		<L.D.	6	2	857	67	89	
56163	58.7	61.7			0.20	10.38		0.17	4.44	0.14	23.38	4.28	0.03	0.00	0.02	0.07		<L.D.	<L.D.	2	842	41	90	
56164	61.7	64.3			0.19	10.04		0.13	6.57	0.17	23.79	5.67	0.04	0.01	0.01	0.12		<L.D.	<L.D.	1	1080	40	100	
56165	80.5	81.6			0.04	10.11		0.82	12.96	0.13	7.64	3.44	4.39	1.45	0.06	0.89		<L.D.	<L.D.	<L.D.	164	166	47	
56166	84.9	85.6			0.06	10.01		0.50	10.56	0.14	9.67	2.76	3.34	0.36	0.04	0.26		<L.D.	11	11	159	56	49	
56167	87.5	88.3			0.04	11.47		0.93	12.75	0.13	8.77	2.71	3.86	1.51	0.07	0.96		1	<L.D.	<L.D.	173	88	51	
56168	92.7	93.7			0.03	9.35		0.93	13.68	0.11	6.88	2.66	5.41	0.89	0.08	1.10		4	<L.D.	1	127	209	56	
56169	104.7	105.2			0.04	11.80		0.77	11.54	0.14	10.00	4.43	3.01	0.40	0.07	1.25		3	<L.D.	2	169	296	61	
56170	113.9	114.6			0.05	10.30		0.73	13.39	0.14	9.88	6.30	3.44	0.47	0.06	0.60		2	<L.D.	3	214	86	50	
56171	121.9	122.1			0.09	9.68		0.47	13.70	0.12	8.52	4.28	3.44	1.49	0.05	1.43		19	7	8	378	501	71	
56172	128.1	129.2			0.08	12.97		0.88	14.19	0.17	11.39	7.55	2.48	1.57	0.07	0.99		3	<L.D.	1	295	135	59	

Forage:	MK-04-09	Profond. (m):	329.1	UTM-N:	5919269	Cible(s):	Cr1 et Cr16	Acid	0	angle (o)	66
Date:	07 Déc. 2004	Plongée:	65	UTM-E:	346530	Diamètre:	BQ	Test:	30		65
Ing. Géol.:	Y. Bussières	Azimuth:	206	Altitude:	182.1	Contracteur:	For. Mercier		130		64
		Mort-terrain (m):	2.6						239		65.5
		Tubage présent:	non			Propriété:	Ménarik		329		66.5
		Cimentation:	non			Compagnie:	Pro-Or inc.				
		Coins-biseaux	non								
		Unité de mesure	mètre								
Début de la zone descriptive											
De:	à:	Lithologie	Description	Altération	Sulfures	Couleur	Structure	A/C (o)			
0	2.6	MT	Mort terrain								
2.6	7.6	TON	Tonalite	Chlor		grise bleue					
7.6	27.6	GAB	Gabbro fin			gris vert		20		contact	
27.6	59.4	TON	Tonalite	Chlor, 2% v.q-j		grise bleue		20		contact	
59.4	80.7	GAB	Gabbro grossier			vert		30		contact	
80.7	91.5	GAB	Gabbro fin			gris vert					
91.5	109.1	GAB	Gabbro grossier	5% v.q-j	1% Py, tr Cp(99 à 106.5m)	vert		30		contact	
109.1	120.8	PER	Périd.	Talc		grise		25		contact	
120.8	138	GAB	Gabbro cisailé			vert		35		contact	
123.5	125.1	SCHISTE	Schiste à biotite	75% biotite				50		schiste	
127.3	129.6	V. QTZ	V. QTZ					15		contact	
138	192.6	PER CUM	Périd. cumulative	Talc	Tr Py(190m)	grise bleue		15		contact	
177	178.4	GAB	Gabbro					35		contact	
192.6	207.3	Chromitite Cr-1	Indice Cr-1								
192.6	194.7	CHR.-SEMI-MASS	10% Chrom.								
194.7	195.1	CHR.-MASS	100% chrom.					60		contact	
195.1	196.8	CHR.-MASS	50% chrom.								
196.8	197.7	CHR.-MASS	100% chrom.					35		contact	
197.7	200.4	PER	Périd.	Talc, 10% v.q-j-t		grise bleue					
200.4	202.1	GAB	Gabbro					20		contact	
202.1	204.1	PER	Périd.	Talc, 10% v.q-j-t		grise bleue					
204.1	204.5	CHR.-MASS	50% chrom.								
204.5	204.9	PER	Périd.	Talc, 10% v.q-j-t		grise bleue					
204.9	205.6	CHR.-MASS	20% chrom.								
205.6	207.1	CHR.-MASS	100% chrom.					20		contact	
207.1	207.3	CHR.-MASS	10% chrom.								
207.3	257.2	PER CUM	Périd. cumulative	Talc, 5% v.q-j-t		grise bleue					

								prof. (m) angle (o)			
Forage:	MK-04-10	Profond. (m):	323.4	UTM-N:	5919269	Cible(s):	Cr1 et Cr16	Acid	0	57.5	
Date:	09 Déc. 2004	Plongée:	57	UTM-E:	346530	Diamètre:	BQ	Test:	30	57	
Ing. Géol.:	Y. Bussières	Azimuth:	206	Altitude:	182.1	Contracteur:	For. Mercier		131	58.5	
		Mort-terrain (m):	3.3						215	60	
		Tubage présent:	non			Propriété:	Ménarik		324.4	58.5	
		Cimentation:	non			Compagnie:	Pro-Or inc.				
		Coins-biseaux	non								
		Unité de mesure	mètre								
Début de la zone descriptive											
De:	à:	Lithologie	Description	Altération	Sulfures	Couleur	Structure	A/C (o)			
0	3.3	MT	Mort terrain								
3.3	4.3	TON	Tonalite			gris bleu					
4.3	12.1	GAB	Gabbro fin			vert					
12.1	58.4	TON	Tonalite	Chlor, 2% v.q-j		gris bleu		25	contact		
58.4	87	GAB	Gabbro grossier	Chlor		vert		25	contact		
87	99.9	PER	Périd.	Chlor, 5% v.q-j		gris bleu					
99.9	105.9	GAB	Gabbro cisailé			vert					
105.9	127.5	PER CUM	Périd. cumulative	10% v.q-j-t		grise bleu foncé					
122.5	127.5	PER	Périd. Brec				faille				
127.5	171.95	Chromitite Cr-1	Indice Cr-1								
127.5	128.9	CHR.-SEMI-MASS	2% Chrom.								
128.9	129.8	CHR.-MASS	100% chrom.					60	contact		
129.8	130.8	CHR.-SEMI-MASS	2% Chrom.								
130.8	131.2	PER CUM	Périd. cumulative	15% v.q-j-t		grise bleu foncé					
131.2	132.1	CHR.-SEMI-MASS	2% Chrom.								
132.1	135	PER CUM	Périd. cumulative	15% v.q-j-t		grise bleu foncé					
135	135.45	CHR.-SEMI-MASS	10% Chrom.								
135.45	137.7	PER CUM	Périd. cumulative	15% v.q-j-t		grise bleu foncé					
137.7	139	CHR.-MASS	100% chrom.					30	contact		
139	139.4	CHR.-MASS	10% chrom.								
139.4	140.4	PER CUM	Périd. cumulative	15% v.q-j-t		grise bleu foncé					
140.4	141.1	CHR.-MASS	100% chrom.		1% Cp			50	contact		
141.1	143.25	PER CUM	Périd. cumulative	15% v.q-j-t	1% Py(141.9 à 143.25m)	grise bleu foncé					
143.25	143.9	CHR.-MASS	100% chrom.					40	contact		
143.9	145	PER CUM	Périd. cumulative	15% v.q-j-t		grise bleu foncé					
145	145.35	CHR.-MASS	100% chrom.								
145.35	148.2	PER CUM	Périd. cumulative	15% v.q-j-t		grise bleu foncé					

Forage:		MK-04-10 (suite)											
De:	à:	Lithologie	Description	Altération	Sulfures	Couleur	Structure	A/C (o)					
148.2	148.4	CHR.-MASS	100% chrom.					15	contact				
148.4	148.9	PER CUM	Périd. cumulative	15% v.q-j-t		grise bleue foncé							
148.9	149.2	CHR.-SEMI-MASS	10% Chrom.										
149.2	149.9	PER CUM	Périd. cumulative	15% v.q-j-t		grise bleue foncé							
149.9	153.3	GAB	Gabbro					20	contact				
153.3	159.9	PER CUM	Périd. cumulative	15% v.q-j-t		grise bleue foncé							
159.9	161.3	CHR.-SEMI-MASS	10% Chrom.										
161.3	162.9	CHR.-MASS	100% chrom.					25	contact				
162.9	164.3	PER CUM	Périd. cumulative	15% v.q-j-t		grise bleue foncé							
164.3	164.7	CHR.-MASS	100% chrom.										
164.7	166.8	PER CUM	Périd. cumulative	15% v.q-j-t		grise bleue foncé							
166.8	167.4	CHR.-MASS	100% chrom.					35	contact				
167.4	167.8	PER	Périd. Cisailée		1% Py		z. cisailée	25	z. cisailée				
167.8	168.5	PER CUM	Périd. cumulative	15% v.q-j-t		grise bleue foncé							
168.5	169.3	CHR.-MASS	100% chrom.					75	contact				
169.3	169.6	PER CUM	Périd. cumulative	15% v.q-j-t		grise bleue foncé							
169.6	170.9	CHR.-MASS	100% chrom.					20	contact				
170.9	171.5	PER CUM	Périd. cumulative	15% v.q-j-t		grise bleue foncé							
171.5	171.95	CHR.-MASS	100% chrom.					5	contact				
171.95	189.2	PER CUM	Périd. cumulative	15% v.q-j-t		bleue noire							
175.2	177.8	PER	Périd. Brec	50% v.q-j-t									
189.2	210.9	PER CUM	Périd. cumulative	Talc, 15% v.q-j-t		grise bleue							
210.9	220.9	GAB	Gabbro grossier			vert							
220.9	233.4	SCHISTE	Schiste à biotite	50% biotite, 50% v.q-j		noir		20	contact				
233.4	280.6	PER CUM	Périd. cumulative	Talc, 15% v.q-j-t		grise bleue							
260.1	261.6	GAB	Gabbro										
280.6	305.8	Chromitite Cr-16	Indice Cr-16										
280.6	280.7	CHR.-MASS	100% Chrom.					50	contact				
280.7	283.3	PER CUM	Périd. cumulative	10% v.q-j-t		grise bleue							
283.3	284.25	CHR.-MASS	100% Chrom.					40	contact				
284.25	284.75	CHR.-SEMI-MASS	10% Chrom.										
284.75	286.9	PER CUM	Périd. cumulative	10% v.q-j-t		grise bleue							
286.9	287.1	CHR.-MASS	100% Chrom.					70	contact				
287.1	287.7	CHR.-SEMI-MASS	5% Chrom.										
287.7	290.1	PER CUM	Périd. cumulative	10% v.q-j-t		grise bleue							
290.1	290.7	CHR.-MASS	100% Chrom.										
290.7	291.7	CHR.-SEMI-MASS	10% Chrom.										
291.7	293.2	PER CUM	Périd. cumulative	10% v.q-j-t		grise bleue							
293.2	293.5	CHR.-MASS	100% Chrom.					40	contact				

Forage: MK-04-10																													
ÉCHANTILLONS					Analyses chimiques																								
no	de:	à:	intervalle		Cr2O3	Fe2O3	SiO2	TiO2	Al2O3	MnO	MgO	CaO	Na2O	K2O	P2O5	S	PAF	Au	Pt	Pd	Ni	Cu	Co						
			cont.	disc.														ppb	ppb	ppb	ppm	ppm	ppm						
56275	87	89.4																											
56276	89.4	92.4																											
56277	92.4	95.4																											
56278	95.4	98.4																											
56279	98.4	99.9																											
56280	105.9	108.9																											
56281	108.9	111.9																											
56282	111.9	114.9																											
56283	114.9	117.9																											
56284	117.9	120.9																											
56285	120.9	123.9																											
56286	123.9	125.5																											
56287	125.5	126.5			5.49	12.71	33.19	0.15	5.06	0.18	26.76	4.34	0.04	0.04	0.20	0.13	11.09	< L.D.	41	182	1524	171	154						
56288	126.5	127.5			8.13	14.92	32.54	0.17	5.75	0.21	27.77	1.35	0.02	0.04	0.22	0.11	9.18	2	34	132	1422	114	128						
56289	127.5	128.5			8.73	14.61	31.70	0.20	6.25	0.19	27.36	1.58	0.05	0.04	0.22	0.11	9.15	< L.D.	57	183	1270	330	135						
56290	128.5	128.9			8.30	12.07	24.67	0.15	5.75	0.19	24.19	8.19	0.04	0.04	0.20	0.16	15.30	4	59	211	1338	1066	130						
56291	128.9	129.8			18.47	18.40	23.55	0.34	11.65	0.31	20.01	1.90	0.05	0.04	0.18	0.12	5.05	11	128	454	1804	444	183						
56292	129.8	130.8			4.11	9.18	42.12	0.15	4.70	0.10	26.56	3.91	0.02	0.05	0.22	0.13	8.92	14	22	60	1016	331	89						
56293	130.8	131.2			3.27	12.72	37.52	0.17	4.90	0.12	28.86	2.47	0.04	0.05	0.23	0.16	10.07	11	66	214	1520	452	128						
56294	131.2	132.1			4.78	13.22	32.94	0.16	5.25	0.17	27.39	3.25	0.06	0.04	0.22	0.14	10.09	3	37	115	1367	290	143						
56295	132.1	133			3.31	11.61	38.66	0.18	4.99	0.12	29.53	1.68	0.05	0.05	0.22	0.12	9.92	1	33	78	1263	218	125						
56296	133	134			2.57	11.64	36.46	0.15	4.35	0.12	29.55	2.67	0.05	0.04	0.21	0.23	10.86	1	23	43	1276	164	110						
56297	134	135			4.57	13.90	35.46	0.19	5.15	0.17	29.17	1.92	0.04	0.04	0.19	0.12	10.19	1	53	117	1394	208	151						
56298	135	135.45			11.48	17.22	27.52	0.32	7.89	0.31	22.57	2.01	0.07	0.05	0.22	0.07	7.85	3	92	326	1486	230	179						
56299	135.45	136			2.29	12.18	35.46	0.18	4.25	0.15	29.23	3.31	0.06	0.05	0.23	0.15	11.64	1	27	42	1327	328	121						
56300	136	137			1.73	12.34	37.64	0.14	4.16	0.14	30.18	2.73	0.03	0.04	0.21	0.20	11.08	< L.D.	16	43	1211	304	121						
56301	137	137.7			2.40	11.02	38.21	0.14	4.36	0.10	28.79	2.66	0.06	0.05	0.23	0.20	10.11	4	37	69	1218	498	124						

Forage: MK-04-10 (suite)																							
ÉCHANTILLONS					Analyses chimiques																		
no	de:	à:	intervalle		Cr2O3	Fe2O3	SiO2	TiO2	Al2O3	MnO	MgO	CaO	Na2O	K2O	P2O5	S	PAF	Au	Pt	Pd	Ni	Cu	Co
			cont.	disc.														ppb	ppb	ppb	ppm	ppm	ppm
56302	137.7	138.4			16.85	18.18	24.02	0.33	9.89	0.28	20.65	1.51	0.06	0.05	0.25	0.07	6.15	11	207	399	1505	94	196
56303	138.4	139			12.02	16.08	29.44	0.30	8.24	0.21	25.10	1.48	0.05	0.05	0.22	0.11	7.53	14	132	505	1627	218	167
56304	139	139.4			10.39	16.80	30.68	0.31	7.23	0.21	24.81	1.86	0.07	0.05	0.25	0.10	7.80	9	143	535	1879	469	184
56305	139.4	140.4			2.42	11.78	38.44	0.20	5.00	0.10	27.70	3.98	0.10	0.05	0.23	0.26	8.93	8	115	520	1634	501	131
56306	140.4	141.1			17.93	20.93	22.76	0.51	11.44	0.35	18.84	1.74	0.06	0.04	0.21	0.26	5.08	60	451	1930	2684	1277	210
56307	141.1	141.9			2.40	11.90	39.37	0.20	4.69	0.10	27.78	3.58	0.07	0.05	0.24	0.19	8.65	10	79	407	1242	539	125
56308	141.9	142.5			2.87	13.32	42.54	0.23	4.57	0.11	26.53	2.69	0.05	0.04	0.22	0.57	7.34	12	111	537	1677	512	145
56309	142.5	143.25			2.06	10.14	47.04	0.18	4.75	0.10	24.91	5.50	0.08	0.04	0.22	0.26	5.38	18	88	410	1358	700	98
56310	143.25	143.9			12.90	19.19	27.61	0.49	9.99	0.41	19.06	3.72	0.11	0.04	0.22	0.10	5.47	11	343	1085	1500	175	186
56311	143.9	145			3.77	11.20	43.35	0.17	5.15	0.14	25.10	3.30	0.10	0.05	0.23	0.15	5.99	9	131	681	1494	670	127
56312	145	145.35			17.77	25.79	21.49	0.40	10.13	0.52	16.66	1.22	0.10	0.05	0.24	0.22	4.84	26	631	2210	2047	135	283
56313	145.35	146.2			4.85	11.63	42.67	0.19	4.99	0.17	25.79	2.31	0.06	0.05	0.24	0.14	6.29	37	171	408	1064	870	102
56314	146.2	147.2			2.89	11.84	40.87	0.17	4.81	0.15	28.74	2.12	0.13	0.04	0.22	0.08	8.54	14	49	39	1305	229	112
56315	147.2	148.2			5.19	12.31	42.67	0.17	5.09	0.17	26.09	2.42	0.09	0.04	0.22	0.08	6.37	< L.D.	94	114	1238	420	133
56316	148.2	148.4			10.03	16.35	37.40	0.19	6.56	0.25	21.60	2.14	0.04	0.04	0.22	0.04	4.79	1	133	313	868	57	179
56317	148.4	148.9			1.51	7.42	52.45	0.07	2.63	0.09	24.09	8.28	0.09	0.04	0.20	0.11	3.88	11	42	37	688	135	81
56318	148.9	149.2			5.18	12.80	43.65	0.18	5.41	0.17	22.98	6.04	0.08	0.05	0.23	0.15	4.99	4	71	144	1341	383	161
56319	149.2	149.9			2.35	8.72	49.43	0.13	4.32	0.14	23.28	9.39	0.09	0.04	0.22	0.05	4.23	1	57	85	1123	147	89
56320	149.9	150.9			0.15	12.21	42.60	0.93	14.78	0.19	10.79	9.98	0.72	2.24	0.19	0.04	6.63	1	21	1	203	169	77
56321	150.9	152.3			0.06	11.19	46.86	0.88	14.22	0.19	7.95	9.64	2.23	2.01	0.24	0.09	3.89	7	34	3	357	192	96
56322	152.3	153.3			0.06	14.35	35.07	1.04	15.83	0.23	13.23	7.81	1.52	0.90	0.25	0.05	8.86	12	0	0	248	119	99
56323	153.3	154.9			0.21	9.20	47.02	0.08	4.39	0.12	26.90	5.93	0.04	0.04	0.21	0.19	7.49	3	10	21	1199	170	82
56324	154.9	156.4			0.27	10.19	37.20	0.07	4.11	0.12	28.07	4.48	0.03	0.04	0.20	0.32	12.37	1	6	9	1351	117	117
56325	156.4	157.9			0.58	11.67	39.31	0.08	4.38	0.10	30.38	2.52	0.06	0.04	0.21	0.34	13.11	< L.D.	13	29	1447	248	114
56326	157.9	158.9			4.44	12.70	33.97	0.16	5.24	0.16	26.91	3.96	0.06	0.05	0.25	0.22	10.63	34	62	214	1595	609	139
56327	158.9	159.9			7.49	13.83	28.72	0.16	5.42	0.19	25.97	3.29	0.34	0.05	0.23	0.18	10.29	4	40	128	1473	522	178
56328	159.9	160.6			9.97	15.34	29.99	0.19	6.77	0.19	26.08	1.00	0.05	0.04	0.22	0.11	8.99	4	83	223	1489	188	180
56329	160.6	161.3			8.25	13.46	32.44	0.17	5.93	0.16	26.62	3.53	0.06	0.04	0.21	0.12	10.08	7	64	195	1601	625	157
56330	161.3	162.9			10.46	15.27	33.27	0.28	9.50	0.19	21.81	4.09	0.09	0.05	0.22	0.14	5.60	8	110	320	1486	436	140
56331	162.9	163.6			2.00	12.71	35.78	0.58	11.33	0.10	25.35	3.20	0.08	0.05	0.24	0.28	8.03	2	29	65	624	263	102
56332	163.6	164.3			4.12	12.24	36.06	0.15	5.08	0.17	26.57	6.08	0.08	0.05	0.24	0.19	11.24	4	43	168	1322	180	120
56333	164.3	164.7			12.08	17.66	28.95	0.32	8.02	0.30	22.58	3.37	0.05	0.04	0.21	0.06	8.99	1	88	243	1247	291	170
56334	164.7	165.8			1.55	9.60	37.75	0.16	4.37	0.12	26.76	7.01	0.04	0.04	0.22	0.27	12.96	< L.D.	27	34	1335	92	122
56335	165.8	166.8			2.40	11.89	35.50	0.13	4.41	0.13	28.26	4.75	0.05	0.05	0.23	0.22	12.34	< L.D.	34	48	1270	71	125
56336	166.8	167.4			15.79	18.87	23.62	0.31	9.58	0.33	19.07	2.96	0.06	0.04	0.21	0.09	7.78	5	122	351	1334	78	189
56337	167.4	167.8			2.56	8.77	30.67	0.13	4.94	0.16	23.34	11.14	0.05	0.05	0.25	0.47	17.00	31	48	274	1042	509	102
56338	167.8	168.5			2.28	11.19	38.65	0.12	4.29	0.11	27.77	3.56	0.07	0.04	0.22	0.18	10.24	3	34	77	1292	218	114

Forage: MK-04-10 (suite)																							
ÉCHANTILLONS					Analyses chimiques																		
no	de:	à:	intervalle cont.	disc.	Cr2O3	Fe2O3	SiO2	TiO2	Al2O3	MnO	MgO	CaO	Na2O	K2O	P2O5	S	PAF	Au ppb	Pt ppb	Pd ppb	Ni ppm	Cu ppm	Co ppm
56339	168.5	169.3			15.81	19.09	24.98	0.29	9.49	0.32	19.39	3.92	0.05	0.04	0.20	0.11	7.65	6	146	440	1458	105	195
56340	169.3	169.6			4.40	11.63	38.62	0.15	5.31	0.14	28.35	4.27	0.07	0.04	0.21	0.10	9.40	7	64	228	1428	99	128
56341	169.6	170.9			12.80	17.98	28.18	0.31	8.35	0.29	22.13	2.59	0.25	0.06	0.18	0.13	6.57	4	87	231	1226	48	183
56342	170.9	171.5			2.61	8.16	31.99	0.16	4.49	0.13	21.76	15.04	0.06	0.04	0.21	0.37	16.31	112	31	217	720	271	122
56343	171.5	171.95			4.17	10.66	25.80	0.24	5.07	0.17	19.31	17.10	0.07	0.05	0.23	0.42	17.24				883	167	150
56344	171.95	172.4			1.88	11.41	38.68	0.22	4.25	0.11	28.26	4.16	0.10	0.05	0.25	0.16	11.28	4	40	102	1098	455	99
56345	172.4	173.4			0.76	11.24	38.23	0.21	4.39	0.11	28.75	4.80	0.05	0.05	0.24	0.30	11.36	6	23	34	1166	737	109
56346	173.4	176.4																					
56347	176.4	179.4																					
56348	179.4	182.4																					
56349	182.4	185.4																					
56350	185.4	188.4																					
56351	188.4	191.4																					
56352	191.4	194.4																					
56353	194.4	197.4																					
56354	197.4	200.4																					
56355	200.4	203.4																					
56356	203.4	206.4																					
56357	206.4	209.4																					
56358	209.4	210.9																					
56359	233.4	236.4																					
56360	236.4	239.4																					
56361	239.4	242.4																					
56362	242.4	245.4																					
56363	245.4	248.4																					
56364	248.4	251.4																					
56365	251.4	254.4																					
56366	254.4	257.4																					
56367	257.4	260.4																					
56368	260.4	263.4																					
56369	263.4	266.4																					
56370	266.4	269.4																					
56371	269.4	272.4																					
56372	272.4	275.4																					
56373	275.4	278.4																					
56374	278.4	279.4																					
56375	279.4	280			0.68	11.25	36.50	0.16	3.40	0.17	31.12	4.06	0.06	0.04	0.21	0.33	12.84	6		19	1457	239	140

								prof. (m) angle (o)	
Forage:	MK-04-11	Profond. (m):	260.4	UTM-N:	5919265	Cible(s):	Cr16	Acid	0 58
Date:	11 Déc. 2004	Plongée:	58	UTM-E:	346563	Diamètre:	BQ	Test:	30 58.5
Ing. Géol.:	Y. Bussières	Azimuth:	196	Altitude:	178.4	Contracteur:	For. Mercier		130 58
		Mort-terrain (m):	0.8						215 57.5
		Tubage présent:	non			Propriété:	Ménarik		260 58
		Cimentation:	non			Compagnie:	Pro-Or inc.		
		Coins-biseaux	non						
		Unité de mesure	mètre						
Début de la zone descriptive									
De:	à:	Lithologie	Description	Altération	Sulfures	Couleur	Structure	A/C (o)	
0	0.8	MT	Mort terrain						
0.8	6.6	GAB	Gabbro grossier			vert			
6.6	14.4	GAB	Gabbro fin	10% v.q-j-t		vert			
11.4	14.4	GAB	Gabbro brec				faille		
14.4	65.8	GAB	Gabbro grossier		1% Py(61.5 à 65.8m)	gris vert		25	contact
65.8	81.6	GAB	Gabbro fin			vert		40	contact
81.6	127.4	GAB	Gabbro grossier			gris vert		30	contact
100.7	109	GAB	Gabbro fracturé				15% fragments		
117.8	122.7	V.QTZ	V.QTZ					20	contact
127.4	167	PER CUM	Périd. cumulative	Talc		grise			
158.8	167	PER CUM	Périd. cumulative	Talc, 10% v.q-j-t					
167	225	PER CUM	Périd. cumulative	10% v.q-j-t		grise bleue			
200.1	202.1	GAB	Gabbro					20	contact
225	242.8	Chromitite Cr-16	Indice Cr-16						
225	225.1	CHR.-MASS	100% Chrom.					65	contact
225.1	226.2	PER CUM	Périd. cumulative	10% v.q-j-t		grise bleue			
226.2	226.65	CHR.-SEMI-MASS	10% Chrom.						
226.65	226.75	CHR.-MASS	100% Chrom.						
226.75	227.5	CHR.-SEMI-MASS	10% Chrom.						
227.5	228.3	CHR.-MASS	100% Chrom.					45	contact
228.3	229.7	CHR.-SEMI-MASS	5% Chrom.					40	contact
229.7	230.4	PER CUM	Périd. cumulative	10% v.q-j-t		grise bleue			
230.4	230.6	CHR.-SEMI-MASS	5% Chrom.						
230.6	230.9	PER CUM	Périd. cumulative	10% v.q-j-t		grise bleue			
230.9	231	CHR.-SEMI-MASS	10% Chrom.					45	contact
231	231.3	CHR.-SEMI-MASS	2% Chrom.						
231.3	231.9	PER CUM	Périd. cumulative	10% v.q-j-t		grise bleue			

Forage: MK-04-11suite)																							
ÉCHANTILLONS					Analyses chimiques																		
no	de:	à:	intervalle	disc.	Cr2O3	Fe2O3	SiO2	TiO2	Al2O3	MnO	MgO	CaO	Na2O	K2O	P2O5	S	PAF	Au	Pt	Pd	Ni	Cu	Co
			cont.															ppb	ppb	ppb	ppm	ppm	ppm
56442	200.4	203.4																					
56443	203.4	206.4																					
56444	206.4	209.4																					
56445	209.4	212.4																					
56446	212.4	215.4																					
56447	215.4	218.4																					
56448	218.4	221.4																					
56449	221.4	223.4																					
56450	223.4	224.4			0.65	11.85	37.63	0.12	3.47	0.13	31.74	1.44	0.08	0.05	0.25	0.21	11.65	< L.D.	5	14	1397	570	124
56451	224.4	225			1.69	10.38	36.99	0.17	4.79	0.11	27.58	4.59	0.19	0.08	0.24	0.23	11.44	6	53	162	1424	522	126
56452	225	225.1			11.65	17.16	26.99	0.22	7.27	0.23	24.75	2.33	0.07	0.05	0.23	0.14	9.31	4	89	327	1936	494	197
56453	225.1	225.6			5.29	12.91	34.73	0.18	5.01	0.15	27.90	1.78	0.08	0.05	0.24	0.17	9.57	2	78	204	1718	602	143
56454	225.6	226.2			8.28	14.80	31.31	0.19	5.90	0.17	28.13	0.43	0.06	0.05	0.23	0.12	9.64	5	54	150	1913	247	164
56455	226.2	226.7			7.82	14.41	32.56	0.20	5.88	0.16	28.02	1.08	0.11	0.05	0.23	0.11	9.12	6	93	150	1491	565	154
56456	226.7	226.8			20.98	17.84	17.61	0.37	12.23	0.31	18.03	3.60	0.30	0.05	0.24	0.28	5.89	80	194	731	1953	1537	193
56457	226.8	227.5			9.43	14.46	29.59	0.19	6.44	0.16	26.24	2.15	0.07	0.05	0.25	0.16	9.31	11	93	232	1673	998	171
56458	227.5	228.3			20.55	18.49	20.22	0.35	11.73	0.28	18.55	3.24	0.30	0.05	0.20	0.17	5.32	78	177	551	1781	813	216
56459	228.3	229			5.19	12.61	35.54	0.21	5.41	0.13	28.90	2.42	0.09	0.05	0.22	0.11	9.25	< L.D.	104	142	1330	263	131
56460	229	229.7			4.29	13.50	35.73	0.22	5.05	0.16	29.41	1.85	0.11	0.05	0.24	0.13	9.59	< L.D.	55	130	1302	82	143
56461	229.7	230.4			2.81	11.78	39.22	0.16	4.66	0.13	29.15	2.10	0.09	0.05	0.24	0.12	8.58	< L.D.	32	65	1309	170	137
56462	230.4	230.6			6.47	12.90	37.95	0.17	6.58	0.18	23.18	5.36	0.07	0.05	0.24	0.14	5.45	< L.D.	60	177	1225	131	137
56463	230.6	230.9			0.30	11.77	31.85	0.91	14.17	0.08	28.98	1.32	0.06	0.04	0.54	0.14	10.44	< L.D.	8	3	807	251	0 80
56465	230.9	231			7.61	14.60	31.68	0.16	5.99	0.17	27.62	0.98	0.05	0.05	0.24	0.08	8.89	6	104	246	1494	146	147
56466	231	231.3			5.94	14.85	36.25	0.22	6.16	0.19	24.57	3.48	0.08	0.05	0.25	0.18	6.69	< L.D.	58	100	1356	80	136
56467	231.3	231.9			1.45	10.72	37.70	0.48	8.60	0.10	25.86	4.04	0.09	0.05	0.25	0.22	7.86	1	15	20	979	574	110
56468	231.9	232.5			8.15	15.56	34.99	0.22	6.97	0.21	24.12	3.13	0.07	0.04	0.21	0.26	6.58	4	89	276	1588	298	180
56469	232.5	233			0.06	16.04	46.27	1.48	14.46	0.23	6.83	8.46	2.67	0.56	0.25	0.31	2.74	8	8	2	0 253	322	101
56470	233	234			8.35	14.97	32.12	0.21	6.20	0.16	29.33	0.80	0.05	0.05	0.23	0.12	9.26	< L.D.	59	159	1605	407	151
56471	234	234.8			8.90	13.57	29.99	0.18	6.28	0.14	25.92	2.69	0.06	0.04	0.22	0.12	9.06	1	71	203	1608	410	144
56472	234.8	235.6			14.11	16.95	27.47	0.26	8.58	0.23	22.47	2.65	0.06	0.04	0.22	0.09	7.28	2	90	307	1835	335	189
56473	235.6	236.2			2.63	10.72	33.45	0.31	4.29	0.13	27.91	5.88	0.04	0.04	0.19	0.13	12.99	< L.D.	15	44	1402	306	114
56474	236.2	236.9			3.95	12.58	34.28	0.17	5.01	0.16	28.69	2.98	0.04	0.05	0.23	0.13	10.57	< L.D.	27	60	1241	129	129
56475	236.9	237.2			11.18	17.08	28.06	0.30	7.29	0.31	23.99	2.26	0.06	0.04	0.20	0.06	8.90	< L.D.	87	232	1278	123	172
56476	237.2	238			1.90	12.21	36.67	0.16	4.51	0.14	30.48	2.44	0.05	0.05	0.22	0.18	10.56	< L.D.	9	37	1204	185	115
56477	238	238.8			2.03	10.21	34.57	0.12	4.10	0.13	27.35	7.37	0.07	0.05	0.24	0.14	14.14	< L.D.	16	38	1056	500	98
56478	238.8	239.7			10.72	15.62	29.69	0.26	7.19	0.21	24.78	1.64	0.09	0.04	0.22	0.07	8.12	4	122	468	1477	205	149
56479	239.7	240.5			2.80	12.56	36.36	0.17	5.09	0.12	28.94	3.56	0.09	0.04	0.21	0.49	10.06	13	131	813	2031	813	159

								prof. (m)		angle (o)	
Forage:	MK-04-12	Profond. (m):	245.4	UTM-N:	5919244	Cible(s):	Cr16	Acid	0	65	
Date:	13 Déc. 2004	Plongée:	65	UTM-E:	346613	Diamètre:	BQ	Test:	30	65	
Ing. Géol.:	Y. Bussières	Azimuth:	199	Altitude:	174.1	Contracteur:	For. Mercier		158	64	
		Mort-terrain (m):	5.6						245	64	
		Tubage présent:	oui			Propriété:	Ménarik				
		Cimentation:	non			Compagnie:	Pro-Or inc.				
		Coins-biseaux	non								
		Unité de mesure	mètre								
Début de la zone descriptive											
De:	à:	Lithologie	Description	Altération	Sulfures	Couleur	Structure	A/C (o)			
0	5.6	MT	Mort terrain								
5.6	72.6	TON	Tonalite	Chlor		Gris vert					
72.6	88	GAB	Gabbro fin			vert		50	contact		
88	95.4	TON	Tonalite			rose saumon		10	contact		
95.4	113.8	PER CUM	Périd. cumulative	Talc	2% Py(98.7 à 105.4m)	Grise bleue					
113.8	128.6	GAB	Gabbro			vert					
114.2	116.4	V.QTZ	V.QTZ					20	contact		
128.6	145.5	QFP	Dyke QFP			Gris		55	contact		
141.5	143.6	PER	Périd.	Talc				30	contact		
145.5	163.8	PER CUM	Périd. cumulative	Talc		Grise bleue		35	contact		
163.8	171.3	SCHISTE	Schiste à biotite	Biotite		Noir		35	schistosité		
171.3	200.7	PER CUM	Périd. cumulative	Talc, 15% v.q-j-t		Grise bleue		60	contact		
200.7	210.4	GAB	Gabbro grossier	10% v.q-j-t		Gris vert		40	contact		
210.4	218.5	PER CUM	Périd. cumulative	20% v.q-j-t		Grise bleue		20	contact		
212.55	212.8	V.Q-J-T	V.Q-J-T	100% v.q-j-t	5% Cp			55	contact		
212.8	213.3	PER CUM	Périd. cumulative	20% v.q-j-t	Tr Cp	Grise bleue					
215.3	215.55	PER CUM	Périd. cumulative	40% v.q-j-t	1% Cp	Grise bleue					
218.5	230.25	Chromitite Cr-16	Indice Cr-16								
218.5	218.6	CHR.-MASS	100% Chrom.					70	contact		
218.6	219.6	CHR.-SEMI-MASS	2% Chrom.								
219.6	220.4	CHR.-SEMI-MASS	5% Chrom.								
220.4	221.3	CHR.-SEMI-MASS	2% Chrom.								
221.3	222.2	CHR.-MASS	100% Chrom.		Tr Cp(221.6 à 221.9m)			55	contact		
222.2	222.6	CHR.-SEMI-MASS	2% Chrom.								
222.6	223.1	PER CUM	Périd. cumulative	10% v.q-j-t		Grise bleue foncé					
223.1	223.25	CHR.-SEMI-MASS	2% Chrom.								
223.25	223.55	PER CUM	Périd. cumulative	10% v.q-j-t		Grise bleue foncé					

Forage: MK-04-12																							
ÉCHANTILLONS				Analyses chimiques																			
no	de:	à:	intervalle cont.	disc.	Cr2O3	Fe2O3	SiO2	TiO2	Al2O3	MnO	MgO	CaO	Na2O	K2O	P2O5	S	PAF	Au ppb	Pt ppb	Pd ppb	Ni ppm	Cu ppm	Co ppm
56493	98.7	100.2			0.45	12.67	45.30	0.25	7.05	0.18	23.74	5.42	0.10	0.05	0.25	0.45	6.01	1	8	6	878	80	169
56494	100.2	101.4			0.63	11.52	45.82	0.24	7.33	0.18	25.00	5.01	0.13	0.05	0.24	0.17	6.18	< L.D.	10	13	861	186	102
56495	101.4	102.9			0.36	10.62	44.24	0.18	6.16	0.15	23.61	4.59	0.09	0.04	0.18	0.51	6.31	1	10	6	831	1057	108
56496	102.9	104.4			0.41	11.10	45.04	0.23	6.63	0.18	24.31	5.41	0.39	0.05	0.23	0.33	5.93	< L.D.	6	7	844	124	102
56497	104.4	105.4			0.37	11.36	43.96	0.32	6.75	0.18	23.82	5.29	0.38	0.06	0.23	0.30	5.77	< L.D.	< L.D.	7	839	166	126
56498	105.4	107.4																					
56499	107.4	110.4																					
56500	110.4	113.8																					
64001	141.5	143.6																					
64002	145.5	149.4																					
64003	149.4	152.4																					
64004	152.4	155.4																					
64005	155.4	158.4																					
64006	158.4	161.4																					
64007	161.4	163.8																					
64008	171.3	173.4																					
64009	173.4	176.4																					
64010	176.4	179.4																					
64011	179.4	182.4																					
64012	182.4	185.4																					
64013	185.4	188.4																					
64014	188.4	191.4																					
64015	191.4	194.4																					
64016	194.4	197.4																					
64017	197.4	200.7																					
64018	210.4	211.6			0.49	10.32	43.25	0.18	6.79	0.17	23.77	7.48	0.41	0.06	0.22	0.11	5.93	< L.D.	7	3	422	206	100
64019	211.55	212.6			0.36	9.88	41.72	0.90	5.59	0.17	26.30	5.27	0.08	0.05	0.22	0.33	7.84	< L.D.	< L.D.	< L.D.	1077	1521	124

Forage: MK-04-13																							
ÉCHANTILLONS			Analyses chimiques																				
no	de:	à:	intervalle		Cr2O3	Fe2O3	SiO2	TiO2	Al2O3	MnO	MgO	CaO	Na2O	K2O	P2O5	S	PAF	Au	Pt	Pd	Ni	Cu	Co
			cont.	disc.														ppb	ppb	ppb	ppm	ppm	ppm
64057	88.7	89.3			0.04	13.41	48.22	0.96	15.01	0.20	5.70	8.19	1.22	0.57	0.22	0.83	3.69	19	5	9	224	426	95
64058	89.3	90			0.08	4.67	65.46	0.30	12.96	0.07	2.80	2.93	3.58	1.03	0.25	0.14	1.84	4	0	1	249	210	100
64059	92.9	93.4			0.03	4.41	63.93	0.39	14.89	0.06	2.51	3.23	4.36	1.43	0.23	0.17	2.86	1	10	2	231	218	92
64060	99.7	100.9			0.03	14.25	48.29	0.91	12.70	0.19	6.16	8.60	0.32	0.21	0.24	0.44	6.18		6	1	244	161	98
64061	126.5	128.3																					
64062	128.3	131.3																					
64063	131.3	134.3																					
64064	134.3	137.3																					
64065	137.3	138.3			0.34	11.62	39.31	0.14	4.01	0.16	31.14	1.86	0.06	0.05	0.22	0.12	11.45		18	10	1340	85	151
64066	138.3	139.1			0.73	12.28	39.50	0.11	4.31	0.15	30.42	1.55	0.08	0.04	0.22	0.14	10.75		10	33	1491	410	132
64067	139.1	140			0.47	10.25	35.82	0.09	3.87	0.15	28.62	5.05	0.05	0.05	0.25	0.19	12.99		10	7	1677	51	104
64068	140	140.5			0.58	11.16	37.77	0.09	4.35	0.11	30.65	2.61	0.05	0.05	0.25	0.29	11.91	4		8	1187	1463	135
64069	140.5	140.75			8.36	16.73	31.82	0.20	6.86	0.25	26.37	1.31	0.06	0.05	0.24	0.28	8.07		81	390	2241	1040	228
64070	140.75	141.7			7.58	14.63	31.38	0.17	5.42	0.19	28.45	0.22	0.04	0.04	0.21	0.12	9.20		64	144	1598	294	143
64071	141.7	142.7			9.23	15.25	30.24	0.18	6.20	0.18	27.24	0.62	0.05	0.05	0.25	0.14	9.60	1	55	185	1537	264	157
64072	142.7	143.2			9.23	15.06	31.03	0.19	6.23	0.17	27.67	1.14	0.06	0.05	0.22	0.16	9.08	4	56	206	1557	435	168
64073	143.2	144.5			15.62	18.46	25.10	0.32	9.75	0.29	22.18	1.35	0.07	0.05	0.22	0.08	6.60		79	327	1432	230	184
64074	144.5	145			2.62	11.81	34.44	0.17	4.62	0.12	30.70	2.11	0.36	0.09	0.23	0.29	10.82		20	112	1388	108	149
64075	145	146			1.55	12.24	36.15	0.17	4.05	0.15	31.03	2.18	0.32	0.07	0.21	0.34	10.74		23	47	1672	175	159
64076	146	147			2.23	12.70	34.88	0.18	4.29	0.19	30.34	2.41	0.27	0.07	0.20	0.23	10.86		19	58	1304	192	150
64077	147	148			2.31	12.25	36.67	0.15	4.42	0.12	30.05	2.10	0.07	0.04	0.22	0.17	10.22		19	41	1236	262	117
64078	148	148.3			4.91	12.20	35.26	0.16	5.20	0.11	30.37	1.64	0.10	0.05	0.23	0.14	9.58	2	45	116	1261	962	136
64079	148.3	149			19.01	20.03	22.32	0.34	10.76	0.29	18.70	1.48	0.09	0.04	0.21	0.07	5.21	7	132	318	1685	160	210
64080	149	149.7			13.35	16.12	26.41	0.28	8.30	0.20	23.96	1.28	0.37	0.06	0.21	0.11	6.59	3	75	223	1409	285	157
64081	149.7	150.5			11.11	16.84	29.20	0.32	7.86	0.22	24.86	1.09	0.10	0.05	0.23	0.07	7.09	10	100	393	1656	318	166
64082	150.5	151.1			3.17	13.14	36.21	0.27	5.02	0.11	28.62	2.66	0.09	0.04	0.22	0.41	9.57	14	86	600	1733	823	128
64083	151.1	151.7			3.80	13.71	36.01	0.24	5.53	0.12	28.06	2.60	0.11	0.05	0.25	0.22	9.45	2	45	253	1342	221	119

Forage: MK-04-13 (suite)																							
ÉCHANTILLONS				Analyses chimiques																			
no	de:	à:	intervalle cont.	disc.	Cr2O3	Fe2O3	SiO2	TiO2	Al2O3	MnO	MgO	CaO	Na2O	K2O	P2O5	S	PAF	Au ppb	Pt ppb	Pd ppb	Ni ppm	Cu ppm	Co ppm
64121	221.3	225.4																					
64122	225.4	226.3			0.34	7.65	35.41	0.08	2.63	0.20	23.03	12.60	0.30	0.07	0.20	0.24	13.89			18	781	90	109
64123	226.3	229.5																					
64124	236.1	239.3																					
64125	239.3	242.3																					
64126	242.3	245.3																					
64127	245.3	248.3																					
64128	248.3	251.3																					
64129	251.3	254.3																					
64130	254.3	257.3																					
64131	257.3	260.3																					
64132	260.3	263.3																					
64133	263.3	266.3																					
64134	266.3	269.3																					
64135	269.3	272.3																					
64136	272.3	276.3																					
64137	282.3	287.3																					
64138	287.3	290.3																					
64139	290.3	293.3																					
64140	293.3	296.3																					
64141	296.3	299.3																					
64142	299.3	302.3																					
64143	302.3	303.3			0.65	11.07	39.32	0.10	3.76	0.11	30.37	2.95	0.04	0.04	0.18	0.29	10.82	2		15	1634	264	132
64144	303.3	303.6			1.51	10.73	38.90	0.19	4.54	0.12	32.44	2.53	0.05	0.05	0.24	0.21	10.86	2	42	105	1675	414	101
64145	303.6	303.7			15.79	21.69	25.86	0.31	8.88	0.39	20.10	2.01	0.10	0.04	0.22	0.13	5.03	4	158	612	2121	55	281
64146	303.7	304			6.82	14.01	33.97	0.18	5.61	0.18	30.58	1.08	0.06	0.05	0.22	0.13	9.55	5	24	150	1686	589	170
64147	304	304.8			9.27	14.89	29.49	0.18	6.17	0.16	27.64	0.54	0.06	0.05	0.23	0.11	9.21	1	59	143	1509	305	172
64148	304.8	305.8			11.63	15.03	28.02	0.21	7.55	0.17	26.00	2.21	0.08	0.05	0.25	0.13	8.69	7	76	262	1598	594	196
64149	305.8	306.4			21.92	19.46	19.33	0.43	12.70	0.31	19.80	0.91	0.05	0.05	0.25	0.12	5.37	14	156	632	1722	592	191
64150	306.4	306.8			6.98	11.78	32.30	0.22	6.22	0.15	26.42	5.69	0.08	0.05	0.23	0.13	10.85	2	54	140	1338	736	153
64151	306.8	307.8			3.71	12.94	35.01	0.16	4.74	0.15	29.56	2.88	0.07	0.05	0.23	0.15	11.14		12	31	1124	130	129
64152	307.8	308.6			4.56	12.85	35.84	0.21	5.29	0.16	30.07	2.26	0.08	0.05	0.23	0.12	9.78	1	37	143	1380	106	144
64153	308.6	308.8			13.85	18.05	25.43	0.32	9.44	0.33	22.18	2.53	0.09	0.04	0.22	0.08	7.29		96	450	1517	118	197
64154	308.8	309.8			2.13	12.31	37.12	0.17	4.43	0.13	31.26	2.17	0.07	0.05	0.23	0.21	10.79	3	5	47	1283	228	146
64155	309.8	310.8			2.50	11.78	37.32	0.15	4.59	0.12	30.23	2.96	0.08	0.04	0.22	0.16	10.70		21	24	1259	262	131
64156	310.8	311.05			6.64	11.98	35.20	0.15	6.50	0.13	29.92	1.83	0.12	0.05	0.36	0.08	9.28	3	64	205	1362	165	116
64157	311.05	311.55			15.74	17.23	25.12	0.32	10.09	0.24	21.53	3.61	0.11	0.04	0.22	0.07	6.95	3	104	273	1634	65	195

**ANNEXE II RÉSULTATS ANALYTIQUES ET CERTIFICATS D'ANALYSE
(INRS-ETE)**

Laboratoire INRS-ETE

Type échantillons: Chromitites

Projet: Pro-Or

Date remise: 25-2-05

Échantillon	Forage	SiO2	TiO2	Al2O3	Fe2O3T	Cr2O3	MnO	MgO	CaO	Na2O	K2O	P2O5	S	PAF
55522B	MK-04-01	20.12	0.37	11.39	19.32	20.41	0.36	19.11	1.81	0.19	< 0.039	< 0.19	0.10	6.42
55523	MK-04-01	41.86	0.13	8.72	9.15	0.34	0.10	26.88	4.70	0.24	< 0.048	< 0.24	0.11	8.08
55524	MK-04-01	30.48	0.12	14.84	11.96	0.20	0.11	27.64	1.68	0.23	< 0.047	< 0.23	0.09	11.62
55526	MK-04-01	31.89	0.21	5.54	15.10	6.46	0.21	26.66	2.76	0.20	< 0.039	< 0.19	0.10	10.28
55528	MK-04-01	29.62	0.25	7.18	17.11	10.46	0.27	25.03	1.96	0.24	< 0.048	< 0.24	0.10	8.78
55529	MK-04-01	36.14	0.15	3.89	12.33	1.69	0.14	29.77	2.75	0.25	< 0.049	< 0.25	0.16	11.43
55530	MK-04-01	36.38	0.14	4.11	12.28	2.22	0.15	29.05	2.51	0.23	< 0.047	< 0.23	0.14	11.22
55531	MK-04-01	38.06	0.12	4.19	11.99	1.66	0.14	28.31	2.24	0.25	< 0.047	< 0.23	0.08	10.46
55562	MK-04-01	36.89	0.14	4.58	11.71	4.00	0.13	28.23	2.66	0.25	< 0.048	< 0.24	0.17	9.33
55563	MK-04-01	26.37	0.30	9.06	18.68	14.71	0.36	21.92	1.96	0.31	< 0.05	< 0.25	0.08	6.29
55566	MK-04-01	24.27	0.26	9.98	19.33	17.14	0.26	19.45	2.14	0.26	< 0.045	< 0.22	0.06	5.31
55567	MK-04-01	31.64	0.21	6.74	15.03	9.28	0.18	25.09	1.85	0.29	< 0.049	< 0.24	0.10	7.27
55569	MK-04-01	19.47	0.32	10.71	21.44	15.89	0.44	16.42	4.45	0.27	< 0.049	< 0.24	0.19	7.64
55570	MK-04-01	43.50	0.17	4.53	8.45	2.92	0.12	27.78	5.73	0.29	< 0.047	< 0.24	0.14	7.14
55571	MK-04-01	39.50	0.19	5.48	11.99	7.40	0.16	23.98	5.77	0.53	1.06	< 0.25	0.07	6.20

Laboratoire INRS-ETE

Type échantillo Chromitites

Projet: Pro-Or

Date remise: 25-févr-05

Échantillon	Cr	Co	Cu	Ni	Zn	Sc	V	Ba	Sr	Zr
55522B	139636.	192.	429.	1665.	407.	18.2	672.	86.4	31.7	
55523	2333.	< 95.5	80.0	853.	76.7	13.2	< 95.5	109.	33.0	
55524	1387.	< 93.9	63.0	514.	29.8	12.9	< 93.9	102.	32.6	
55526	44200.	132.	1035.	1296.	199.	15.1	260.	89.6	44.6	
55528	71539.	151.	168.	1415.	292.	16.6	389.	110.	39.1	
55529	11575.	125.	131.	1239.	75.0	15.3	107.	114.	44.3	
55530	15175.	107.	151.	1241.	92.0	14.8	111.	99.9	40.1	
55531	11333.	93.8	162.	1431.	73.5	13.3	96.6	103.	39.2	
55562	27342.	< 95	152.	1156.	81.8	14.0	157.	118.	38.7	
55563	100659.	174.	< 49.7	1298.	254.	16.4	521.	111.	34.9	
55566	117239.	160.	237.	1315.	403.	15.6	596.	98.3	26.8	
55567	63526.	103.	1017.	1415.	166.	14.9	345.	101.	28.6	
55569	108720.	187.	365.	2078.	455.	16.5	623.	106.	44.7	
55570	19968.	< 94.2	885.	1263.	95.9	14.6	159.	99.8	32.8	
55571	50649.	109.	1013.	1585.	204.	14.3	298.	126.	35.9	

Laboratoire INRS-ETE

Type échantillons: Chromitites

Projet: Pro-Or

Date remise: 25-févr-05

Échantillon	Forage	SiO2 %	TiO2 %	Al2O3 %	Fe2O3T %	Cr2O3	MnO %	MgO %	CaO %	Na2O %	K2O %	P2O5 %	S %	PAF %
55343	MK-04-02	25.8	.240	5.07	10.7	4.2	.175	19.3	17.1	.0720	< 0.046	< 0.23	.418	17.2
55577	MK-04-02	38.1	.157	4.12	11.3	.3	.192	27.9	5.15	.0530	< 0.037	< 0.19	.119	13.0
55578	MK-04-02	28.1	.186	4.77	9.54	.3	.340	23.0	13.9	.0270	< 0.044	< 0.22	.180	20.4
55579	MK-04-02	27.5	.359	8.66	15.4	.7	.236	21.6	7.54	.309	< 0.045	< 0.23	1.86	11.2
55579	MK-04-02	27.5	.355	8.51	15.3	.7	.240	21.6	7.48	.605	.171	.250	1.87	11.2
55580	MK-04-02	33.8	.189	5.31	11.1	.4	.295	23.6	10.4	.286	< 0.043	< 0.22	.188	14.0
55602	MK-04-02	36.0	.100	4.23	10.5	1.4	.125	31.3	3.07	.0780	< 0.041	< 0.2	.211	10.4
55603	MK-04-02	32.5	.150	6.08	13.0	6.5	.179	30.3	.866	.104	< 0.036	< 0.18	.160	9.3
55604	MK-04-02	31.7	.167	6.04	13.8	7.8	.161	30.3	.352	.100	< 0.039	< 0.19	.151	9.1
55605	MK-04-02	30.7	.155	6.33	12.5	8.2	.152	28.5	1.89	.0570	< 0.047	< 0.23	.154	8.7
55606	MK-04-02	19.6	.376	12.0	19.0	21.5	.301	19.6	2.38	.0540	< 0.041	< 0.21	.147	5.7
55607	MK-04-02	33.1	.195	5.22	12.7	4.7	.131	29.8	2.37	.304	< 0.041	< 0.21	.288	9.6
55608	MK-04-02	35.6	.177	5.00	12.6	3.7	.143	30.6	1.66	.0340	< 0.037	< 0.18	.127	9.4
55609	MK-04-02	33.1	.217	5.63	13.2	5.9	.166	28.9	1.86	.0550	< 0.046	< 0.23	.206	9.2
55610	MK-04-02	37.6	.147	4.39	12.0	1.7	.122	30.9	2.87	.0980	< 0.05	< 0.25	.192	10.0
55611	MK-04-02	37.7	.131	4.47	11.7	2.3	.111	31.9	1.84	.0650	< 0.044	< 0.22	.199	10.0
55612	MK-04-02	27.5	.271	8.51	16.7	13.1	.255	24.4	1.94	.0960	< 0.041	< 0.2	.0900	7.4
55613	MK-04-02	37.8	.161	4.96	10.7	2.6	.0933	31.3	2.32	.0690	< 0.043	< 0.22	.140	9.6
55614	MK-04-02	18.7	.463	11.7	24.3	21.5	.414	17.3	1.48	.0430	< 0.039	< 0.2	.128	4.7
55615	MK-04-02	37.3	.172	4.82	11.2	2.8	.101	30.9	2.72	.141	.0950	< 0.2	.148	9.9
55616	MK-04-02	35.2	.195	5.05	13.9	4.4	.144	30.9	1.49	.0810	< 0.048	< 0.24	.285	9.2
55617	MK-04-02	20.7	.416	10.0	22.1	17.6	.416	20.2	2.36	.299	< 0.048	< 0.24	.205	6.2
55618	MK-04-02	37.8	.219	4.04	10.4	1.5	.109	33.2	1.69	.0530	< 0.042	< 0.21	.186	10.3
55619	MK-04-02	37.8	.170	3.51	13.1	.7	.155	33.3	1.94	.0810	< 0.049	< 0.24	.128	10.7
55655	MK-04-02	38.7	.158	3.87	11.4	.6	.160	32.9	2.51	.0600	< 0.044	< 0.22	.136	10.9
55656	MK-04-02	37.4	.111	4.08	11.0	1.5	.127	31.6	3.01	.0630	< 0.043	< 0.21	.256	11.0
55657	MK-04-02	31.3	.168	5.91	13.7	8.0	.190	28.6	2.60	.0710	< 0.046	< 0.23	.138	9.7
55658	MK-04-02	30.1	.213	6.71	15.2	10.4	.170	27.1	1.05	.0680	< 0.044	< 0.22	.0800	7.9
55659	MK-04-02	25.9	.276	9.79	14.9	14.6	.216	21.3	5.01	.0690	< 0.043	< 0.22	.150	7.0
55660	MK-04-02	31.7	.176	4.99	12.3	4.9	.138	28.0	5.89	.0700	< 0.043	< 0.21	.243	12.0
55661	MK-04-02	33.6	.136	4.51	11.3	3.6	.134	28.3	6.55	.0490	< 0.04	< 0.2	.209	12.8
55662	MK-04-02	26.0	.317	8.77	18.8	14.2	.360	23.1	1.59	.370	< 0.047	< 0.23	.132	6.4

Laboratoire INRS-ETE		Type échantillon Chromitites								
Projet:	Pro-Or	Date remise: 25-févr-05								
Échantillon	Cr	Co	Cu	Ni	Zn	Sc	V	Ba	Sr	Zr
	ppm	ppm	ppm	ppm	ppm	ppm	ppm	ppm	ppm	ppm
55343	28550.	150.	167.	883.	227.	13.1	208.	11.8	181.	< 27.4
55577	2102.	93.4	76.8	1040.	84.1	16.8	80.3	9.90	26.5	< 22.5
55578	2285.	87.0	645.	716.	91.7	16.5	< 87.1	< 8.7	89.1	< 26.1
55579	4978.	188.	11353.	1761.	192.	24.6	170.	28.7	64.0	31.5
55579	5066.	169.	11102.	1805.	188.	24.0	164.	28.4	63.7	30.8
55580	2651.	100.	603.	905.	116.	17.4	104.	27.2	77.3	< 25.9
55602	9651.	105.	315.	1375.	79.5	12.7	< 81.8	8.80	8.90	< 24.5
55603	44570.	136.	553.	1585.	205.	12.5	253.	10.9	< 7.2	< 21.6
55604	53044.	147.	304.	1637.	232.	12.8	307.	< 7.8	< 7.8	< 23.4
55605	56071.	126.	550.	1290.	251.	12.7	304.	< 9.3	< 9.3	< 28
55606	146721.	195.	830.	1837.	402.	19.4	774.	16.1	< 8.2	< 24.7
55607	32120.	137.	248.	1255.	146.	13.9	194.	31.4	29.6	< 24.7
55608	25056.	126.	163.	1294.	130.	14.7	179.	< 7.4	< 7.4	< 22.2
55609	40174.	168.	472.	1286.	164.	14.4	257.	9.50	< 9.3	< 27.8
55610	11797.	137.	66.5	1283.	84.8	14.6	115.	13.2	< 9.9	< 29.8
55611	15753.	105.	81.2	1215.	92.6	14.8	122.	10.1	< 8.9	< 26.7
55612	89790.	187.	217.	1353.	345.	15.5	495.	12.0	< 8.2	< 24.5
55613	17851.	101.	453.	1481.	89.4	15.7	145.	59.5	< 8.7	< 26
55614	147281.	258.	197.	2463.	497.	15.7	820.	< 7.9	< 7.9	< 23.7
55615	19367.	97.8	385.	1212.	107.	15.1	160.	9.00	8.90	< 24
55616	30392.	172.	1007.	1898.	165.	13.9	227.	< 9.7	< 9.7	< 29.1
55617	120193.	231.	1043.	2126.	504.	14.5	745.	42.9	35.0	< 28.7
55618	10101.	117.	433.	1223.	69.2	15.0	123.	< 8.4	< 8.4	< 25.2
55619	4702.	171.	289.	1305.	73.6	14.9	< 98	11.1	< 9.8	< 29.4
55655	4445.	127.	57.7	1386.	74.4	14.7	< 88.1	11.2	11.0	< 26.4
55656	10549.	137.	278.	1521.	70.9	13.9	86.8	9.80	13.8	30.0
55657	54718.	158.	407.	1680.	322.	12.3	285.	12.4	< 9.2	< 27.7
55658	71127.	185.	118.	1697.	237.	14.0	373.	12.2	< 8.7	< 26.2
55659	99725.	163.	1250.	1841.	378.	19.3	532.	12.2	21.7	< 26
55660	33762.	143.	524.	1339.	147.	13.5	227.	12.9	27.4	< 25.6
55661	24884.	111.	55.4	1039.	108.	13.5	160.	11.6	21.2	< 24
55662	96914.	208.	129.	1521.	306.	16.7	487.	43.1	30.7	< 28

Laboratoire INRS-ETE														
Projet: Pro-Or				Type échantillons: Chromitites										
				Date remise: 25-févr-05										
Échantillon	Forage	SiO2	TiO2	Al2O3	Fe2O3T	Cr2O3	MnO	MgO	CaO	Na2O	K2O	P2O5	S	PAF
		%	%	%	%		%	%	%	%	%	%	%	%
55663	MK-04-02	36.5	.158	4.46	12.1	2.0	.120	31.3	2.19	.0450	< 0.039	< 0.19	.214	10.7
55664	MK-04-02	36.4	.141	4.69	11.8	3.3	.115	30.4	2.22	.0550	< 0.042	< 0.21	.159	9.9
55665	MK-04-02	27.1	.293	8.46	18.2	14.6	.290	22.6	2.80	.0680	< 0.042	< 0.21	.0750	7.2
55666	MK-04-02	29.8	.378	9.22	16.4	9.3	.226	23.0	3.64	.0720	< 0.048	< 0.24	.299	7.1
55667	MK-04-02	17.9	.386	12.5	21.0	20.7	.391	17.2	1.55	.0660	< 0.049	< 0.25	.230	5.0
55668	MK-04-02	36.1	.174	4.18	11.7	3.4	.113	29.0	3.46	.0430	< 0.043	< 0.22	.288	9.4
55669	MK-04-02	18.9	.333	11.1	20.2	19.7	.353	18.7	1.87	.0370	< 0.034	< 0.17	.215	6.0
55670	MK-04-02	36.2	.145	3.85	13.2	1.5	.146	31.6	1.60	.0610	< 0.05	< 0.25	.246	10.7
55671	MK-04-02	38.7	.128	3.01	12.3	.5	.164	30.8	4.65	.0410	< 0.041	< 0.2	.207	11.3
55679	MK-04-03	37.1	.0912	3.44	10.9	.4	.132	28.5	3.73	.0620	< 0.052	< 0.26	.277	12.6
55682	MK-04-03	37.6	.134	3.80	13.0	1.5	.161	31.3	.670	.0660	< 0.05	< 0.25	.165	10.4
55683	MK-04-03	38.7	.215	4.59	11.7	1.5	.132	26.5	5.12	.284	< 0.045	< 0.22	.669	8.4
55684	MK-04-03	38.7	.210	4.56	9.38	.9	.151	27.0	5.95	.0610	< 0.052	< 0.26	.109	10.7
55685	MK-04-03	37.6	.164	3.53	11.7	.7	.163	31.4	1.88	.0430	< 0.043	< 0.21	.163	14.3
55686	MK-04-03	36.7	.161	3.40	11.0	.6	.174	30.7	2.81	.107	< 0.048	< 0.24	.132	15.7
55687	MK-04-03	39.2	.156	4.83	10.6	1.3	.123	30.3	3.24	.0590	< 0.048	< 0.24	.136	12.8
55689	MK-04-03	28.0	.189	7.19	16.2	10.7	.287	26.5	1.02	.262	< 0.039	< 0.19	.114	9.6
55690	MK-04-03	21.9	.197	10.1	19.3	18.0	.417	19.8	1.70	.282	.0550	< 0.23	.250	6.7
55691	MK-04-03	34.2	.159	4.20	10.6	2.8	.127	29.0	3.93	.0340	< 0.049	.420	.119	12.3
55692	MK-04-03	34.1	.195	6.07	12.7	4.8	.166	28.8	1.88	.0400	< 0.044	< 0.22	.162	10.1
55693	MK-04-03	36.1	.175	4.74	12.8	2.8	.150	29.0	1.89	.0410	< 0.048	< 0.24	.116	9.6
55694	MK-04-03	36.5	.155	3.48	12.7	.6	.163	30.4	2.37	.0600	< 0.05	< 0.25	.126	11.1
55712	MK-04-03	39.5	.106	2.98	13.4	.5	.198	30.5	2.71	.0570	< 0.046	< 0.23	.134	11.3
55713	MK-04-03	44.9	.118	3.14	12.2	1.8	.194	29.4	3.28	.0540	< 0.046	< 0.23	.105	7.4
55714	MK-04-03	42.1	.120	4.82	9.91	.4	.143	31.0	3.62	.0600	< 0.048	< 0.24	.140	9.0
55730	MK-04-03	38.3	.140	4.01	11.1	.5	.127	31.0	2.86	.0810	< 0.05	< 0.25	.255	10.6
55731	MK-04-03	38.8	.137	4.50	10.8	1.5	.118	31.0	3.27	.0470	< 0.04	< 0.2	.241	10.3
55732	MK-04-03	19.8	.299	9.91	23.5	19.0	.443	15.9	3.34	.0460	< 0.044	< 0.22	.314	4.7
55733	MK-04-03	30.7	.166	5.87	14.4	8.4	.162	27.2	1.65	.0400	< 0.046	< 0.23	.154	9.3
55734	MK-04-03	31.0	.158	6.71	13.6	9.4	.144	28.6	1.55	.231	< 0.039	< 0.19	.134	7.6
55735	MK-04-03	22.8	.290	10.7	17.2	17.5	.243	19.3	3.45	.0590	< 0.043	< 0.22	.110	6.2
55736	MK-04-03	32.9	.223	4.99	12.3	5.8	.136	27.2	5.38	.0390	< 0.04	< 0.2	.169	10.5

Laboratoire INRS-ETE

Type échantillon: Chromitites

Projet: Pro-Or

Date remise: 25-févr-05

Échantillon	Cr	Co	Cu	Ni	Zn	Sc	V	Ba	Sr	Zr
	ppm	ppm	ppm	ppm	ppm	ppm	ppm	ppm	ppm	ppm
55663	13663.	115.	292.	1210.	80.8	14.9	126.	12.3	12.9	< 23.2
55664	22332.	121.	310.	1276.	105.	14.2	162.	10.6	8.40	< 25
55665	100089.	192.	< 42.1	1302.	346.	15.0	572.	12.2	< 8.4	< 25.3
55666	63940.	140.	1782.	1647.	294.	17.3	427.	14.8	14.0	35.0
55667	141346.	208.	1271.	2202.	453.	16.7	847.	13.2	< 9.8	< 29.5
55668	22953.	147.	1199.	2107.	107.	14.1	173.	9.70	10.8	< 26.1
55669	135040.	207.	1148.	2183.	383.	15.0	859.	10.5	9.90	< 20.7
55670	10158.	152.	145.	1292.	110.	13.7	112.	11.6	10.3	< 29.8
55671	3575.	126.	154.	1110.	72.2	13.6	< 81.8	10.7	13.6	< 24.5
55679	2984.	131.	219.	1304.	46.7	10.9	< 103.1	< 10.3	26.4	< 30.9
55682	10423.	134.	147.	1442.	154.	13.4	104.	10.1	< 9.9	< 29.8
55683	10210.	157.	5382.	1374.	153.	32.5	114.	30.3	40.5	30.3
55684	6221.	104.5	256.	995.	165.	26.0	< 104.5	< 10.4	22.8	< 31.3
55685	4502.	118.	76.3	1464.	55.3	13.9	< 85.1	< 8.5	11.4	< 25.5
55686	4411.	131.	150.	1403.	92.7	13.7	< 95.1	17.5	14.4	< 28.5
55687	8874.	110.	201.	1358.	157.	13.7	< 95.4	11.0	19.8	121.
55689	73381.	170.	74.2	1593.	368.	13.4	357.	29.3	26.7	< 23.1
55690	123393.	212.	< 45.6	1683.	547.	15.4	535.	31.0	28.7	31.8
55691	18922.	124.	88.0	2493.	106.	14.4	139.	< 9.7	25.4	< 29.1
55692	32670.	148.	156.	1513.	151.	14.6	190.	< 8.9	13.9	< 26.6
55693	19241.	119.	324.	1203.	161.	14.4	151.	9.60	12.6	< 28.6
55694	4288.	136.	189.	1190.	50.6	13.3	< 100.8	11.8	15.6	< 30.2
55712	3309.	163.	89.2	1170.	157.	13.0	< 92.2	12.1	41.4	< 27.7
55713	12072.	109.	123.	1078.	268.	13.2	110.	< 9.3	< 9.3	< 27.9
55714	2777.	112.	83.2	1418.	77.3	13.0	< 95.1	< 9.5	12.6	< 28.5
55730	3696.	100.4	176.	1413.	102.	13.3	< 100.4	17.3	13.5	< 30.1
55731	10212.	122.	437.	1571.	84.6	13.8	< 79.4	10.1	14.8	26.9
55732	130252.	280.	571.	1955.	603.	10.3	581.	10.7	11.3	< 26.6
55733	57373.	138.	702.	1552.	222.	11.9	277.	10.3	< 9.3	< 27.9
55734	64347.	163.	253.	1408.	211.	13.8	313.	28.3	23.7	< 23.3
55735	119535.	180.	659.	1377.	329.	16.6	589.	12.6	11.3	< 26
55736	39617.	136.	960.	1336.	159.	13.2	245.	8.40	21.1	< 24.1

Laboratoire INRS-ETE																
Projet: Pro-Or				Type échantillons: Chromitites												
				Date remise: 25-févr-05												
Échantillon	Forage	SiO2	TiO2	Al2O3	Fe2O3T	Cr2O3	MnO	MgO	CaO	Na2O	K2O	P2O5	S	PAF		
		%	%	%	%		%	%	%	%	%	%	%	%		
55737	MK-04-03	35.2	.182	4.58	12.4	3.7	.147	28.9	3.20	.111	.0680	< 0.25	.228	10.4		
55738	MK-04-03	33.0	.219	5.56	14.0	6.6	.195	27.7	2.44	.0490	< 0.039	< 0.19	.136	9.0		
55739	MK-04-03	34.9	.163	5.17	11.5	4.2	.122	28.6	3.06	.0450	< 0.046	< 0.23	.156	10.0		
55740	MK-04-03	23.8	.271	9.61	19.1	17.0	.316	20.3	1.62	.0550	< 0.046	< 0.23	.0800	5.9		
55741	MK-04-03	34.7	.189	6.08	13.8	7.2	.176	25.0	3.01	.0520	< 0.039	< 0.2	.137	6.9		
55742	MK-04-03	44.8	.113	4.62	9.24	3.5	.123	25.0	6.83	.0800	< 0.049	< 0.25	.130	5.2		
55743	MK-04-03	33.1	.184	4.40	13.3	4.2	.145	27.1	5.39	.0810	< 0.039	< 0.2	.450	10.5		
55744	MK-04-03	19.1	.363	11.1	21.3	19.5	.384	18.6	1.71	.167	.120	< 0.19	.325	6.6		
55745	MK-04-03	34.1	.143	4.22	13.5	2.7	.163	29.1	3.65	.0640	< 0.038	< 0.19	.417	11.3		
55746	MK-04-03	37.5	.183	3.22	12.8	.6	.175	31.8	1.67	.0420	< 0.038	< 0.19	.158	10.5		
55764	MK-04-04	37.6	.154	3.76	10.5	.6	.137	31.0	3.83	.0450	< 0.046	< 0.23	.149	11.9		
55765	MK-04-04	38.4	.110	4.02	10.4	.8	.0966	31.8	2.97	.0390	< 0.047	< 0.24	.289	11.3		
55766	MK-04-04	25.7	.252	8.60	19.8	14.0	.382	21.4	2.11	.0530	< 0.043	< 0.21	.156	6.5		
55767	MK-04-04	32.4	.154	5.19	13.2	5.9	.161	29.2	2.94	.0630	.0500	< 0.23	.136	10.4		
55768	MK-04-04	31.6	.161	5.49	15.5	7.8	.158	29.0	.283	.0800	< 0.048	< 0.24	.196	9.6		
55769	MK-04-04	28.8	.210	7.18	15.5	11.4	.194	26.7	1.16	.0580	.0480	< 0.22	.100	8.9		
55770	MK-04-04	31.5	.160	6.20	13.9	8.8	.141	28.5	.855	.0400	< 0.048	< 0.24	.173	9.0		
55771	MK-04-04	19.2	.380	11.7	19.6	21.8	.289	17.4	3.58	.0390	< 0.037	< 0.19	.103	5.9		
55772	MK-04-04	33.6	.203	5.57	12.5	6.7	.130	27.3	3.69	.0480	< 0.046	< 0.23	.123	9.2		
55773	MK-04-04	37.1	.144	4.64	11.8	2.7	.108	31.4	1.64	.0510	< 0.044	< 0.22	.221	11.8		
55774	MK-04-04	35.1	.150	4.74	12.0	3.7	.139	29.4	3.38	.0590	.0500	< 0.23	.159	11.6		
55775	MK-04-04	27.5	.273	8.01	17.0	12.7	.285	24.4	1.76	.0530	.0630	< 0.23	.0580	9.2		
55776	MK-04-04	37.2	.142	4.09	11.7	1.7	.159	29.7	4.10	.0580	< 0.047	< 0.23	.148	11.7		
55777	MK-04-04	36.7	.132	4.76	12.1	2.5	.142	30.6	1.99	.0490	.0490	< 0.23	.164	10.6		
55778	MK-04-04	26.1	.264	8.81	16.5	14.2	.225	23.3	2.66	.0590	.0590	< 0.23	.0690	8.1		
55778R	MK-04-04	28.3	.278	8.81	16.2	13.7	.224	24.2	2.54	< 0.024	< 0.048	< 0.24	< 0.048	8.1		
55779	MK-04-04	35.8	.158	4.75	12.9	3.3	.134	28.7	3.21	.0630	.0540	< 0.22	.405	9.6		
55780	MK-04-04	19.2	.409	12.0	22.5	20.6	.382	17.2	3.51	.0590	< 0.042	< 0.21	.228	5.5		
55780	MK-04-04	18.7	.403	11.7	20.9	20.8	.365	17.1	3.53	.0690	.0480	< 0.21	.244	5.5		
55781	MK-04-04	34.6	.153	4.30	13.6	3.3	.158	29.2	2.02	.0620	.0500	< 0.23	.349	10.5		
55782	MK-04-04	21.6	.324	10.6	19.6	18.4	.327	19.1	3.50	.0750	< 0.045	< 0.23	.211	6.3		
55783	MK-04-04	36.2	.207	4.11	13.7	2.3	.172	31.0	1.65	.0630	.0510	< 0.23	.195	10.1		

Laboratoire INRS-ETE

Type échantillon Chromitites

Projet: Pro-Or

Date remise: 25-févr-05

Échantillon	Cr	Co	Cu	Ni	Zn	Sc	V	Ba	Sr	Zr
	ppm	ppm	ppm	ppm	ppm	ppm	ppm	ppm	ppm	ppm
55737	25410.	117.	75.4	1224.	132.	15.1	170.	17.1	15.0	< 29.8
55738	45015.	148.	390.	1365.	184.	14.6	251.	12.0	10.1	< 23.2
55739	28693.	115.	141.	1267.	137.	12.8	170.	15.3	11.9	29.2
55740	116208.	183.	117.	1497.	399.	12.8	583.	14.8	< 9.3	< 27.8
55741	49244.	131.	387.	1337.	219.	12.9	293.	8.20	< 7.9	< 23.6
55742	23893.	106.	286.	1390.	133.	13.6	153.	< 9.8	< 9.8	< 29.5
55743	28935.	146.	984.	2101.	127.	12.6	192.	10.2	20.2	< 23.6
55744	133621.	198.	1770.	2507.	442.	14.5	753.	9.20	8.60	< 23.1
55745	18176.	125.	475.	1221.	140.	13.7	145.	10.4	14.9	< 22.8
55746	3816.	184.	83.0	1243.	114.	14.7	81.4	8.30	8.10	< 22.7
55764	4028.	109.	231.	1437.	141.	13.4	< 92.9	< 9.3	< 9.3	< 27.9
55765	5135.	114.	424.	1599.	282.	13.9	< 94.7	< 9.5	< 9.5	< 28.4
55766	95836.	261.	136.	2633.	497.	14.8	461.	9.90	< 8.5	< 25.6
55767	40452.	140.	290.	1517.	227.	12.8	222.	12.1	< 9.3	< 28
55768	53494.	159.	755.	1988.	398.	12.9	276.	14.9	< 9.5	< 28.5
55769	77645.	160.	862.	1708.	841.	13.8	382.	8.80	< 8.7	< 26.1
55770	59982.	166.	915.	1778.	248.	13.2	293.	< 9.6	< 9.6	< 28.8
55771	149102.	216.	812.	1799.	553.	17.3	710.	8.70	7.90	< 22.4
55772	45855.	141.	882.	1439.	453.	14.9	267.	< 9.3	< 9.3	< 27.8
55773	18345.	102.	153.	1222.	203.	15.0	141.	9.10	< 8.7	< 26.1
55774	25503.	121.	232.	1338.	260.	13.9	156.	10.0	< 9.3	< 28
55775	86673.	188.	387.	1330.	436.	15.9	442.	11.9	< 9.3	< 28
55776	11787.	119.	179.	1197.	110.	15.4	102.	12.0	< 9.3	< 27.9
55777	17294.	115.	296.	1295.	109.	13.7	119.	12.3	< 9.1	< 27.3
55778	96792.	180.	528.	1304.	453.	15.1	513.	11.7	< 9.1	< 27.4
55778R	93405.	140.	479.	1581.	357.	15.6	442.	< 9.7	< 9.7	< 29
55779	22498.	165.	672.	1576.	158.	15.1	150.	11.5	< 8.8	< 26.3
55780	141226.	197.	1591.	2989.	546.	17.3	758.	12.8	10.1	< 25.4
55780	142523.	221.	1520.	2850.	556.	17.2	751.	12.8	8.90	< 25.4
55781	22602.	162.	1022.	1772.	327.	13.3	166.	10.2	< 9	< 27
55782	126187.	211.	1269.	2212.	457.	16.9	708.	13.6	< 9.1	< 27.2
55783	15954.	137.	442.	1691.	229.	14.4	151.	25.0	< 9.2	< 27.7

Laboratoire INRS-ETE														
Projet: Pro-Or														
		Type échantillons: Chromitites												
		Date remise: 25-févr-05												
Échantillon	Forage	SiO2	TiO2	Al2O3	Fe2O3T	Cr2O3	MnO	MgO	CaO	Na2O	K2O	P2O5	S	PAF
		%	%	%	%		%	%	%	%	%	%	%	%
55784	MK-04-04	37.5	.179	3.45	12.5	.8	.201	31.0	2.74	.0620	.0490	< 0.21	.109	10.8
55815	MK-04-04	37.0	.203	3.46	11.1	.5	.148	30.3	2.89	.044	< 0.042	< 0.21	.158	11.8
55816	MK-04-04	46.5	.142	4.49	7.4	.2	.105	25.8	7.93	.065	< 0.043	< 0.21	.106	7.4
55818	MK-04-04	39.7	.138	4.62	10.8	2.1	.136	26.2	5.34	.066	< 0.047	< 0.23	.240	10.6
55819	MK-04-04	30.6	.186	6.13	16.0	8.9	.249	26.0	2.54	.059	< 0.04	< 0.2	.105	9.5
55820	MK-04-04	29.8	.204	6.54	15.6	10.4	.223	25.1	1.30	.064	< 0.047	< 0.23	.097	8.6
55821	MK-04-04	32.8	.252	8.46	15.3	12.4	.188	24.9	1.91	.074	< 0.043	< 0.21	.134	5.9
55822	MK-04-04	28.8	.328	10.5	15.7	16.1	.259	20.2	4.54	.346	.0430	< 0.21	.137	4.0
55823	MK-04-04	40.7	.206	5.30	11.0	6.0	.133	24.7	5.98	.105	< 0.044	< 0.22	.119	5.5
55824	MK-04-04	44.9	.141	4.37	10.0	2.8	.118	25.0	6.75	.098	< 0.039	< 0.2	.131	5.9
55825	MK-04-04	47.8	.106	4.18	9.2	2.9	.143	22.9	9.31	.095	< 0.045	< 0.22	.093	4.1
55826	MK-04-04	29.7	.343	9.37	18.2	12.9	.418	18.1	4.94	.332	< 0.047	< 0.24	.159	4.2
55827	MK-04-04	22.5	.740	15.56	17.1	.3	.192	17.7	9.82	.045	< 0.045	< 0.22	.077	15.2
55828	MK-04-04	36.5	.157	6.45	10.4	3.1	.184	20.4	13.37	.090	< 0.039	< 0.2	.270	10.6
55829	MK-04-04	18.2	1.566	13.74	16.6	.1	.263	12.3	17.49	.057	< 0.048	< 0.24	.094	18.8
55830	MK-04-04	38.5	.150	7.24	8.8	1.9	.152	20.7	10.51	.096	< 0.048	< 0.24	.092	8.4
55830	MK-04-04	40.3	.195	8.01	9.46	2.0	.162	22.1	11.0	.327	.0600	< 0.22	.0860	8.3
55831	MK-04-04	20.5	.389	12.56	22.4	21.9	.786	14.7	3.44	.079	< 0.042	< 0.21	.067	3.8
55832	MK-04-04	33.9	.145	8.54	8.6	2.2	.147	20.5	12.51	.079	< 0.049	< 0.25	.097	11.6
55833	MK-04-04	22.4	.890	11.85	13.3	.1	.223	14.6	16.34	.131	.084	< 0.22	.085	17.5
55834	MK-04-04	20.1	.599	13.65	24.3	15.4	.564	18.0	.56	.085	< 0.047	< 0.23	.098	6.8
55835	MK-04-04	27.6	1.02	15.5	14.1	1.0	.126	23.0	4.56	.360	.0780	< 0.23	.288	10.8
55836	MK-04-04	17.8	.472	13.1	23.6	17.1	.496	16.5	1.23	.0490	< 0.045	< 0.23	.138	6.2
55837	MK-04-04	35.7	.173	5.23	14.1	5.3	.147	28.6	2.61	.0490	< 0.045	< 0.22	.488	8.8
55839	MK-04-04	31.5	.200	5.33	14.7	5.9	.203	27.7	2.61	.0520	< 0.039	< 0.2	.157	10.0
55840	MK-04-04	37.1	.158	3.53	12.7	.6	.175	31.8	2.43	.0530	< 0.048	< 0.24	.112	10.7
55842	MK-04-04	30.9	.0829	3.46	10.2	.5	.259	28.4	8.12	.0460	< 0.044	< 0.22	.214	16.3
55867	MK-04-05	38.9	.137	3.81	11.2	.5	.145	<u>31.2</u>	2.55	.0134	< 0.006	< 0.033	.127	12.2
55868	MK-04-05	38.4	.109	3.92	10.8	.8	.118	31.0	2.65	.0680	< 0.047	< 0.23	.151	12.3
55869	MK-04-05	32.2	.192	6.24	14.7	7.2	.233	26.9	1.27	.0750	< 0.049	< 0.25	.197	8.0
55869R	MK-04-05	33.1	.196	6.45	14.9	7.3	.237	26.5	1.01	.0390	< 0.049	< 0.25	.119	10.1
55870	MK-04-05	33.3	.161	5.48	14.0	6.7	.213	29.8	.637	.0990	.0460	< 0.22	.121	10.4

Laboratoire INRS-ETE

Type échantillon Chromitites

Projet: Pro-Or

Date remise: 25-févr-05

Échantillon	Cr	Co	Cu	Ni	Zn	Sc	V	Ba	Sr	Zr
	ppm	ppm	ppm	ppm	ppm	ppm	ppm	ppm	ppm	ppm
55784	5270.	141.	307.	1203.	261.	14.7	90.3	11.9	< 8.5	< 25.6
55815	3546.	110.	57.	1441.	104.	14.5	86.	12.4	19.4	< 25.4
55816	1244.	< 85.9	66.	596.	62.	11.1	< 85.9	10.1	19.1	67.4
55818	14298.	109.	235.	1377.	150.	12.3	103.	11.1	26.0	< 28
55819	60897.	159.	134.	1465.	400.	12.5	328.	13.6	19.4	< 23.9
55820	71016.	158.	103.	1452.	380.	13.6	377.	11.6	11.9	< 28.1
55821	84705.	164.	447.	1705.	291.	14.4	458.	9.3	< 8.6	< 25.7
55822	110201.	163.	461.	1564.	283.	18.0	530.	33.6	27.5	< 24.8
55823	40903.	110.	113.	1375.	203.	13.5	261.	9.3	8.9	< 26.6
55824	19437.	94.	212.	1018.	161.	13.2	138.	< 7.9	8.4	< 23.7
55825	19973.	93.	71.	916.	168.	13.2	128.	10.9	< 8.9	< 26.7
55826	88103.	205.	132.	2008.	484.	15.6	465.	41.9	31.9	< 28.4
55827	2078.	92.	81.	394.	140.	48.2	249.	12.7	116.7	74.4
55828	21179.	117.	194.	1294.	270.	14.9	185.	11.7	107.1	< 23.5
55829	575.	< 95.1	137.	250.	162.	57.6	254.	22.7	230.8	88.1
55830	12804.	97.	< 47.6	1504.	159.	14.8	151.	12.4	64.5	< 28.6
55830	14013.	105.	62.1	1615.	186.	15.5	152.	42.3	86.4	< 25.8
55831	149736.	217.	74.	2192.	766.	16.3	916.	16.2	15.9	< 25.3
55832	15140.	< 98.3	< 49.2	1521.	160.	15.7	158.	15.5	109.3	< 29.5
55833	945.	< 88	57.	346.	121.	41.7	218.	137.4	213.7	79.9
55834	105432.	204.	47.	859.	1481.	11.5	768.	13.3	< 9.4	33.4
55835	6505.	93.3	2115.	595.	127.	36.2	252.	41.8	83.1	85.2
55836	117269.	201.	573.	1581.	710.	18.8	821.	12.3	26.5	< 27.3
55837	36221.	135.	1108.	2122.	171.	14.3	252.	9.40	14.7	< 26.8
55839	40477.	141.	281.	1368.	222.	13.7	281.	9.00	27.6	< 23.5
55840	3772.	128.	143.	1150.	77.0	14.4	< 95.6	< 9.6	21.0	< 28.7
55842	3112.	117.	985.	950.	112.	11.8	< 87.9	12.8	241.	< 26.4
55867	3403.	108.	65.5	1386.	48.7	15.8	62.5	7.50	22.1	9.30
55868	5701.	112.	215.	1546.	102.	14.1	< 93.7	< 9.4	20.5	< 28.1
55869	49325.	171.	366.	2188.	344.	13.7	238.	12.0	< 9.9	56.3
55869R	49823.	152.	357.	2210.	280.	13.3	241.	< 9.9	< 9.9	55.2
55870	45669.	140.	478.	1798.	466.	11.3	230.	11.0	< 9	< 26.9

Laboratoire INRS-ETE

Type échantillons: Chromitites

Projet: Pro-Or

Date remise: 25-févr-05

Échantillon	Forage	SiO2	TiO2	Al2O3	Fe2O3T	Cr2O3	MnO	MgO	CaO	Na2O	K2O	P2O5	S	PAF
		%	%	%	%		%	%	%	%	%	%	%	%
55871	MK-04-05	32.1	.161	5.75	14.8	7.7	.206	28.7	1.11	.105	< 0.048	< 0.24	.105	9.9
55872	MK-04-05	28.7	.190	6.56	14.8	9.6	.204	27.2	1.26	.301	.0770	< 0.24	.149	8.8
55873	MK-04-05	30.8	.186	6.83	15.0	9.9	.193	27.3	1.21	.0980	< 0.047	< 0.24	.140	8.6
55874	MK-04-05	21.2	.391	12.1	19.6	20.9	.344	19.3	1.92	.0590	< 0.046	< 0.23	.0990	4.6
55875	MK-04-05	33.4	.206	5.93	13.2	6.6	.153	28.0	3.01	.0570	< 0.043	< 0.21	.132	10.4
55876	MK-04-05	36.1	.157	4.57	12.2	2.8	.117	29.3	3.10	.0500	< 0.044	< 0.22	.169	11.1
55877	MK-04-05	34.2	.174	4.61	13.0	4.2	.135	27.4	4.41	.0550	< 0.048	< 0.24	.222	11.7
55878	MK-04-05	26.2	.246	5.35	9.47	2.4	.130	21.8	15.0	.0380	< 0.047	< 0.23	.130	19.2
55879	MK-04-05	36.8	.212	5.46	8.35	2.0	.104	25.6	7.52	.0710	< 0.045	< 0.22	.0830	13.4
55880	MK-04-05	18.8	.128	3.28	5.84	1.0	.205	20.1	21.8	.0510	< 0.046	< 0.23	.142	28.3
55881	MK-04-05	28.9	.276	8.20	17.6	10.1	.244	23.1	1.98	.0560	< 0.043	< 0.21	.227	8.1
55882	MK-04-05	38.4	.189	4.76	10.4	2.2	.0957	27.7	2.87	.329	.0600	< 0.25	.280	9.4
55882	MK-04-05	38.6	.188	4.81	10.6	2.2	.0970	28.5	2.90	.555	.152	< 0.25	.278	9.4
55883	MK-04-05	20.9	.398	10.2	23.1	17.9	.400	18.0	1.86	.0610	< 0.049	< 0.24	.203	6.3
55884	MK-04-05	43.2	.194	4.64	10.9	2.7	.0893	26.5	2.86	.0680	< 0.046	< 0.23	.691	7.9
55885	MK-04-05	38.2	.191	6.35	14.3	5.8	.162	25.8	2.41	.0450	< 0.046	< 0.23	.155	9.1
55924	MK-04-05	38.7	.117	3.75	12.3	.6	.165	31.3	2.92	< 0.022	< 0.044	< 0.22	< 0.044	11.0
55925	MK-04-05	38.6	.121	3.93	11.3	.8	.123	30.8	2.97	< 0.021	< 0.042	< 0.21	.210	10.7
55926	MK-04-05	23.5	.349	9.68	24.1	17.9	.467	19.0	1.42	.0530	< 0.047	< 0.23	< 0.047	5.0
55927	MK-04-05	33.4	.174	5.66	14.3	7.7	.162	29.2	.591	.0410	< 0.046	< 0.23	.0510	9.1
55928	MK-04-05	29.0	.271	7.46	16.2	12.3	.191	25.4	1.15	.0290	< 0.046	< 0.23	< 0.046	8.2
55929	MK-04-05	18.0	.369	13.0	21.2	23.7	.315	18.6	.796	< 0.022	< 0.044	< 0.22	< 0.044	5.6
55930	MK-04-05	31.7	.243	6.49	13.0	8.1	.141	26.9	2.28	.0270	< 0.046	< 0.23	.0830	9.6
55931	MK-04-05	34.6	.146	4.47	11.3	2.8	.115	28.4	3.54	.0790	< 0.048	< 0.24	.395	11.3
55932	MK-04-05	34.9	.184	5.06	12.8	4.4	.158	29.6	1.69	.0520	< 0.047	< 0.23	.218	9.8
55933	MK-04-05	25.6	.290	8.41	17.7	13.3	.313	22.7	2.67	.0760	< 0.043	< 0.21	.0850	8.0
55934	MK-04-05	37.2	.137	4.61	12.0	2.1	.135	31.5	1.97	.0640	< 0.047	< 0.23	.208	11.7
55935	MK-04-05	34.8	.136	4.28	10.9	2.7	.119	28.1	4.65	.0760	< 0.048	< 0.24	.286	11.5
55936	MK-04-05	26.9	.271	9.64	17.7	15.0	.269	23.0	1.69	.0730	< 0.047	< 0.24	.0760	6.4
55937	MK-04-05	35.7	.275	5.69	14.2	5.6	.143	28.7	1.49	.0520	< 0.045	< 0.22	.384	8.6
55938	MK-04-05	28.9	.349	9.05	18.5	11.2	.251	20.9	3.71	.0730	< 0.047	< 0.23	.369	6.6
55939	MK-04-05	33.9	.288	7.05	14.6	7.5	.195	22.8	4.71	.0760	< 0.045	< 0.23	.221	6.6
55940	MK-04-05	36.7	.184	4.99	12.9	3.5	.122	26.6	3.35	.109	< 0.043	< 0.21	.712	8.6

Laboratoire INRS-ETE

Type échantillon: Chromitites

Projet: Pro-Or

Date remise: 25-févr-05

Échantillon	Cr	Co	Cu	Ni	Zn	Sc	V	Ba	Sr	Zr
	ppm	ppm	ppm	ppm	ppm	ppm	ppm	ppm	ppm	ppm
55871	52933.	145.	163.	1657.	333.	11.6	266.	9.90	< 9.7	< 29.1
55872	65552.	197.	201.	1578.	343.	13.3	319.	46.3	39.2	< 28.9
55873	67859.	160.	1351.	1965.	731.	13.2	342.	11.0	< 9.5	< 28.4
55874	143126.	211.	287.	1676.	414.	17.9	675.	< 9.3	< 9.3	< 27.8
55875	45077.	123.	879.	1544.	274.	14.5	264.	< 8.5	22.8	< 25.6
55876	19229.	130.	443.	1522.	158.	14.1	131.	< 8.8	25.1	< 26.5
55877	28655.	133.	324.	1417.	236.	13.7	196.	< 9.6	32.9	< 28.8
55878	16598.	< 93.7	257.	927.	178.	13.3	128.	< 9.4	102.	< 28.1
55879	13955.	< 90	979.	562.	334.	9.80	113.	< 9	74.0	91.0
55880	6931.	< 92.1	1073.	654.	140.	8.90	< 92.1	< 9.2	318.	< 27.6
55881	69044.	161.	530.	1827.	348.	15.4	398.	< 8.5	22.4	< 25.6
55882	15071.	113.	671.	1582.	113.	16.3	107.	43.8	58.1	< 29.8
55882	15235.	103.	672.	1623.	112.	15.9	110.	33.9	59.1	< 29.8
55883	122466.	214.	219.	1992.	488.	14.3	689.	< 9.7	16.3	< 29.1
55884	18129.	104.	1821.	1375.	356.	13.5	139.	< 9.2	32.4	< 27.7
55885	39691.	120.	635.	1335.	531.	14.6	246.	< 9.1	23.3	< 27.4
55924	3999.	101.	256.	1396.	165.	13.6	< 87.9	< 8.8	14.6	< 26.4
55925	5331.	109.	794.	1341.	< 25.3	13.8	< 84.5	< 8.4	17.3	< 25.3
55926	122094.	275.	277.	1986.	620.	14.0	542.	< 9.3	< 9.3	< 28
55927	52397.	158.	348.	1657.	221.	13.4	254.	< 9.3	< 9.3	< 27.8
55928	84093.	142.	278.	1604.	324.	12.5	385.	< 9.3	< 9.3	< 27.8
55929	162085.	203.	54.7	1686.	345.	17.0	701.	< 8.8	< 8.8	< 26.5
55930	55593.	132.	880.	1460.	250.	14.0	306.	< 9.3	11.1	< 27.9
55931	19154.	118.	262.	1540.	89.2	13.0	129.	10.4	17.6	< 28.5
55932	30300.	139.	377.	1500.	101.	12.8	171.	12.3	13.4	< 28.1
55933	91187.	185.	177.	1549.	324.	14.2	473.	10.1	10.5	< 25.6
55934	14188.	148.	251.	1365.	78.7	13.9	109.	10.6	16.7	< 27.9
55935	18255.	106.	811.	1294.	116.	12.7	109.	12.8	29.3	< 28.6
55936	102508.	182.	73.5	1539.	321.	13.9	513.	11.7	< 9.4	< 28.2
55937	38533.	191.	1500.	3020.	131.	14.0	257.	9.70	< 8.9	< 26.8
55938	76453.	233.	137.	2557.	335.	15.2	420.	12.6	34.0	30.6
55939	51367.	132.	268.	1552.	269.	15.4	298.	10.5	20.4	34.6
55940	23842.	157.	625.	2195.	101.	13.9	177.	10.9	17.7	< 25.7

Laboratoire INRS-ETE

Type échantillons: Chromitites

Projet: Pro-Or

Date remise: 25-févr-05

Échantillon	Forage	SiO2 %	TiO2 %	Al2O3 %	Fe2O3T %	Cr2O3	MnO %	MgO %	CaO %	Na2O %	K2O %	P2O5 %	S %	PAF %
55941	MK-04-05	40.4	.197	4.65	10.4	2.6	.0987	27.7	5.04	.115	< 0.043	< 0.21	.267	8.5
55942	MK-04-05	37.0	.166	4.69	12.2	3.4	.111	27.8	3.67	.105	< 0.044	< 0.22	.266	9.9
55943	MK-04-05	30.3	.226	5.60	14.7	6.8	.178	23.7	6.47	.0610	< 0.047	< 0.24	.166	12.9
55944	MK-04-05	33.9	.843	5.31	12.6	5.1	.155	26.8	4.90	.0540	< 0.042	< 0.21	.191	10.4
55945	MK-04-05	16.8	.469	12.1	26.2	22.6	.437	16.8	.783	.0480	< 0.043	< 0.21	.114	5.5
55946	MK-04-05	31.8	.295	5.86	15.6	7.5	.186	26.8	2.48	.0660	< 0.05	< 0.25	.225	10.3
55947	MK-04-05	36.6	.131	3.90	12.7	1.2	.126	32.5	1.87	.300	.0500	< 0.22	.203	10.9
55948	MK-04-05	35.9	.125	3.12	11.4	.6	.139	29.0	3.91	.314	.0680	< 0.24	.183	11.4
55948	MK-04-05	34.8	.124	3.14	11.5	.6	.141	29.8	3.89	.473	.125	< 0.24	.197	11.4
55949	MK-04-05	36.4	.0968	3.31	12.1	.5	.136	30.3	1.90	.0700	< 0.049	< 0.24	.125	10.9
55949	MK-04-05	34.0	.104	3.49	12.1	.5	.138	30.7	1.89	.416	.0980	< 0.23	.181	11.3
55950	MK-04-05	37.1	.0997	3.51	11.9	.6	.149	30.3	2.13	.0700	< 0.051	< 0.26	.149	11.2
56017	MK-04-06	38.6	.0889	3.17	11.2	.5	.147	30.1	3.01	.0560	.0480	< 0.24	.231	12.5
56018	MK-04-06	36.4	.0847	3.59	11.4	.5	.125	30.2	3.02	.0710	.0510	< 0.23	.290	12.8
56019	MK-04-06	33.9	.137	5.31	13.1	5.3	.149	29.1	1.65	.0610	.0540	< 0.22	.155	9.7
56020	MK-04-06	29.4	.206	6.75	15.8	10.7	.182	27.0	.573	.0540	.0570	< 0.22	.116	9.7
56020R	MK-04-06	30.0	.210	6.97	15.9	10.7	.187	26.6	.348	< 0.022	< 0.043	< 0.22	< 0.043	9.7
56021	MK-04-06	30.0	.203	6.64	13.3	9.9	.167	26.0	2.55	.0660	.0560	< 0.22	.115	10.2
56022	MK-04-06	17.3	.389	12.4	21.4	21.8	.358	18.6	.756	.0600	< 0.044	< 0.22	.0520	7.3
56023	MK-04-06	34.8	.192	5.30	12.4	5.5	.133	28.3	2.12	.0680	.0590	< 0.23	.109	10.3
56024	MK-04-06	37.0	.175	5.00	12.5	3.6	.130	29.1	2.36	.0840	.0470	< 0.23	.170	10.5
56025	MK-04-06	32.7	.136	4.49	11.0	3.0	.140	28.2	4.98	.0510	.0520	< 0.23	.144	13.6
56026	MK-04-06	25.5	.346	8.39	20.2	14.4	.323	21.6	1.64	.0600	.0560	< 0.22	.0770	6.7
56027	MK-04-06	36.5	.141	4.46	12.0	2.4	.128	29.9	2.40	.0620	.0560	< 0.22	.206	10.8
56028	MK-04-06	37.6	.169	4.17	11.2	2.3	.110	29.9	2.56	.0590	.0570	< 0.22	.190	10.6
56029	MK-04-06	27.9	.260	8.19	15.6	12.5	.221	23.4	1.86	.0850	.0650	< 0.24	.110	7.0
56030	MK-04-06	44.9	.149	4.44	9.49	2.3	.0854	26.2	4.93	.0690	.0560	< 0.22	.347	6.5
56031	MK-04-06	23.2	.299	12.2	20.0	16.4	.369	19.8	1.33	.0580	.0630	< 0.22	.103	5.6
56032	MK-04-06	34.2	.334	11.7	12.4	3.7	.128	25.8	2.98	.0980	.0620	< 0.24	.0730	8.5
56033	MK-04-06	45.5	.0711	5.61	8.55	.5	.111	24.2	7.33	.0800	< 0.043	< 0.21	.148	5.8
56034	MK-04-06	43.4	.0994	3.83	10.3	.5	.100	27.8	2.98	.0790	.0570	< 0.22	.365	8.0
56035	MK-04-06	40.5	.0940	4.10	10.9	.7	.107	31.6	1.70	.0690	.0630	< 0.23	.298	11.6

Laboratoire INRS-ETE

Type échantillon: Chromitites

Projet: Pro-Or

Date remise: 25-févr-05

Échantillon	Cr	Co	Cu	Ni	Zn	Sc	V	Ba	Sr	Zr
	ppm	ppm	ppm	ppm	ppm	ppm	ppm	ppm	ppm	ppm
55941	17448.	135.	563.	6381.	114.	14.4	136.	11.2	28.9	33.8
55942	23035.	114.	656.	1504.	188.	13.0	168.	11.4	22.4	< 26.4
55943	46364.	156.	305.	1438.	219.	10.6	264.	10.4	77.8	< 28.5
55944	35206.	135.	817.	1728.	175.	14.5	218.	9.10	42.6	< 25.1
55945	154652.	272.	171.	2276.	542.	12.1	836.	11.9	16.5	< 25.5
55946	51315.	196.	1308.	1888.	312.	12.5	312.	11.1	29.2	< 30
55947	8376.	121.	230.	1231.	136.	13.4	< 87.4	41.1	43.3	< 26.2
55948	4205.	126.	620.	1090.	67.8	11.8	< 95.9	42.2	54.4	< 28.8
55948	4256.	101.	629.	1134.	60.9	10.9	< 95.9	28.9	55.0	< 28.8
55949	3321.	117.	236.	1047.	163.	12.9	< 97.3	< 9.7	19.4	< 29.2
55949	3713.	109.	152.	1158.	61.8	11.3	< 93.3	34.8	58.7	30.3
55950	3845.	121.	148.	1174.	65.6	13.2	< 103	11.0	22.5	< 30.9
56017	3373.	137.	215.	1429.	127.	11.2	< 94.1	12.2	32.1	< 28.2
56018	3631.	138.	156.	1389.	107.	12.2	< 92.4	14.1	31.3	< 27.7
56019	36048.	165.	683.	1915.	375.	13.6	196.	10.7	13.6	< 26.8
56020	72955.	170.	320.	1406.	260.	13.6	364.	15.8	< 9	33.8
56020R	73311.	162.	345.	1670.	200.	12.7	337.	< 8.6	< 8.6	< 25.9
56021	67945.	174.	713.	1902.	298.	14.0	343.	13.1	22.0	< 26.1
56022	149255.	225.	380.	1579.	566.	16.4	689.	13.3	< 8.7	< 26.2
56023	37668.	140.	255.	1540.	178.	15.9	227.	12.3	12.1	< 27
56024	24709.	122.	724.	1303.	193.	15.0	156.	14.7	19.3	< 27.2
56025	20814.	137.	505.	1199.	233.	13.8	124.	12.0	67.6	< 27.7
56026	98834.	208.	< 44.8	1535.	358.	16.7	501.	12.2	< 9	< 26.9
56027	16242.	145.	250.	1280.	270.	15.2	130.	12.2	24.1	< 26.5
56028	15629.	133.	739.	1333.	290.	14.4	118.	12.1	27.0	< 26.4
56029	85503.	186.	555.	1665.	558.	15.3	430.	15.6	10.5	< 28.4
56030	16000.	146.	760.	1749.	141.	15.5	118.	11.8	27.0	< 26.4
56031	111913.	178.	312.	2336.	580.	17.4	585.	15.7	< 8.8	< 26.3
56032	25316.	118.	203.	1304.	132.	20.3	227.	24.7	12.8	49.4
56033	3694.	< 85.9	204.	904.	72.2	10.5	< 85.9	< 8.6	26.2	< 25.8
56034	3724.	130.	247.	1400.	99.4	11.1	< 89	13.6	19.6	< 26.7
56035	4581.	152.	177.	1657.	81.7	12.9	< 91.5	12.9	46.2	< 27.5

Laboratoire INRS-ETE														
Projet: Pro-Or		Type échantillons: Chromitites												
		Date remise: 25-févr-05												
Échantillon	Forage	SiO2	TiO2	Al2O3	Fe2O3T	Cr2O3	MnO	MgO	CaO	Na2O	K2O	P2O5	S	PAF
		%	%	%	%		%	%	%	%	%	%	%	%
56036	MK-04-06	32.0	.182	5.94	15.4	8.2	.234	25.8	1.98	.112	.0780	< 0.22	.120	9.5
56037	MK-04-06	33.0	.161	5.94	16.7	8.6	.236	25.7	1.72	.0320	< 0.046	< 0.23	.0600	9.1
56038	MK-04-06	45.3	.101	3.59	9.74	1.7	.0990	26.9	3.92	.0830	< 0.045	< 0.22	.456	7.0
56039	MK-04-06	40.1	.142	4.88	13.0	5.7	.181	24.3	4.10	.0480	< 0.043	< 0.22	.0520	6.6
56040	MK-04-06	47.7	.0899	3.92	8.84	1.1	.0936	26.4	5.63	.0960	< 0.045	< 0.23	.287	6.2
56041	MK-04-06	30.0	.236	8.79	20.1	13.0	.327	21.3	2.10	.0390	< 0.047	< 0.23	< 0.047	5.5
56042	MK-04-06	44.9	.146	4.51	9.22	2.3	.112	25.7	6.36	.339	< 0.048	< 0.24	.305	5.7
56042	MK-04-06	48.9	.142	4.46	9.02	1.8	.104	26.4	6.19	.0570	< 0.049	< 0.24	.157	5.7
56043	MK-04-06	40.8	.260	6.29	12.3	4.2	.160	24.5	5.45	.100	< 0.047	< 0.23	.147	6.1
56043	MK-04-06	41.4	.261	6.44	12.2	4.2	.159	24.5	5.18	.0800	< 0.047	< 0.23	< 0.047	6.1
56044	MK-04-06	49.9	.0908	3.56	6.28	1.2	.0882	24.5	7.79	.0510	< 0.046	< 0.23	< 0.046	5.4
56045	MK-04-06	51.2	.112	3.07	5.87	.6	.0741	25.0	7.27	.0460	< 0.045	< 0.22	.0810	5.2
56046	MK-04-06	31.6	.234	7.22	19.8	11.4	.293	20.4	2.36	.0480	< 0.047	< 0.23	.182	5.4
56047	MK-04-06	50.0	.110	3.62	7.06	.9	.0743	27.2	5.47	.0360	< 0.042	< 0.21	< 0.042	6.3
56048	MK-04-06	28.2	.245	8.44	18.4	13.2	.310	21.5	2.54	.331	.0440	< 0.18	.120	5.9
56049	MK-04-06	39.2	.200	6.52	12.6	7.5	.196	23.3	4.33	.0490	< 0.047	< 0.24	< 0.047	6.2
56050	MK-04-06	22.9	.354	10.4	21.8	17.7	.425	17.8	1.82	.0430	< 0.042	< 0.21	< 0.042	5.7
56051	MK-04-06	45.3	.137	4.75	10.1	3.2	.108	25.0	3.93	.0590	< 0.045	< 0.23	.139	5.9
56052	MK-04-06	43.4	.153	4.88	10.8	3.4	.113	26.0	2.87	.0320	< 0.045	< 0.23	.0910	8.5
56053	MK-04-06	20.1	.310	9.30	24.4	18.0	.430	15.3	3.43	< 0.021	< 0.042	< 0.21	.0830	6.9
56054	MK-04-06	37.1	.221	5.31	13.2	4.4	.154	24.9	5.60	< 0.023	< 0.046	< 0.23	.108	10.7
56055	MK-04-06	37.9	.133	4.51	9.85	3.3	.134	24.7	8.10	.0380	< 0.047	< 0.24	.112	13.4
56056	MK-04-06	27.2	.255	9.34	20.7	16.0	.345	19.5	1.23	.0200	< 0.037	< 0.18	< 0.037	6.5
56057	MK-04-06	27.5	.306	9.27	19.4	15.1	.335	21.2	1.53	< 0.023	< 0.046	< 0.23	< 0.046	6.4
56058	MK-04-06	30.9	.296	6.98	17.5	10.1	.252	24.0	2.64	.0650	< 0.046	< 0.23	< 0.046	7.8
56059	MK-04-06	37.2	.158	5.20	12.6	3.7	.129	28.0	2.84	.0380	< 0.046	< 0.23	.0550	9.9
56060	MK-04-06	37.0	.149	4.72	11.9	2.9	.107	28.2	3.71	.0300	< 0.045	< 0.23	.327	10.2
56061	MK-04-06	20.5	.354	10.7	21.8	18.3	.339	17.7	3.15	.0240	< 0.043	< 0.22	.0830	6.8
56062	MK-04-06	34.3	.176	3.98	9.75	2.5	.136	25.2	9.54	.291	.0520	< 0.2	.225	12.7
56063	MK-04-06	21.4	.367	10.4	22.0	17.9	.390	17.7	4.09	.413	.0590	< 0.23	.223	6.5
56063	MK-04-06	21.7	.331	9.97	20.3	16.1	.355	17.3	3.64	.0690	< 0.047	< 0.24	.0540	6.5
56064	MK-04-06	42.7	.147	4.42	12.5	2.7	.138	28.2	2.89	.0340	< 0.046	< 0.23	< 0.046	7.9
56065	MK-04-06	42.4	.150	5.21	12.7	4.1	.187	25.7	4.18	.0730	< 0.046	< 0.23	.149	6.8

Laboratoire INRS-ETE

Type échantillon: Chromitites

Projet: Pro-Or

Date remise: 25-févr-05

Échantillon	Cr	Co	Cu	Ni	Zn	Sc	V	Ba	Sr	Zr
	ppm	ppm	ppm	ppm	ppm	ppm	ppm	ppm	ppm	ppm
56036	56357.	184.	217.	1628.	399.	12.2	281.	19.3	39.3	< 25.9
56037	58645.	159.	909.	1290.	463.	10.7	303.	< 9.1	42.5	< 27.4
56038	11820.	134.	2697.	1824.	89.4	10.4	< 89.5	< 8.9	23.4	< 26.8
56039	39240.	144.	541.	1268.	347.	11.4	219.	< 8.7	29.7	< 26.1
56040	7697.	95.1	1144.	1280.	69.2	11.4	< 90.6	< 9.1	26.6	< 27.2
56041	89053.	182.	358.	1425.	483.	11.7	435.	< 9.3	12.1	< 27.9
56042	15719.	132.	263.	1506.	117.	13.7	96.9	44.6	45.8	< 28.5
56042	12496.	100.	407.	1517.	38.9	13.7	< 97.1	< 9.7	20.3	< 29.1
56043	29049.	128.	333.	1254.	361.	15.3	167.	< 9.3	29.7	< 28
56043	28854.	102.	336.	1221.	300.	15.1	179.	< 9.3	30.0	< 28
56044	8104.	< 91.7	121.	1158.	54.2	10.8	< 91.7	< 9.2	26.1	< 27.5
56045	4360.	101.	470.	1193.	< 26.8	10.9	< 89.4	< 8.9	21.6	< 26.8
56046	78200.	217.	247.	1783.	536.	8.30	391.	< 9.4	10.1	< 28.1
56047	5851.	< 84.8	491.	1337.	< 25.4	12.2	< 84.8	< 8.5	19.5	< 25.4
56048	90390.	185.	78.3	1400.	420.	13.4	438.	44.2	41.9	< 21.8
56049	51369.	110.	430.	1101.	345.	13.1	264.	< 9.5	20.4	< 28.4
56050	120820.	172.	53.1	1313.	495.	12.6	600.	< 8.3	12.6	< 25
56051	21624.	< 90.3	231.	1142.	79.9	14.2	128.	< 9	16.8	< 27.1
56052	23393.	106.	198.	1347.	91.6	14.4	152.	< 9.1	49.7	< 27.2
56053	122886.	212.	98.2	1135.	678.	9.90	568.	< 8.3	52.2	< 24.9
56054	30338.	104.	333.	1241.	258.	11.6	191.	< 9.2	88.3	< 27.5
56055	22399.	< 94.7	740.	1064.	262.	11.2	127.	< 9.5	114.	< 28.4
56056	109300.	168.	218.	1054.	627.	12.7	542.	< 7.3	37.1	< 22
56057	103518.	166.	< 45.6	1284.	575.	14.4	508.	< 9.1	20.9	< 27.4
56058	69197.	143.	231.	1613.	429.	14.9	381.	< 9.2	16.2	< 27.6
56059	25485.	120.	277.	1588.	108.	14.9	167.	< 9.1	25.9	< 27.4
56060	20062.	124.	719.	1961.	70.8	14.0	137.	< 9.1	40.7	< 27.2
56061	125432.	202.	494.	2277.	418.	14.6	647.	< 8.7	30.3	< 26
56062	17321.	109.	415.	1379.	121.	14.7	130.	41.5	104.	< 24.1
56063	122260.	234.	102.	2199.	452.	14.7	625.	65.6	59.7	< 28
56063	109874.	177.	167.	2043.	384.	14.5	591.	< 9.5	26.0	< 28.4
56064	18182.	< 92.8	679.	1215.	207.	13.7	138.	< 9.3	10.4	< 27.8
56065	27813.	135.	919.	1712.	138.	13.2	180.	< 9.3	15.7	< 27.8

Laboratoire INRS-ETE

Type échantillons: Chromitites

Projet: Pro-Or

Date remise: 25-févr-05

Échantillon	Forage	SiO2 %	TiO2 %	Al2O3 %	Fe2O3T %	Cr2O3	MnO %	MgO %	CaO %	Na2O %	K2O %	P2O5 %	S %	PAF %
56066	MK-04-06	31.9	.166	4.42	14.1	4.4	.291	23.1	7.60	.0440	< 0.043	< 0.22	.120	11.9
56067	MK-04-06	36.2	.634	12.4	12.2	.3	.153	26.9	3.03	.0530	< 0.043	.420	< 0.043	9.5
56068	MK-04-06	46.2	.135	4.63	12.5	.4	.111	29.5	.828	.0380	< 0.044	< 0.22	.0690	8.1
56069	MK-04-06	36.8	.120	2.91	12.7	.4	.191	29.4	4.24	< 0.022	< 0.044	< 0.22	< 0.044	13.0
56070	MK-04-06	36.1	.166	2.53	11.2	.4	.191	26.7	6.94	.0290	< 0.044	< 0.22	.0790	13.6
56071	MK-04-06	39.5	.500	8.81	12.6	.3	.147	25.9	5.29	.352	.0470	.300	.158	7.2
56072	MK-04-06	42.2	.186	5.27	12.3	2.3	.128	28.5	1.60	.0500	< 0.046	< 0.23	.0820	8.3
56073	MK-04-06	29.6	.270	7.60	18.9	11.6	.306	22.9	2.14	.0320	< 0.047	< 0.24	.0680	7.2
56074	MK-04-06	36.2	.138	4.80	12.4	3.2	.111	27.0	3.77	.0380	< 0.047	< 0.24	.263	9.9
56075	MK-04-06	22.1	.356	11.0	20.7	17.8	.335	19.5	1.62	< 0.024	< 0.047	< 0.24	.0830	6.5
56076	MK-04-06	32.0	.183	3.82	12.7	3.0	.154	26.7	6.10	< 0.022	< 0.044	< 0.22	.334	15.1
56077	MK-04-06	35.4	.192	4.77	14.8	3.4	.131	29.4	1.60	.0260	< 0.045	< 0.23	.366	10.2
56078	MK-04-06	29.1	.304	8.53	16.5	12.3	.272	23.1	2.97	.330	.0460	< 0.23	.299	6.6
56079	MK-04-06	37.5	.130	3.83	13.9	1.8	.143	29.1	2.42	.0280	< 0.041	< 0.21	.729	10.1
56080	MK-04-06	39.5	.119	3.37	13.1	.6	.143	29.9	2.51	< 0.024	< 0.047	< 0.24	.111	10.8
56121	MK-04-07	48.9	.134	4.57	10.6	.3	.143	24.7	5.45	.0730	< 0.047	< 0.23	.523	5.6
56131	MK-04-07	38.4	.105	3.79	10.9	.6	.167	31.9	2.92	.0540	< 0.046	< 0.23	.139	12.1
56132	MK-04-07	38.2	.0688	3.94	10.3	.9	.134	30.8	3.20	.0600	< 0.042	< 0.21	.196	12.0
56133	MK-04-07	31.7	.198	6.17	15.1	8.2	.205	27.7	1.33	.0650	< 0.046	< 0.23	.0910	9.3
56134	MK-04-07	33.0	.164	5.65	13.9	7.4	.156	30.0	.538	.0460	< 0.041	< 0.2	.0750	9.5
56135	MK-04-07	30.4	.204	6.85	15.5	9.8	.185	28.0	1.04	.0500	< 0.044	< 0.22	.0750	9.0
56136	MK-04-07	30.0	.193	6.81	13.9	9.5	.148	26.2	2.14	.0470	< 0.045	< 0.22	.142	9.1
56137	MK-04-07	21.3	.376	12.3	19.2	21.1	.281	20.2	1.53	.0790	< 0.036	< 0.18	.0540	5.8
56138	MK-04-07	31.2	.236	6.02	14.0	7.5	.160	26.9	2.43	.0710	< 0.042	< 0.21	.117	9.6
56139	MK-04-07	35.4	.156	4.28	11.4	2.4	.137	30.2	3.70	.0720	< 0.045	< 0.23	.142	12.3
56140	MK-04-07	34.6	.154	5.20	13.1	4.6	.194	28.8	2.80	.0640	< 0.046	< 0.23	.128	10.6
56141	MK-04-07	37.2	.152	5.37	11.6	3.8	.155	29.3	2.52	.0420	< 0.044	< 0.22	.0910	10.9
56142	MK-04-07	36.1	.159	4.79	11.9	3.5	.139	30.3	2.52	.0530	< 0.042	< 0.21	.100	11.3
56143	MK-04-07	28.4	.260	8.60	17.2	13.5	.326	24.1	1.40	.0820	< 0.038	< 0.19	.0770	6.9
56144	MK-04-07	36.4	.160	4.83	12.7	3.0	.168	30.5	2.49	.0750	< 0.041	< 0.21	.158	11.0
56145	MK-04-07	41.6	.130	4.65	10.9	1.8	.135	28.8	2.33	.0750	< 0.049	< 0.25	.247	8.8
56146	MK-04-07	39.8	.128	8.04	10.7	1.9	.110	27.6	2.20	.0550	< 0.045	< 0.23	.201	8.0

Laboratoire INRS-ETE

Type échantillon: Chromitites

Projet: Pro-Or

Date remise: 25-févr-05

Échantillon	Cr	Co	Cu	Ni	Zn	Sc	V	Ba	Sr	Zr
	ppm	ppm	ppm	ppm	ppm	ppm	ppm	ppm	ppm	ppm
56066	29993.	110.	144.	1290.	229.	10.7	186.	< 8.6	169.	< 25.9
56067	2301.	< 86.1	339.	786.	< 25.8	25.8	148.	< 8.6	37.4	104.
56068	2789.	114.	91.0	1182.	< 26.5	11.8	< 88.3	< 8.8	< 8.8	< 26.5
56069	2693.	115.	99.2	1200.	56.7	12.2	< 87.2	< 8.7	113.	< 26.2
56070	2816.	106.	178.	1053.	68.1	11.4	< 87.1	< 8.7	147.	< 26.1
56071	2211.	94.4	169.	938.	92.7	24.8	134.	41.8	70.2	69.4
56072	15532.	104.	596.	2407.	115.	13.6	128.	< 9.2	14.3	< 27.6
56073	79339.	182.	831.	1739.	386.	13.6	409.	< 9.4	17.9	< 28.3
56074	21609.	175.	806.	2288.	98.7	13.6	147.	< 9.4	44.1	< 28.2
56075	121453.	182.	647.	2201.	426.	15.0	624.	< 9.5	16.4	< 28.5
56076	20234.	159.	2212.	3451.	186.	12.2	132.	< 8.8	167.	< 26.4
56077	23429.	147.	1526.	1869.	105.	12.5	166.	< 9.1	25.8	< 27.3
56078	84009.	192.	757.	2662.	309.	15.2	473.	48.5	39.5	< 27.3
56079	12613.	141.	6957.	1570.	91.6	12.0	109.	< 8.2	35.8	< 24.6
56080	4107.	122.	339.	1208.	46.4	13.3	< 94.6	< 9.5	41.9	< 28.4
56121	2256.	112.	75.7	868.	97.7	15.1	< 93.1	9.40	12.4	< 27.9
56131	4402.	113.	152.	1274.	94.3	12.2	< 91.1	14.1	45.6	< 27.3
56132	6301.	120.	208.	1498.	62.2	12.2	< 84.6	29.1	51.1	< 25.4
56133	56334.	162.	126.	1509.	348.	11.6	282.	12.0	14.2	< 27.5
56134	50729.	144.	263.	1390.	261.	12.8	268.	13.1	11.4	< 24.3
56135	67362.	159.	234.	1518.	339.	13.0	353.	10.6	16.1	< 26.4
56136	65088.	162.	737.	1475.	266.	13.2	344.	9.70	35.6	< 26.9
56137	144492.	202.	115.	1438.	369.	17.6	715.	9.60	10.7	< 21.8
56138	51028.	160.	551.	1403.	244.	13.6	321.	11.8	34.5	< 24.9
56139	16489.	109.	209.	1153.	125.	13.7	132.	10.4	67.5	< 27.3
56140	31553.	149.	65.8	1304.	222.	13.3	212.	< 9.1	38.7	< 27.3
56141	25811.	133.	46.9	1255.	151.	12.9	158.	9.60	40.3	< 26.1
56142	23787.	122.	47.8	1312.	154.	15.2	168.	< 8.5	35.3	< 25.4
56143	92033.	174.	< 38.2	1199.	454.	15.9	489.	10.7	12.3	< 22.9
56144	20482.	145.	74.0	1348.	156.	14.6	158.	11.5	27.0	< 24.7
56145	12059.	118.	88.8	1277.	129.	12.5	< 98.1	< 9.8	22.6	< 29.4
56146	13166.	119.	125.	1075.	110.	11.2	115.	< 9	17.3	< 27.1

Laboratoire INRS-ETE

Type échantillons: Chromitites

Projet: Pro-Or

Date remise: 25-févr-05

Échantillon	Forage	SiO2 %	TiO2 %	Al2O3 %	Fe2O3T %	Cr2O3	MnO %	MgO %	CaO %	Na2O %	K2O %	P2O5 %	S %	PAF %
56147	MK-04-07	40.5	.122	4.92	12.6	3.2	.144	29.7	.884	.328	.0590	< 0.21	.254	8.5
56148	MK-04-07	25.8	.230	10.7	19.6	13.3	.355	20.6	.761	.0520	< 0.046	< 0.23	.161	6.0
56149	MK-04-07	29.3	.515	16.0	12.3	2.4	.116	28.6	.427	.0540	< 0.045	< 0.23	< 0.045	11.0
56150	MK-04-07	27.2	.178	15.2	12.9	4.2	.142	26.3	.532	.100	< 0.047	< 0.24	< 0.047	10.7
56199	MK-04-09	45.6	.139	5.30	8.92	.9	.105	25.5	5.72	.0930	< 0.044	< 0.22	.464	6.3
56200	MK-04-09	34.3	.335	9.13	13.0	6.0	.206	24.7	2.95	.0760	< 0.041	< 0.21	.159	7.5
56201	MK-04-09	38.1	.241	8.91	8.73	2.2	.0992	28.2	3.72	.0590	< 0.04	< 0.2	.0860	9.8
56202	MK-04-09	37.5	.167	5.71	13.2	7.2	.172	24.9	2.94	.0480	< 0.038	< 0.19	.398	8.3
56203	MK-04-09	31.8	.189	5.72	14.5	8.1	.178	26.1	3.40	.0580	< 0.04	< 0.2	.101	10.1
56204	MK-04-09	30.8	.201	7.17	16.1	11.4	.208	24.0	1.37	.0630	< 0.042	< 0.21	.112	6.6
56205	MK-04-09	32.1	.167	6.43	14.2	9.3	.174	24.6	2.92	.0720	< 0.043	< 0.22	.120	8.5
56206	MK-04-09	32.5	.269	8.12	13.6	9.9	.212	22.1	4.68	.125	< 0.045	< 0.22	.241	6.0
56207	MK-04-09	19.3	.475	12.4	20.6	19.0	.433	19.2	1.07	.0790	< 0.048	< 0.24	.0990	6.3
56208	MK-04-09	40.3	.163	5.04	10.7	3.1	.111	25.2	4.14	.0560	< 0.041	< 0.21	.695	9.1
56209	MK-04-09	39.9	.176	4.96	11.8	4.3	.153	24.5	2.88	.0520	< 0.039	< 0.19	.501	7.6
56210	MK-04-09	45.8	.311	4.80	8.54	1.8	.0823	28.4	1.34	.0520	< 0.042	< 0.21	.486	7.2
56211	MK-04-09	43.4	.467	7.68	9.80	.3	.135	25.3	6.39	.168	< 0.042	.350	.148	6.4
56212	MK-04-09	46.0	.213	5.25	11.6	.3	.0705	26.5	2.32	.0610	< 0.043	< 0.21	.616	6.3
56213	MK-04-09	43.2	.153	4.81	12.2	1.6	.0818	25.6	1.64	.288	< 0.043	< 0.21	.484	6.3
56213	MK-04-09	42.0	.150	4.74	12.1	1.6	.0809	25.7	1.60	.369	.0680	< 0.21	.454	6.3
56214	MK-04-09	34.2	.200	7.09	18.3	10.5	.287	22.4	1.62	.0440	< 0.041	< 0.21	.240	6.1
56215	MK-04-09	43.3	.424	4.52	6.54	.7	.0908	26.7	7.38	.0360	< 0.04	.240	.157	11.4
56216	MK-04-09	38.3	.200	4.48	9.32	3.8	.152	23.8	8.67	.0570	< 0.044	< 0.22	.158	11.5
56217	MK-04-09	23.8	.319	11.2	19.9	16.9	.479	19.5	1.85	.301	.0470	< 0.21	.143	5.3
56218	MK-04-09	36.6	.205	7.25	14.8	9.8	.331	22.1	5.66	.414	.0570	< 0.21	.165	4.8
56219	MK-04-09	41.4	.329	7.81	12.8	1.2	.156	25.9	4.84	.0850	< 0.037	< 0.18	.427	7.5
56220	MK-04-09	44.3	.156	5.68	12.2	.4	.123	26.0	5.34	.0850	< 0.039	< 0.2	.397	7.0
56237	MK-04-09	39.5	.854	12.6	14.6	.1	.197	11.0	7.89	1.60	5.37	.250	.0820	6.4
56238	MK-04-09	32.8	1.01	14.1	16.3	.6	.161	21.5	3.40	.0900	.576	.300	.0850	8.1
56239	MK-04-09	45.8	.204	5.57	10.4	3.2	.186	22.3	8.99	.162	< 0.05	< 0.25	.0740	4.1
56240	MK-04-09	33.8	.222	8.22	15.6	12.4	.371	19.7	5.72	.104	< 0.037	< 0.19	.0590	3.6
56241	MK-04-09	37.5	.276	6.99	13.4	9.1	.226	22.6	4.78	.0800	< 0.043	< 0.21	.0850	5.0

Laboratoire INRS-ETE

Type échantillon: Chromitites

Projet: Pro-Or

Date remise: 25-févr-05

Échantillon	Cr	Co	Cu	Ni	Zn	Sc	V	Ba	Sr	Zr
	ppm	ppm	ppm	ppm	ppm	ppm	ppm	ppm	ppm	ppm
56147	22142.	136.	68.2	1404.	198.	11.8	137.	51.6	39.3	< 25.3
56148	91075.	178.	500.	1552.	911.	12.3	468.	9.70	< 9.1	< 27.4
56149	16618.	115.	< 45.2	973.	170.	13.7	143.	< 9	12.0	294.
56150	28936.	115.	< 47.4	1184.	371.	11.3	184.	9.80	< 9.5	< 28.5
56199	6047.	94.7	224.	1194.	75.9	15.5	< 88.4	8.90	11.3	< 26.5
56200	41262.	132.	314.	1169.	244.	15.8	264.	8.80	11.6	82.0
56201	14802.	87.7	113.	1172.	76.8	11.5	122.	< 7.9	37.0	49.3
56202	48922.	139.	267.	1209.	259.	14.2	295.	< 7.5	39.2	< 22.6
56203	55529.	149.	201.	1340.	227.	13.9	327.	9.90	47.6	< 23.9
56204	77994.	164.	118.	1702.	248.	15.7	448.	< 8.4	22.0	< 25.3
56205	63782.	161.	274.	1384.	207.	14.8	354.	< 8.6	57.6	< 25.9
56206	67401.	159.	1367.	1239.	266.	15.6	408.	< 8.9	26.4	< 26.7
56207	130144.	192.	297.	1509.	384.	20.9	763.	< 9.6	15.6	< 28.7
56208	20937.	122.	467.	1369.	138.	14.5	147.	< 8.3	88.9	< 24.9
56209	29427.	121.	294.	1295.	257.	13.2	193.	< 7.8	60.9	< 23.3
56210	12530.	88.0	266.	1276.	137.	12.4	116.	< 8.5	22.2	34.2
56211	1840.	90.4	107.	1048.	68.5	19.0	147.	15.1	49.7	55.1
56212	1990.	125.	166.	969.	53.6	18.7	110.	13.8	11.0	< 25.6
56213	11138.	117.	113.	957.	91.2	18.1	118.	100.	34.0	< 25.7
56213	11006.	95.0	111.	951.	102.	16.4	121.	87.1	33.7	< 25.7
56214	71918.	181.	356.	1455.	451.	14.4	438.	10.1	13.2	< 24.9
56215	4563.	< 79.3	382.	1278.	67.6	14.0	< 79.3	17.5	67.2	43.1
56216	26137.	98.9	159.	1218.	161.	12.1	161.	14.3	68.0	< 26.6
56217	115646.	207.	450.	1362.	382.	18.5	561.	52.8	36.4	< 24.7
56218	66739.	171.	156.	1347.	364.	17.8	344.	57.5	55.9	< 25.5
56219	8405.	110.	324.	1008.	84.7	28.8	186.	11.0	25.5	< 22.1
56220	2671.	120.	139.	929.	78.1	21.1	108.	10.9	32.8	< 23.5
56237	784.	< 82	374.	301.	106.	41.5	311.	1599.	266.	66.5
56238	4135.	101.	554.	528.	127.	44.6	324.	101.	38.7	74.2
56239	22011.	100.9	59.1	1272.	328.	18.2	195.	10.3	21.4	< 30.3
56240	84624.	152.	43.6	1128.	589.	13.6	501.	10.6	13.7	< 22.4
56241	62524.	124.	164.	1185.	372.	14.2	395.	11.0	18.5	< 25.5

Laboratoire INRS-ETE

Type échantillons: Chromitites

Projet: Pro-Or

Date remise: 25-févr-05

Échantillon	Forage	SiO2	TiO2	Al2O3	Fe2O3T	Cr2O3	MnO	MgO	CaO	Na2O	K2O	P2O5	S	PAF
		%	%	%	%		%	%	%	%	%	%	%	%
56242	MK-04-09	45.8	.202	5.50	10.1	3.1	.146	24.3	7.92	.124	< 0.044	< 0.22	.115	4.8
56243	MK-04-09	46.4	.271	7.21	10.2	.5	.167	22.9	7.74	.153	.496	< 0.2	.0910	5.0
56244	MK-04-09	47.1	.122	5.06	9.27	.3	.133	27.1	4.44	.0800	< 0.044	< 0.22	.185	7.1
56245	MK-04-09	43.5	.349	3.97	8.92	.2	.136	29.0	4.91	.0830	< 0.041	.260	.265	10.3
56246	MK-04-09	39.1	.233	3.64	9.58	.2	.164	29.8	5.07	.0600	< 0.04	< 0.2	.221	12.9
56247	MK-04-09	37.2	.104	3.63	9.17	.5	.126	28.4	5.73	.0520	< 0.036	< 0.18	.261	13.0
56248	MK-04-09	38.9	.129	4.26	10.5	1.0	.112	30.9	1.88	.0580	< 0.041	< 0.21	.297	10.8
56249	MK-04-09	28.0	.361	7.71	19.5	11.9	.332	21.7	1.34	.0710	< 0.046	< 0.23	.215	6.0
56250	MK-04-09	34.9	.133	5.13	11.9	5.0	.180	29.0	2.05	.0510	< 0.039	< 0.2	.101	10.3
56251	MK-04-09	33.7	.139	5.21	12.4	6.6	.184	28.1	1.74	.0460	< 0.038	< 0.19	.0910	9.5
56252	MK-04-09	31.1	.178	6.35	13.2	8.3	.213	26.4	3.30	.0730	< 0.043	< 0.21	.0920	9.7
56253	MK-04-09	17.2	.346	12.2	20.8	19.5	.376	18.5	2.07	.0520	< 0.035	< 0.18	.0840	7.3
56254	MK-04-09	37.0	.199	6.17	10.8	6.5	.141	26.2	4.29	.110	< 0.041	< 0.2	.0970	7.8
56255	MK-04-09	34.6	.171	4.82	11.5	3.0	.117	29.4	2.81	.0740	< 0.048	< 0.24	.153	10.5
56256	MK-04-09	35.9	.180	5.08	12.3	3.8	.149	30.7	2.11	.0710	< 0.035	< 0.17	.116	10.4
56257	MK-04-09	26.3	.295	9.00	18.0	14.7	.337	22.0	1.38	.100	< 0.047	< 0.23	.0690	6.9
56258	MK-04-09	34.6	.186	4.72	11.9	3.2	.152	29.5	3.26	.0930	< 0.045	< 0.22	.186	12.1
56259	MK-04-09	36.2	.190	5.14	12.3	3.9	.134	29.9	2.46	.0660	< 0.046	< 0.23	.134	10.9
56260	MK-04-09	23.5	.282	8.90	16.5	14.3	.268	22.0	3.79	.374	.0820	< 0.21	.126	9.7
56261	MK-04-09	32.2	.261	6.94	15.3	8.5	.180	26.9	2.09	.107	< 0.049	< 0.25	.155	9.0
56262	MK-04-09	37.9	.221	5.36	11.4	2.2	.0986	28.7	4.16	.368	.0620	< 0.22	.420	9.9
56263	MK-04-09	19.3	.520	12.4	22.7	20.1	.396	18.1	1.09	.0910	< 0.045	< 0.22	.149	5.8
56264	MK-04-09	37.9	.198	5.26	11.4	2.5	.108	28.4	4.57	.0870	< 0.042	< 0.21	.154	10.7
56265	MK-04-09	35.7	.202	5.98	14.5	5.5	.154	27.9	2.80	.0930	< 0.043	< 0.22	.272	9.3
56266	MK-04-09	19.7	.455	11.7	22.2	17.8	.405	18.9	1.31	.0730	< 0.048	< 0.24	.116	6.3
56267	MK-04-09	36.2	.241	5.03	11.4	2.7	.148	26.7	5.70	.0940	< 0.048	< 0.24	.192	10.8
56268	MK-04-09	40.1	.137	4.03	12.4	.7	.144	29.4	3.22	.0840	< 0.048	< 0.24	.183	10.1
56287	MK-04-10	33.2	.154	5.06	12.7	5.5	.179	26.8	4.34	.0370	< 0.04	< 0.2	.129	11.1
56288	MK-04-10	32.5	.166	5.75	14.9	8.1	.208	27.8	1.35	< 0.022	< 0.044	< 0.22	.105	9.2
56289	MK-04-10	31.7	.201	6.25	14.6	8.7	.186	27.4	1.58	.0470	< 0.044	< 0.22	.106	9.2
56290	MK-04-10	24.7	.151	5.75	12.1	8.3	.186	24.2	8.19	.0420	< 0.04	< 0.2	.163	15.3
56291	MK-04-10	23.5	.336	11.7	18.4	18.5	.307	20.0	1.90	.0480	< 0.036	< 0.18	.118	5.1

Laboratoire INRS-ETE

Type échantillon: Chromitites

Projet: Pro-Or

Date remise: 25-févr-05

Échantillon	Cr	Co	Cu	Ni	Zn	Sc	V	Ba	Sr	Zr
	ppm	ppm	ppm	ppm	ppm	ppm	ppm	ppm	ppm	ppm
56242	21034.	106.	416.	1022.	209.	15.7	199.	11.7	34.6	< 26.4
56243	3098.	97.6	139.	916.	111.	18.9	121.	72.9	50.9	70.4
56244	1743.	140.	96.5	1089.	88.5	15.1	< 87.3	10.1	38.6	< 26.2
56245	1679.	< 81.1	107.	1407.	80.8	11.5	93.3	13.5	234.	50.0
56246	1610.	91.4	52.6	1144.	87.0	13.3	< 81	10.3	262.	< 24.3
56247	3123.	99.8	907.	1157.	175.	12.7	< 72.2	7.40	131.	< 21.7
56248	6646.	111.	635.	1400.	69.4	15.3	89.2	< 8.2	69.5	< 24.6
56249	81106.	239.	163.	1968.	547.	13.9	511.	< 9.2	26.6	< 27.7
56250	33872.	114.	134.	1354.	155.	13.4	222.	< 7.8	76.3	< 23.5
56251	45210.	119.	63.4	1238.	169.	12.6	288.	< 7.6	64.8	< 22.7
56252	56668.	141.	48.3	1321.	209.	13.8	347.	< 8.5	102.	< 25.6
56253	133412.	211.	87.8	1450.	390.	16.0	781.	< 7	63.9	< 21
56254	44119.	137.	222.	1407.	186.	16.7	318.	< 8.1	47.2	< 24.4
56255	20792.	120.	155.	1277.	140.	14.5	170.	< 9.5	52.8	< 28.5
56256	25799.	124.	275.	1252.	196.	15.5	196.	< 6.9	44.9	< 20.7
56257	100238.	191.	< 46.6	1466.	364.	15.5	579.	11.1	17.6	< 27.9
56258	21968.	142.	412.	1285.	117.	15.4	177.	10.9	89.6	< 26.9
56259	26619.	137.	546.	1245.	129.	15.4	189.	9.70	60.8	< 27.4
56260	97514.	175.	244.	1304.	352.	13.9	483.	63.6	111.	< 25.2
56261	58466.	152.	583.	1748.	204.	16.2	360.	11.9	27.9	< 29.6
56262	14964.	151.	1366.	2175.	99.7	17.0	125.	47.6	76.3	< 26.9
56263	137688.	231.	316.	2521.	443.	17.9	809.	13.1	12.1	< 26.8
56264	16785.	128.	501.	1215.	88.5	16.5	161.	9.40	65.7	< 25.2
56265	37590.	150.	697.	1747.	172.	16.2	270.	11.0	36.4	< 25.9
56266	121738.	249.	130.	2427.	464.	15.8	763.	11.5	15.6	< 28.5
56267	18747.	138.	1047.	1265.	138.	16.5	178.	12.1	79.1	< 28.6
56268	4864.	129.	112.	1195.	89.2	15.4	104.	10.2	42.1	< 28.8
56287	37564.	154.	171.	1524.	224.	13.2	211.	< 8	37.1	< 24.1
56288	55625.	128.	114.	1422.	353.	14.0	283.	9.20	10.8	< 26.6
56289	59703.	135.	330.	1270.	347.	13.6	312.	9.80	17.8	< 26.3
56290	56770.	130.	1066.	1338.	282.	11.7	286.	9.40	118.	< 23.7
56291	126301.	183.	444.	1804.	325.	18.5	650.	< 7.1	< 7.1	< 21.4

Laboratoire INRS-ETE

Type échantillons: Chromitites

Projet: Pro-Or

Date remise: 25-févr-05

Échantillon	Forage	SiO2 %	TiO2 %	Al2O3 %	Fe2O3T %	Cr2O3	MnO %	MgO %	CaO %	Na2O %	K2O %	P2O5 %	S %	PAF %
56292	MK-04-10	42.1	.150	4.70	9.18	4.1	.0967	26.6	3.91	< 0.022	< 0.045	< 0.22	.134	8.9
56293	MK-04-10	37.5	.170	4.90	12.7	3.3	.124	28.9	2.47	.0440	< 0.046	< 0.23	.164	10.1
56294	MK-04-10	32.9	.165	5.25	13.2	4.8	.166	27.4	3.25	.0620	< 0.044	< 0.22	.142	10.1
56295	MK-04-10	38.7	.178	4.99	11.6	3.3	.116	29.5	1.68	.0500	< 0.045	< 0.22	.119	9.9
56296	MK-04-10	36.5	.147	4.35	11.6	2.6	.117	29.6	2.67	.0470	< 0.042	< 0.21	.231	10.9
56297	MK-04-10	35.5	.187	5.15	13.9	4.6	.174	29.2	1.92	.0390	< 0.039	< 0.19	.115	10.2
56298	MK-04-10	27.6	.317	7.99	17.3	11.5	.309	22.7	2.22	.0620	< 0.045	< 0.22	.0850	7.8
56298	MK-04-10	27.5	.317	7.89	17.2	11.5	.309	22.6	2.01	.0650	< 0.045	< 0.22	.0670	7.8
56299	MK-04-10	35.5	.181	4.25	12.2	2.3	.146	29.2	3.31	.0580	< 0.047	< 0.23	.145	11.6
56300	MK-04-10	37.6	.143	4.16	12.3	1.7	.137	30.2	2.73	.0280	< 0.043	< 0.21	.198	11.1
56301	MK-04-10	38.2	.144	4.36	11.0	2.4	.102	28.8	2.66	.0560	< 0.046	< 0.23	.204	10.1
56302	MK-04-10	23.9	.329	9.85	18.1	16.8	.275	20.6	1.74	.0580	.0530	< 0.25	.0790	6.1
56302	MK-04-10	24.0	.333	9.89	18.2	16.9	.276	20.7	1.51	.0620	< 0.049	< 0.25	.0670	6.1
56303	MK-04-10	29.4	.296	8.24	16.1	12.0	.210	25.1	1.48	.0500	< 0.045	< 0.22	.114	7.5
56304	MK-04-10	30.7	.311	7.23	16.8	10.4	.213	24.8	1.86	.0700	< 0.05	< 0.25	.0950	7.8
56305	MK-04-10	38.4	.198	5.00	11.8	2.4	.0967	27.7	3.98	.0950	< 0.046	< 0.23	.263	8.9
56306	MK-04-10	22.8	.507	11.4	20.9	17.9	.352	18.8	1.74	.0640	< 0.043	< 0.21	.257	5.1
56307	MK-04-10	39.4	.203	4.69	11.9	2.4	.0996	27.8	3.58	.0740	< 0.047	< 0.24	.190	8.6
56308	MK-04-10	42.5	.233	4.57	13.3	2.9	.107	26.5	2.69	.0490	< 0.043	< 0.22	.569	7.3
56309	MK-04-10	47.0	.181	4.75	10.1	2.1	.102	24.9	5.50	.0790	< 0.044	< 0.22	.264	5.4
56310	MK-04-10	27.6	.487	9.99	19.2	12.9	.407	19.1	3.72	.108	< 0.044	< 0.22	.0990	5.5
56311	MK-04-10	43.4	.169	5.15	11.2	3.8	.142	25.1	3.30	.0950	< 0.047	< 0.23	.148	6.0
56312	MK-04-10	21.5	.396	10.1	25.8	17.8	.522	16.7	1.22	.0950	< 0.048	< 0.24	.217	4.8
56313	MK-04-10	42.7	.189	4.99	11.6	4.8	.170	25.8	2.31	.0550	< 0.049	< 0.24	.139	6.3
56314	MK-04-10	40.9	.167	4.81	11.8	2.9	.149	28.7	2.12	.127	< 0.044	< 0.22	.0760	8.5
56315	MK-04-10	42.7	.172	5.09	12.3	5.2	.170	26.1	2.42	.0920	< 0.044	< 0.22	.0750	6.4
56316	MK-04-10	37.4	.195	6.56	16.4	10.0	.250	21.6	2.14	.0440	< 0.043	< 0.22	< 0.043	4.8
56317	MK-04-10	52.5	.0742	2.63	7.42	1.5	.0879	24.1	8.28	.0900	< 0.041	< 0.2	.113	3.9
56318	MK-04-10	43.6	.182	5.41	12.8	5.2	.174	23.0	6.04	.0800	< 0.046	< 0.23	.145	5.0
56319	MK-04-10	49.4	.125	4.32	8.72	2.3	.143	23.3	9.39	.0850	< 0.044	< 0.22	.0540	4.2
56320	MK-04-10	42.6	.929	14.8	12.2	.2	.193	10.8	9.98	.717	2.24	< 0.19	< 0.038	6.6
56321	MK-04-10	46.9	.880	14.2	11.2	.1	.195	7.95	9.64	2.23	2.01	< 0.24	.0890	3.9
56322	MK-04-10	35.1	1.04	15.8	14.4	.1	.230	13.2	7.81	1.52	.902	< 0.25	< 0.05	8.9

Laboratoire INRS-ETE

Type échantillon: Chromitites

Projet: Pro-Or

Date remise: 25-févr-05

Échantillon	Cr	Co	Cu	Ni	Zn	Sc	V	Ba	Sr	Zr
	ppm	ppm	ppm	ppm	ppm	ppm	ppm	ppm	ppm	ppm
56292	28144.	< 89.4	331.	1016.	139.	13.0	173.	< 8.9	54.9	< 26.8
56293	22342.	128.	452.	1520.	70.3	16.7	137.	9.40	17.1	< 27.6
56294	32719.	143.	290.	1367.	99.8	15.0	188.	10.5	22.2	< 26.4
56295	22641.	125.	218.	1263.	42.7	16.5	137.	< 9	10.0	< 26.9
56296	17602.	110.	164.	1276.	38.9	15.5	122.	8.60	24.7	< 25.5
56297	31288.	151.	208.	1394.	93.5	15.5	185.	8.30	12.4	< 23.2
56298	78599.	175.	224.	1499.	403.	15.3	452.	< 9	14.3	< 26.9
56298	78501.	179.	230.	1486.	371.	15.4	445.	< 9	14.1	< 26.9
56299	15686.	121.	328.	1327.	68.9	15.6	124.	< 9.3	20.3	< 27.9
56300	11815.	121.	304.	1211.	127.	15.5	95.5	< 8.5	16.5	< 25.5
56301	16410.	124.	498.	1218.	70.0	15.0	112.	11.1	15.6	< 27.6
56302	114648.	196.	88.9	1535.	417.	15.5	583.	10.6	< 9.8	< 29.5
56302	115255.	196.	93.8	1505.	361.	15.4	572.	14.5	< 9.8	< 29.5
56303	82242.	167.	218.	1627.	253.	15.2	435.	12.3	< 9	< 26.9
56304	71038.	184.	469.	1879.	206.	15.9	392.	13.3	< 10.1	< 30.2
56305	16545.	131.	501.	1634.	< 27.9	16.9	134.	10.1	10.9	< 27.9
56306	122634.	210.	1277.	2684.	322.	18.8	687.	11.4	< 8.5	< 25.6
56307	16413.	125.	539.	1242.	47.6	17.0	145.	11.3	14.3	< 28.2
56308	19606.	145.	512.	1677.	71.8	16.4	145.	9.90	< 8.7	< 26
56309	14075.	98.3	700.	1358.	55.9	16.7	110.	9.70	< 8.7	< 26.2
56310	88237.	186.	175.	1500.	423.	20.4	547.	10.6	12.6	36.6
56311	25820.	127.	670.	1494.	58.5	15.2	174.	< 9.3	< 9.3	< 27.9
56312	121555.	283.	135.	2047.	513.	16.0	707.	< 9.6	< 9.6	< 28.9
56313	33157.	102.	870.	1064.	169.	13.5	188.	11.2	< 9.7	< 29.2
56314	19771.	112.	229.	1305.	65.3	16.3	141.	11.3	< 8.8	< 26.3
56315	35516.	133.	420.	1238.	111.	15.0	202.	8.90	< 8.8	< 26.3
56316	68598.	179.	56.7	868.	271.	9.40	376.	< 8.7	< 8.7	< 26
56317	10333.	< 81.3	135.	688.	82.0	10.5	< 81.3	9.00	8.80	< 24.4
56318	35417.	161.	383.	1341.	206.	13.6	204.	10.4	< 9.1	< 27.4
56319	16071.	< 88.9	147.	1123.	149.	13.8	113.	10.8	< 8.9	< 26.7
56320	1042.	< 76.7	169.	203.	110.	41.2	273.	517.	489.	59.3
56321	390.	< 95.8	192.	357.	93.4	39.8	261.	368.	434.	70.2
56322	410.	< 99.2	119.	< 247.9	95.0	41.9	278.	195.	233.	66.7

Laboratoire INRS-ETE

Type échantillons: Chromitites

Projet: Pro-Or

Date remise: 25-févr-05

Échantillon	Forage	SiO2	TiO2	Al2O3	Fe2O3T	Cr2O3	MnO	MgO	CaO	Na2O	K2O	P2O5	S	PAF
		%	%	%	%		%	%	%	%	%	%	%	%
56323	MK-04-10	47.0	.0769	4.39	9.20	.2	.120	26.9	5.93	.0360	< 0.041	< 0.21	.187	7.5
56324	MK-04-10	37.2	.0707	4.11	10.2	.3	.122	28.1	4.48	.0330	< 0.041	< 0.2	.315	12.4
56325	MK-04-10	39.3	.0829	4.38	11.7	.6	.103	30.4	2.52	.0590	< 0.041	< 0.21	.336	13.1
56326	MK-04-10	34.0	.157	5.24	12.7	4.4	.161	26.9	3.96	.0600	< 0.05	< 0.25	.221	10.6
56327	MK-04-10	28.7	.165	5.42	13.8	7.5	.186	26.0	3.29	.339	.0520	< 0.23	.180	10.3
56328	MK-04-10	30.0	.187	6.77	15.3	10.0	.189	26.1	1.00	.0490	< 0.043	< 0.22	.106	9.0
56329	MK-04-10	32.4	.170	5.93	13.5	8.3	.164	26.6	3.53	.0610	< 0.043	< 0.21	.123	10.1
56330	MK-04-10	33.3	.277	9.50	15.3	10.5	.191	21.8	4.09	.0880	< 0.045	< 0.22	.136	5.6
56331	MK-04-10	35.8	.576	11.3	12.7	2.0	.104	25.4	3.20	.0840	< 0.048	< 0.24	.276	8.0
56332	MK-04-10	36.1	.152	5.08	12.2	4.1	.167	26.6	6.08	.0790	< 0.049	< 0.24	.191	11.2
56333	MK-04-10	29.0	.317	8.02	17.7	12.1	.304	22.6	3.37	.0540	< 0.041	< 0.21	.0600	9.0
56334	MK-04-10	37.7	.155	4.37	9.60	1.5	.121	26.8	7.01	.0390	< 0.043	< 0.22	.270	13.0
56335	MK-04-10	35.5	.134	4.41	11.9	2.4	.126	28.3	4.75	.0520	< 0.046	< 0.23	.219	12.3
56336	MK-04-10	23.6	.311	9.58	18.9	15.8	.332	19.1	2.96	.0560	< 0.041	< 0.21	.0860	7.8
56337	MK-04-10	30.7	.127	4.94	8.77	2.6	.163	23.3	11.1	.0460	< 0.049	< 0.25	.474	17.0
56338	MK-04-10	38.6	.125	4.29	11.2	2.3	.110	27.8	3.56	.0700	< 0.043	< 0.22	.181	10.2
56339	MK-04-10	25.0	.290	9.49	19.1	15.8	.318	19.4	3.92	.0530	< 0.041	< 0.2	.106	7.7
56340	MK-04-10	38.6	.147	5.31	11.6	4.4	.138	28.4	4.27	.0730	.0440	< 0.21	.100	9.4
56341	MK-04-10	28.2	.310	8.35	18.0	12.8	.288	22.1	2.59	.246	.0590	< 0.18	.131	6.6
56342	MK-04-10	32.0	.165	4.49	8.2	2.6	.132	21.8	15.04	.061	< 0.042	< 0.21	.371	16.3
56344	MK-04-10	38.7	.222	4.25	11.4	1.9	.112	28.3	4.16	.098	< 0.05	< 0.25	.164	11.3
56345	MK-04-10	38.2	.208	4.39	11.2	.8	.108	28.8	4.80	.054	< 0.048	< 0.24	.299	11.4
56375	MK-04-10	36.5	.160	3.40	11.3	.7	.175	31.1	4.06	.0550	< 0.042	< 0.21	.334	12.8
56376	MK-04-10	38.6	.110	3.99	11.1	1.0	.117	31.9	2.20	.0460	< 0.04	< 0.2	.523	11.0
56377	MK-04-10	24.0	.330	9.72	22.4	17.0	.413	19.7	2.01	.0920	< 0.043	< 0.21	.198	5.4
56378	MK-04-10	30.4	.172	6.05	15.9	8.5	.189	27.5	1.09	.0600	< 0.04	< 0.2	.117	10.3
56379	MK-04-10	28.9	.210	6.75	17.1	11.0	.175	27.4	.587	.0610	< 0.044	< 0.22	.0980	9.0
56380	MK-04-10	29.8	.201	7.24	15.1	11.2	.159	26.4	1.97	.0950	< 0.047	< 0.23	.0740	8.5
56381	MK-04-10	17.8	.383	13.0	19.4	23.0	.318	18.9	.940	.0700	< 0.041	< 0.2	.156	5.5
56382	MK-04-10	30.5	.291	7.42	14.4	10.5	.198	23.9	4.77	.0790	< 0.041	< 0.21	.0840	8.8
56383	MK-04-10	35.4	.175	4.79	12.4	3.2	.165	29.4	2.92	.0700	< 0.041	< 0.21	.204	10.9
56384	MK-04-10	33.1	.190	5.52	13.9	5.1	.203	28.9	2.74	.353	.0520	< 0.26	.189	10.1
56385	MK-04-10	35.2	.177	4.82	12.6	4.1	.152	29.7	1.75	.0700	< 0.04	< 0.2	.182	10.2

Laboratoire INRS-ETE

Type échantillon Chromitites

Projet: Pro-Or

Date remise: 25-févr-05

Échantillon	Cr	Co	Cu	Ni	Zn	Sc	V	Ba	Sr	Zr
	ppm	ppm	ppm	ppm	ppm	ppm	ppm	ppm	ppm	ppm
56323	1417.	< 82.4	170.	1199.	66.9	13.8	< 82.4	< 8.2	17.2	< 24.7
56324	1879.	117.	117.	1351.	56.5	12.0	< 81.1	8.60	35.3	< 24.3
56325	3956.	114.	248.	1447.	67.0	14.2	< 82.6	11.0	16.3	< 24.8
56326	30374.	139.	609.	1595.	191.	14.5	164.	11.3	22.0	< 30.1
56327	51198.	178.	522.	1473.	265.	12.7	255.	62.1	51.4	< 27
56328	68198.	180.	188.	1489.	315.	13.4	347.	11.2	9.90	< 25.8
56329	56455.	157.	625.	1601.	198.	15.0	287.	11.1	26.2	< 25.6
56330	71578.	140.	436.	1486.	224.	19.0	385.	11.6	< 8.9	< 26.7
56331	13651.	102.	263.	624.	79.6	37.3	252.	10.5	< 9.6	59.3
56332	28201.	120.	180.	1322.	147.	15.0	171.	12.0	37.2	< 29.1
56333	82646.	170.	291.	1247.	327.	16.2	450.	9.20	21.1	< 24.7
56334	10579.	122.	91.9	1335.	80.6	14.4	103.	9.40	48.3	< 26
56335	16421.	125.	70.6	1270.	102.	14.2	106.	11.1	32.9	< 27.4
56336	107969.	189.	77.6	1334.	519.	14.6	576.	12.6	21.6	< 24.9
56337	17490.	102.	509.	1042.	106.	12.7	120.	< 9.9	76.2	< 29.6
56338	15569.	114.	218.	1292.	103.	15.8	113.	9.80	23.0	< 26
56339	108123.	195.	105.	1458.	473.	14.6	540.	11.3	27.1	< 24.3
56340	30090.	128.	98.8	1428.	122.	16.1	176.	< 8.5	19.3	< 25.5
56341	87565.	183.	47.5	1226.	390.	15.9	467.	4770.	163.	< 21.9
56342	17858.	122.	271.	720.	134.	13.8	136.	12.4	86.8	< 25.4
56344	12841.	< 99.1	455.	1098.	315.	16.6	128.	13.5	46.3	< 29.7
56345	5194.	109.	737.	1166.	88.	17.8	111.	11.8	48.9	< 29
56375	4621.	140.	239.	1457.	64.8	14.6	< 83.7	10.4	149.	< 25.1
56376	6994.	126.	529.	1487.	134.	15.6	< 80.5	< 8.1	52.5	< 24.2
56377	115961.	272.	52.2	2157.	596.	14.3	592.	9.40	24.1	< 25.7
56378	57865.	172.	162.	1431.	357.	12.9	311.	14.9	29.6	< 24.1
56379	75053.	177.	63.7	1758.	441.	12.7	397.	14.3	21.7	< 26.6
56380	76906.	176.	206.	1435.	317.	13.5	410.	12.4	50.8	< 28
56381	157643.	230.	862.	2101.	386.	18.3	832.	9.50	9.00	< 24.5
56382	71587.	170.	363.	1306.	239.	15.3	437.	9.90	113.	< 24.6
56383	21820.	148.	207.	1428.	116.	15.3	165.	11.2	86.5	< 24.8
56384	35093.	169.	181.	1269.	188.	14.1	198.	57.1	121.	< 30.6
56385	27875.	130.	1250.	1306.	118.	15.3	190.	11.8	51.8	< 23.8

Laboratoire INRS-ETE

Type échantillons: Chromitites

Projet: Pro-Or

Date remise: 25-févr-05

Échantillon	Forage	SiO2	TiO2	Al2O3	Fe2O3T	Cr2O3	MnO	MgO	CaO	Na2O	K2O	P2O5	S	PAF
		%	%	%	%		%	%	%	%	%	%	%	%
56386	MK-04-10	28.3	.243	7.61	16.7	11.4	.288	24.0	2.65	.0790	< 0.042	< 0.21	.100	8.3
56387	MK-04-10	32.4	.213	6.43	15.2	8.7	.236	26.2	2.89	.0750	< 0.043	< 0.22	.107	9.4
56388	MK-04-10	37.2	.147	4.51	12.2	2.1	.147	30.9	2.19	.0540	< 0.035	< 0.17	.221	10.6
56389	MK-04-10	36.9	.159	4.56	12.6	2.4	.174	30.4	3.85	.0780	< 0.043	< 0.21	.226	10.8
56390	MK-04-10	33.2	.141	5.43	11.5	5.3	.122	28.5	2.73	.0840	< 0.042	< 0.21	.138	10.1
56391	MK-04-10	23.2	.315	11.0	19.2	18.8	.287	19.9	2.50	.295	.0390	< 0.19	.108	5.4
56392	MK-04-10	27.5	.282	8.34	16.4	13.2	.219	23.1	2.38	.0980	< 0.046	< 0.23	.0830	7.6
56393	MK-04-10	39.4	.178	4.88	12.4	3.2	.109	28.1	2.27	.107	< 0.046	< 0.23	.199	8.0
56394	MK-04-10	43.2	.185	4.32	10.3	2.3	.0805	25.8	3.99	.106	< 0.048	< 0.24	.438	6.4
56395	MK-04-10	16.0	.416	13.3	25.5	23.9	.504	14.9	.984	.0680	< 0.042	< 0.21	.0910	4.1
56396	MK-04-10	40.6	.316	8.65	9.83	.8	.0922	25.2	6.15	.102	< 0.042	.550	.150	6.9
56397	MK-04-10	43.7	.494	8.31	9.56	.4	.118	22.5	6.28	.123	2.54	.480	.0580	4.7
56398	MK-04-10	43.3	.515	9.91	9.09	.6	.116	21.3	3.43	.123	6.33	.390	.0570	2.4
56399	MK-04-10	41.8	.507	9.53	9.39	.2	.110	20.4	3.53	.133	6.11	.370	.0490	2.9
56399	MK-04-10	40.9	.522	10.0	9.21	.2	.109	21.0	3.42	.388	7.04	.460	.103	2.9
56400	MK-04-10	51.8	.126	3.71	9.24	.4	.147	23.7	8.34	.0890	.0500	< 0.23	.226	4.7
56401	MK-04-10	51.7	.182	3.38	10.7	.5	.107	24.8	4.70	.0780	< 0.044	< 0.22	.430	4.9
56402	MK-04-10	48.7	.137	3.67	9.26	.5	.123	23.0	6.56	.0930	< 0.049	< 0.24	.273	5.0
56403	MK-04-10	46.4	.146	4.90	10.9	3.1	.143	24.1	5.62	.0800	< 0.042	< 0.21	.208	5.1
56404	MK-04-10	43.7	.125	5.97	11.9	4.8	.167	25.0	4.11	.0640	< 0.04	< 0.2	.212	5.6
56405	MK-04-10	22.7	.386	9.59	24.0	17.4	.523	16.4	2.30	.0920	< 0.048	< 0.24	.160	4.2
56406	MK-04-10	41.1	.244	5.95	13.7	6.0	.209	23.5	4.22	.104	< 0.042	< 0.21	.201	5.3
56407	MK-04-10	19.6	.410	10.68	26.0	19.7	.645	15.6	1.55	.054	< 0.037	< 0.18	.403	4.7
56408	MK-04-10	42.4	.265	5.33	11.3	3.8	.171	25.9	2.75	.079	< 0.047	< 0.23	.422	6.3
56409	MK-04-10	45.9	.175	4.07	10.7	1.9	.142	28.7	2.40	.062	< 0.047	< 0.24	.362	7.2
56410	MK-04-10	44.0	.132	3.98	12.0	.9	.143	29.9	1.00	.053	< 0.041	< 0.21	.300	8.0
56415	MK-04-11	46.3	1.35	14.6	15.1	.0	.222	6.26	8.62	3.05	.538	< 0.23	.323	3.8
56416	MK-04-11	43.1	1.38	13.7	15.4	.0	.221	6.57	8.36	3.83	.643	< 0.23	.719	3.8
56417	MK-04-11	43.2	1.59	14.0	15.9	.1	.198	8.91	5.03	2.81	1.85	< 0.25	.287	4.7
56450	MK-04-11	37.6	.118	3.47	11.9	.6	.125	31.7	1.44	.0760	< 0.05	< 0.25	.212	11.6
56451	MK-04-11	37.0	.171	4.79	10.4	1.7	.108	27.6	4.59	.187	.0770	< 0.24	.234	11.4
56452	MK-04-11	26.7	.221	7.18	17.1	11.6	.230	24.4	2.57	.0740	< 0.047	< 0.23	.156	9.3

Laboratoire INRS-ETE

Type échantillon: Chromitites

Projet: Pro-Or

Date remise: 25-févr-05

Échantillon	Cr	Co	Cu	Ni	Zn	Sc	V	Ba	Sr	Zr
	ppm	ppm	ppm	ppm	ppm	ppm	ppm	ppm	ppm	ppm
56386	77942.	189.	214.	1386.	304.	15.1	430.	11.9	57.4	< 24.9
56387	59256.	180.	99.4	1344.	252.	16.7	363.	10.1	112.	50.1
56388	14453.	128.	112.	1247.	79.4	14.6	138.	9.70	74.2	< 20.9
56389	16707.	128.	199.	1203.	108.	15.4	133.	10.6	125.	< 25.5
56390	36346.	129.	616.	1267.	143.	13.8	220.	12.0	92.8	< 25.2
56391	128299.	207.	< 38.8	1361.	372.	16.0	624.	43.3	53.7	< 23.3
56392	90245.	184.	268.	1222.	310.	15.3	527.	10.5	41.6	< 27.8
56393	22147.	164.	503.	1396.	124.	16.5	180.	12.7	16.6	< 27.8
56394	15682.	149.	1662.	2302.	92.8	15.8	134.	14.3	27.2	123.
56395	163443.	253.	< 41.8	2236.	710.	16.3	943.	10.2	< 8.4	< 25.1
56396	5260.	124.	699.	1594.	43.2	21.6	120.	9.30	104.	51.1
56397	2395.	< 91.6	155.	945.	96.4	22.7	95.5	332.	94.8	101.
56398	4268.	< 92.9	58.8	1547.	97.1	17.1	115.	876.	81.1	70.4
56399	1687.	< 85.7	47.7	872.	97.2	17.4	99.9	813.	76.8	82.4
56399	1645.	< 97.7	< 48.9	881.	106.	16.4	111.	840.	102.	86.5
56400	3064.	93.6	126.	882.	102.	12.9	< 90.5	10.8	74.2	< 27.1
56401	3649.	111.	231.	1092.	106.	10.7	< 88.2	11.9	37.0	< 26.5
56402	3378.	97.5	224.	935.	85.7	12.6	< 97.4	11.1	57.7	< 29.2
56403	21304.	128.	667.	1474.	154.	13.0	165.	11.4	53.3	< 25.4
56404	32621.	112.	1137.	1633.	142.	12.7	227.	8.50	39.1	< 24.1
56405	119093.	211.	< 48.5	2144.	426.	13.6	716.	12.8	14.7	< 29.1
56406	40927.	121.	400.	1378.	183.	14.5	281.	12.7	32.9	< 25
56407	134991.	267.	76.	3308.	499.	14.4	798.	11.7	12.3	< 22.1
56408	25955.	178.	834.	3557.	136.	14.1	191.	10.9	20.6	31.1
56409	13260.	123.	776.	1784.	112.	15.0	121.	10.5	19.6	< 28.4
56410	6032.	118.	150.	1173.	88.	13.9	99.	9.7	11.3	< 24.8
56415	173.	< 92.3	323.	< 230.8	110.	43.5	388.	219.	234.	70.5
56416	233.	< 91.9	356.	< 229.7	150.	42.8	384.	160.	258.	78.1
56417	360.	101.4	384.	< 253.5	260.	48.4	444.	335.	205.	53.0
56450	4418.	124.	570.	1397.	35.0	13.7	< 100.2	10.6	25.6	< 30.1
56451	11551.	126.	522.	1424.	73.5	14.0	95.3	19.5	57.3	< 28.4
56452	79673.	171.	466.	1892.	490.	13.8	397.	< 9.4	44.1	< 28.2

Laboratoire INRS-ETE

Type échantillons: Chromitites

Projet: Pro-Or

Date remise: 25-févr-05

Échantillon	Forage	SiO2 %	TiO2 %	Al2O3 %	Fe2O3T %	Cr2O3	MnO %	MgO %	CaO %	Na2O %	K2O %	P2O5 %	S %	PAF %
56452	MK-04-11	27.0	.223	7.27	17.2	11.6	.231	24.8	2.33	.0690	< 0.047	< 0.23	.144	9.3
56453	MK-04-11	34.7	.176	5.01	12.9	5.3	.155	27.9	1.78	.0820	< 0.048	< 0.24	.172	9.6
56454	MK-04-11	31.3	.186	5.90	14.8	8.3	.174	28.1	.431	.0630	< 0.047	< 0.23	.116	9.6
56455	MK-04-11	32.6	.196	5.88	14.4	7.8	.156	28.0	1.08	.108	< 0.046	< 0.23	.114	9.1
56456	MK-04-11	17.6	.372	12.2	17.8	21.0	.307	18.0	3.60	.298	.0520	< 0.24	.275	5.9
56457	MK-04-11	29.6	.185	6.44	14.5	9.4	.163	26.2	2.15	.0720	< 0.049	< 0.25	.161	9.3
56458	MK-04-11	20.2	.348	11.7	18.5	20.5	.284	18.6	3.24	.300	.0490	< 0.2	.173	5.3
56459	MK-04-11	35.5	.206	5.41	12.6	5.2	.135	28.9	2.42	.0870	< 0.045	< 0.22	.111	9.2
56460	MK-04-11	35.7	.216	5.05	13.5	4.3	.162	29.4	1.85	.108	< 0.048	< 0.24	.131	9.6
56461	MK-04-11	39.2	.158	4.66	11.8	2.8	.132	29.2	2.10	.0910	< 0.048	< 0.24	.122	8.6
56462	MK-04-11	37.9	.167	6.58	12.9	6.5	.184	23.2	5.36	.0730	< 0.047	< 0.24	.140	5.4
56463	MK-04-11	31.8	.909	14.2	11.8	.3	.0781	29.0	1.32	.0600	< 0.04	.540	.135	10.4
56465	MK-04-11	31.7	.165	5.99	14.6	7.6	.172	27.6	.976	.0510	< 0.048	< 0.24	.0800	8.9
56466	MK-04-11	36.2	.224	6.16	14.9	5.9	.185	24.6	3.48	.0820	< 0.049	< 0.25	.184	6.7
56467	MK-04-11	37.7	.476	8.60	10.7	1.5	.0987	25.9	4.04	.0890	< 0.05	< 0.25	.224	7.9
56468	MK-04-11	35.2	.216	6.96	15.6	8.3	.217	24.1	3.33	.0690	< 0.042	< 0.21	.286	6.6
56468	MK-04-11	35.0	.215	6.97	15.6	8.2	.215	24.1	3.13	.0730	< 0.042	< 0.21	.260	6.6
56469	MK-04-11	46.3	1.48	14.5	16.0	.1	.233	6.83	8.46	2.67	.561	< 0.25	.308	2.7
56470	MK-04-11	32.1	.213	6.20	15.0	8.4	.163	29.3	.803	.0510	< 0.047	< 0.23	.117	9.3
56471	MK-04-11	30.0	.184	6.28	13.6	8.9	.144	25.9	2.69	.0630	< 0.044	< 0.22	.120	9.1
56472	MK-04-11	27.5	.263	8.58	17.0	14.1	.231	22.5	2.65	.0560	< 0.043	< 0.22	.0910	7.3
56473	MK-04-11	33.5	.313	4.29	10.7	2.6	.128	27.9	5.88	.0430	< 0.039	< 0.19	.125	13.0
56474	MK-04-11	34.3	.169	5.01	12.6	3.9	.164	28.7	2.98	.0440	< 0.046	< 0.23	.127	10.6
56475	MK-04-11	28.1	.298	7.29	17.1	11.2	.310	24.0	2.26	.0570	< 0.039	< 0.2	.0570	8.9
56476	MK-04-11	36.7	.157	4.51	12.2	1.9	.141	30.5	2.44	.0520	< 0.045	< 0.22	.176	10.6
56477	MK-04-11	34.6	.122	4.10	10.2	2.0	.135	27.4	7.37	.0680	< 0.049	< 0.24	.142	14.1
56478	MK-04-11	29.7	.260	7.19	15.6	10.7	.211	24.8	1.64	.0920	< 0.044	< 0.22	.0740	8.1
56479	MK-04-11	36.3	.174	5.13	12.8	2.8	.123	28.8	3.82	.0860	< 0.043	< 0.21	.507	10.1
56479	MK-04-11	36.4	.174	5.09	12.6	2.8	.123	28.9	3.56	.0900	< 0.043	< 0.21	.494	10.1
56480	MK-04-11	17.4	.404	11.8	21.7	20.0	.410	17.3	2.00	.321	.0500	< 0.22	.200	5.3
56481	MK-04-11	35.2	.158	4.46	12.2	2.8	.130	29.1	2.83	.0530	< 0.048	< 0.24	.254	10.8
56482	MK-04-11	34.2	.178	4.41	12.7	3.4	.134	28.3	3.34	.0470	< 0.042	< 0.21	.214	10.7
56483	MK-04-11	21.9	.339	9.88	22.8	17.5	.401	18.4	2.25	.0590	< 0.042	< 0.21	.195	5.8

Laboratoire INRS-ETE

Type échantillon Chromitites

Projet: Pro-Or

Date remise: 25-févr-05

Échantillon	Cr	Co	Cu	Ni	Zn	Sc	V	Ba	Sr	Zr
	ppm	ppm	ppm	ppm	ppm	ppm	ppm	ppm	ppm	ppm
56452	79671.	197.	494.	1936.	432.	13.5	400.	11.5	44.0	< 28.2
56453	36185.	143.	602.	1718.	126.	12.9	194.	10.3	14.4	< 28.6
56454	56648.	164.	247.	1913.	172.	13.0	285.	10.8	9.70	< 28
56455	53521.	154.	565.	1491.	234.	14.0	280.	16.2	20.4	< 27.9
56456	143533.	193.	1537.	1953.	350.	18.4	660.	51.3	75.1	< 29
56457	64483.	171.	998.	1673.	188.	12.5	320.	10.5	29.8	< 29.4
56458	140549.	216.	813.	1781.	451.	16.9	660.	52.5	45.1	< 24.2
56459	35499.	131.	263.	1330.	88.4	15.8	222.	9.70	20.2	< 26.9
56460	29358.	143.	81.7	1302.	113.	15.4	176.	12.9	19.9	< 28.8
56461	19202.	137.	170.	1309.	73.0	14.2	120.	10.6	11.0	< 29
56462	44264.	137.	131.	1225.	208.	14.9	215.	< 9.5	33.8	< 28.5
56463	2074.	< 80	251.	807.	< 24	32.2	180.	8.10	26.3	144.
56465	52079.	147.	146.	1494.	163.	13.1	272.	< 9.7	21.4	< 29
56466	40598.	136.	79.5	1356.	163.	14.8	245.	< 9.8	13.6	< 29.4
56467	9942.	110.	574.	979.	33.6	22.6	124.	< 10	31.2	68.8
56468	56491.	180.	285.	1589.	250.	15.6	322.	< 8.4	15.6	< 25.1
56468	55766.	180.	298.	1588.	204.	15.2	298.	9.70	15.2	< 25.1
56469	402.	101.2	322.	< 253	62.1	44.4	392.	220.	245.	62.2
56470	57138.	151.	407.	1605.	183.	13.5	287.	10.9	21.5	< 28.1
56471	60853.	144.	410.	1608.	164.	13.1	305.	10.3	26.0	< 26.2
56472	96496.	189.	335.	1835.	289.	14.3	482.	8.80	26.8	< 25.8
56473	17998.	114.	306.	1402.	48.4	14.4	126.	< 7.8	97.4	< 23.3
56474	26992.	129.	129.	1241.	84.9	14.3	152.	9.90	42.8	< 27.6
56475	76495.	172.	123.	1278.	326.	16.1	421.	10.6	25.9	< 23.4
56476	12970.	115.	185.	1204.	39.8	15.0	111.	12.9	39.8	< 27
56477	13913.	< 97.7	500.	1056.	44.3	11.8	< 97.7	11.8	112.	< 29.3
56478	73294.	149.	205.	1477.	205.	15.5	401.	10.6	15.7	< 26.2
56479	19322.	143.	779.	2085.	116.	15.8	147.	< 8.5	39.6	< 25.6
56479	19168.	159.	813.	2031.	68.1	15.7	144.	< 8.5	39.1	< 25.6
56480	137044.	212.	547.	2666.	508.	14.0	694.	31.3	42.0	< 26.2
56481	19031.	129.	909.	1540.	95.8	14.4	142.	10.5	38.2	< 28.8
56482	23539.	137.	1218.	1622.	82.1	13.6	172.	< 8.4	37.9	< 25.1
56483	119708.	267.	789.	2542.	551.	13.8	671.	9.10	16.0	< 25

Laboratoire INRS-ETE

Type échantillons: Chromitites

Projet: Pro-Or

Date remise: 25-févr-05

Échantillon	Forage	SiO2	TiO2	Al2O3	Fe2O3T	Cr2O3	MnO	MgO	CaO	Na2O	K2O	P2O5	S	PAF
		%	%	%	%		%	%	%	%	%	%	%	%
56484	MK-04-11	41.5	.219	2.81	10.3	3.4	.150	26.3	5.29	.0840	< 0.047	< 0.24	.287	8.0
56485	MK-04-11	37.2	.201	4.17	13.7	2.2	.158	30.5	1.89	.0410	< 0.042	< 0.21	.226	10.2
56486	MK-04-11	37.2	.106	3.81	12.0	1.0	.149	29.5	3.31	.0710	< 0.045	< 0.22	.180	10.9
56493	MK-04-12	45.3	.248	7.05	12.7	.4	.175	23.7	5.42	.103	< 0.051	< 0.25	.450	6.0
56494	MK-04-12	45.8	.238	7.33	11.5	.6	.176	25.0	5.01	.133	< 0.048	< 0.24	.174	6.2
56495	MK-04-12	44.2	.181	6.16	10.6	.4	.150	23.6	4.59	.0930	< 0.036	< 0.18	.505	6.3
56496	MK-04-12	45.0	.232	6.63	11.1	.4	.180	24.3	5.41	.394	.0530	< 0.23	.328	5.9
56497	MK-04-12	44.0	.325	6.75	11.4	.4	.182	23.8	5.29	.378	.0640	< 0.23	.302	5.8
64018	MK-04-12	43.3	.176	6.79	10.3	.5	.166	23.8	7.48	.405	.0560	< 0.22	.112	5.9
64019	MK-04-12	41.7	.897	5.59	9.88	.4	.171	26.3	5.27	.0790	< 0.045	< 0.22	.325	7.8
64020	MK-04-12	18.2	1.30	1.99	13.4	.2	.321	19.4	15.3	.316	< 0.049	< 0.24	3.66	17.2
64020	MK-04-12	18.0	1.67	1.96	12.8	.2	.358	19.6	16.1	.0630	< 0.044	< 0.22	3.05	17.2
64021	MK-04-12	36.9	.129	3.30	10.3	.5	.144	27.9	5.62	.0480	< 0.043	< 0.22	.275	13.0
64022	MK-04-12	40.7	.124	3.80	12.1	.3	.121	32.2	1.75	.0400	< 0.047	< 0.24	.226	10.7
64023	MK-04-12	37.7	.118	3.41	11.3	.4	.149	31.4	3.12	.0420	< 0.044	< 0.22	.237	12.3
64024	MK-04-12	35.2	.186	2.98	9.54	.4	.181	29.2	6.28	.0630	< 0.04	< 0.2	.349	14.6
64025	MK-04-12	37.6	.155	3.59	11.6	.5	.157	31.5	2.25	.0230	< 0.043	< 0.22	.163	11.7
64026	MK-04-12	37.1	.104	4.16	11.8	1.7	.173	30.2	3.64	.0410	< 0.038	< 0.19	.250	12.4
64027	MK-04-12	36.8	.118	4.60	11.5	2.9	.150	29.5	3.17	.0530	< 0.043	< 0.22	.167	11.2
64028	MK-04-12	28.0	.341	7.73	18.7	11.9	.332	23.6	2.60	.296	.0540	< 0.21	.200	7.2
64029	MK-04-12	30.6	.180	6.00	14.5	7.8	.191	27.4	1.55	.0560	< 0.045	< 0.22	.108	9.6
64030	MK-04-12	28.5	.196	6.45	15.2	10.1	.197	26.2	1.77	.0470	< 0.047	< 0.24	.0700	9.4
64031	MK-04-12	30.9	.193	6.00	14.1	8.7	.157	27.1	2.99	.0620	< 0.045	< 0.22	.138	10.0
64032	MK-04-12	24.0	.368	11.2	18.2	19.3	.259	19.6	2.52	.0830	< 0.044	< 0.22	.0820	4.7
64033	MK-04-12	33.9	.196	5.47	11.6	5.5	.133	28.0	4.26	.0930	< 0.046	< 0.23	.0730	10.8
64034	MK-04-12	37.3	.176	4.87	12.8	2.8	.148	30.9	2.48	.0820	< 0.045	< 0.23	.154	10.3
64035	MK-04-12	34.5	.240	5.53	14.7	5.4	.216	29.0	1.89	.0590	< 0.037	< 0.19	.0910	9.3
64036	MK-04-12	35.5	.157	4.73	11.7	2.7	.145	28.8	3.00	.0640	< 0.051	< 0.25	.131	10.8
64037	MK-04-12	32.4	.255	6.02	15.3	7.2	.238	27.4	1.13	.0590	< 0.049	< 0.25	.0990	8.9
64038	MK-04-12	37.8	.144	4.57	11.5	2.2	.134	28.5	2.82	.0700	< 0.05	< 0.25	.162	10.1
64039	MK-04-12	36.9	.154	4.75	12.0	3.0	.122	29.5	1.89	.0650	< 0.051	< 0.26	.122	10.1
64040	MK-04-12	22.4	.375	11.2	19.6	19.0	.291	20.5	1.85	.339	.0670	< 0.21	.121	5.6

Laboratoire INRS-ETE

Type échantillon: Chromitites

Projet: Pro-Or

Date remise: 25-févr-05

Echantillon	Cr	Co	Cu	Ni	Zn	Sc	V	Ba	Sr	Zr
	ppm	ppm	ppm	ppm	ppm	ppm	ppm	ppm	ppm	ppm
56484	23100.	139.	1911.	2287.	144.	11.0	136.	11.1	32.8	39.1
56485	15248.	160.	307.	1404.	140.	11.8	121.	8.90	23.8	< 24.9
56486	7109.	127.	239.	1099.	46.7	12.9	< 89.3	11.4	29.8	< 26.8
56493	3077.	169.	80.2	878.	97.7	22.0	118.	< 10.1	12.4	< 30.4
56494	4321.	102.	186.	861.	142.	20.9	123.	14.1	13.4	< 29
56495	2488.	108.	1057.	831.	103.	18.6	99.8	10.5	10.8	< 21.5
56496	2817.	102.	124.	844.	101.	23.8	113.	56.3	38.3	< 27.3
56497	2544.	126.	166.	839.	109.	23.5	123.	653.	44.2	< 27.3
64018	3370.	99.5	206.	422.	66.7	30.5	111.	57.3	39.6	< 26
64019	2456.	124.	1521.	1077.	46.4	16.3	< 89.4	9.40	29.2	< 26.8
64020	1398.	223.	<u>29820.</u>	1442.	133.	8.60	< 97.3	58.8	543.	< 29.2
64020	1347.	149.	<u>24511.</u>	1401.	152.	7.80	< 87.1	14.9	543.	< 26.1
64021	3685.	138.	940.	1290.	78.5	14.7	< 86.7	14.0	85.1	< 26
64022	2153.	129.	138.	1428.	52.4	15.5	< 94.6	9.60	19.4	< 28.4
64023	2613.	119.	318.	1338.	94.8	14.3	< 88.8	10.4	66.8	< 26.6
64024	2927.	95.6	2591.	1026.	93.3	13.4	< 80.1	15.3	182.	< 24
64025	3542.	95.5	124.	1313.	77.8	14.4	< 86.4	< 8.6	31.3	< 25.9
64026	11927.	116.	288.	1312.	115.	13.2	79.6	8.60	71.3	< 22.8
64027	19593.	112.	412.	1279.	115.	13.5	119.	8.80	51.1	< 26
64028	81270.	238.	110.	2349.	373.	15.8	399.	51.5	39.0	< 24.9
64029	53279.	171.	237.	1517.	274.	11.7	258.	13.8	24.6	< 26.8
64030	68768.	149.	155.	1272.	252.	13.2	349.	12.1	27.6	< 28.2
64031	59772.	149.	918.	1549.	199.	13.0	288.	13.0	46.9	< 26.9
64032	132025.	190.	699.	1505.	352.	17.9	630.	9.80	< 8.8	< 26.5
64033	37342.	105.	403.	1345.	164.	15.8	238.	12.6	72.2	< 27.4
64034	19133.	140.	149.	1236.	130.	15.9	155.	17.0	33.0	< 27.2
64035	37014.	147.	71.1	1243.	203.	15.8	251.	8.30	19.9	< 22.5
64036	18251.	112.	140.	1177.	70.9	14.4	121.	11.4	44.4	< 30.4
64037	49144.	154.	61.0	1308.	190.	14.8	281.	< 9.9	13.2	< 29.6
64038	15323.	115.	241.	1215.	147.	14.8	111.	< 10	29.3	< 30.1
64039	20360.	125.	296.	1310.	67.8	14.5	135.	< 10.3	32.6	< 30.8
64040	130243.	205.	< 41.3	1384.	401.	15.6	630.	55.1	35.3	31.7

Laboratoire INRS-ETE

Type échantillons: Chromitites

Projet: Pro-Or

Date remise: 25-févr-05

Échantillon	Forage	SiO2 %	TiO2 %	Al2O3 %	Fe2O3T %	Cr2O3	MnO %	MgO %	CaO %	Na2O %	K2O %	P2O5 %	S %	PAF %
64041	MK-04-12	27.2	.317	8.96	16.6	13.7	.219	24.3	1.50	.100	< 0.048	< 0.24	.100	7.3
64042	MK-04-12	33.6	.262	6.23	14.4	6.1	.154	27.7	1.58	.0730	< 0.049	< 0.25	.198	8.8
64043	MK-04-12	37.5	.179	4.89	11.9	2.0	.0854	28.5	2.76	.0980	< 0.052	< 0.26	.535	9.2
64044	MK-04-12	19.3	.429	11.2	22.0	18.5	.391	17.3	1.34	.0700	< 0.052	< 0.26	.203	5.6
64045	MK-04-12	34.7	.210	4.63	11.6	2.2	.124	28.2	3.96	.276	.0640	< 0.2	.287	10.4
64045	MK-04-12	35.3	.221	4.74	11.1	2.1	.126	27.1	4.67	.0640	< 0.051	< 0.25	.256	10.4
64046	MK-04-12	36.0	.202	4.79	14.0	3.1	.158	28.3	2.47	.0470	< 0.051	< 0.26	.218	9.7
64047	MK-04-12	33.1	.249	6.31	14.5	6.1	.170	26.9	2.33	.0700	< 0.048	< 0.24	.252	8.7
64048	MK-04-12	16.5	.803	11.8	26.3	19.9	.456	16.8	.667	.0270	< 0.05	< 0.25	.144	5.4
64049	MK-04-12	18.0	.451	4.59	11.2	2.1	.190	18.3	17.3	.0620	.0490	< 0.24	2.58	17.6
64049	MK-04-12	17.9	.395	4.60	11.1	2.5	.190	18.2	16.6	.304	.0640	< 0.24	2.54	17.6
64050	MK-04-12	36.5	.176	4.18	12.9	2.6	.163	27.8	4.94	.0920	< 0.051	< 0.26	.229	11.0
64051	MK-04-12	37.7	.164	4.29	13.0	.7	.145	30.0	2.33	.0500	< 0.051	< 0.25	.142	10.4
64052	MK-04-12	41.4	.371	4.75	9.46	.3	.144	29.4	3.58	.164	.0690	< 0.26	.161	9.5
64057	MK-04-13	48.2	.958	15.0	13.4	.0	.201	5.70	8.19	1.22	.574	< 0.22	.834	3.7
64058	MK-04-13	65.9	.301	12.8	4.59	.1	.0724	2.72	2.90	3.48	1.17	< 0.25	.136	1.8
64058	MK-04-13	65.5	.303	13.0	4.67	.1	.0748	2.80	2.93	3.58	1.03	< 0.25	.144	1.8
64059	MK-04-13	63.9	.390	14.9	4.41	.0	.0649	2.51	3.23	4.36	1.43	< 0.23	.171	2.9
64060	MK-04-13	48.3	.906	12.7	14.3	.0	.186	6.16	8.60	.324	.211	< 0.24	.444	6.2
64065	MK-04-13	39.3	.143	4.01	11.6	.3	.165	31.1	1.86	.0610	< 0.045	< 0.22	.119	11.5
64066	MK-04-13	39.5	.110	4.31	12.3	.7	.152	30.4	1.55	.0800	< 0.044	< 0.22	.137	10.8
64067	MK-04-13	35.8	.0898	3.87	10.3	.5	.155	28.6	5.05	.0540	< 0.051	< 0.25	.191	13.0
64068	MK-04-13	37.8	.0876	4.35	11.2	.6	.113	30.7	2.61	.0540	< 0.051	< 0.25	.286	11.9
64069	MK-04-13	31.8	.201	6.86	16.7	8.4	.251	26.4	1.31	.0640	< 0.047	< 0.24	.276	8.1
64070	MK-04-13	31.4	.174	5.42	14.6	7.6	.191	28.5	.220	.0390	< 0.043	< 0.21	.119	9.2
64071	MK-04-13	30.2	.183	6.20	15.3	9.2	.182	27.2	.623	.0490	< 0.05	< 0.25	.142	9.6
64072	MK-04-13	31.0	.189	6.23	15.1	9.2	.166	27.7	1.14	.0560	< 0.045	< 0.22	.161	9.1
64073	MK-04-13	25.1	.320	9.75	18.5	15.6	.287	22.2	1.35	.0740	< 0.045	< 0.22	.0800	6.6
64074	MK-04-13	34.4	.166	4.62	11.8	2.6	.115	30.7	2.11	.355	.0860	< 0.23	.292	10.8
64075	MK-04-13	36.1	.171	4.05	12.2	1.5	.154	31.0	2.18	.319	.0740	< 0.21	.338	10.7
64076	MK-04-13	34.9	.176	4.29	12.7	2.2	.189	30.3	2.41	.267	.0740	< 0.2	.230	10.9
64077	MK-04-13	36.7	.150	4.42	12.3	2.3	.124	30.1	2.10	.0720	< 0.044	< 0.22	.173	10.2

Laboratoire INRS-ETE

Type échantillon: Chromitites

Projet: Pro-Or

Date remise: 25-févr-05

Échantillon	Cr	Co	Cu	Ni	Zn	Sc	V	Ba	Sr	Zr
	ppm	ppm	ppm	ppm	ppm	ppm	ppm	ppm	ppm	ppm
64041	93727.	183.	315.	1429.	312.	15.8	497.	15.2	19.1	< 28.6
64042	41688.	154.	362.	1800.	160.	15.3	257.	10.1	22.4	< 29.6
64043	13459.	205.	1423.	3332.	42.3	15.3	119.	11.8	28.5	< 31
64044	126699.	202.	1099.	2069.	439.	14.7	696.	< 10.3	15.9	< 30.9
64045	15204.	129.	1234.	1366.	101.	15.8	138.	42.6	91.5	< 23.5
64045	14421.	121.	1032.	1412.	203.	14.6	120.	10.5	88.2	< 30.5
64046	21113.	138.	438.	1299.	155.	13.9	163.	< 10.3	44.8	< 30.8
64047	41441.	172.	1800.	2012.	301.	16.5	282.	9.90	36.8	< 28.9
64048	136200.	233.	180.	2617.	596.	9.80	845.	11.4	10.6	< 30.1
64049	14532.	156.	<u>24558.</u>	3166.	290.	11.0	< 96	< 9.6	461.	150.
64049	16903.	197.	<u>25714.</u>	3671.	141.	10.7	115.	55.6	477.	119.
64050	17620.	125.	520.	1245.	441.	12.6	138.	15.2	111.	< 30.8
64051	4680.	147.	135.	1334.	194.	14.3	< 102	< 10.2	58.5	< 30.6
64052	1930.	103.5	338.	1478.	185.	9.70	< 103.5	25.5	160.	47.3
64057	264.	94.8	426.	< 224.3	133.	41.1	259.	137.	301.	70.0
64058	485.	< 99.7	215.	< 249.2	93.3	7.50	< 99.7	311.	202.	126.
64058	529.	< 99.7	210.	< 249.2	85.4	5.60	< 99.7	308.	203.	131.
64059	196.	< 92.3	218.	< 230.7	69.3	11.7	< 92.3	326.	243.	104.
64060	178.	< 97.5	161.	< 243.7	87.6	39.3	286.	59.3	276.	44.0
64065	2293.	151.	85.2	1340.	< 26.9	15.0	< 89.6	12.6	12.6	< 26.9
64066	4974.	132.	410.	1491.	319.	14.1	< 88	13.3	11.8	< 26.4
64067	3242.	104.	< 50.9	1677.	< 30.6	11.7	< 101.9	< 10.2	48.9	< 30.6
64068	3952.	135.	1463.	1187.	< 30.4	12.6	< 101.5	11.4	34.4	< 30.4
64069	57198.	228.	1040.	2241.	311.	15.5	292.	13.1	< 9.5	< 28.4
64070	51839.	143.	294.	1598.	247.	13.6	269.	10.1	< 8.6	< 25.7
64071	63135.	157.	264.	1537.	331.	12.8	308.	11.9	< 10	< 30.1
64072	63138.	168.	435.	1557.	284.	13.2	307.	14.4	9.70	< 27
64073	106868.	184.	230.	1432.	348.	17.2	551.	10.6	< 8.9	< 26.8
64074	17943.	149.	108.	1388.	171.	15.2	142.	55.4	36.1	< 27.9
64075	10591.	159.	175.	1672.	130.	15.7	99.8	48.3	39.3	< 25.3
64076	15223.	150.	192.	1304.	136.	14.5	107.	43.4	36.1	29.5
64077	15819.	117.	262.	1236.	54.8	15.3	113.	9.70	13.7	< 26.2

Laboratoire INRS-ETE

Type échantillons: Chromitites

Projet: Pro-Or

Date remise: 25-févr-05

Échantillon	Forage	SiO2 %	TiO2 %	Al2O3 %	Fe2O3T %	Cr2O3	MnO %	MgO %	CaO %	Na2O %	K2O %	P2O5 %	S %	PAF %
64078	MK-04-13	35.3	.162	5.20	12.2	4.9	.114	30.4	1.64	.101	< 0.046	< 0.23	.136	9.6
64079	MK-04-13	22.3	.342	10.8	20.0	19.0	.294	18.7	1.48	.0940	< 0.043	< 0.21	.0710	5.2
64080	MK-04-13	26.4	.281	8.30	16.1	13.4	.203	24.0	1.28	.370	.0620	< 0.21	.105	6.6
64081	MK-04-13	29.2	.321	7.86	16.8	11.1	.220	24.9	1.09	.0990	< 0.045	< 0.23	.0650	7.1
64082	MK-04-13	36.2	.265	5.02	13.1	3.2	.111	28.6	2.66	.0920	< 0.044	< 0.22	.413	9.6
64083	MK-04-13	36.0	.240	5.53	13.7	3.8	.123	28.1	2.60	.111	< 0.05	< 0.25	.217	9.5
64084	MK-04-13	34.1	.266	4.99	14.0	3.8	.126	26.7	3.65	.0660	< 0.04	< 0.2	.277	10.1
64085	MK-04-13	22.8	.708	6.44	12.8	8.2	.224	16.9	16.5	.0980	< 0.043	< 0.21	.277	14.7
64086	MK-04-13	37.1	.192	5.04	10.3	2.3	.0966	27.8	5.07	.373	.102	< 0.24	.312	9.7
64087	MK-04-13	39.1	.204	5.23	10.2	2.3	.102	26.7	5.39	.168	< 0.049	< 0.25	.321	8.5
64088	MK-04-13	20.8	.398	11.3	21.6	17.0	.374	19.7	.888	.0460	< 0.045	< 0.23	.162	5.5
64089	MK-04-13	39.9	.180	5.39	10.9	2.5	.109	28.7	4.75	.0630	< 0.04	< 0.2	.207	9.5
64090	MK-04-13	35.1	.188	4.91	11.8	3.0	.118	25.7	4.15	.0640	< 0.043	< 0.21	.222	10.2
64090	MK-04-13	35.0	.188	5.35	12.4	3.3	.120	27.1	4.07	.253	.0740	< 0.17	.235	10.2
64091	MK-04-13	38.6	.163	4.99	11.6	3.7	.122	25.6	4.43	.0830	< 0.047	< 0.23	.257	8.8
64092	MK-04-13	35.7	.198	4.95	11.1	3.0	.126	26.9	4.37	.0790	< 0.047	< 0.23	.286	12.4
64093	MK-04-13	23.5	.231	7.04	15.0	7.6	.241	22.1	7.75	.0430	< 0.041	< 0.21	.207	14.1
64094	MK-04-13	36.8	.178	4.70	13.2	2.7	.119	27.9	2.79	.0450	< 0.045	< 0.22	.362	9.6
64095	MK-04-13	35.4	.192	5.09	13.8	4.0	.144	27.5	2.55	.0440	< 0.045	< 0.23	.269	9.8
64096	MK-04-13	30.6	.192	7.19	14.7	8.3	.223	23.2	4.72	.0300	< 0.039	< 0.2	.176	8.8
64097	MK-04-13	18.5	.509	11.0	24.8	19.5	.492	16.7	1.57	.0430	< 0.04	< 0.2	.105	4.8
64098	MK-04-13	36.3	.340	6.05	13.6	5.0	.183	24.2	5.31	.0400	< 0.041	< 0.2	.363	7.9
64099	MK-04-13	33.8	.236	4.74	10.7	1.9	.153	26.5	6.24	.0430	< 0.038	< 0.19	.197	14.1
64100	MK-04-13	34.5	.204	4.47	13.4	1.5	.159	28.5	3.55	.0770	< 0.045	< 0.22	.221	12.0
64122	MK-04-13	35.4	.0846	2.63	7.65	.3	.197	23.0	12.6	.304	.0730	< 0.2	.241	13.9
64143	MK-04-13	39.3	.0976	3.76	11.1	.6	.109	30.4	2.95	.0410	< 0.036	< 0.18	.287	10.8
64144	MK-04-13	38.9	.194	4.54	10.7	1.5	.118	32.4	2.53	.0520	< 0.047	< 0.24	.205	10.9
64145	MK-04-13	25.9	.312	8.88	21.7	15.8	.386	20.1	2.01	.0960	< 0.044	< 0.22	.134	5.0
64146	MK-04-13	34.0	.184	5.61	14.0	6.8	.180	30.6	1.08	.0630	< 0.045	< 0.22	.132	9.6
64147	MK-04-13	29.5	.180	6.17	14.9	9.3	.163	27.6	.544	.0590	< 0.045	< 0.23	.107	9.2
64148	MK-04-13	28.0	.205	7.55	15.0	11.6	.169	26.0	2.21	.0800	< 0.049	< 0.25	.125	8.7
64149	MK-04-13	19.3	.429	12.7	19.5	21.9	.315	19.8	.911	.0480	< 0.05	< 0.25	.115	5.4
64150	MK-04-13	32.3	.215	6.22	11.8	7.0	.147	26.4	5.69	.0790	< 0.046	< 0.23	.128	10.8

Laboratoire INRS-ETE

Type échantillon: Chromitites

Projet: Pro-Or

Date remise: 25-févr-05

Échantillon	Cr	Co	Cu	Ni	Zn	Sc	V	Ba	Sr	Zr
	ppm	ppm	ppm	ppm	ppm	ppm	ppm	ppm	ppm	ppm
64078	33577.	136.	962.	1261.	110.	14.6	195.	11.4	11.0	< 27.3
64079	130004.	210.	160.	1685.	486.	14.8	666.	14.9	< 8.6	< 25.8
64080	91326.	157.	285.	1409.	361.	14.5	467.	32.6	30.1	< 25.7
64081	75977.	166.	318.	1656.	459.	14.7	440.	10.2	< 9.1	27.6
64082	21666.	128.	823.	1733.	144.	15.7	168.	12.6	15.5	< 26.2
64083	26017.	119.	221.	1342.	155.	15.8	186.	15.0	13.7	< 30
64084	26181.	109.	164.	1230.	157.	14.8	192.	8.90	19.9	< 24.3
64085	56222.	137.	1515.	1843.	222.	14.6	329.	14.6	66.1	< 25.7
64086	15528.	132.	979.	1379.	137.	17.0	125.	52.5	52.8	< 29
64087	15996.	< 98.5	1235.	1375.	177.	18.2	133.	12.6	17.1	< 29.5
64088	116503.	189.	368.	2528.	441.	17.8	662.	10.2	< 9.1	< 27.2
64089	17105.	101.	770.	1236.	109.	16.9	161.	11.4	20.1	< 23.8
64090	20241.	117.	449.	1379.	125.	14.8	168.	10.1	21.5	< 25.7
64090	22620.	133.	197.	1395.	126.	15.7	173.	36.7	37.9	< 20.6
64091	25154.	113.	675.	1187.	179.	15.5	186.	11.7	21.6	< 28.1
64092	20733.	104.	1006.	1280.	131.	16.7	171.	10.7	31.6	< 28
64093	51861.	143.	195.	1470.	319.	13.7	331.	< 8.3	69.5	< 24.8
64094	18194.	133.	756.	1493.	167.	16.0	157.	< 9	14.9	< 27
64095	27516.	157.	779.	1739.	161.	14.5	200.	< 9.1	17.5	< 27.2
64096	56690.	169.	352.	1918.	276.	15.5	366.	8.20	34.8	< 23.6
64097	133482.	219.	65.0	1966.	622.	15.2	814.	< 8.1	10.6	< 24.2
64098	34459.	155.	1637.	1659.	217.	17.4	267.	< 8.1	33.9	< 24.3
64099	13225.	98.8	200.	1190.	109.	14.4	137.	9.30	63.2	< 22.9
64100	10391.	117.	134.	1231.	115.	15.3	121.	10.5	34.8	< 27
64122	2340.	109.	89.8	781.	99.2	13.1	< 81.4	44.0	66.5	< 24.4
64143	4437.	132.	264.	1634.	53.8	14.8	< 71.5	9.50	34.4	< 21.4
64144	10300.	101.	414.	1675.	75.9	15.1	< 94.5	10.3	35.3	34.3
64145	107983.	281.	54.8	2121.	571.	14.7	571.	14.1	< 8.9	< 26.6
64146	46626.	170.	589.	1686.	253.	14.5	263.	10.3	13.2	< 26.8
64147	63386.	172.	305.	1509.	297.	12.4	344.	14.1	12.4	< 27.2
64148	79536.	196.	594.	1598.	301.	13.7	431.	11.1	36.4	< 29.7
64149	149914.	191.	592.	1722.	533.	20.6	797.	< 10.1	< 10.1	< 30.2
64150	47726.	153.	736.	1338.	190.	16.1	316.	14.6	68.5	< 27.9

Laboratoire INRS-ETE														
Projet: Pro-Or														
		Type échantillons: Chromitites												
		Date remise: 25-févr-05												
Échantillon	Forage	SiO2	TiO2	Al2O3	Fe2O3T	Cr2O3	MnO	MgO	CaO	Na2O	K2O	P2O5	S	PAF
		%	%	%	%		%	%	%	%	%	%	%	%
64151	MK-04-13	35.0	.160	4.74	12.9	3.7	.152	29.6	2.88	.0710	< 0.045	< 0.23	.147	11.1
64152	MK-04-13	35.8	.207	5.29	12.9	4.6	.156	30.1	2.26	.0750	< 0.046	< 0.23	.115	9.8
64153	MK-04-13	25.4	.316	9.44	18.1	13.9	.327	22.2	2.53	.0880	< 0.043	< 0.22	.0810	7.3
64154	MK-04-13	37.1	.166	4.43	12.3	2.1	.125	31.3	2.17	.0720	< 0.045	< 0.23	.208	10.8
64155	MK-04-13	37.3	.154	4.59	11.8	2.5	.125	30.2	2.96	.0760	< 0.044	< 0.22	.155	10.7
64156	MK-04-13	35.2	.148	6.50	12.0	6.6	.127	29.9	1.83	.118	< 0.045	.360	.0830	9.3
64157	MK-04-13	25.1	.325	10.1	17.2	15.7	.242	21.5	3.61	.105	< 0.044	< 0.22	.0680	6.9
64158	MK-04-13	28.2	.312	8.24	17.1	13.2	.219	23.9	1.90	.0870	< 0.035	< 0.17	.0690	6.9
64159	MK-04-13	38.7	.187	5.09	13.2	3.4	.117	28.0	3.19	.104	< 0.042	< 0.21	.400	8.2
64160	MK-04-13	46.9	.177	5.28	7.66	1.8	.0816	25.9	7.42	.119	< 0.042	< 0.21	.290	5.7
64161	MK-04-13	17.1	.353	13.3	25.0	21.4	.481	16.1	.938	.0840	< 0.042	< 0.21	.116	4.8
64162	MK-04-13	37.6	.585	10.5	11.4	.3	.101	26.0	4.68	.143	< 0.047	.430	.206	8.1
64163	MK-04-13	33.2	.740	11.1	11.5	.4	.0982	25.9	3.51	.330	.0870	.400	.425	8.5
64164	MK-04-13	12.7	<u>30.4</u>	2.43	36.8	.1	1.24	8.25	2.44	.321	.0920	< 0.23	2.34	1.3
64165	MK-04-13	46.0	.205	5.17	9.30	.6	.0974	25.8	6.39	.0860	< 0.044	< 0.22	.209	6.0
64166	MK-04-13	43.5	.139	4.84	11.4	1.1	.122	27.3	4.39	.0790	< 0.043	< 0.22	.223	6.7
Standards internationaux														
AGV-2		59.2	1.04	16.9	6.72	.0	.0991	1.76	5.17	4.22	3.31	.477	< 0.0067	
AGV-2		59.0	1.02	16.7	6.64	.0	.0979	1.78	5.10	4.25	1.99	.483	< 0.0067	
BCR-2		53.8	2.27	13.5	13.7	.0	.196	3.57	7.00	3.16	1.81	.354	.0235	
BCR-2		53.8	2.26	13.5	13.7	.0	.194	3.57	7.04	3.17	1.71	.353	.0284	
BCR-2		54.3	2.24	13.4	13.7	.0	.197	3.65	7.05	3.21	1.25	.356	.0209	
Sarm8		4.65	.221	9.67	19.0	46.0	.237	13.8	.447	.303	< 0.047	< 0.23	.105	
Sarm8		4.70	.221	9.65	19.1	46.5	.234	13.8	.480	.341	.133	< 0.23	.102	
Sarm8		5.06	.233	9.92	19.7	47.8	.245	14.1	.570	.341	< 0.052	< 0.26	.107	

Laboratoire INRS-ETE

Type échantillon: Chromitites

Projet: Pro-Or

Date remise: 25-févr-05

Échantillon	Cr	Co	Cu	Ni	Zn	Sc	V	Ba	Sr	Zr
	ppm	ppm	ppm	ppm	ppm	ppm	ppm	ppm	ppm	ppm
64151	25410.	129.	130.	1124.	114.	15.7	180.	9.90	44.1	< 27.2
64152	31192.	144.	106.	1380.	139.	15.5	209.	9.30	31.9	< 27.5
64153	94758.	197.	118.	1517.	310.	16.4	550.	10.9	34.9	< 25.9
64154	14555.	146.	228.	1283.	86.4	16.3	122.	< 9	38.6	< 27.1
64155	17070.	131.	262.	1259.	88.2	15.5	128.	11.7	38.7	< 26.2
64156	45415.	116.	165.	1362.	166.	14.4	268.	13.3	28.5	< 26.8
64157	107654.	195.	64.8	1634.	330.	16.2	590.	13.6	45.9	< 26.2
64158	89971.	178.	118.	1275.	291.	14.4	524.	11.0	16.5	< 20.9
64159	23066.	132.	1077.	2074.	140.	15.5	189.	10.6	17.2	< 25
64160	12632.	119.	1403.	2071.	61.6	14.1	92.0	9.80	31.8	< 25.1
64161	146658.	278.	43.4	2592.	723.	14.6	888.	9.80	13.8	28.8
64162	2330.	< 94.9	841.	1078.	51.5	30.0	154.	10.1	44.4	93.2
64163	2480.	132.	2919.	933.	32.5	31.1	141.	42.9	53.9	100.
64164	762.	242.	<u>23126.</u>	1156.	69.6	32.0	108.	46.2	58.1	< 27.2
64165	4267.	96.5	738.	998.	48.7	17.8	91.8	9.40	34.3	< 26.7
64166	7393.	156.	452.	1555.	70.2	14.4	111.	< 8.6	25.7	< 25.8
Standards internationaux										
AGV-2	20.8	19.5	56.2	< 33.3	103.	12.6	128.	1131.	660.	228.
AGV-2	24.5	14.8	81.5	71.3	98.6	12.1	117.	1143.	661.	234.
BCR-2	29.5	43.5	30.8	< 30.3	167.	33.1	454.	681.	336.	184.
BCR-2	25.0	43.8	30.5	< 30.3	143.	32.6	404.	671.	338.	168.
BCR-2	22.4	38.0	34.3	< 35	149.	32.1	403.	687.	343.	190.
Sarm8	314645.	238.	78.1	1377.	1007.	6.20	727.	55.0	36.7	44.3
Sarm8	317938.	270.	79.7	1356.	979.	6.70	640.	72.3	35.9	49.6
Sarm8	326643.	263.	274.	1452.	1110.	6.10	664.	63.4	38.1	< 31.1

Laboratoire INRS-ETE

Projet: Pro-Or

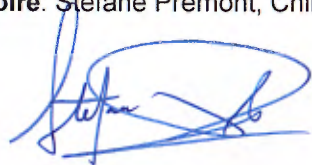
Type échantillons: Chromitites

Date remise: 25-févr-05

Analyste: Réal Gosselin

Préparation: Omer S. Ndzangou

Responsable du laboratoire: Stéfane Prémont, Chimiste



**ANNEXE III RÉSULTATS ANALYTIQUES ET CERTIFICATS D'ANALYSE
(CHIMITEC)**

VO05007409 - Finalized

CLIENT : RESPRO - Ressources Minières Pro-Or Inc.

of SAMPLES : 143

DATE RECEIVED : 2005-02-01

PROJECT : MÉNARIK

CERTIFICATE COMMENTS : NSS is non-sufficient sample.

PO NUMBER :

	PGM-ICP23	PGM-ICP23	PGM-ICP23
SAMPLE	Au	Pt	Pd
DESCRIPTION	ppm	ppm	ppm
55679	0.014	0.013	0.017
55682	0.002	0.024	0.068
55683	0.051	0.011	0.16
55684	0.001	0.01	0.011
55685	0.002	0.005	0.011
55686	-0.001	0.029	0.011
55687	-0.001	0.035	0.041
55688	NSS	NSS	NSS
55689	NSS	NSS	NSS
55690	NSS	NSS	NSS
55691	-0.001	0.02	0.061
55692	NSS	NSS	NSS
55764	0.003	0.009	0.01
55765	0.005	0.027	0.139
55766	NSS	NSS	NSS
55767	NSS	NSS	NSS
55768	NSS	NSS	NSS
55769	NSS	NSS	NSS
55770	NSS	NSS	NSS
55771	NSS	NSS	NSS
55772	NSS	NSS	NSS
55773	0.003	0.021	0.047
55774	0.003	0.051	0.098
55775	NSS	NSS	NSS
55776	0.007	0.006	0.023
55777	0.004	0.006	0.038
55778	NSS	NSS	NSS
55779	NSS	NSS	NSS
55780	NSS	NSS	NSS
55781	NSS	NSS	NSS
55782	NSS	NSS	NSS
55783	0.009	0.145	0.438
55784	-0.001	0.016	0.08
55867	-0.001	0.013	0.003
55868	-0.001	0.018	0.105
55869	NSS	NSS	NSS
55870	NSS	NSS	NSS
55871	NSS	NSS	NSS
55872	NSS	NSS	NSS
55873	NSS	NSS	NSS

55874	NSS	NSS	NSS
55875	NSS	NSS	NSS
55876	0.002	0.035	0.065
55877	NSS	NSS	NSS
55878	-0.001	0.019	0.039
55879	NSS	NSS	NSS
55880	0.023	0.014	0.023
55881	NSS	NSS	NSS
55882	NSS	NSS	NSS
55883	NSS	NSS	NSS
55884	NSS	NSS	NSS
55885	NSS	NSS	NSS
55924	-0.001	0.007	0.023
55925	0.01	0.027	0.049
55926	NSS	NSS	NSS
55927	NSS	NSS	NSS
55928	NSS	NSS	NSS
55929	NSS	NSS	NSS
55930	0.006	0.056	0.127
55931	0.001	0.019	0.038
55932	0.005	0.027	0.085
55933	NSS	NSS	NSS
55934	0.002	0.012	0.03
55935	0.004	0.023	0.05
55936	0.006	0.143	0.383
55937	0.013	0.272	1.435
55938	0.021	0.35	1.745
55939	0.007	0.089	0.47
55940	0.017	0.191	1.015
55941	0.007	0.149	0.864
55942	0.005	0.061	0.414
55943	0.007	0.171	0.937
55944	0.007	0.244	1.25
55945	0.008	0.413	1.785
55946	0.008	0.382	1.295
55947	-0.001	0.038	0.092
55948	-0.001	0.02	0.047
55949	-0.001	0.006	0.034
55950	-0.001	0.007	0.048
56017	-0.001	-0.005	0.006
56018	-0.001	0.012	0.023
56019	0.007	0.064	0.22
56020	0.004	0.071	0.187
56021	0.006	0.066	0.255
56022	0.004	0.13	0.437
56023	0.002	0.028	0.107
56024	0.002	0.028	0.072
56025	0.003	0.019	0.065
56026	0.003	0.099	0.249
56027	-0.001	0.016	0.043

56028	0.002	0.014	0.036
56029	0.008	0.097	0.313
56030	0.012	0.123	0.651
56031	0.026	0.384	1.35
56032	0.001	0.04	0.204
56033	0.002	-0.005	0.02
56034	-0.001	0.019	0.103
56035	0.002	0.02	0.075
56036	0.012	0.061	0.217
56037	0.02	0.048	0.132
56038	0.016	0.013	0.023
56039	0.004	0.037	0.106
56040	0.008	0.008	0.027
56041	0.007	0.111	0.347
56042	0.002	0.026	0.065
56043	0.001	0.032	0.096
56044	-0.001	0.013	0.035
56045	0.001	0.01	0.121
56046	0.006	0.144	0.456
56047	0.007	0.015	0.045
56048	0.001	0.086	0.265
56049	0.001	0.048	0.189
56050	0.001	0.063	0.22
56051	0.001	0.018	0.049
56052	0.001	0.015	0.068
56053	0.003	0.124	0.387
56054	0.001	0.033	0.082
56055	0.006	0.026	0.07
56056	-0.001	0.108	0.354
56057	0.001	0.073	0.22
56058	0.002	0.107	0.382
56059	0.005	0.054	0.36
56060	0.016	0.152	0.866
56061	0.023	0.287	1.33
56062	0.007	0.081	0.418
56063	-0.001	0.04	0.159
56064	0.003	0.046	0.226
56065	0.008	0.134	0.668
56066	0.009	0.124	0.708
56067	0.001	0.009	0.013
56068	-0.001	0.014	0.046
56069	-0.001	0.005	0.02
56070	-0.001	0.006	0.023
56071	-0.001	-0.005	0.005
56072	0.005	0.084	0.248
56073	0.015	0.195	0.923
56074	0.016	0.182	1.005
56075	0.01	0.131	0.541
56076	0.017	0.153	0.732
56077	0.016	0.104	0.737

56078	NSS	NSS	NSS
56079	0.011	0.079	0.261
56080	0.004	0.02	0.131

VO05007409 - Finalized

CLIENT : RESPRO - Ressources Minières Pro-Or Inc.

of SAMPLES : 143

DATE RECEIVED : 2005-02-01

PROJECT : MÉNARIK

CERTIFICATE COMMENTS : NSS is non-sufficient sample.

PO NUMBER :

	PGM-ICP23	PGM-ICP23	PGM-ICP23
SAMPLE	Au	Pt	Pd
DESCRIPTION	ppm	ppm	ppm
55769	NSS	NSS	NSS
55769	NSS	NSS	NSS
55771	NSS	NSS	NSS
55771	NSS	NSS	NSS
55871	NSS	NSS	NSS
55871	NSS	NSS	NSS
55884	NSS	NSS	NSS
55884	NSS	NSS	NSS
55945	0.008	0.413	1.785
55945	NSS	NSS	NSS
56031	0.026	0.384	1.35
56031	NSS	NSS	NSS
56051	0.001	0.018	0.049
56051	NSS	NSS	NSS

VO05007409 - Finalized

CLIENT : RESPRO - Ressources Minières Pro-Or Inc.

of SAMPLES : 143

DATE RECEIVED : 2005-02-01

PROJECT : MÉNARIK

CERTIFICATE COMMENTS : NSS is non-sufficient sample.

PO NUMBER :

	PGM-ICP23	PGM-ICP23	PGM-ICP23
SAMPLE	Au	Pt	Pd
DESCRIPTI	ppm	ppm	ppm
OXF28	0.766	-0.005	-0.001
OXF28	0.762	-0.005	0.001
PGMS-6	1.47	0.117	0.645
PGMS-6	1.32	0.124	0.622
OXF28	0.806	-0.005	0.001
OXF28	0.772	-0.005	0.001
PGMS-6	1.31	0.119	0.623
PGMS-6	1.29	0.128	0.637
OXK35	3.48	-0.005	0.001
PGMS-7	2.73	1	3.64
PGMS-7	2.71	1.065	3.77
OXK35	3.56	-0.005	0.006
OXK35	3.5	-0.005	-0.001
PGMS-7	2.61	1.015	3.82
PGMS-7	2.66	1.06	3.68
OXK35	3.34	-0.005	-0.001
BLANK	-0.001	-0.005	-0.001
BLANK	0.001	-0.005	-0.001
BLANK	-0.001	-0.005	-0.001
BLANK	-0.001	-0.005	0.001

VO05009460 - Finalized

CLIENT : RESPRO - Ressources Minières Pro-Or Inc.

of SAMPLES : 144

DATE RECEIVED : 2005-02-09

PROJECT : MÉNARIK

CERTIFICATE COMMENTS :

PO NUMBER :

SAMPLE DESCRIPTION	PGM-ICP23	PGM-ICP23	PGM-ICP23
	Au ppm	Pt ppm	Pd ppm
55608	0.006	0.036	0.095
55609	0.011	0.071	0.145
55610	0.002	0.009	0.026
55611	0.001	0.018	0.091
55612	-0.001	0.105	0.329
55613	0.003	0.072	0.283
55614	0.034	0.424	1.855
55615	0.002	0.074	0.304
55616	0.024	0.181	0.922
55617	0.031	0.601	1.96
55618	0.004	0.07	0.194
55619	0.015	0.022	0.068
55655	0.003	0.018	0.124
55656	0.009	0.032	0.147
55657	0.002	0.067	0.22
55693	0.082	0.144	0.459
55694	-0.001	0.02	0.053
55767	0.004	0.064	0.19
55934	-0.001	0.011	0.04
56293	0.011	0.066	0.214
56294	0.003	0.037	0.115
56295	0.001	0.033	0.078
56296	0.001	0.023	0.043
56297	0.001	0.053	0.117
56298	0.003	0.092	0.326
56299	0.001	0.027	0.042
56300	-0.001	0.016	0.043
56301	0.004	0.037	0.069
56302	0.011	0.207	0.399
56303	0.014	0.132	0.505
56304	0.009	0.143	0.535
56305	0.008	0.115	0.52
56306	0.06	0.451	1.93
56307	0.01	0.079	0.407
56308	0.012	0.111	0.537
56309	0.018	0.088	0.41
56310	0.011	0.343	1.085
56311	0.009	0.131	0.681
56312	0.026	0.631	2.21
56313	0.037	0.171	0.408

56314	0.014	0.049	0.039
56315	-0.001	0.094	0.114
56316	0.001	0.133	0.313
56317	0.011	0.042	0.037
56318	0.004	0.071	0.144
56319	0.001	0.057	0.085
56320	0.001	0.021	0.001
56321	0.007	0.034	0.003
56322	0.012	-0.005	-0.001
56323	0.003	0.01	0.021
56324	0.001	0.006	0.009
56325	-0.001	0.013	0.029
56326	0.034	0.062	0.214
56327	0.004	0.04	0.128
56328	0.004	0.083	0.223
56329	0.007	0.064	0.195
56330	0.008	0.11	0.32
56331	0.002	0.029	0.065
56332	0.004	0.043	0.168
56333	0.001	0.088	0.243
56334	-0.001	0.027	0.034
56335	-0.001	0.034	0.048
56336	0.005	0.122	0.351
56337	0.031	0.048	0.274
56338	0.003	0.034	0.077
56339	0.006	0.146	0.44
56340	0.007	0.064	0.228
56415	-0.001	0.006	0.003
56416	0.001	0.006	0.003
56417	-0.001	-0.005	0.003
56450	-0.001	0.005	0.014
56451	0.006	0.053	0.162
56452	0.004	0.089	0.327
56453	0.002	0.078	0.204
56454	0.005	0.054	0.15
56455	0.006	0.093	0.15
56456	0.08	0.194	0.731
56457	0.011	0.093	0.232
56458	0.078	0.177	0.551
56459	0.001	0.104	0.142
56460	-0.001	0.055	0.13
56461	-0.001	0.032	0.065
56462	-0.001	0.06	0.177
56463	-0.001	0.008	0.003
56465	0.006	0.104	0.246
56466	-0.001	0.058	0.1
56467	0.001	0.015	0.02
56468	0.004	0.089	0.276
56469	0.008	0.008	0.002
56470	-0.001	0.059	0.159

56471	0.001	0.071	0.203
56472	0.002	0.09	0.307
56473	-0.001	0.015	0.044
56474	-0.001	0.027	0.06
56475	-0.001	0.087	0.232
56476	-0.001	0.009	0.037
56477	-0.001	0.016	0.038
56478	0.004	0.122	0.468
56479	0.013	0.131	0.813
56480	0.02	0.414	1.33
56481	0.008	0.088	0.435
56482	0.007	0.112	0.607
56483	0.025	0.483	2.44
56484	0.015	0.449	1.54
56485	-0.001	0.078	0.183
56486	-0.001	0.038	0.099
64036	-0.001	0.037	0.101
64037	-0.001	0.065	0.15
64038	-0.001	0.033	0.111
64039	-0.001	0.025	0.062
64040	0.003	0.126	0.328
64041	-0.001	0.063	0.193
64042	0.007	0.168	0.641
64043	0.029	0.261	1.515
64044	0.013	0.467	1.48
64045	0.008	0.075	0.575
64046	0.005	0.08	0.387
64047	0.013	0.169	0.802
64048	0.025	0.5	2.09
64049	0.02	0.564	4.68
64050	0.003	0.136	0.339
64051	-0.001	0.026	0.048
64052	-0.001	0.011	0.002
64057	0.019	0.005	0.009
64058	0.004	-0.005	0.001
64059	0.001	0.01	0.002
64060	-0.001	0.006	0.001
64065	-0.001	0.018	0.01
64066	-0.001	0.01	0.033
64067	-0.001	0.01	0.007
64068	0.004	-0.005	0.008
64069	-0.001	0.081	0.39
64070	-0.001	0.064	0.144
64071	0.001	0.055	0.185
64072	0.004	0.056	0.206
64073	-0.001	0.079	0.327
64074	-0.001	0.02	0.112
64075	-0.001	0.023	0.047
64076	-0.001	0.019	0.058
64077	-0.001	0.019	0.041

64078	0.002	0.045	0.116
64079	0.007	0.132	0.318
64080	0.003	0.075	0.223
64081	0.01	0.1	0.393

VO05009460 - Finalized

CLIENT : RESPRO - Ressources Minières Pro-Or Inc.

of SAMPLES : 144

DATE RECEIVED : 2005-02-09

PROJECT : MÉNARIK

CERTIFICATE COMMENTS :

PO NUMBER :

SAMPLE	PGM-ICP23 Au ppm	PGM-ICP23 Pt ppm	PGM-ICP23 Pd ppm
55617	0.031	0.601	1.96
55617	NSS	NSS	NSS
56303	0.014	0.132	0.505
56303	NSS	NSS	NSS
56323	0.003	0.01	0.021
56323	NSS	NSS	NSS
56465	0.006	0.104	0.246
56465	NSS	NSS	NSS
56466	-0.001	0.058	0.1
56466	NSS	NSS	NSS
56486	-0.001	0.038	0.099
56486	NSS	NSS	NSS
64059	0.001	0.01	0.002
64059	NSS	NSS	NSS

VO05009460 - Finalized

CLIENT : RESPRO - Ressources Minières Pro-Or Inc.

of SAMPLES : 144

DATE RECEIVED : 2005-02-09

PROJECT : MÉNARIK

CERTIFICATE COMMENTS :

PO NUMBER :

	PGM-ICP23	PGM-ICP23	PGM-ICP23
SAMPLE	Au	Pt	Pd
DESCRIPTIC	ppm	ppm	ppm
OXF28	0.817	0.013	0.001
PGMS-6	1.275	0.118	0.642
PGMS-6	1.415	0.121	0.629
OXF28	0.761	-0.005	-0.001
OXF28	0.769	-0.005	0.001
PGMS-6	1.405	0.121	0.685
OXK35	3.6	0.008	-0.001
PGMS-7	2.61	1.015	3.68
OXK35	3.45	-0.005	0.003
OXK35	3.49	-0.005	0.002
BLANK	-0.001	-0.005	-0.001
BLANK	-0.001	0.005	-0.001
BLANK	-0.001	-0.005	-0.001

VO05013971 - Finalized

CLIENT : RESPRO - Ressources Minières Pro-Or Inc.

of SAMPLES : 144

DATE RECEIVED : 2005-02-24

PROJECT : MÉNARIK

CERTIFICATE COMMENTS :

PO NUMBER :

SAMPLE	PGM-ICP23	PGM-ICP23	PGM-ICP23
	Au	Pt	Pd
DESCRIPTION	ppm	ppm	ppm
55343	0.035	0.458	1.645
55577	0.003	-0.005	0.012
55578	0.002	-0.005	0.005
55579	0.044	0.015	0.016
55580	0.001	-0.005	0.004
55602	0.002	0.019	0.05
55603	0.007	0.053	0.219
55604	0.003	0.051	0.182
55605	0.003	0.077	0.217
55606	0.015	0.139	0.581
55607	-0.001	0.031	0.051
55661	0.004	0.013	0.065
55662	-0.001	0.095	0.279
55663	0.006	0.009	0.032
55664	0.001	0.03	0.092
55665	-0.001	0.087	0.279
55666	0.012	0.287	0.918
55667	0.019	0.422	1.59
55668	0.018	0.197	0.913
55669	0.039	0.614	2.36
55670	0.002	0.061	0.15
55671	-0.001	0.013	0.042
55712	-0.001	-0.005	0.049
55714	-0.001	0.016	0.025
55734	0.004	0.053	0.25
55822	0.034	0.15	0.488
55826	0.007	0.126	0.384
55830	0.001	0.132	0.744
55835	0.001	0.007	0.09
56147	-0.001	0.027	0.154
56199	-0.001	0.051	0.152
56200	0.004	0.077	0.434
56201	0.012	0.246	1.315
56202	0.003	0.049	0.13
56203	0.004	0.057	0.156
56204	0.003	0.077	0.266
56205	0.003	0.049	0.212
56206	0.005	0.11	0.297
56207	0.01	0.152	0.55
56208	-0.001	0.112	0.308

56209	0.001	0.033	0.168
56210	-0.001	0.006	0.044
56211	-0.001	-0.005	0.008
56212	0.001	-0.005	0.019
56213	-0.001	0.011	0.04
56214	-0.001	0.077	0.212
56215	-0.001	-0.005	0.011
56216	0.004	0.029	0.125
56217	0.005	0.122	0.472
56218	0.005	0.067	0.365
56219	0.003	0.006	0.043
56220	-0.001	0.008	0.045
56237	-0.001	-0.005	0.001
56238	-0.001	-0.005	0.019
56239	-0.001	0.02	0.066
56240	-0.001	0.108	0.325
56257	0.012	0.148	0.439
56258	0.004	0.018	0.098
56259	0.007	0.03	0.093
56261	0.018	0.133	0.593
56262	0.018	0.299	1.135
56263	0.043	0.429	1.645
56264	0.007	0.054	0.25
56265	0.011	0.109	0.788
56266	0.038	0.664	2.99
56267	0.01	0.12	0.329
56268	0.003	0.017	0.078
56287	-0.001	0.041	0.182
56288	0.002	0.034	0.132
56289	-0.001	0.057	0.183
56290	0.004	0.059	0.211
56291	0.011	0.128	0.454
56292	0.014	0.022	0.06
56375	0.006	-0.005	0.019
56376	0.021	0.028	0.104
56377	0.008	0.182	0.576
56378	0.009	0.054	0.16
56379	0.005	0.052	0.165
56380	0.011	0.07	0.23
56381	0.037	0.215	0.719
56382	0.004	0.068	0.17
56383	0.001	0.016	0.036
56385	-0.001	0.022	0.089
56386	-0.001	0.086	0.174
56387	-0.001	0.047	0.194
56388	0.001	0.027	0.041
56389	0.002	0.005	0.024
56390	0.005	0.041	0.126
56392	0.003	0.122	0.235
56394	0.036	0.295	0.972

56395	0.023	0.38	1.635
56397	-0.001	-0.005	0.005
56398	-0.001	-0.005	0.002
56400	0.002	0.02	0.043
56401	0.005	0.005	0.056
56402	0.003	0.013	0.034
56403	0.009	0.105	0.672
56404	0.014	0.17	0.829
56405	0.023	0.558	2.29
56406	0.011	0.186	0.845
56407	0.039	0.509	2.21
56408	0.03	0.756	3.36
56409	0.022	0.233	0.999
56410	0.002	0.03	0.091
56497	-0.001	-0.005	0.007
64018	-0.001	0.007	0.003
64020	0.328	0.007	0.026
64028	0.012	0.097	0.487
64082	0.014	0.086	0.6
64083	0.002	0.045	0.253
64084	0.002	0.031	0.129
64085	0.009	0.335	1.98
64086	0.003	0.044	0.23
64087	0.009	0.08	0.414
64088	0.018	0.428	1.71
64089	0.007	0.056	0.322
64090	0.006	0.055	0.415
64091	0.032	0.091	0.562
64092	0.019	0.068	0.404
64093	0.014	0.183	0.87
64094	0.015	0.08	0.306
64095	0.022	0.117	0.734
64096	0.036	0.219	1.41
64097	0.038	0.44	1.825
64098	0.046	0.282	0.893
64099	0.012	0.05	0.172
64100	0.001	0.048	0.097
64122	-0.001	-0.005	0.018
64143	0.002	-0.005	0.015
64144	0.002	0.042	0.105
64145	0.004	0.158	0.612
64146	0.005	0.024	0.15
64147	0.001	0.059	0.143
64148	0.007	0.076	0.262
64149	0.014	0.156	0.632
64150	0.002	0.054	0.14
64151	-0.001	0.012	0.031
64152	0.001	0.037	0.143
64153	-0.001	0.096	0.45
64154	0.003	0.005	0.047

64155	-0.001	0.021	0.024
64156	0.003	0.064	0.205
64163	0.044	-0.005	0.027
64164	0.062	-0.005	0.088

VO05013971 - Finalized

CLIENT : RESPRO - Ressources Minières Pro-Or Inc.

of SAMPLES : 144

DATE RECEIVED : 2005-02-24

PROJECT : MÉNARIK

CERTIFICATE COMMENTS :

PO NUMBER :

SAMPLE	PGM-ICP23 Au	PGM-ICP23 Pt	PGM-ICP23 Pd
DESCRIPTION	ppm	ppm	ppm
55606	0.015	0.139	0.581
55606	0.007	0.184	0.517
56147	-0.001	0.027	0.154
56147	-0.001	0.034	0.106
56218	0.005	0.067	0.365
56218	0.006	0.052	0.353
56388	0.001	0.027	0.041
56388	-0.001	-0.005	0.043
64018	-0.001	0.007	0.003
64018	-0.001	0.009	0.005
64099	0.012	0.05	0.172
64099	0.015	0.064	0.194

VO05013971 - Finalized

CLIENT : RESPRO - Ressources Minières Pro-Or Inc.

of SAMPLES : 144

DATE RECEIVED : 2005-02-24

PROJECT : MÉNARIK

CERTIFICATE COMMENTS :

PO NUMBER :

	PGM-ICP23	PGM-ICP23	PGM-ICP23
SAMPLE	Au	Pt	Pd
DESCRIPTION	ppm	ppm	ppm
PGMS-6	1.35	0.118	0.667
PGMS-6	1.33	0.128	0.685
OXF28	0.761	-0.005	0.001
OXF28	0.782	-0.005	-0.001
OXK35	3.31	-0.005	0.002
PGMS-7	2.42	0.953	3.45
OXK35	3.44	-0.005	0.002
PGMS-7	2.71	1.055	3.9
BLANK	-0.001	-0.005	-0.001
BLANK	-0.001	-0.005	-0.001

VO05013972 - Finalized

CLIENT : RESPRO - Ressources Minières Pro-Or Inc.

of SAMPLES : 117

DATE RECEIVED : 2005-02-24

PROJECT : MÉNARIK

CERTIFICATE COMMENTS : NSS is non-sufficient sample.

PO NUMBER :

SAMPLE	PGM-ICP23	PGM-ICP23	PGM-ICP23
	Au	Pt	Pd
DESCRIPTION	ppm	ppm	ppm
55658	0.012	0.067	0.194
55659	0.007	0.09	0.324
55660	0.009	0.032	0.078
55713	-0.001	0.012	0.031
55730	0.001	0.012	0.008
55731	0.007	0.069	0.14
55732	0.006	0.049	0.194
55733	0.012	0.095	0.381
55735	0.002	0.085	0.27
55736	0.002	0.036	0.104
55737	0.001	0.031	0.075
55738	0.033	0.048	0.137
55739	0.007	0.04	0.079
55740	0.006	0.103	0.301
55741	0.001	0.048	0.235
55742	0.006	0.122	0.676
55743	0.017	0.267	1.05
55744	0.04	0.498	1.77
55745	0.005	0.084	0.275
55746	-0.001	0.016	0.032
55815	-0.001	-0.005	0.006
55816	-0.001	-0.005	-0.001
55818	0.003	0.019	0.118
55819	0.002	0.047	0.147
55820	0.006	0.058	0.191
55821	0.009	0.092	0.37
55823	0.001	0.046	0.155
55824	-0.001	0.016	0.038
55825	-0.001	0.029	0.05
55827	-0.001	-0.005	0.004
55828	-0.001	0.025	0.1
55829	-0.001	-0.005	-0.001
55831	0.01	0.36	1.37
55832	0.002	0.135	0.666
55833	-0.001	-0.005	0.005
55834	-0.001	0.212	0.778
55836	0.003	0.289	1.195
55837	0.015	0.507	1.13
55839	0.019	0.184	0.669
55840	-0.001	0.02	0.041

55842	0.001	0.013	0.024
56121	0.002	0.006	-0.001
56131	-0.001	0.021	0.075
56132	-0.001	0.015	0.069
56133	0.001	0.057	0.141
56134	-0.001	0.041	0.104
56135	0.003	0.059	0.17
56136	0.007	0.055	0.176
56137	0.008	0.106	0.389
56138	0.005	0.056	0.168
56139	0.013	0.011	0.026
56140	-0.001	0.034	0.067
56141	-0.001	0.028	0.086
56142	0.001	0.02	0.061
56143	-0.001	0.09	0.229
56144	-0.001	0.027	0.074
56145	-0.001	0.02	0.052
56146	-0.001	0.017	0.034
56148	0.003	0.134	0.417
56149	-0.001	0.021	0.075
56150	-0.001	0.031	0.069
56209	0.001	0.038	0.134
56241	-0.001	0.073	0.195
56242	0.001	0.038	0.209
56243	-0.001	-0.005	0.024
56244	-0.001	0.021	0.032
56245	0.001	0.006	-0.001
56246	-0.001	0.005	0.002
56247	0.004	0.007	0.014
56248	0.006	0.027	0.072
56249	0.002	0.11	0.398
56250	-0.001	0.02	0.118
56251	-0.001	0.047	0.122
56252	-0.001	0.045	0.134
56253	-0.001	0.119	0.392
56254	-0.001	0.054	0.117
56255	0.011	0.025	0.086
56256	NSS	NSS	NSS
56260	0.012	0.094	0.335
56341A	0.004	0.087	0.231
56341B	0.005	0.088	0.217
56342	0.112	0.031	0.217
56344	0.004	0.04	0.102
56345	0.006	0.023	0.034
56384	0.003	0.012	0.047
56391	0.014	0.122	0.365
56393	0.008	0.091	0.281
56396	0.007	0.028	0.06
56399	-0.001	0.007	0.002
56493	0.001	0.008	0.006

56494	-0.001	0.01	0.013
56495	0.001	0.01	0.006
56496	-0.001	0.006	0.007
64019	0.006	0.007	0.033
64021	0.021	0.012	0.026
64022	0.002	0.007	0.008
64023	-0.001	-0.005	0.002
64024	0.021	0.025	0.021
64025	NSS	NSS	NSS
64026	0.005	0.009	0.053
64027	0.008	0.037	0.081
64029	0.005	0.038	0.106
64030	0.006	0.048	0.135
64031	0.01	0.062	0.16
64032	0.018	0.132	0.406
64033	0.005	0.042	0.125
64034	0.002	0.024	0.089
64035	0.006	0.062	0.24
64157	0.003	0.104	0.273
64158	0.004	0.07	0.26
64159	0.046	0.394	0.541
64160	0.028	1.17	1.095
64161	0.018	0.513	1.53
64162	0.011	0.008	0.009
64165	0.006	0.022	0.048
64166	0.019	0.026	0.079
SAC MANQU/	0.019	0.384	1.53

VO05013972 - Finalized

CLIENT : RESPRO - Ressources Minières Pro-Or Inc.

of SAMPLES : 117

DATE RECEIVED : 2005-02-24

PROJECT : MÉNARIK

CERTIFICATE COMMENTS : NSS is non-sufficient sample.

PO NUMBER :

	PGM-ICP23	PGM-ICP23	PGM-ICP23
SAMPLE	Au	Pt	Pd
DESCRIPTION	ppm	ppm	ppm
55736	0.002	0.036	0.104
55736	0.002	0.045	0.109
55827	-0.001	-0.005	0.004
55827	-0.001	0.01	0.004
56250	-0.001	0.02	0.118
56250	NSS	NSS	NSS
56391	0.014	0.122	0.365
56391	NSS	NSS	NSS
64033	0.005	0.042	0.125
64033	0.004	0.04	0.122

VO05013972 - Finalized
 CLIENT : RESPRO - Ressources Minières Pro-Or Inc.
 # of SAMPLES : 117
 DATE RECEIVED : 2005-02-24
 PROJECT : MÉNARIK
 CERTIFICATE COMMENTS : NSS is non-sufficient sample.
 PO NUMBER :

SAMPLE	PGM-ICP23	PGM-ICP23	PGM-ICP23
	Au	Pt	Pd
DESCRIPTIC	ppm	ppm	ppm
OXF28	0.755	-0.005	-0.001
OXF28	0.794	-0.005	-0.001
OXF28	0.781	-0.005	0.001
PGMS-6	1.335	0.118	0.615
PGMS-6	1.465	0.113	0.661
OXF28	0.764	-0.005	0.001
OXF28	0.793	-0.005	-0.001
PGMS-6	1.435	0.126	0.661
PGMS-6	1.49	0.122	0.643
PGMS-6	1.465	0.12	0.65
OXK35	3.45	-0.005	0.002
PGMS-7	2.65	1.035	3.73
PGMS-7	2.64	0.993	3.68
OXK35	3.37	-0.005	0.008
PGMS-7	2.6	0.959	3.68
OXK35	3.42	-0.005	0.006
PGMS-7	2.66	1.04	3.69
OXK35	3.3	-0.005	0.001
OXK35	3.66	0.005	0.007
PGMS-7	2.52	0.992	3.54
OxA26	0.073	-0.005	-0.001
BLANK	-0.001	-0.005	-0.001
BLANK	0.001	-0.005	-0.001
BLANK	0.001	-0.005	-0.001
BLANK	-0.001	-0.005	-0.001
BLANK	-0.001	-0.005	-0.001

VO05037856 - Finalized

CLIENT : RESPRO - Ressources Minières Pro-Or Inc.

of SAMPLES : 54

DATE RECEIVED : 2005-05-13

PROJECT : MENARIK

CERTIFICATE COMMENTS :

PO NUMBER :

SAMPLE DESCRIPTION	PGM-ICP23	PGM-ICP23	PGM-ICP23
	Au ppm	Pt ppm	Pd ppm
55522B	0.007	0.061	0.16
55523	-0.001	0.014	0.025
55524	-0.001	0.01	0.033
55526	0.045	0.091	0.205
55528	0.006	0.088	0.196
55529	0.002	0.017	0.052
55530	0.005	0.015	0.032
55531	0.004	0.011	0.016
55562	0.004	0.022	0.058
55563	0.01	0.097	0.283
55566	-0.001	0.132	0.366
55567	0.004	0.08	0.341
55569	0.006	0.435	1.73
55570	0.003	0.086	0.439
55571	0.008	0.294	1.205
55688	0.001	0.063	0.17
55689	0.004	0.072	0.233
55690	0.001	0.135	0.533
55692	0.004	0.062	0.23
55766	0.006	0.16	0.566
55767	0.004	0.055	0.181
55768	0.004	0.061	0.176
55769	0.007	0.073	0.223
55770	0.009	0.07	0.215
55771	0.01	0.142	0.554
55772	0.019	0.042	0.102
55775	0.001	0.095	0.227
55778	0.036	0.085	0.222
55779	0.015	0.087	0.357
55780	0.043	0.579	1.73
55781	0.021	0.164	0.794
55782	0.037	0.444	1.64
55869	0.009	0.097	0.318
55870	-0.001	0.06	0.122
55871	0.005	0.057	0.136
55872	0.003	0.07	0.176
55873	0.004	0.077	0.224
55874	0.008	0.194	0.578
55875	0.003	0.042	0.114
55877	0.003	0.036	0.089
55879	0.015	0.036	0.121
55881	0.006	0.173	0.738
55882	0.005	0.236	0.585
55883	0.019	0.293	1.245

55884	0.016	0.077	0.297
55885	0.011	0.133	0.517
55926	0.004	0.156	0.449
55927	0.003	0.074	0.176
55928	-0.001	0.069	0.217
55929	0.003	0.172	0.631
55933	0.001	0.104	0.243
56078	0.045	0.532	2
56256	0.003	0.031	0.074
64025	0.001	0.01	0.018

VO05037856 - Finalized

CLIENT : RESPRO - Ressources Minières Pro-Or Inc.

of SAMPLES : 54

DATE RECEIVED : 2005-05-13

PROJECT : MENARIK

CERTIFICATE COMMENTS :

PO NUMBER :

	PGM-ICP23	PGM-ICP23	PGM-ICP23
SAMPLE	Au	Pt	Pd
DESCRIPTION	ppm	ppm	ppm
55569	0.006	0.435	1.73
55569	NSS	NSS	NSS
55780	0.043	0.579	1.73
55780	0.038	0.462	1.73
55869	0.009	0.097	0.316
55869	NSS	NSS	NSS

VO05037856 - Finalized

CLIENT : RESPRO - Ressources Minières Pro-Or Inc.

of SAMPLES : 54

DATE RECEIVED : 2005-05-13

PROJECT : MENARIK

CERTIFICATE COMMENTS :

PO NUMBER :

	PGM-ICP23	PGM-ICP23	PGM-ICP23
SAMPLE	Au	Pt	Pd
DESCRIPTION	ppm	ppm	ppm
OXF28	0.773	-0.005	-0.001
OXF28	0.779	-0.005	-0.001
PGMS-6	1.44	0.122	0.682
PGMS-6	1.335	0.124	0.694
PGMS-6	1.45	0.124	0.644
OXK35	3.4	-0.005	-0.001
PGMS-7	2.65	1.035	3.82
PGMS-7	2.58	1.005	3.71
OXK35	3.51	-0.005	-0.001
PGMS-7	2.72	1.01	3.72
OxA26	0.072	-0.005	-0.001
BLANK	-0.001	-0.005	-0.001
BLANK	-0.001	-0.005	-0.001
BLANK	-0.001	-0.005	-0.001

55988	0.003	-0.006	0.007	-0.5	2.51	56	-10	-0.5	-2	2.16	-0.5	114	1350	347	8.81	0.01	16.85	1355	1	0.02	1205	50	5	0.22	-5	25	0.1	89	-10	73
55989	0.003	-0.005	0.004	-0.5	2.06	70	-10	-0.5	-2	2.62	-0.5	100	1675	481	8.15	0.01	15.8	1245	1	0.01	931	40	2	0.14	-5	29	0.07	84	-10	73
55990	0.008	0.018	0.019	-0.5	2.08	53	-10	-0.5	-2	2.99	-0.5	120	1455	694	8.37	0.01	15.45	1260	-1	0.02	1230	50	2	0.29	-5	30	0.08	84	-10	66
55991	-0.001	-0.005	0.002	-0.5	2.52	45	-10	-0.5	-2	2.55	-0.5	96	1580	41	7.56	0.01	15.7	1110	1	0.02	1010	50	4	0.13	-5	17	0.07	80	-10	69
55992	-0.001	-0.005	0.001	-0.5	2.85	47	-10	-0.5	-2	2.27	-0.5	97	1505	43	7.76	0.01	15.95	1120	1	0.02	1000	30	-2	0.09	-5	14	0.08	80	-10	68
55993	-0.001	0.008	0.039	-0.5	2.42	49	-10	-0.5	-2	2.42	-0.5	98	1445	35	7.4	0.01	15.2	1090	1	0.02	1030	50	2	0.11	-5	13	0.08	78	-10	61
55994	-0.001	0.007	0.01	-0.5	2.59	48	-10	-0.5	-2	2.18	-0.5	102	1415	34	7.73	0.01	16.05	1160	1	0.01	1010	60	2	0.08	-5	17	0.09	84	-10	65
55995	0.001	0.007	0.012	-0.5	2.73	59	-10	-0.5	-2	2.15	-0.5	100	1335	53	7.76	0.01	15.8	1135	1	0.01	932	60	5	0.09	-5	18	0.09	80	-10	64
55996	-0.001	0.011	0.015	-0.5	3.09	19	-10	-0.5	-2	3.47	-0.5	83	1150	48	6.72	0.01	14.9	1095	-1	0.04	918	60	2	0.12	-5	13	0.09	83	-10	59
55997	-0.001	-0.005	0.005	-0.5	2.65	47	-10	-0.5	-2	3.37	-0.5	91	1355	28	6.91	0.01	15.25	1325	1	0.03	862	70	4	0.09	-5	27	0.09	76	-10	60
55998	-0.001	-0.005	0.005	-0.5	2.8	46	-10	-0.5	-2	1.86	-0.5	108	2580	87	8.62	0.01	16.95	1235	-1	0.02	1100	60	4	0.12	-5	13	0.09	89	-10	88
55999	-0.001	0.007	0.016	-0.5	2.42	58	-10	-0.5	-2	2.28	-0.5	104	2220	63	7.97	0.01	16.35	1275	-1	0.02	905	60	2	0.07	-5	22	0.09	82	-10	82
56000	-0.001	0.011	0.019	-0.5	5.75	12	-10	-0.5	-2	3.22	-0.5	93	946	51	7.22	0.01	14.4	1400	1	0.02	739	50	5	0.01	-5	20	0.08	64	30	83
56001	-0.001	0.006	0.006	-0.5	4.75	-5	-10	-0.5	-2	5.71	-0.5	64	725	302	5.59	0.02	12.8	1410	-1	0.05	650	30	3	0.03	-5	29	0.07	56	-10	72
56002	0.002	-0.005	0.012	-0.5	4.68	-5	-10	-0.5	-2	5.13	-0.5	71	1025	1095	6.04	0.01	12.7	1340	-1	0.05	757	30	2	0.1	-5	21	0.07	60	-10	89
56003	0.006	0.01	0.004	-0.5	6.38	-5	-10	-0.5	-2	3.79	-0.5	79	958	11	5.89	0.04	12.4	1300	-1	0.03	623	50	2	-0.01	-5	34	0.07	59	-10	96
56004	0.002	0.01	0.002	-0.5	7.37	-5	110	-0.5	-2	4.95	-0.5	71	714	17	5.41	0.81	12.1	1315	-1	0.39	580	50	6	-0.01	-5	86	0.06	56	-10	85
56005	0.003	0.082	0.256	-0.5	4.69	-5	-10	-0.5	-2	4.27	-0.5	78	824	4	4.86	0.01	14.55	785	-1	0.03	756	50	-2	-0.01	-5	7	0.05	45	-10	39
56158	0.001	-0.005	0.006	-0.5	2.96	9	-10	-0.5	-2	0.83	-0.5	89	2070	86	7.18	-0.01	14.45	753	1	0.01	867	100	6	0.4	-5	4	0.14	106	-10	76
56159	-0.001	0.008	0.014	-0.5	3.08	-5	-10	-0.5	-2	1.44	-0.5	92	1685	46	7.67	-0.01	14.45	862	-1	0.01	869	70	4	0.37	-5	52	0.12	105	-10	66
56160	-0.001	-0.005	0.002	-0.5	2.83	-5	-10	-0.5	-2	2.44	-0.5	86	1435	41	7.53	-0.01	13.8	788	-1	0.01	813	50	-2	0.27	-5	35	0.09	97	-10	63
56161	-0.001	-0.005	0.002	-0.5	3.05	-5	-10	-0.5	-2	3.5	-0.5	77	962	42	7.39	0.01	13.1	1080	-1	0.02	629	150	2	0.18	-5	40	0.15	123	-10	60
56162	-0.001	0.006	0.002	-0.5	2.88	9	-10	-0.5	-2	3.3	-0.5	89	1475	67	7.74	0.01	14	1090	-1	0.03	857	80	2	0.2	-5	18	0.12	101	-10	72
56163	-0.001	-0.005	0.002	-0.5	2.35	-5	-10	-0.5	-2	3.06	-0.5	90	1350	41	7.26	-0.01	14.1	1085	-1	0.02	842	90	3	0.07	-5	10	0.1	92	-10	72
56164	-0.001	-0.005	0.001	-0.5	3.48	-5	-10	-0.5	-2	4.05	-0.5	100	1330	40	7.02	0.01	14.35	1305	1	0.03	1060	50	-2	0.12	-5	14	0.08	85	-10	73
56165	-0.001	-0.005	-0.001	-0.5	6.88	-5	190	0.5	-2	2.46	-0.5	47	263	166	7.07	1.2	4.61	1040	1	3.26	164	260	11	0.89	-5	286	0.49	243	-10	72
56166	-0.001	0.011	0.011	-0.5	5.59	-5	120	-0.5	-2	1.97	-0.5	49	386	56	7	0.3	5.83	1080	2	2.48	159	170	10	0.26	6	170	0.3	230	-10	72
56167	0.001	-0.005	-0.001	-0.5	6.75	-5	250	-0.5	-2	1.94	-0.5	51	266	88	8.02	1.25	5.29	1040	2	2.86	173	290	22	0.96	-5	213	0.56	282	-10	86
56168	0.004	-0.005	0.001	-0.5	7.24	16	170	0.5	-2	1.9	0.6	56	201	209	6.54	0.74	4.15	839	3	4.01	127	370	22	1.1	-5	188	0.56	304	-10	76
56169	0.003	-0.005	0.002	-0.5	6.11	5	100	-0.5	-2	3.17	-0.5	61	287	296	8.25	0.33	6.03	1110	3	2.23	169	300	11	1.25	-5	133	0.46	277	-10	78
56170	0.002	-0.005	0.003	-0.5	7.09	-5	120	-0.5	-2	4.5	-0.5	50	359	86	7.2	0.39	5.96	1090	3	2.55	214	250	20	0.6	6	158	0.44	223	-10	75
56171	0.019	0.007	0.006	2	7.25	8	340	-0.5	-2	3.06	0.7	71	627	501	6.77	1.24	5.14	917	5	2.55	378	230	74	1.43	6	65	0.28	174	-10	124
56172	0.003	-0.005	0.001	-0.5	7.51	27	240	0.5	-2	5.4	-0.5	59	534	135	9.07	1.3	6.87	1335	5	1.84	295	300	16	0.99	-5	92	0.53	282	-10	84

VO0408269 - Finalized

CLIENT : RESPRO - Ressources Minières Pro-Or Inc.

of SAMPLES : 149

DATE RECEIVED : 2004-12-17

PROJECT :

CERTIFICATE COMMENTS :

PO NUMBER :

SAMPLE	PGM-ICP2		ME-ICP61		ME-ICP61		ME-ICP61		ME-ICP61		ME-ICP61		ME-ICP61		ME-ICP61		ME-ICP61		ME-ICP61		ME-ICP61		ME-ICP61		ME-ICP61		ME-ICP61		ME-ICP61		ME-ICP61		ME-ICP61	
	Au	Pt	Pd	Ag	Al	As	Ba	Be	Bi	Ca	Cd	Co	Cr	Cu	Fe	K	Mg	Mn	Mo	Na	Ni	P	Pb	S	Sb	Sr	Ti	V	W	Zn				
DESCRIP	ppm	ppm	ppm	ppm	%	ppm	ppm	ppm	ppm	%	ppm	ppm	ppm	ppm	%	%	%	ppm	ppm	%	ppm	ppm	ppm	%	ppm	ppm	%	ppm	ppm	ppm	ppm	ppm		
55510	-0.001	0.008	0.004																															
55510	-0.001	0.006	0.003																															
55541				-0.5	2.85	35	-10	-0.5	-2	4.51	-0.5	87	2890	50	6.89	0.01	14.55	1275	-1	0.02	1010	120	-2	0.33	-5	38	0.18	106	-10	94				
55541				-0.5	2.95	31	-10	-0.5	-2	4.42	-0.5	84	2870	51	6.89	0.01	14.5	1255	-1	0.02	1010	120	3	0.32	-5	38	0.18	109	-10	83				
55543	0.001	-0.005	0.005																															
55543	0.002	-0.005	0.004																															
55677	-0.001	0.006	0.015																															
55677	0.001	0.005	0.015																															
55861				-0.5	0.64	22	-10	-0.5	-2	1	-0.5	106	3770	19	7.28	-0.01	16.95	1130	1	-0.01	1180	50	-2	0.07	-5	12	0.07	79	-10	88				
55861				-0.5	0.74	33	-10	-0.5	-2	0.97	-0.5	102	3710	18	7	-0.01	16.45	1090	-1	-0.01	1095	50	-2	0.06	-5	12	0.07	76	-10	85				
55971	-0.001	0.007	0.002																															
55971	-0.001	-0.005	0.002																															
55985				-0.5	3.25	43	-10	-0.5	-2	3.37	-0.5	90	1445	23	7.7	0.01	14.35	1065	-1	0.05	801	70	4	0.15	-5	13	0.13	110	-10	75				
55985				-0.5	3.03	27	-10	-0.5	-2	3.11	-0.5	79	1440	21	7.15	0.01	13.3	989	-1	0.05	728	70	-2	0.14	-5	12	0.12	101	-10	88				
55991	-0.001	-0.005	0.002																															
55991	-0.001	-0.005	0.001																															
56164	-0.001	-0.005	0.001																															
56164	-0.001	-0.005	0.002																															
56172				-0.5	7.51	27	240	0.5	-2	5.4	-0.5	59	534	135	9.07	1.3	6.87	1335	5	1.84	295	300	16	0.99	-5	92	0.53	282	-10	84				
56172				-0.5	7.2	20	220	-0.5	-2	5.04	-0.5	53	472	120	8.32	1.18	6.45	1235	4	1.89	256	250	11	0.88	-5	86	0.47	254	-10	74				

56084	0.001	0.013	0.044	-0.5	1.81	-5	-10	-0.5	-2	1.4	-0.5	116	1945	24	8.54	0.01	17.9	1340	-1	0.01	1135	70	-2	0.1	-5	22	0.11	75	-10	72
56085	0.002	0.024	0.045	-0.5	1.93	-5	-10	-0.5	-2	1.19	-0.5	118	1830	194	8.27	0.01	17.4	1125	-1	0.01	1120	50	-2	0.13	-5	10	0.1	73	-10	71
56086	0.003	0.016	0.032	-0.5	1.85	-5	-10	-0.5	-2	2.36	-0.5	116	1700	140	8.34	0.01	17.6	1355	-1	-0.01	1080	80	-2	0.15	-5	56	0.06	69	-10	70

VO0408586 - Finalized

CLIENT : RESPRO - Ressources Minières Pro-Or Inc.

of SAMPLES : 56

DATE RECEIVED : 2004-12-17

PROJECT :

CERTIFICATE COMMENTS :

PO NUMBER :

SAMPLE	Au	Pt	Pd	Ag	Al	As	Ba	Be	Bi	Ca	Cd	Co	Cr	Cu	Fe	K	Mg	Mn	Mo	Na	Ni	P	Pb	S	Sb	Sr	Ti	V	W	Zn
DESCRIP	ppm	ppm	ppm	ppm	%	ppm	ppm	ppm	ppm	%	ppm	ppm	ppm	ppm	%	%	%	ppm	ppm	%	ppm	ppm	ppm	%	ppm	ppm	%	ppm	ppm	ppm
55891	0.001	0.016	0.048																											
55891	-0.001	0.015	0.047																											
55905				-0.5	2.78	60	-10	-0.5	-2	2.8	-0.5	110	1620	50	7.89	0.01	16.9	1245	1	0.02	1010	90	4	0.08	-5	25	0.12	104	-10	73
55905				-0.5	2.63	49	-10	-0.5	-2	2.72	-0.5	102	1600	45	7.69	0.01	16.45	1210	1	0.02	988	70	-2	0.08	-5	24	0.12	102	-10	70
55911	-0.001	0.01	0.02																											
55911	-0.001	0.012	0.022																											
58009	-0.001	0.007	0.009																											
58009	-0.001	0.012	0.012																											
58010				-0.5	2.29	96	10	-0.5	-2	1.33	-0.5	108	2140	46	7.46	0.01	17.3	944	1	-0.01	1155	50	3	0.11	-5	16	0.06	59	-10	66
58010				-0.5	2.66	96	-10	-0.5	-2	1.4	-0.5	114	2270	49	7.85	0.01	18.5	990	1	-0.01	1215	30	4	0.11	-5	16	0.07	62	-10	66

VO04088586 - Finalized

CLIENT : RESPRO - Ressources Minières Pro-Or Inc.

of SAMPLES : 56

DATE RECEIVED : 2004-12-17

PROJECT :

CERTIFICATE COMMENTS :

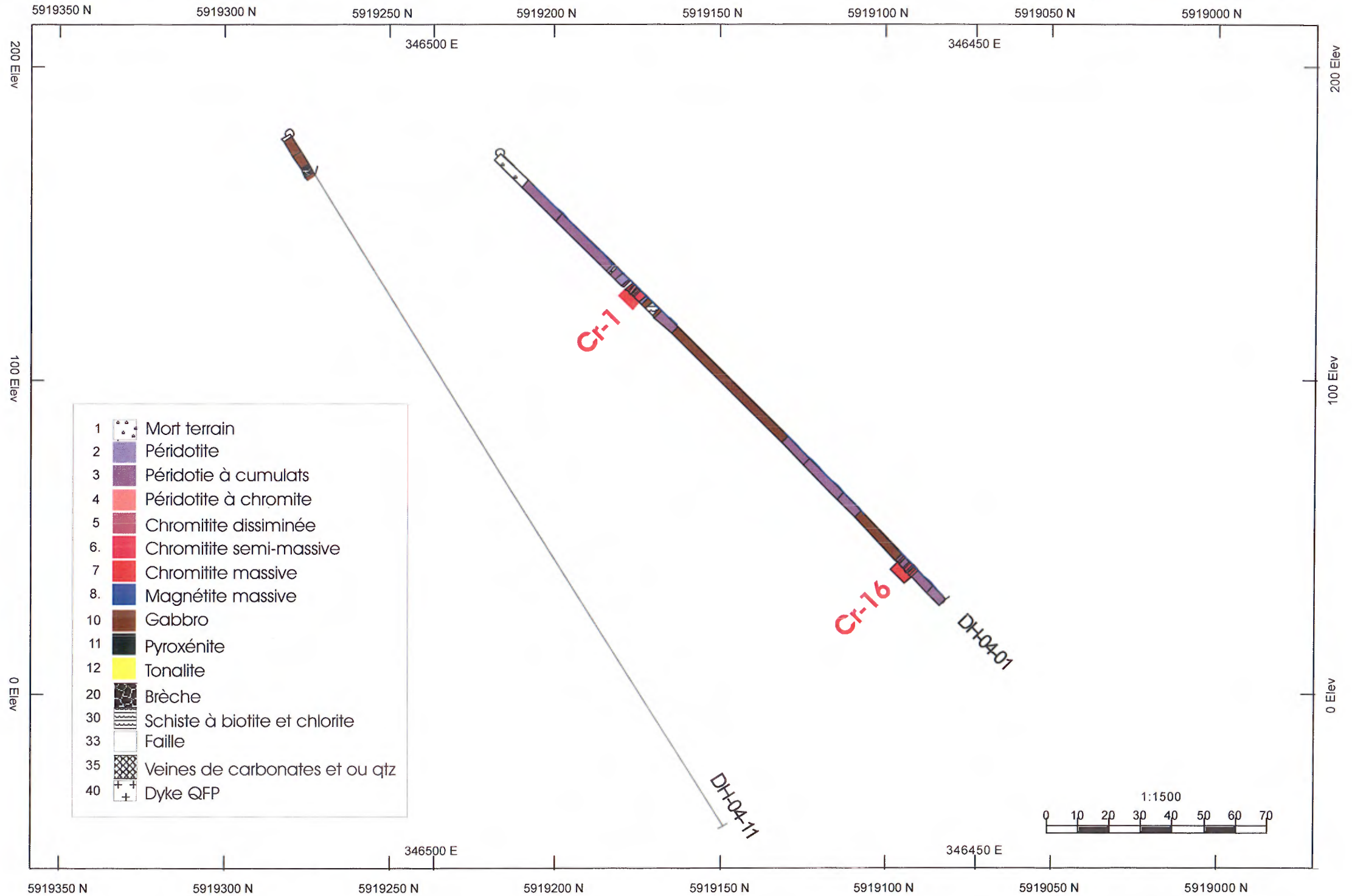
PO NUMBER :

SAMPLE	Au	Pt	Pd	Ag	Al	As	Ba	Be	Bi	Ca	Cd	Co	Cr	Cu	Fe	K	Mg	Mn	Mo	Na	Ni	P	Pb	S	Sb	Sr	Ti	V	W	Zn
DESCRIP	ppm	ppm	ppm	ppm	%	ppm	ppm	ppm	ppm	%	ppm	ppm	ppm	ppm	%	%	%	ppm	ppm	%	ppm	ppm	ppm	%	ppm	ppm	%	ppm	ppm	ppm
PGMS-6	1.395	0.12	0.668																											
G2000				3.8	5.02	488	2310	1.3	-2	0.58	7.6	25	100	306	3.78	1.3	0.75	565	6	0.14	285	950	673	0.26	33	116	0.35	108	10	1290
G2000				3.9	5.07	483	2350	1.3	-2	0.58	7.3	24	104	308	3.82	1.32	0.77	570	5	0.13	286	980	689	0.27	34	116	0.36	108	10	1270
G2000				4.6	5.06	476	2400	1.4	-2	0.6	6.8	25	111	308	3.9	1.33	0.75	566	4	0.13	284	990	680	0.26	36	118	0.35	103	10	1315
OXF28	0.79	-0.005	0.001																											
PGMS-7	2.64	1.075	3.73																											
OXK35	3.48	-0.005	0.006																											
BM-10				4.9	0.87	859	120	-0.5	204	0.15	139.5	374	1580	1860	11.1	0.04	0.29	2870	100	0.04	1585	70	2570	1.28	272	15	0.06	48	-10	3330
BM-10				4.9	0.88	871	100	-0.5	202	0.17	163.5	378	1570	1865	11.4	0.04	0.29	2900	104	0.04	1585	70	2590	1.21	274	15	0.06	48	-10	3370
BM-10				5	0.87	882	100	-0.5	196	0.14	127	382	1540	1790	11.25	0.05	0.26	2850	98	0.04	1560	60	2430	1.49	276	16	0.06	45	-10	3580
BLANK	-0.001	-0.005	-0.001																											
BLANK				-0.5	-0.01	-5	-10	-0.5	-2	-0.01	-0.5	-1	-1	-1	-0.01	-0.01	-0.01	-5	1	-0.01	-1	10	-2	-0.01	-5	-1	-0.01	-1	-10	-2
BLANK				-0.5	-0.01	-5	-10	-0.5	-2	-0.01	-0.5	-1	1	-1	-0.01	-0.01	-0.01	-5	1	-0.01	-1	10	-2	-0.01	-5	-1	-0.01	-1	-10	-2
BLANK				-0.5	-0.01	-5	-10	-0.5	-2	-0.01	-0.5	1	-1	-1	-0.01	-0.01	-0.01	-5	-1	-0.01	-1	-10	-2	-0.01	-5	-1	-0.01	-1	-10	-2

ANNEXE IV SECTIONS DE FORAGE

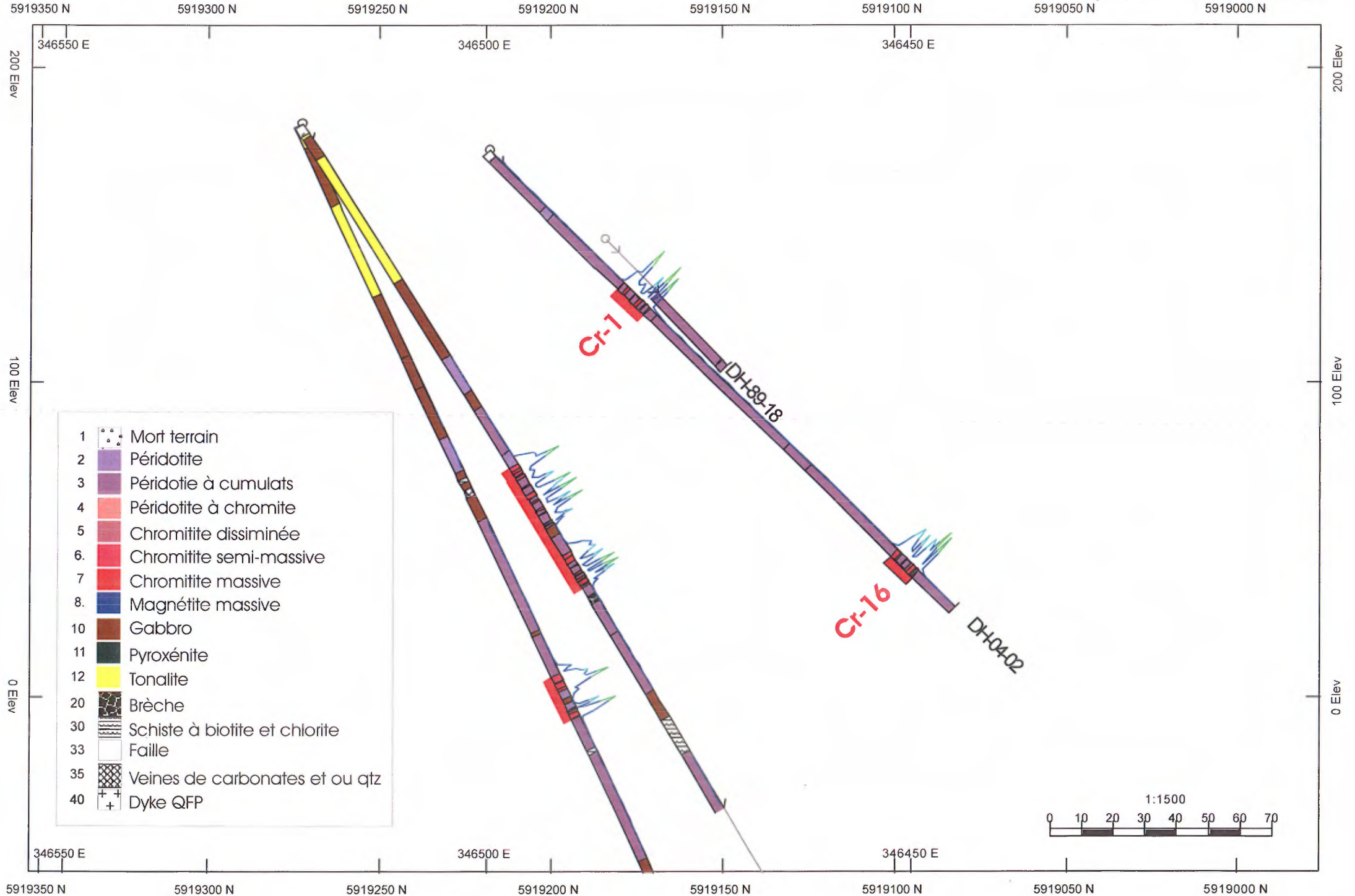
Section (sondage MK-04-01)

Projection UTM NAD 27



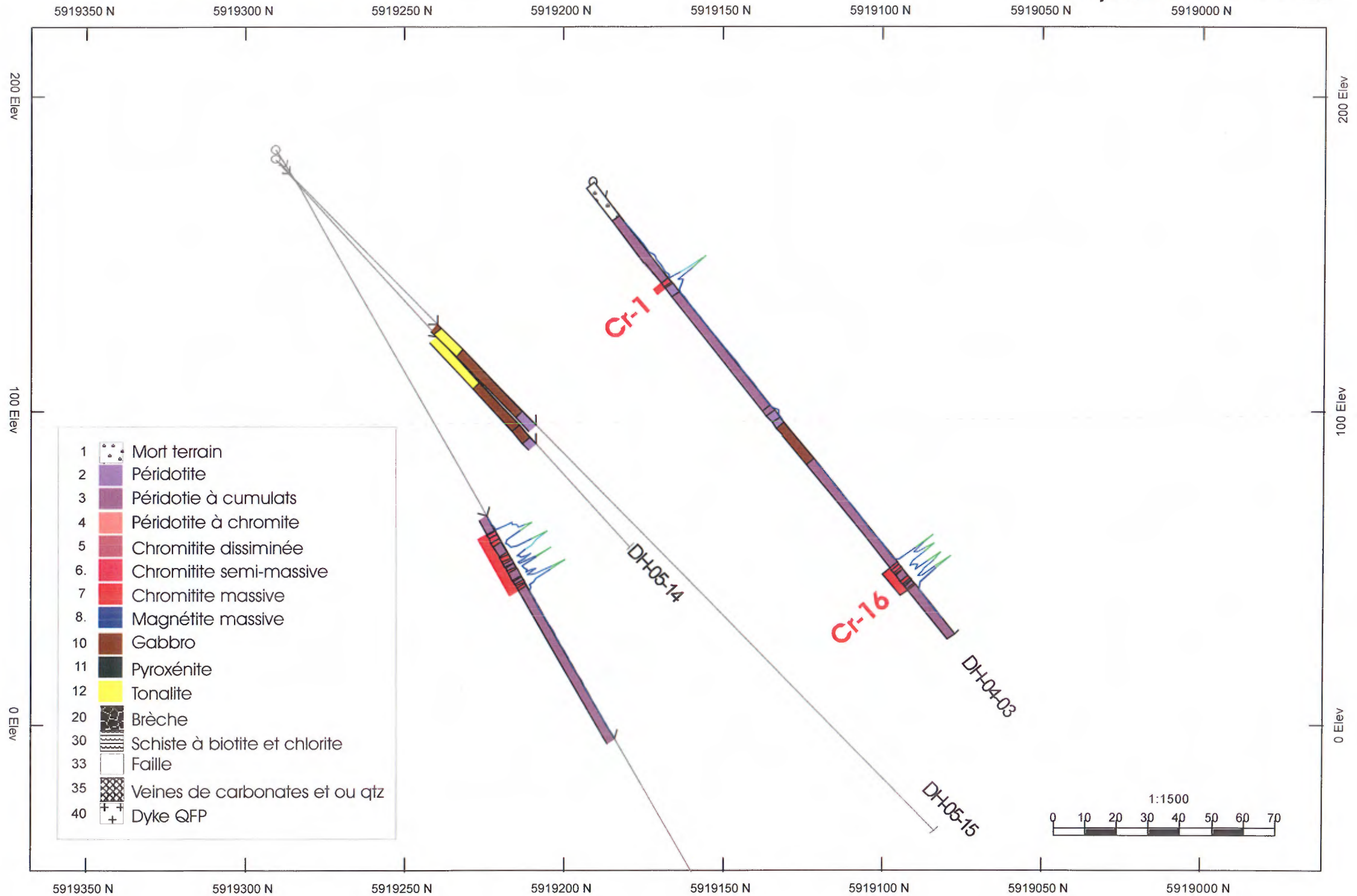
Section (sondage MK-04-02)

Projection UTM NAD 27



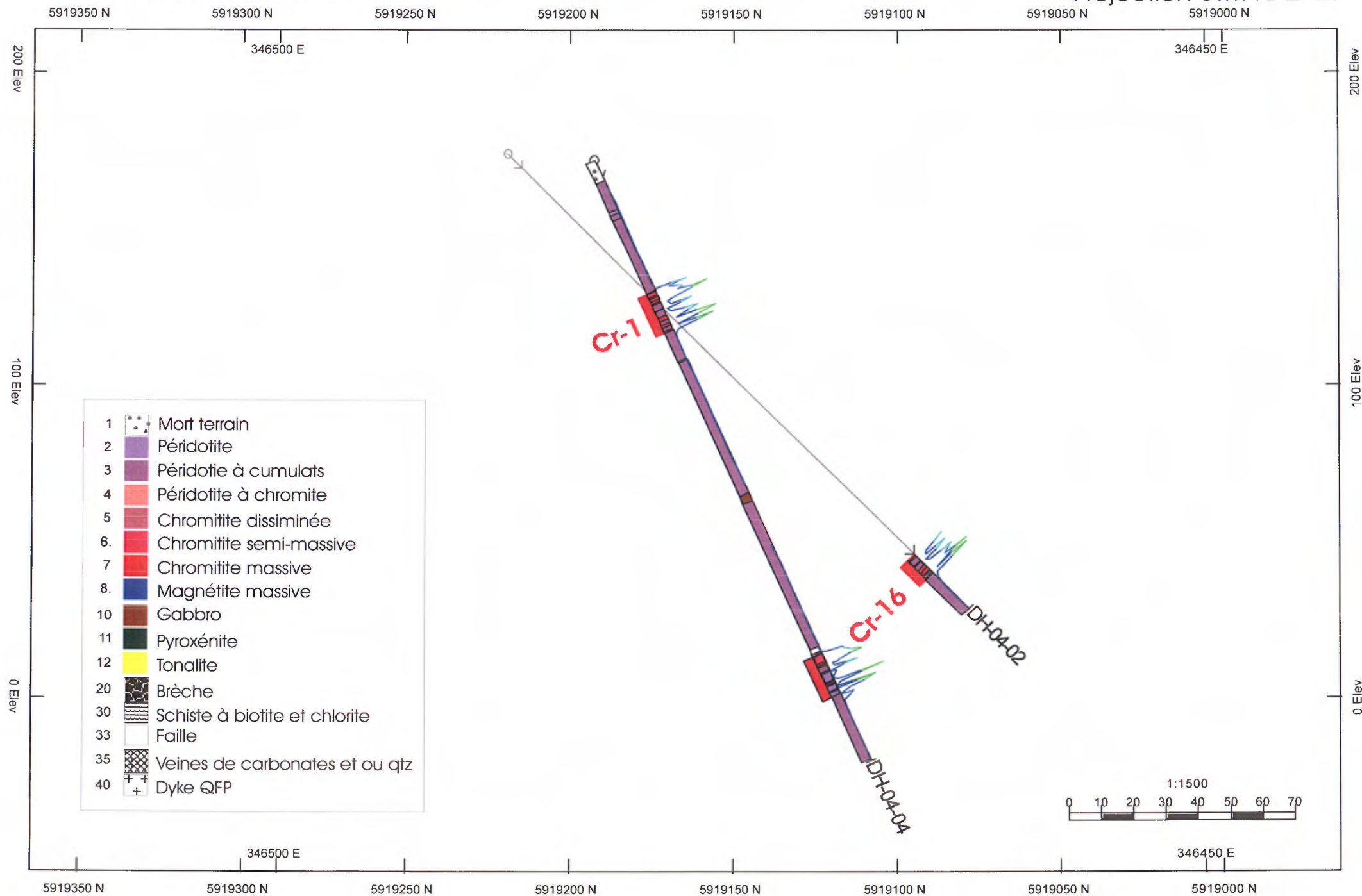
Section (sondage MK-04-03)

Projection UTM NAD 27



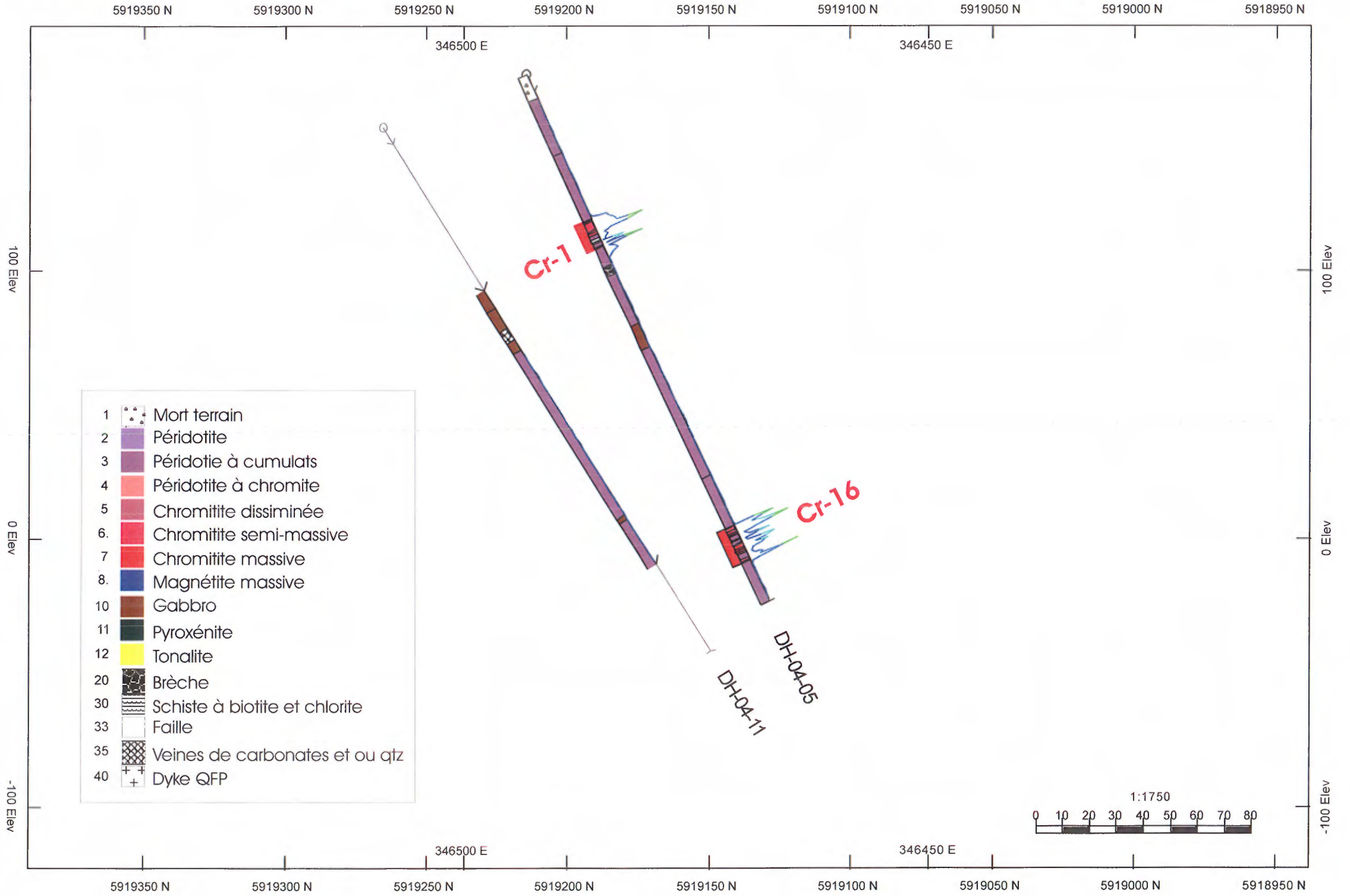
Section (sondage MK-04-04)

Projection UTM NAD 27



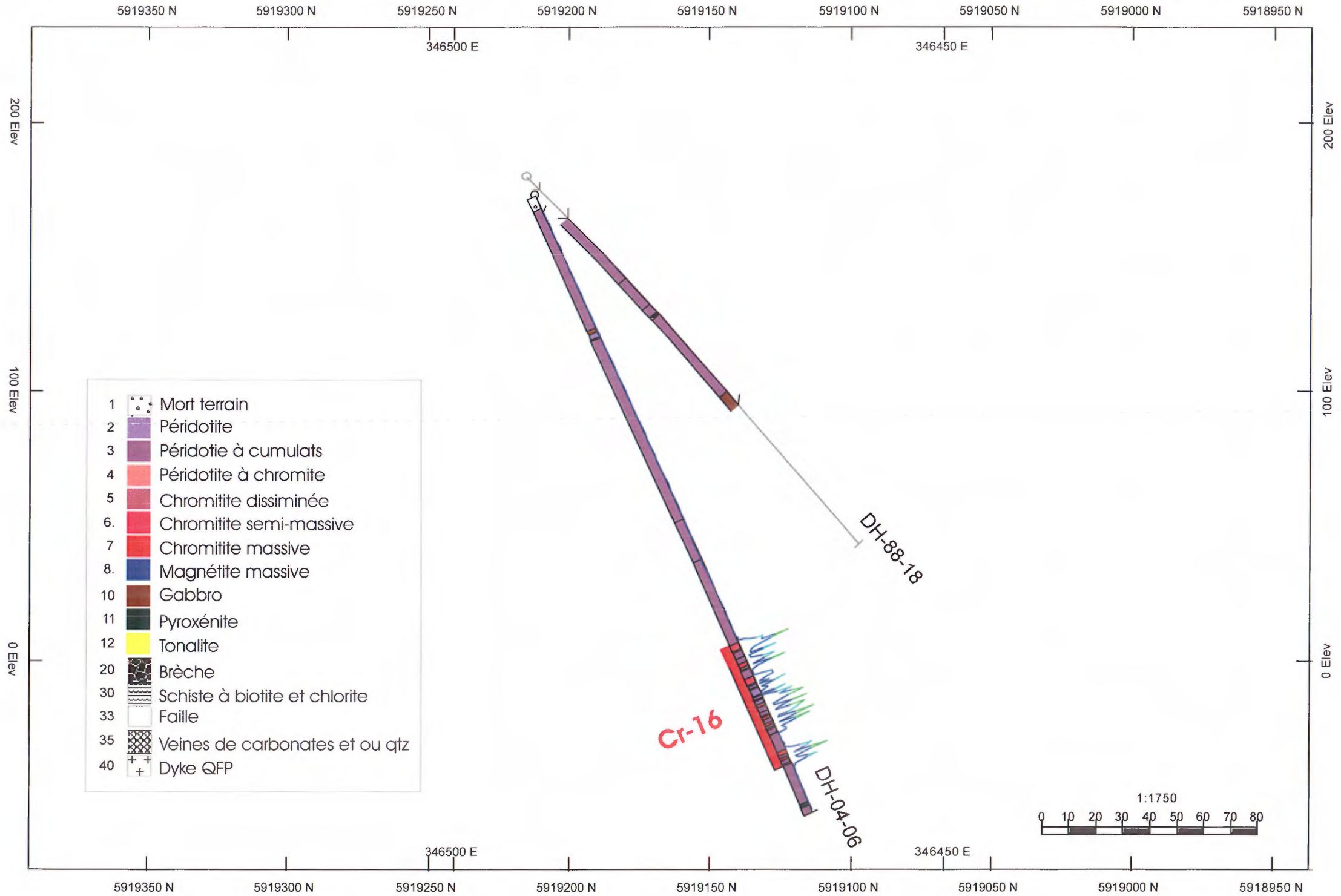
Section (sondage MK-04-05)

Projection UTM NAD 27



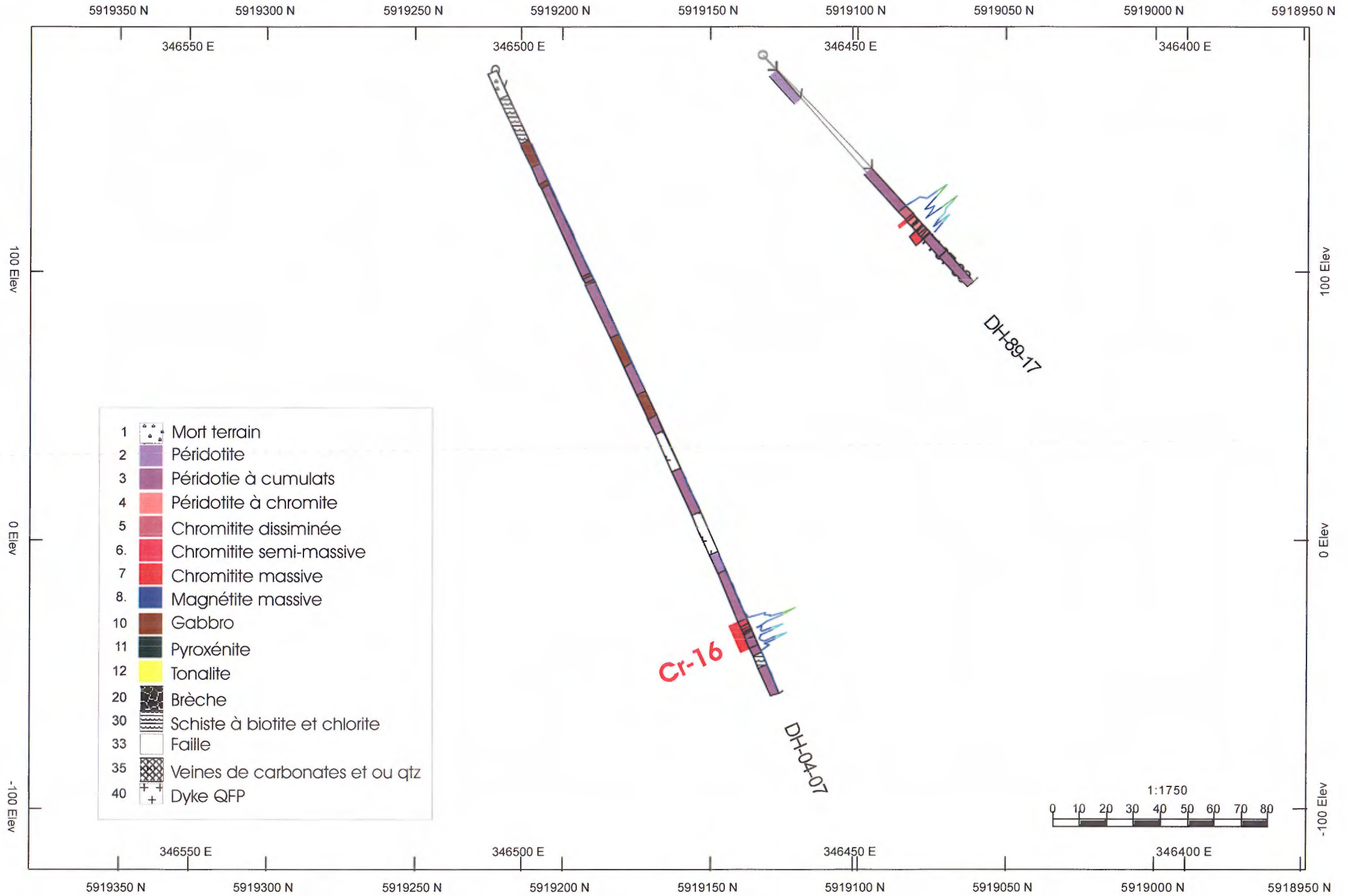
Section (sondage MK-04-06)

Projection UTM NAD 27



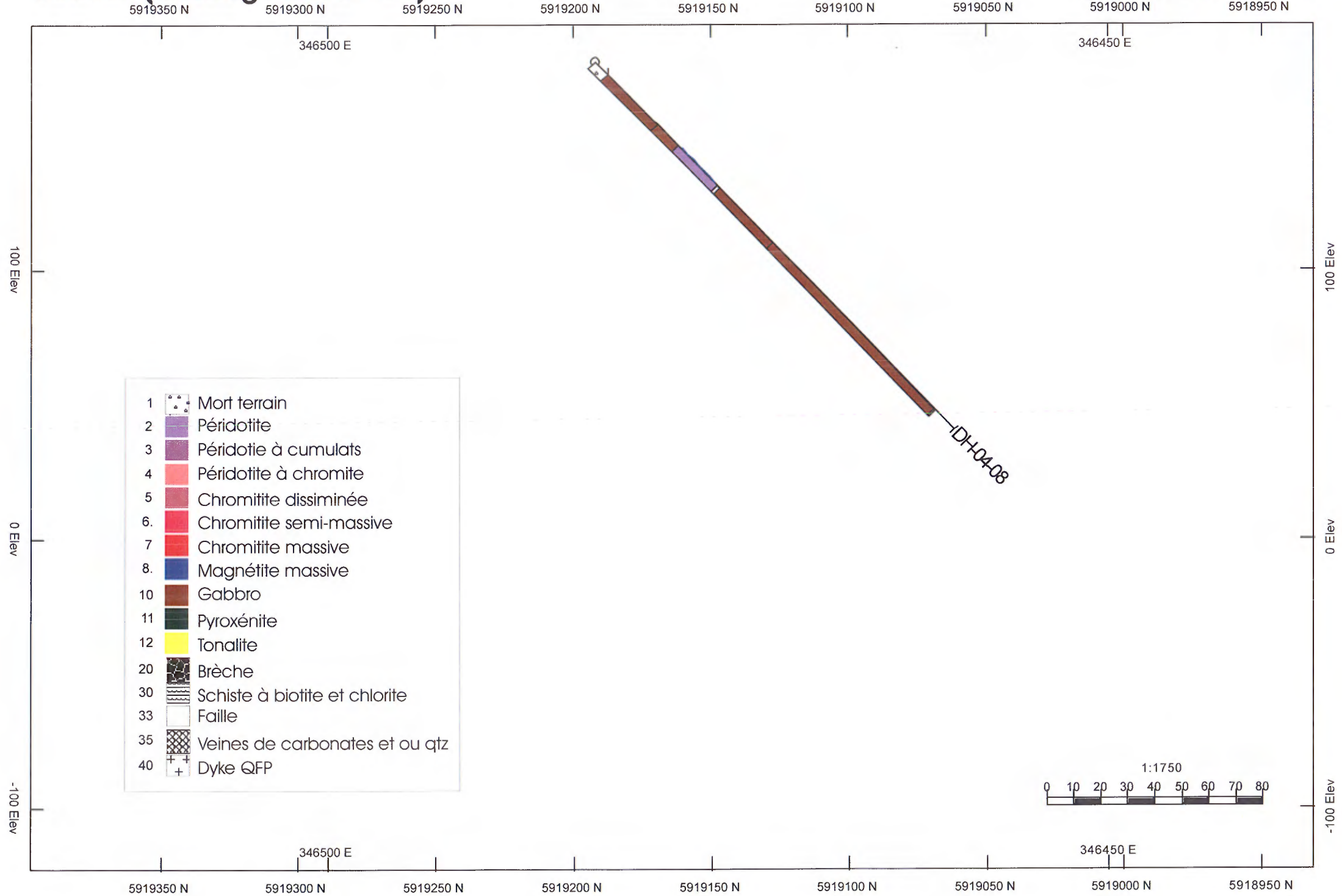
Section (sondage MK-04-07)

Projection UTM NAD 27



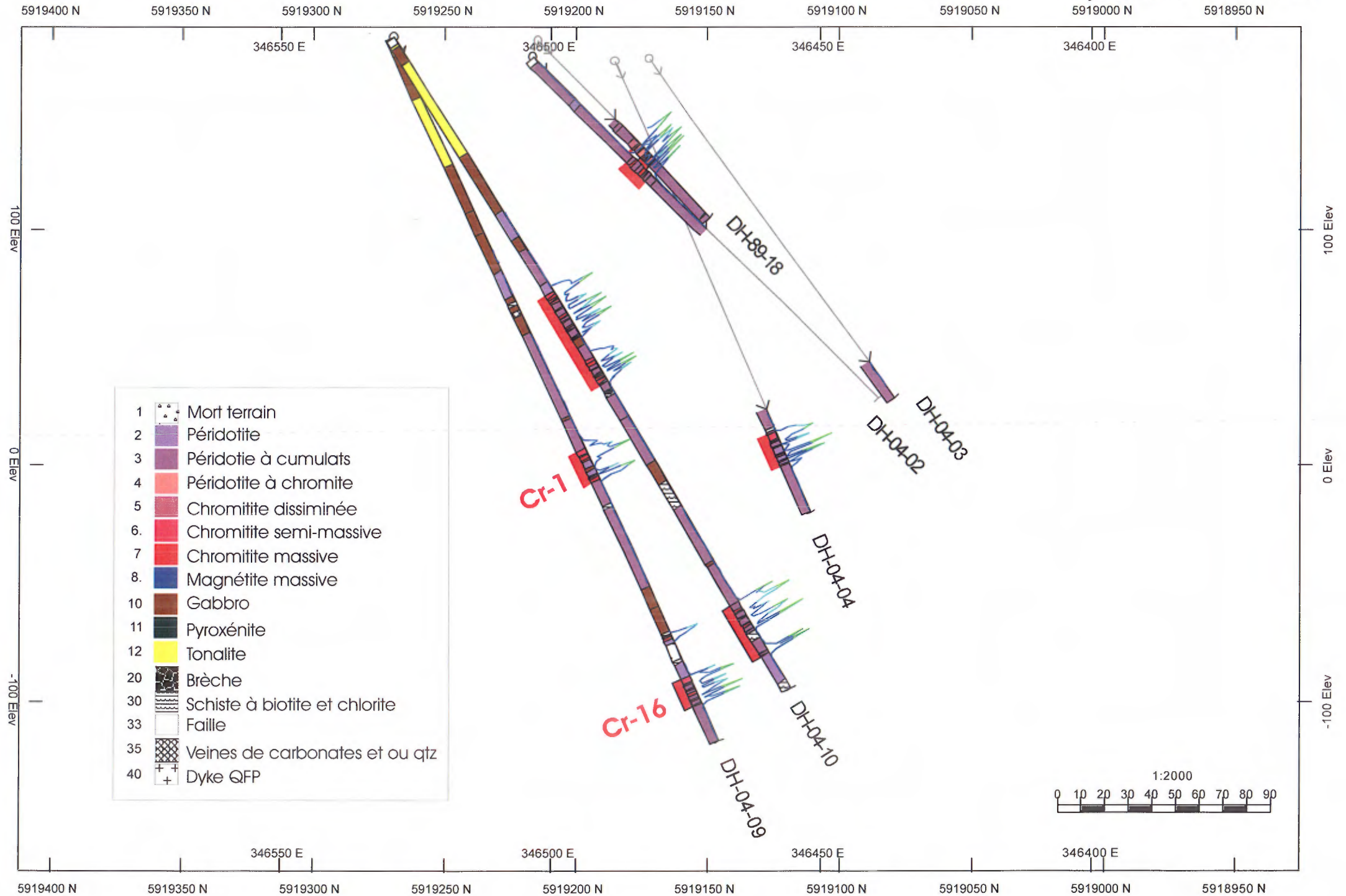
Section (sondage MK-04-08)

Projection UTM NAD 27



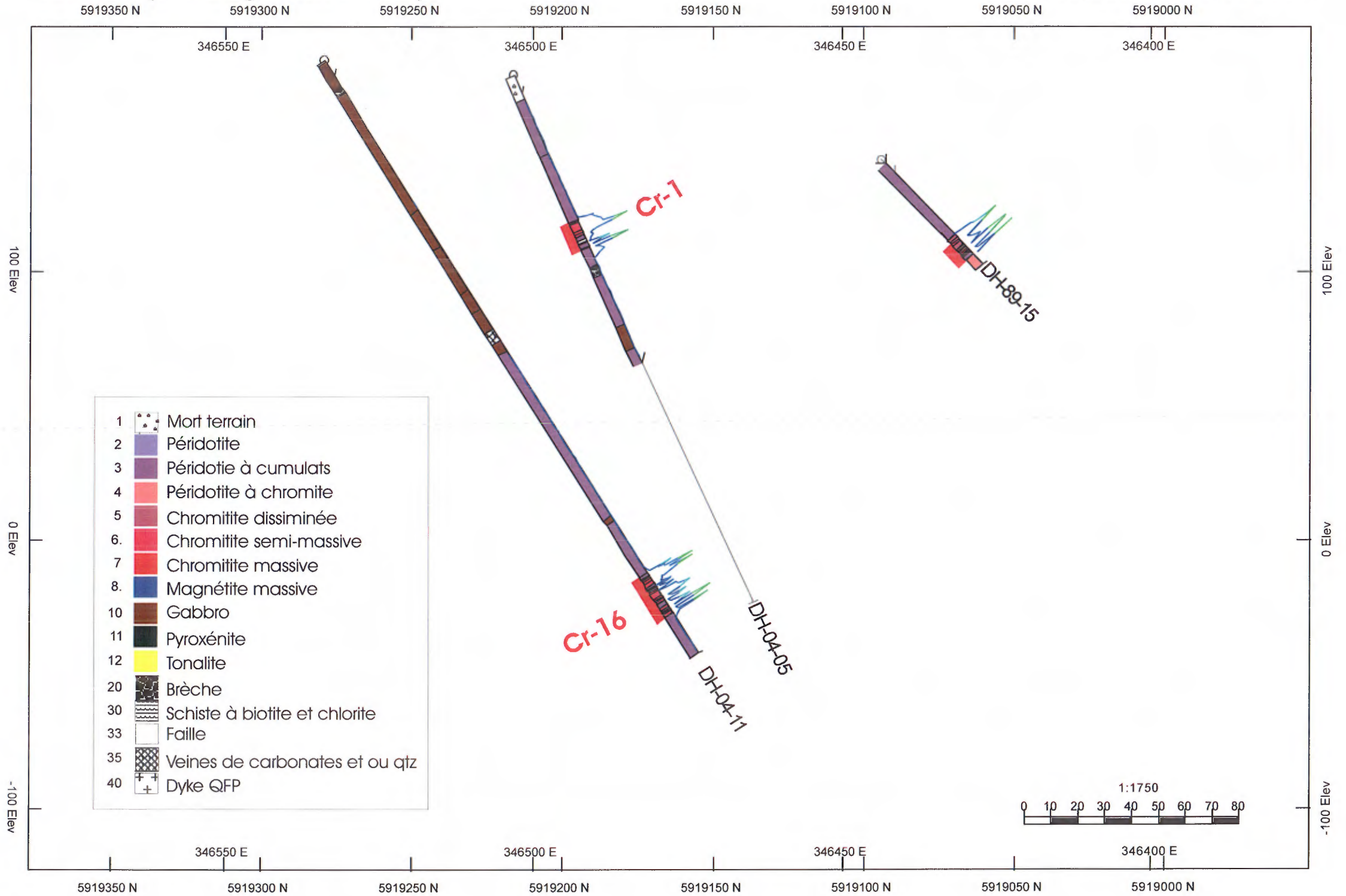
Section (sondages MK-04-09 et MEN-04-10)

Projection UTM NAD 27



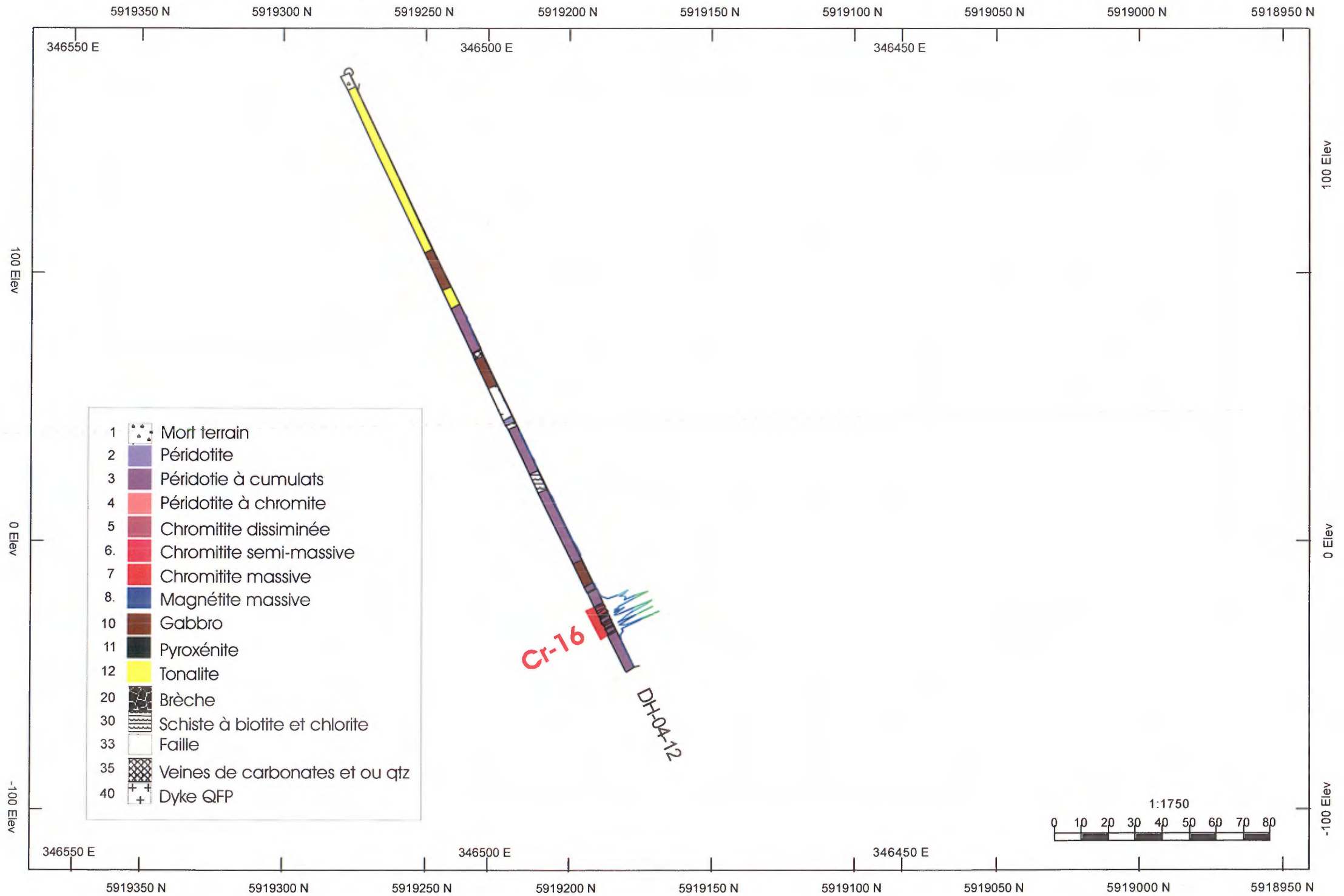
Section (sondage MK-04-11)

Projection UTM NAD 27



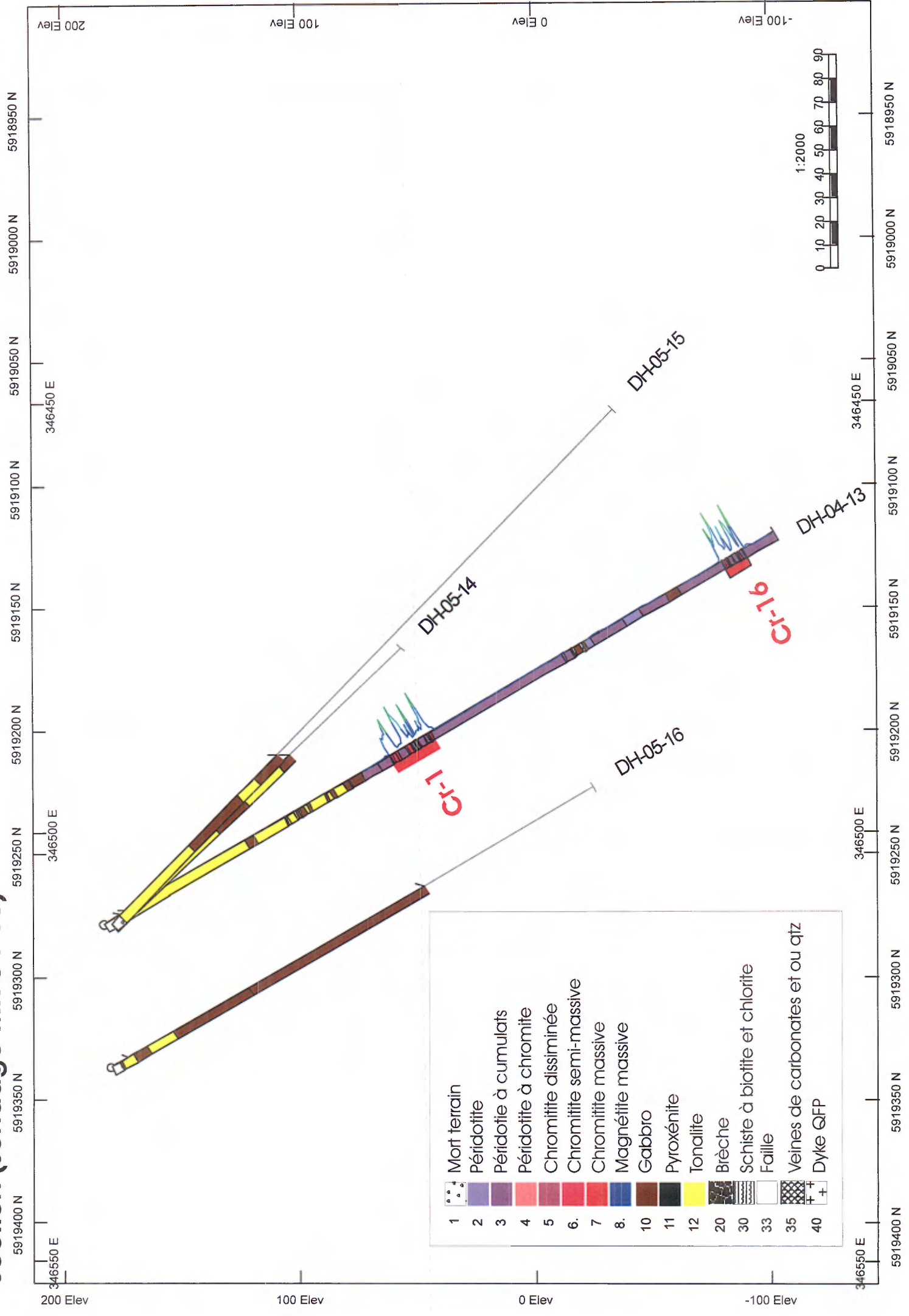
Section (sondage MK-04-12)

Projection UTM NAD 27



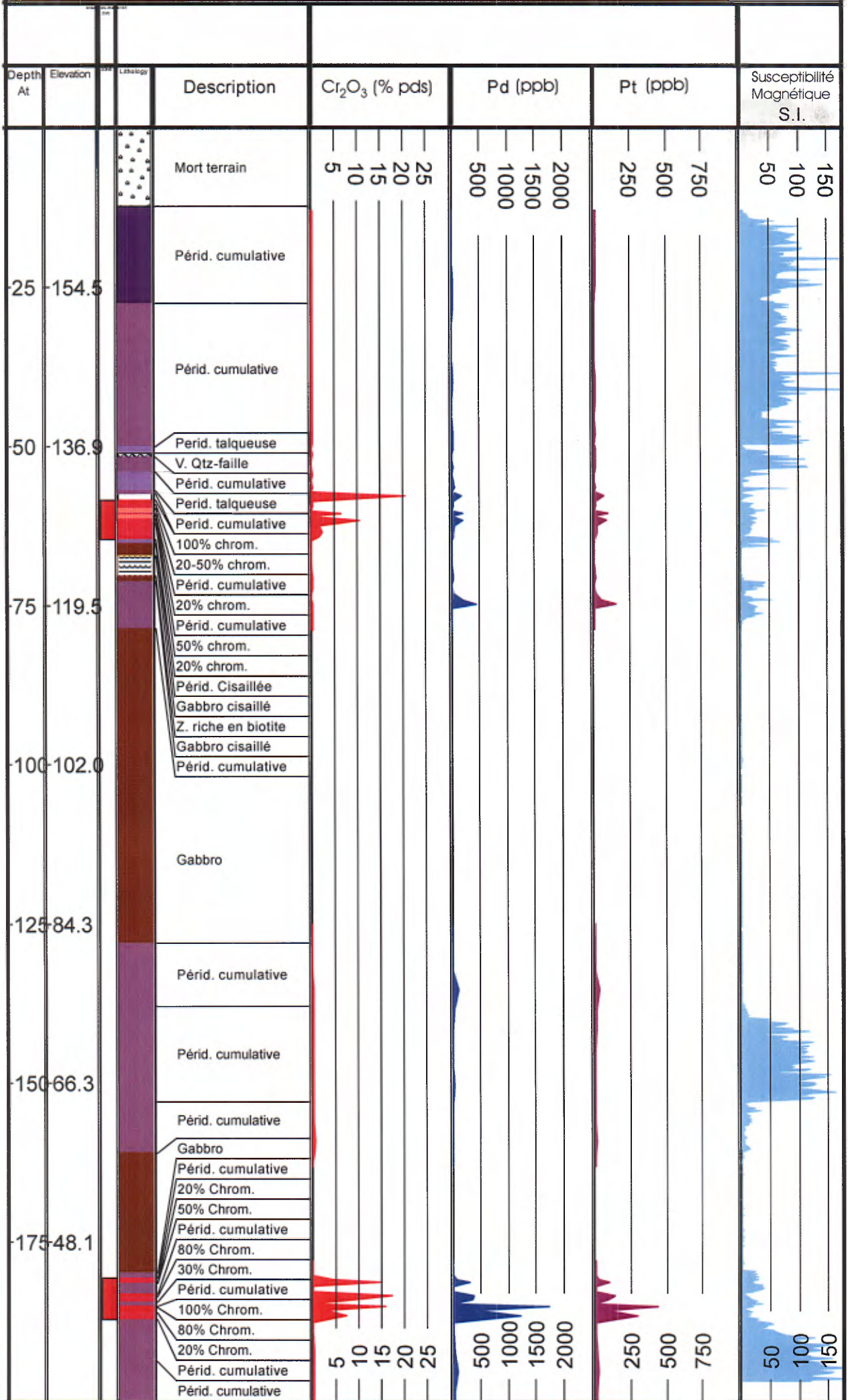
Section (sondage MK-04-13)

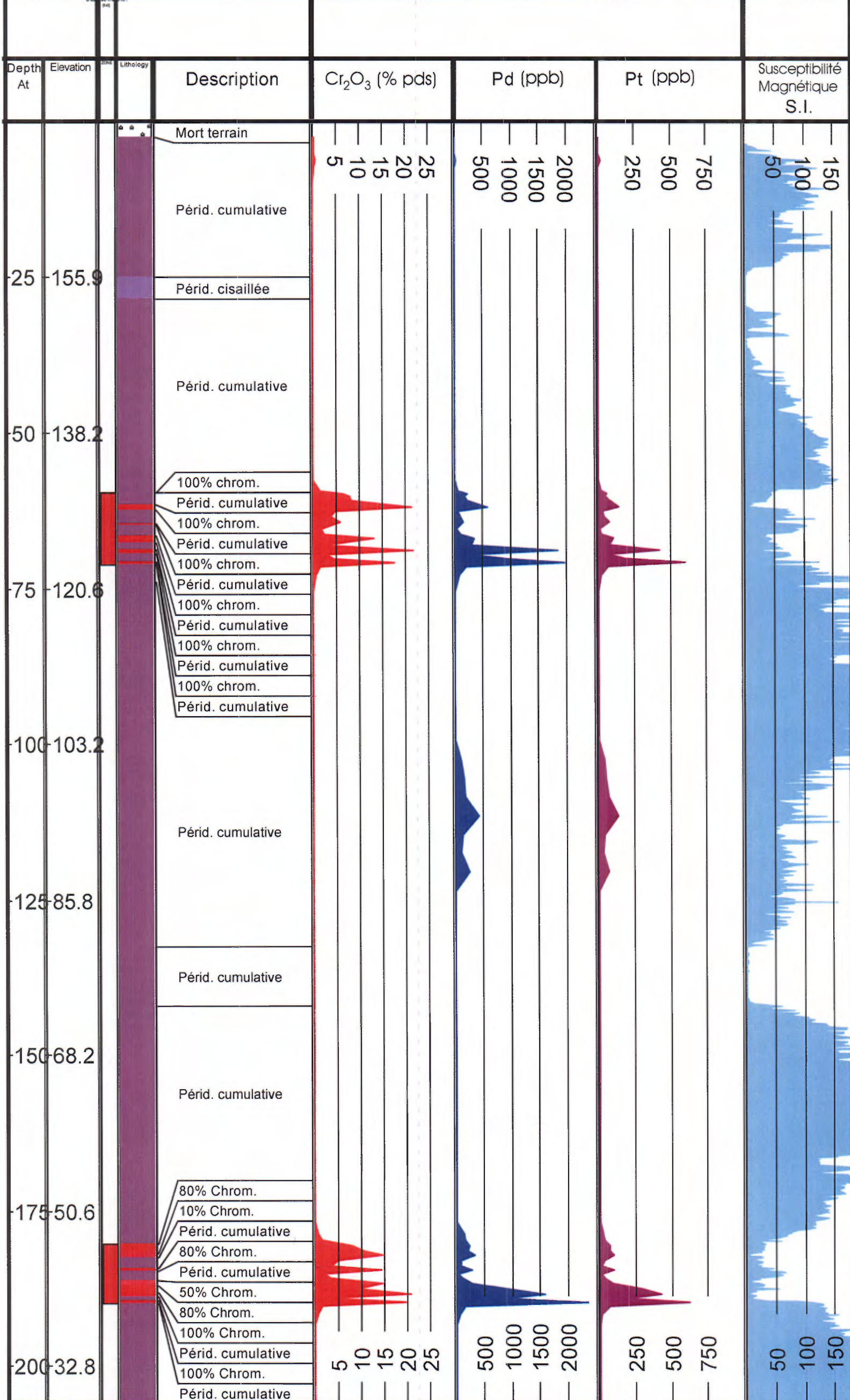
Projection UTM NAD 27



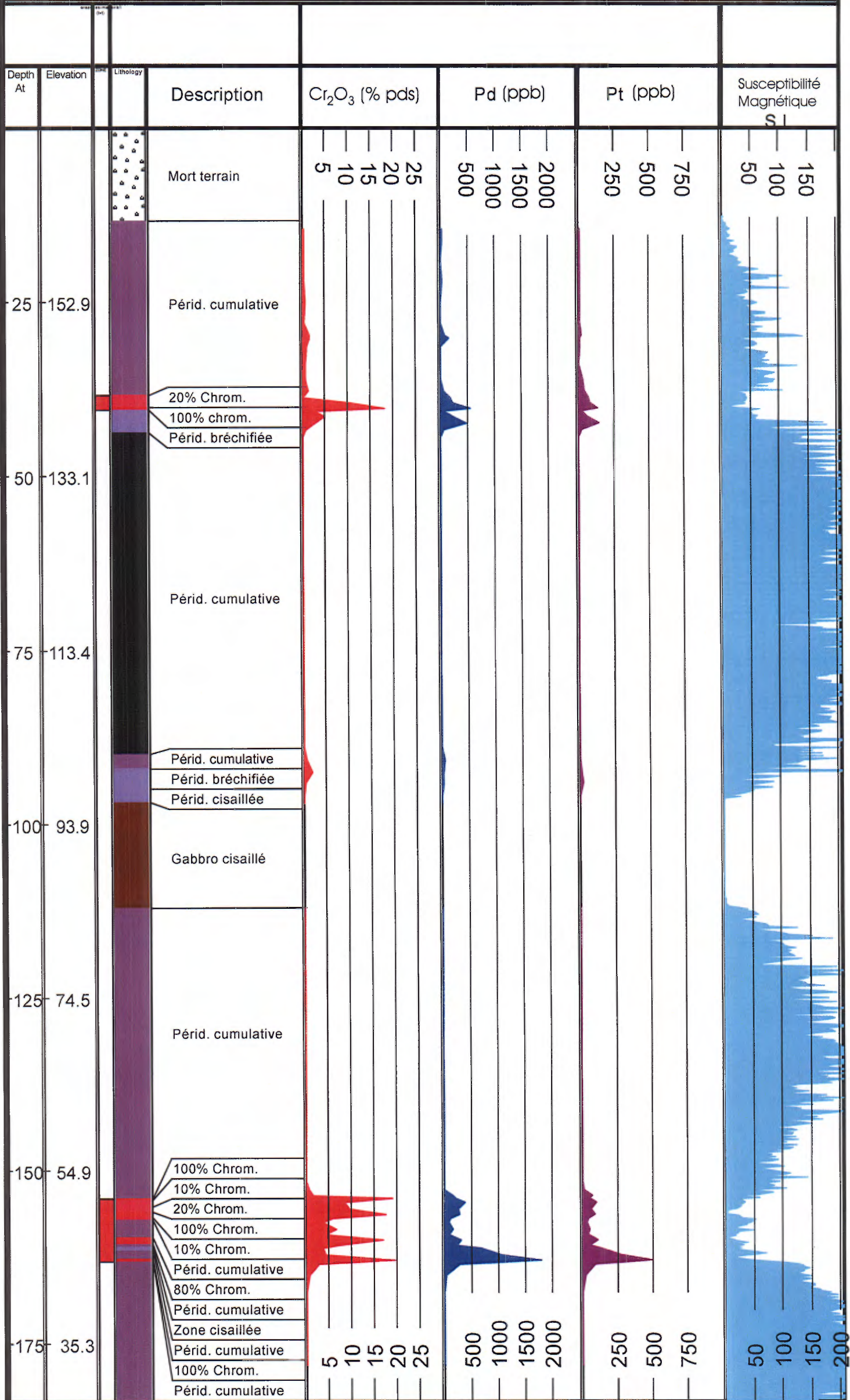
ANNEXE V LOG STRATIGRAPHIQUES

Sondage :MK-04-01

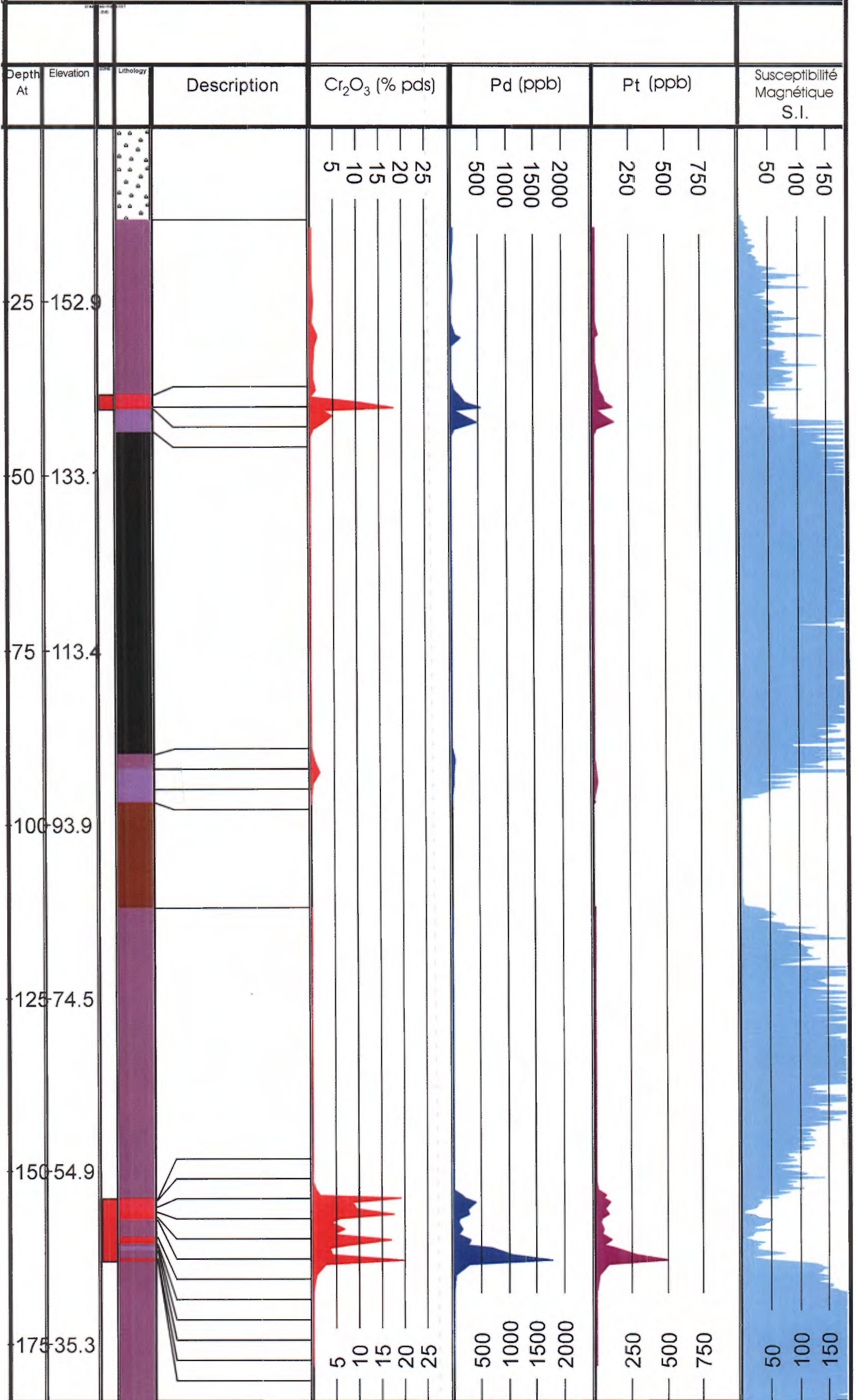




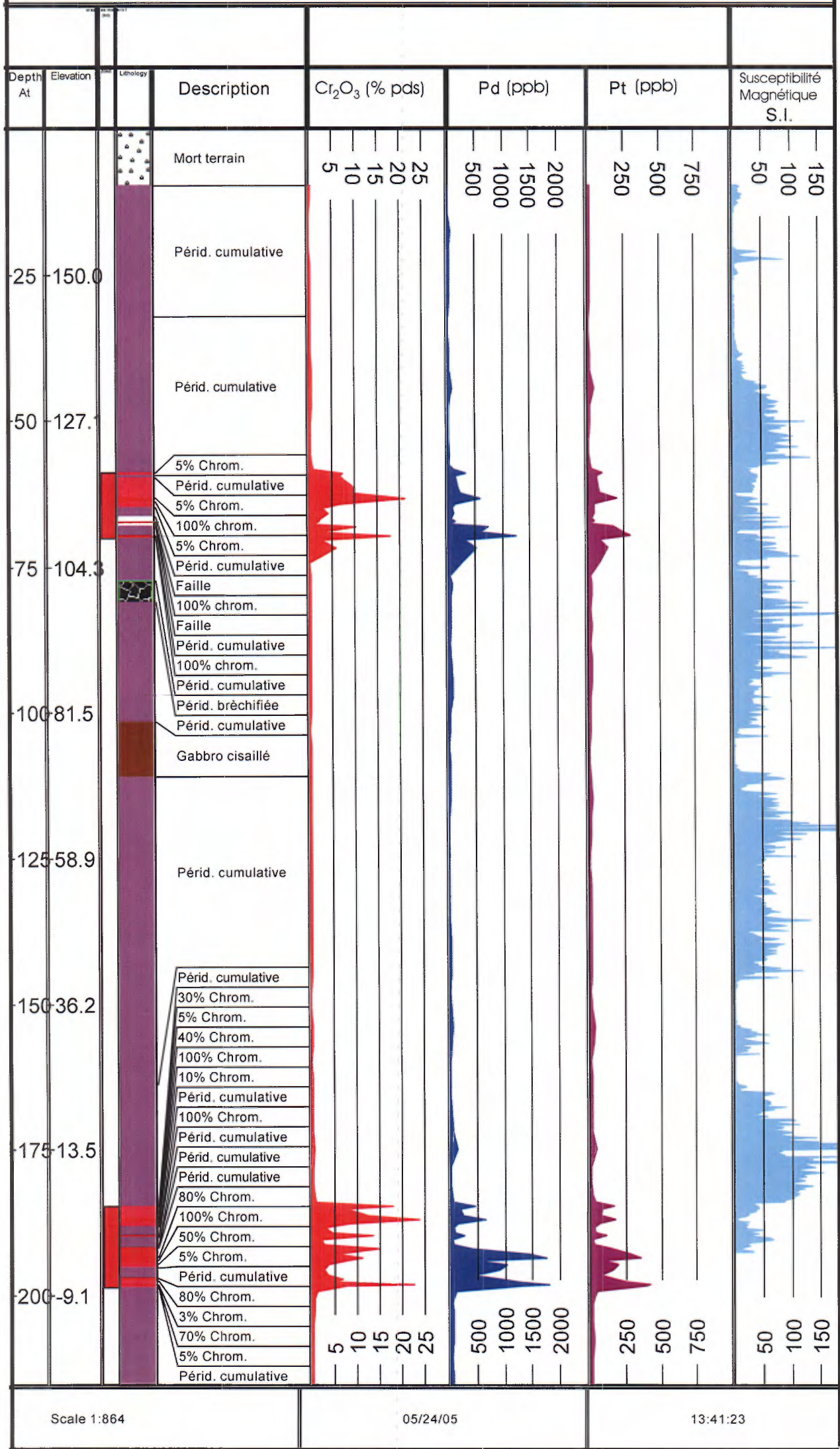
Sondage :MK-04-03



Sondage :MK-04-03



Sondage :MK-04-05



Scale 1:864

05/24/05

13:41:23

Sondage :MK-04-06

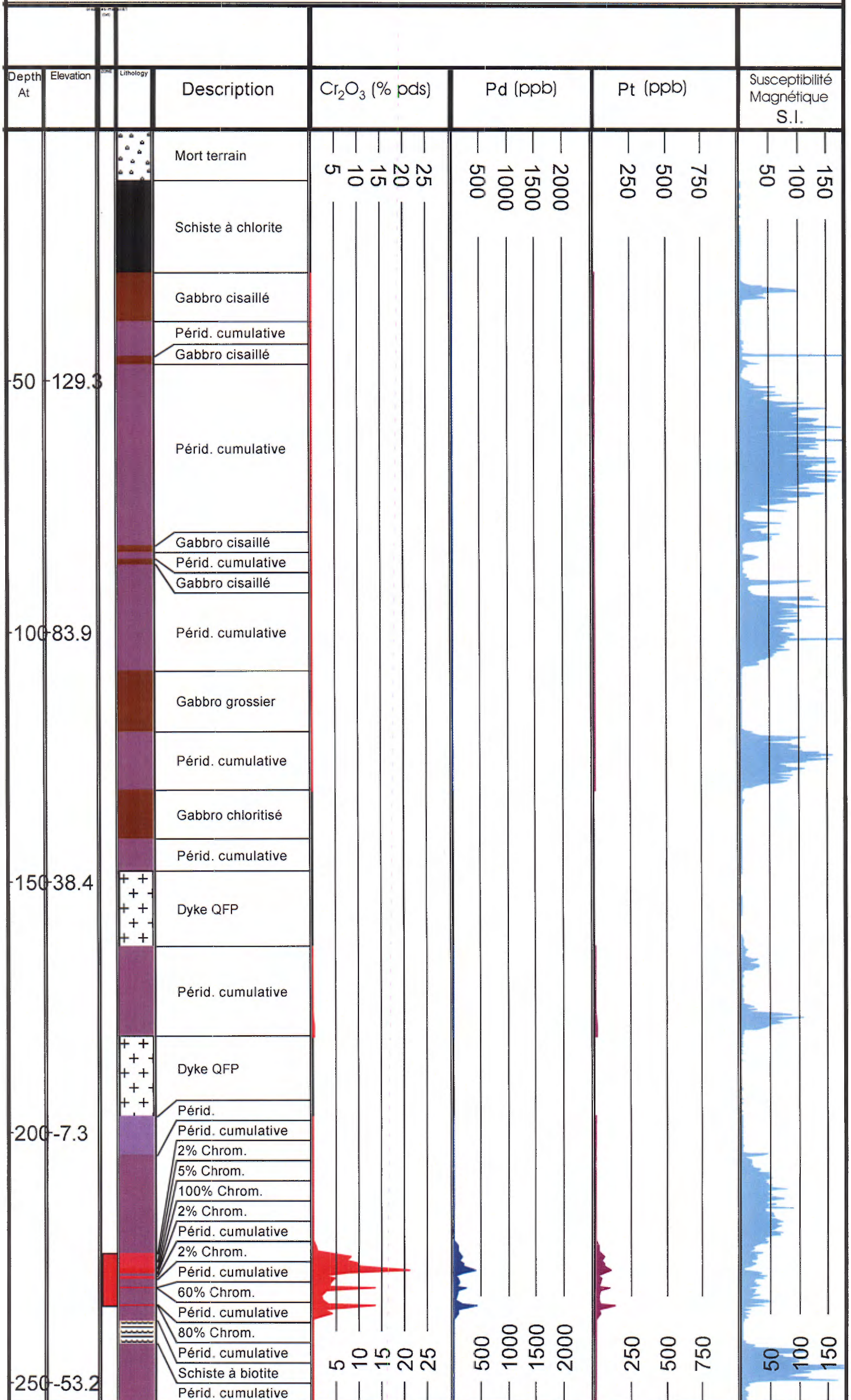
Depth At	Elevation	Lithology	Description	Cr ₂ O ₃ (% pds)	Pd (ppb)	Pt (ppb)	Susceptibilité Magnétique S.I.
			Mort terrain	5	500	250	50
			Périd. cumulative	10	1000	500	100
50	127.4		Gabbro cisailé	15	1500	750	150
			Périd.	20	2000	1000	200
			Gabbro	25	2500	1250	250
			Périd. cumulative	10	1000	500	100
			Périd. cumulative	15	1500	750	150
			Périd. cumulative	20	2000	1000	200
			5% Chrom.	10	1000	500	100
			100% Chrom.	15	1500	750	150
100	81.9		Périd. cumulative	20	2000	1000	200
			100% Chrom.	25	2500	1250	250
			Périd. cumulative	10	1000	500	100
			80% Chrom.	15	1500	750	150
			Périd. cumulative	20	2000	1000	200
			100% Chrom.	25	2500	1250	250
			Périd. cumulative	10	1000	500	100
			5% Chrom.	15	1500	750	150
			Périd. cisailée	20	2000	1000	200
			20% Chrom.	25	2500	1250	250
			Périd. cisailée	10	1000	500	100
			100% Chrom.	15	1500	750	150
150	36.4		Périd. cisailée	20	2000	1000	200
			100% Chrom.	25	2500	1250	250
			Périd. cisailée	10	1000	500	100
			100% Chrom.	15	1500	750	150
			Périd. cisailée	20	2000	1000	200
			100% Chrom.	25	2500	1250	250
			Périd. cumulative	10	1000	500	100
			100% Chrom.	15	1500	750	150
			Périd. cumulative	20	2000	1000	200
			100% Chrom.	25	2500	1250	250
			80% Chrom.	10	1000	500	100
			100% Chrom.	15	1500	750	150
200	9.3		Périd. cumulative	20	2000	1000	200
			100% Chrom.	25	2500	1250	250
			Périd. cumulative	10	1000	500	100
			100% Chrom.	15	1500	750	150
			Périd. cumulative	20	2000	1000	200
			100% Chrom.	25	2500	1250	250
			Périd. cumulative	10	1000	500	100
			50% Chrom.	15	1500	750	150
			Périd. cumulative	20	2000	1000	200
			100% Chrom.	25	2500	1250	250
			Périd. cumulative	10	1000	500	100
			100% Chrom.	15	1500	750	150
			Périd. cumulative	20	2000	1000	200
			100% Chrom.	25	2500	1250	250
			Périd. cumulative	10	1000	500	100
			Dyke pyroxénite	15	1500	750	150
250	55.2		Périd. cumulative	5	500	250	50

Scale 1:1008

05/24/05

13:41:44

Sondage :MK-04-07



Sondage :MK-04-08

Depth At	Elevation	Lithology	Description	Cr ₂ O ₃ (% pds)	Pd (ppb)	Pt (ppb)	Susceptibilité Magnétique S.I.
			Mort terrain	5 10 15 20 25	500 1000 1500 2000	250 500 750	50 100 150
25	159.3		Gabbro grossier				
			Gabbro fin				
50	141.6		Périd.				
			Dyke QFP				
75	123.7		Gabbro				
100	105.7						
125	87.6		Gabbro grossier				
150	69.3						
175	51.2		Tonalite	5 10 15 20 25	500 1000 1500 2000	250 500 750	50 100 150

Scale 1:764

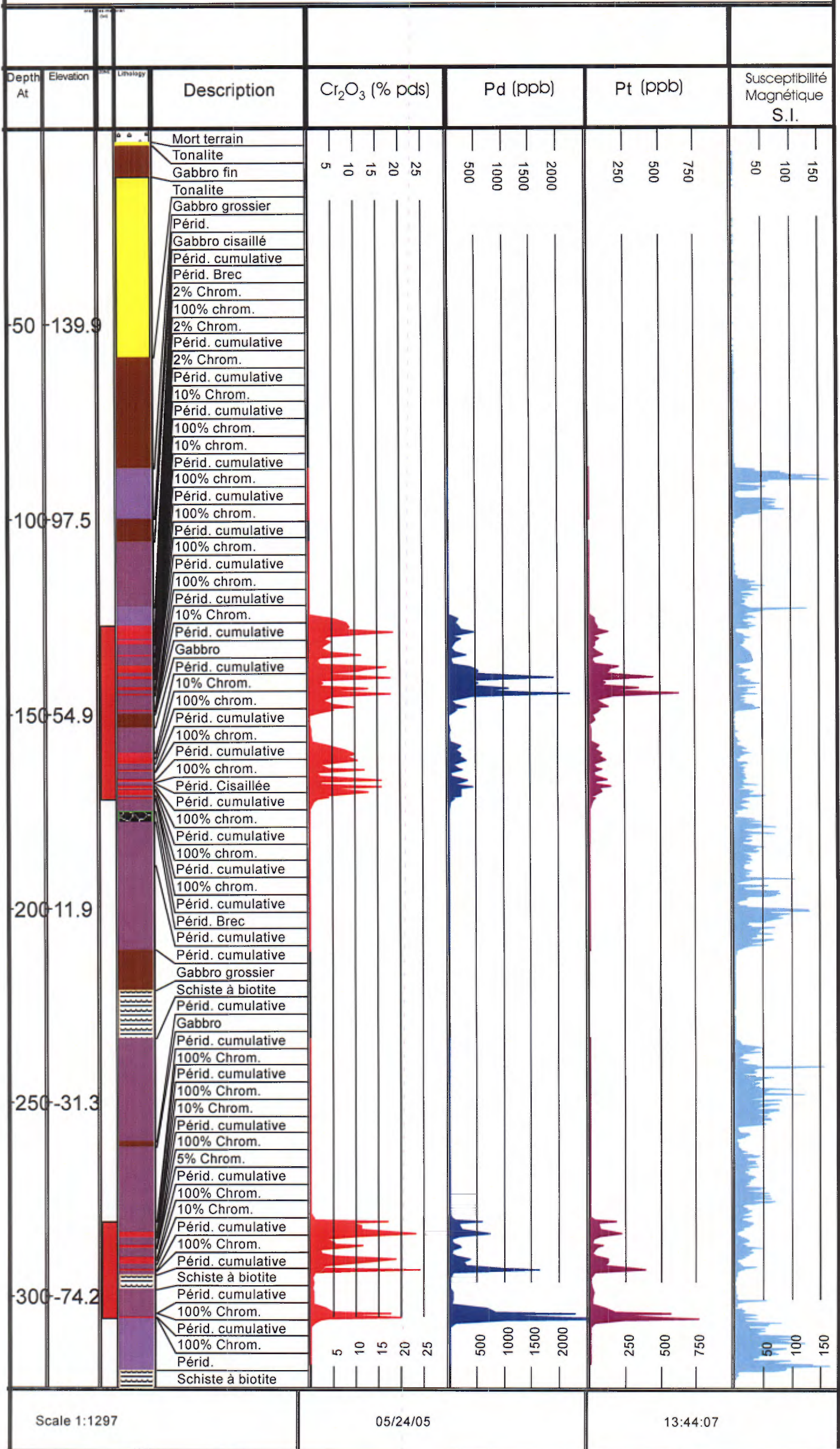
05/24/05

13:42:51

Sondage :MK-04-09

Depth At	Elevation	Lithology	Description Description	Cr ₂ O ₃ (% pds)	Pd (ppb)	Pt (ppb)	Susceptibilité Magnétique S.I.			
50	136.4	Tonalite	Mort terrain	5			50			
			Tonalite	10			100			
100	91.1	Tonalite	Gabbro fin	15			150			
			Gabbro grossier	20						
150	46.1	Gabbro	Gabbro fin	25						
			Gabbro grossier							
			Périd.							
			Gabbro cisailé							
			Schiste à biotite							
			Gabbro cisailé							
			V.QTZ							
			Gabbro cisailé							
			Périd. cumulative							
			Gabbro							
			Périd. cumulative							
			100% Chrom.							
			100% chrom.							
			50% chrom.							
			100% chrom.							
			Périd.							
			Gabbro							
			200	0.9	Gabbro	Périd.				
50% chrom.										
Périd.										
20% chrom.										
100% chrom.										
10% chrom.										
Périd. cumulative schiste										
Périd. cumulative										
Gabbro grossier										
Gabbro fin										
Schiste à chlorite										
Périd.										
80% Chrom.										
50% Chrom.										
Périd.										
250	-44.5	Gabbro				Dyke QFP				
						Schiste à biotite				
						Périd.				
			100% Chrom.							
			10% Chrom.							
			100% Chrom.							
			10% Chrom.							
			Périd. cumulative							
			100% Chrom.							
			Périd. cumulative							
			100% Chrom.							
			Périd. cumulative							
			100% Chrom.							
			Périd. cumulative							
			100% Chrom.							
			300	-90.2	Gabbro	Périd. cumulative				
						100% Chrom.				
						Périd. cumulative				
100% Chrom.										
Périd. cumulative										
100% Chrom.										
Périd. cumulative										
100% Chrom.										
Périd. cumulative										
100% Chrom.										
Périd. cumulative										
100% Chrom.										
Périd. cumulative										
100% Chrom.										
Périd. cumulative										

Sondage :MK-04-10



Sondage :MK-04-11

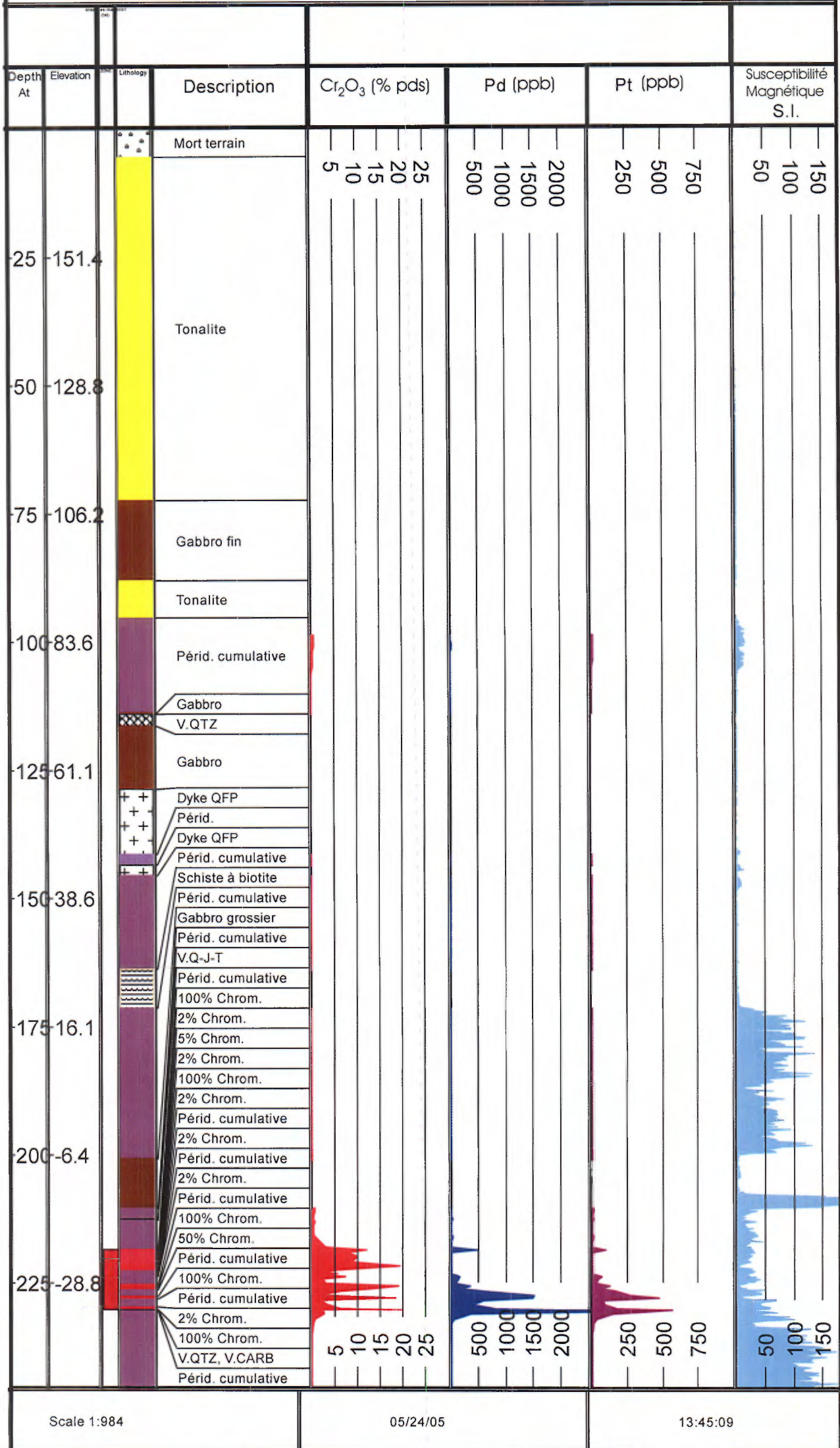
Depth At	Elevation	Lithology	Description	Cr ₂ O ₃ (% pds)	Pd (ppb)	Pt (ppb)	Susceptibilité Magnétique S.I.
			Mort terrain				
			Gabbro grossier	5	500	250	50
			Gabbro fin	10	1000	500	100
			Gabbro brec	15	1500	750	150
			Gabbro grossier	20	2000		
			Gabbro grossier	25			
50	136.0		Gabbro fin				
			Gabbro grossier				
100	93.6		Gabbro grossier				
			Gabbro fracturé				
			Gabbro grossier				
			V.QTZ				
			Gabbro grossier				
			Périd. cumulative				
150	51.2		Gabbro				
			Périd. cumulative				
			100% Chrom.				
			Périd. cumulative				
			10% Chrom.				
			100% Chrom.				
			10% Chrom.				
			100% Chrom.				
			5% Chrom.				
			Périd. cumulative				
			5% Chrom.				
			Périd. cumulative				
			10% Chrom.				
			2% Chrom.				
200	8.9		Périd. cumulative				
			100% Chrom.				
			5% Chrom.				
			100% Chrom.				
			Périd. cumulative				
			2% Chrom.				
			20% Chrom.				
			Périd. cumulative				
			10% Chrom.				
			Périd. cumulative				
			100% Chrom.				
			Périd. cumulative				
			2% Chrom.				
			100% Chrom.				
250	33.3		Périd. cumulative				
			2% Chrom.				
			100% Chrom.				
			Périd. cumulative				

Scale 1:1044

05/24/05

13:44:40

Sondage :MK-04-12



Scale 1:984

05/24/05

13:45:09

Sondage :MK-04-13

